



# الفيزياء

الصف الثاني عشر - كتاب الطالب

الفصل الدراسي الثاني

12

فريق التأليف

موسى عطا الله الطراونة (رئيساً)

خلدون سليمان المصاروة

أ.د. محمود إسماعيل الحافظ

موسى محمود جرادات

د. إبراهيم ناجي غبار

الناشر: المركز الوطني لتطوير المناهج

يسير المركز الوطني لتطوير المناهج، استقبال آرائكم وملحوظاتكم على هذا الكتاب عن طريق العنوانين الآتية:



06-5376262 / 237



06-5376266



P.O.Box: 2088 Amman 11941



@nccdjor



feedback@nccd.gov.jo



[www.nccd.gov.jo](http://www.nccd.gov.jo)

قررت وزارة التربية والتعليم تدريس هذا الكتاب في مدارس المملكة الأردنية الهاشمية جميعها، بناءً على قرار المجلس الأعلى للمركز الوطني لتطوير المناهج في جلسته رقم (7/2022)، تاريخ 8/11/2022 م، وقرار مجلس التربية والتعليم رقم (111/2022)، تاريخ 6/12/2022 م، بدءاً من العام الدراسي 2022 / 2023 م.

© HarperCollins Publishers Limited 2022.

- Prepared Originally in English for the National Center for Curriculum Development. Amman - Jordan  
- Translated to Arabic, adapted, customised and published by the National Center for Curriculum Development. Amman - Jordan

**ISBN: 978 - 9923 - 41 - 507 - 8**

المملكة الأردنية الهاشمية

رقم الإيداع لدى دائرة المكتبة الوطنية

(2023/5/2615)

بيانات الفهرس الأولية للكتاب:

عنوان الكتاب الفيزاء/ كتاب الطالب الصف الثاني عشر الفصل الدراسي الثاني

إعداد / هيئة الأردن. المركز الوطني لتطوير المناهج

بيانات النشر عمان: المركز الوطني لتطوير المناهج ، 2023

رقم التصنيف 375.001

الواصفات /تطوير المناهج/ / المقررات الدراسية/ / مستويات التعليم/ / المناهج

الطبعة الأولى

يتحمّل المؤلّف كامل المسؤلية القانونية عن محتوى مصنّفه، ولا يعبّر هذا المصنّف عن رأي دائرة المكتبة الوطنية.

All rights reserved. No part of this publication may be reproduced, sorted in retrieval system, or transmitted in any form by any means, electronic, mechanical, photocopying, recording or otherwise , without the prior written permission of the publisher or a license permitting restricted copying in the United Kingdom issued by the Copyright Licensing Agency Ltd, Barnard's Inn, 86 Fetter Lane, London, EC4A 1EN.

British Library Cataloguing -in- Publication Data

A catalogue record for this publication is available from the Library.

م 2022 هـ / 1443

م 2023 هـ / 1444

الطبعة الأولى ( التجريبية )

أعيدت طباعته

قائمة المحتويات

<b>المقدمة</b>	5
<b>الوحدة الخامسة: الحث الكهرومغناطيسي وأشباه الموصلات</b>	7
تجربة استهلالية: طرائق توليد تيار كهربائي حثي	9
الدرس الأول: التدفق المغناطيسي والث الحث الكهرومغناطيسي	10
الدرس الثاني: دارات التيار الكهربائي المتردد	29
الدرس الثالث: أشباه الموصلات	42
<b>الوحدة السادسة: الفيزياء الحديثة</b>	59
تجربة استهلالية: استقصاء إشعاع الجسم الأسود	61
الدرس الأول: الطبيعة الجسيمية للضوء	62
الدرس الثاني: التركيب الذري	78
<b>الوحدة السابعة: الفيزياء النووية</b>	97
تجربة استهلالية: استقصاء التفاعل المتسلسل	99
الدرس الأول: تركيب النواة وخصائصها	100
الدرس الثاني: الإشعاع النووي	112
الدرس الثالث: التفاعلات النووية	127
<b>مفرد المصطلحات</b>	142
<b>قائمة المراجع</b>	146



## المقدمة

انطلاقاً من إيمان المملكة الأردنية الهاشمية الراسخ بأهمية تنمية قدرات الإنسان الأردني، وتسلি�حه بالعلم والمعرفة؛ سعى المركز الوطني لتطوير المناهج، بالتعاون مع وزارة التربية والتعليم، إلى تحديث المناهج الدراسية وتطويرها؛ لتكون معيناً للطلبة على الارتقاء بمستواهم المعرفي، ومجاراة أقرانهم في الدول المتقدمة.

يُعدّ هذا الكتاب واحداً من سلسلة كتب المباحث العلمية التي تُعنى بتنمية المفاهيم العلمية، ومهارات التفكير وحل المشكلات، ودمج المفاهيم الحياتية والمفاهيم العابرة للمواد الدراسية، والإفادة من الخبرات الوطنية في عمليات الإعداد والتأليف وفق أفضل الطرائق المتّبعة عالمياً؛ لضمان انسجامها مع القيم الوطنية الراسخة، وتلبيتها حاجات أبنائنا الطلبة والمعلّمين.

وقد روّيَ في تأليفه تقديم المعلومة العلمية الدقيقة وفق منهجية تقوم على السلامة في العرض، والوضوح في التعبير، إضافة إلى الربط بين الموضوعات المطروحة في المراحل الدراسية السابقة واللاحقة، واعتماد منهجية التدرج في عرض موضوعات المادة، واستهلال وحداتها بأسئلة تُظهر علاقة علم الفيزياء بالظواهر حولنا؛ ما يحفّز الطالب إلى الإفادة مما يتعلّمه في غرفة الصد في تفسير مشاهدات يومية وظواهر طبيعية قد تحدث أمامه، أو يشاهدها في التلفاز، أو يسمع عنها. وقد تضمّنت كل وحدة إثراً يعتمد منحى STEAM في التعليم الذي يُستعمل لدمج العلوم والتكنولوجيا والهندسة والفن والعلوم الإنسانية والرياضيات.

ويتألّف الكتاب من ثلات وحدات دراسية، هي: **الحث الكهرومغناطيسي وأشباه الموصلات، والفيزياء الحديثة، والفيزياء النووية**. وقد أُحق به كتاب للأنشطة والتجارب العملية، يحتوي على التجارب والأنشطة جميعها الواردة في كتاب الطالب؛ ليساعده على تفديتها بسهولة، بإشراف المعلم، ومشاركة زملائه فيها، بما في ذلك رصد القراءات، وتحليلها، ثم مناقشتها، وصولاً إلى استنتاجات مبنية على أسس علمية سليمة. ويتضمن أيضاً أسئلة تفكير؛ بهدف تعزيز فهم الطالب موضوعات المادة، وتنمية التفكير الناقد لديه.

ونحن إذ نقدم هذه الطبعة من الكتاب، فإننا نأمل أن يُسهم في تحقيق الأهداف والغايات النهائية المنشودة لبناء شخصية المتعلّم، وتنمية اتجاهات حبّ التعلّم ومهارات التعلّم المستمرّ، إضافة إلى تحسين الكتاب بإضافة الجديد إلى محتواه، وإثراء أنشطته المتنوعة، والأخذ بـ ملاحظات المعلّمين.

والله ولي التوفيق

المركز الوطني لتطوير المناهج

# الوحدة

## الحث الكهرومغناطيسي وأشباه الموصلات

Electromagnetic Induction and Semiconductors

5

### أتأمل الصورة

#### الحث الكهرومغناطيسي

تُستخدم المولّدات الكهربائية في محطات الطاقة الكهربائية لتزويدنا بالطاقة الكهربائية. ومهما كان مصدر الطاقة المستخدمة في تشغيل هذه المحطات، سواء الفحم كان أم الرياح أم الوقود النووي أم غيرها، فإنّ توليد الطاقة الكهربائية يعتمد على الحث الكهرومغناطيسي. ويُستثنى من ذلك الخلايا الشمسية، التي تحول ضوء الشمس مباشرة إلى طاقة كهربائية.

فما الحث الكهرومغناطيسي؟ وكيف تزوّدنا المولّدات الكهربائية بالطاقة الكهربائية؟

## الفكرة العامة:

يعتمد مبدأ عمل تقنيات كهربائية عدّة على الحث الكهرمغناطيسي، منها: المولّدات الكهربائية، والمحولات الكهربائية، وذاكرة الحاسوب، وغيرها. وأدى اكتشاف الخصائص الكهربائية لأشباه الموصلات إلى إحداث ثورة تقنية نلمس آثارها في حياتنا اليومية.

### الدرس الأول: التدفق المغناطيسي والحوت الكهرمغناطيسي

#### Magnetic Flux and Electromagnetic Induction

**الفكرة الرئيسية:** يرتبط تولّد قوة دافعة كهربائية حيّة وتيار كهربائي حيّ في دارة مغلقة بتغيير التدفق المغناطيسي الذي يخترقها، يُحسب مقدار القوة الدافعة الكهربائية بقانون فارادي، ويُحدّد اتجاه التيار بقانون لنز.

### الدرس الثاني: دارات التيار الكهربائي المتردد

#### Alternating Electric Current Circuits

**الفكرة الرئيسية:** ظهرت محطّات توليد الطاقة الكهربائية نهاية القرن التاسع عشر، وكان بعضها يولّد تياراً مستمراً، وبعضها الآخر يولّد تياراً متّرداً. لكن الآن، يمكن القول إنّ المحطّات جميعها يولّد تياراً متّرداً، وبوجود أجهزة كهربائية كثيرة تعمل على التيار المستمر، اقتضت الحاجة إلى أجهزة تحول أيّاً من التيارين إلى الآخر.

### الدرس الثالث: أشباه الموصلات

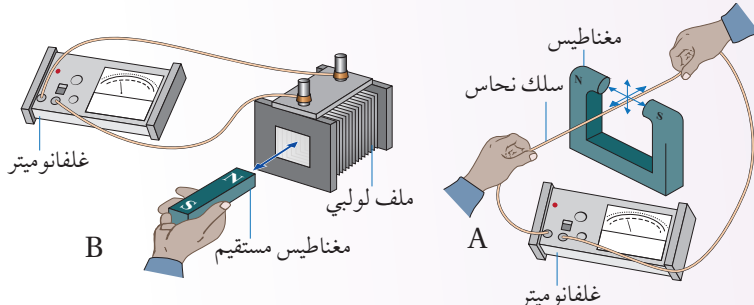
#### Semiconductors

**الفكرة الرئيسية:** نتاج من تطوير علم أشباه الموصلات تصميم مكوّنات إلكترونية جديدة أسهمت في إحداث قفزة نوعيّة في عالم الاتصالات والمعلومات.

# تجربة استهلاكية

## طرائق توليد تيار كهربائي ثنيّ

**المواد والأدوات:** سلك نحاس طوله (30 cm)، مغناطيس على شكل حرف C، ملف لوليبي، مغناطيس مستقيم، أسلاك توصيل.



**إرشادات السلامة:** الحذر من طرفي السلك الحادين، ومن سقوط الأدوات على أرضية المختبر.

### خطوات العمل:

بالتعاون مع أفراد مجموعتي أُنفذ الخطوات الآتية:

1 أصل طرفي السلك بطرف الغلفانوميتر، وأمسك بجزء من السلك مشدوداً بين قطبي المغناطيس دون تحريكه، كما في الشكل A.

2 **الاحظ:** أحرّك السلك المشدود بين قطبي المغناطيس في كل اتجاه من الاتجاهات الستة الموضحة في الشكل، وألاحظ قراءة الغلفانوميتر وجهاً انحراف مؤشره في كل حالة، وأدّون ملاحظاتي.

3 أفصل طرفي السلك عن الغلفانوميتر، ثم أصل طرفي الملف اللوليبي بالغلفانوميتر، كما في الشكل B.

4 **الاحظ:** أحرّك القطب الشمالي للمغناطيس نحو طرف الملف، وأضعه داخل الملف، ثم أحرّكه متعدداً عن الملف، وألاحظ قراءة الغلفانوميتر وجهاً انحراف مؤشره في كل حالة، وأدّون ملاحظاتي.

5 أكرّر الخطوة السابقة، بتحريك القطب الجنوبي للمغناطيس بدلاً من القطب الشمالي، وأدّون ملاحظاتي.

### التحليل والاستنتاج:

1. **أستنتاج:** في أي الحالات تولّد تيار كهربائي في السلك عند تحريكه بين قطبي المغناطيس؟ وفي أيها لم يتولّد تيار كهربائي؟ ماذا أستنتج؟

2. **أقارب:** هل انحراف مؤشر الغلفانوميتر بالاتجاه نفسه في الحالات التي تولّد فيها تيار كهربائي في السلك؟ أفسّر إجابتي.

3. **أستنتاج:** استناداً إلى ملاحظاتي في الخطوتين 4 و5، متى يتولّد تيار كهربائي في الملف؟ وهل يعتمد اتجاهه على اتجاه حركة المغناطيس؟ أفسّر إجابتي.

4. **أتوقع:** هل يتولّد تيار كهربائي إذا ثبّت السلك أو الملف، وحرّكت المغناطيس؟

### التدفق المغناطيسي Magnetic Flux

يمكن استخدام بطارية لإضاءة مصباح يدوّي، لكن إضاءة شارع أو مدينة تحتاج إلى مصدر طاقة كهربائية ذي قدرة أكبر، يعتمد في عمله على الحقن الكهرمغناطيسي، الذي يرتبط بمفهوم التدفق المغناطيسي.

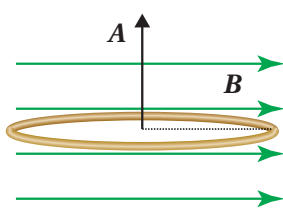
يوضح الشكل (1) ملفاً دائرياً من لفة واحدة مقدار مساحته ( $A$ )، موضوعاً في مجال مغناطيسي منتظم يخترقه عمودياً على مستوى المساحة، أي إن المجال المغناطيسي ( $B$ ) يوازي متوجه المساحة ( $A$ ). ولما كان التدفق المغناطيسي عبر مساحة محددة يتاسب طردياً مع عدد خطوط المجال المغناطيسي التي تخترق هذه المساحة، ومقدار المجال المغناطيسي يتاسب مع عدد خطوط المجال المغناطيسي التي تخترق عمودياً ووحدة المساحة، فإنه يمكن التعبير عن التدفق المغناطيسي **Magnetic flux** ( $\Phi_B$ ) رياضياً بأنه ناتج الضرب القياسي لمتوجه المجال المغناطيسي ( $B$ ) ومتوجه المساحة ( $A$ )، ويُعبر عن مقداره بالعلاقة الآتية:

$$\Phi_B = B \cdot A = BA \cos \theta$$

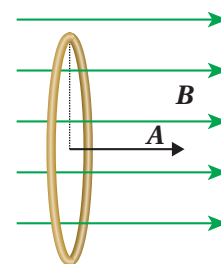
حيث ( $\theta$ ) هي الزاوية المحصورة بين متوجهي المجال المغناطيسي والمساحة عندما يبدأ المتوجهان من النقطة نفسها، أما مقدار متوجه المساحة، فيساوي مساحة سطح الملف، واتجاهه يكون عمودياً على السطح.

وألاحظ من العلاقة السابقة أن التدفق المغناطيسي كمية قياسية، يُقاس بوحدة ( $T.m^2$ )، تسمى وير (Wb) بحسب النظام الدولي للوحدات.

في الشكل (1)، خطوط المجال المغناطيسي موازية لمتوجه المساحة ( $A = 0^\circ$ )، فيكون مقدار التدفق المغناطيسي ( $\Phi_B = BA$ )، وهي أكبر قيمة



الشكل (2): التدفق المغناطيسي عبر الملف يساوي صفراء لأن  $\cos 90^\circ = 0$ .



الشكل (1): مجال مغناطيسي منتظم يخترق عمودياً المساحة  $A$  المحصور بالملف.

**الفكرة الرئيسية:**  
يرتبط تولّد قوة دافعة كهربائية حشية وتيار كهربائي حشبي في دارة مغلقة بتغيير التدفق المغناطيسي الذي يخترقها، يُحسب مقدار القوة الدافعة الكهربائية بقانون فارادي، ويُحدد اتجاه التيار بقانون لenz.

- أصف التدفق المغناطيسي عبر سطح عن طريق التعبير عنه بمعادلة.
- أُنفّذ استقصاءً عملياً، لأستنتاج طرائق توليد قوة دافعة كهربائية حشية في دارة كهربائية باستخدام مجال مغناطيسي.
- أُوظّف قانوني فارادي ولenz في الحقن، لأحسب مقدار القوة الدافعة الكهربائية الحشية وأحدد اتجاه التيار الحشبي في دارة كهربائية.
- أطور علاقة رياضية؛ لأنّوصل إلى العوامل التي تحدد معامل الحقن الذاتي لملف لوليبي.
- أصمّم نموذج محول كهربائيّ يعمل على خفض الجهد الكهربائيّ أو رفعه.
- أشرح آلية عمل المحول الكهربائيّ، ودوره في رفع كفاءة نقل الطاقة الكهربائية من مكان إنتاجها إلى أماكن استهلاكها.

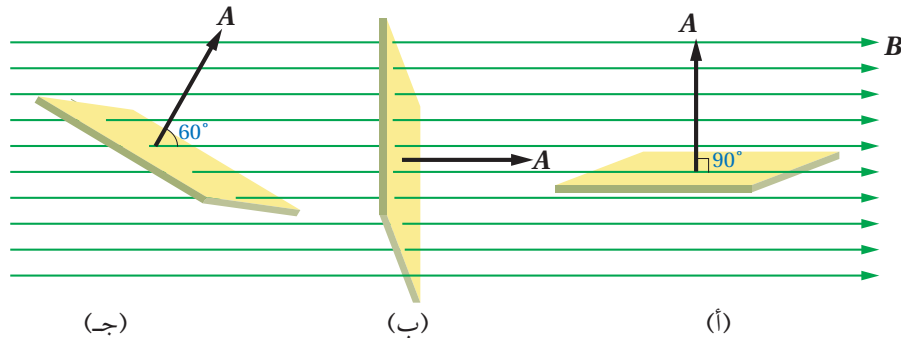
### المفاهيم والمصطلحات:

Magnetic Flux التدفق المغناطيسي  
the magnetic flux the magnetic force density

Induced Electromotive Force قانون فارادي في الحقن  
Faraday's Law of Induction

Lenz's Law	قانون لنز
Self Induction	الحقن الذاتي Mutual Induction
Coefficient of Self Induction	معامل الحقن الذاتي

الشكل (3): سطح يصنع زوايا مختلفة مع اتجاه خطوط المجال المغناطيسي.

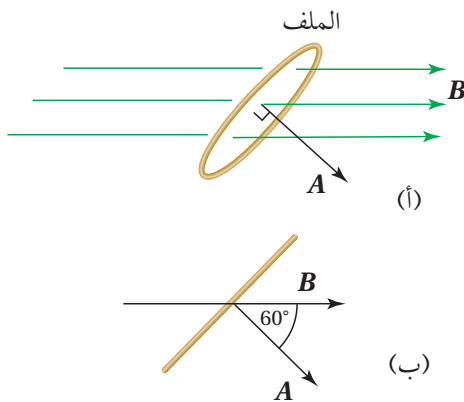


ممكّنة. أمّا في الشكل (2)، فإنّ خطوط المجال المغناطيسي عموديّة على متّجه المساحة (خطوط المجال موازية لسطح الملف)؛ ( $\theta = 90^\circ$ )؛ لذا لا تخترق الملف، والتَّدفُّق المغناطيسي عبر مساحة الملف يساوي صفرًا.

استنّج مما سبق، أنّ التَّدفُّق المغناطيسي عبر مساحة محدّدة يعتمد على: مقدار المجال المغناطيسي، ومقدار المساحة التي أحسب التَّدفُّق عبرها، وجيّب تمام الزاوية الممحصورة بين متّجهي المجال المغناطيسي والمساحة.

**أتحقق:** يوضّح الشكل (3) ثلاثة سطوح متماثلة موضوعة في المجال المغناطيسي نفسه. فائي السطوح يختلف أكبر تدفق مغناطيسي؟ وأيها يختلف أقل تدفق مغناطيسي؟

### المثال ١



حلقة دائريّة مساحتها ( $3.0 \times 10^{-4} \text{ m}^2$ )، موضوعة في مجال مغناطيسي منتظم مقداره ( $120 \text{ mT}$ ) كما في الشكل (4/أ). ويوضّح الشكل (4/ب) منظراً جانبياً للحلقة، حيث الزاوية الممحصورة بين متّجهي المجال المغناطيسي والمساحة ( $60^\circ$ ). أحسب التَّدفُّق المغناطيسي عبر الحلقة:

أ. كما في الشكل (4/أ).

الشكل (4):

- (أ) حلقة دائريّة مغمورة في مجال مغناطيسي.
- (ب) الزاوية بين متّجهي المجال المغناطيسي والمساحة.
- ب. عندما يكون مستوى الحلقة عموديّاً على اتجاه المجال المغناطيسي.
- ج. عندما يكون مستوى الحلقة موازيًّا لاتجاه المجال المغناطيسي.

المُعطيات:  $A = 3.0 \times 10^{-4} \text{ m}^2$ ,  $B = 120 \times 10^{-3} \text{ T}$ ,  $\theta_1 = 60^\circ$ ,  $\theta_2 = 0^\circ$ ,  $\theta_3 = 90^\circ$ .

المطلوب:  $\Phi_B = ?$

## الحل:

أ. الزاوية بين متجهي المجال المغناطيسي والمِساحة ( $60^\circ$ )، وأحسب التدفق المغناطيسي على النحو الآتي:

$$\begin{aligned}\Phi_B &= BA \cos \theta \\ &= 120 \times 10^{-3} \times 3.0 \times 10^{-4} \times \cos 60^\circ \\ &= 1.8 \times 10^{-5} \text{ Wb}\end{aligned}$$

ب . عندما يكون مستوى الحلقة عمودياً على اتجاه المجال المغناطيسي تكون الزاوية بين متجهي المجال المغناطيسي والمِساحة ( $0^\circ$ )، وأحسب التدفق المغناطيسي على النحو الآتي:

$$\begin{aligned}\Phi_B &= BA \cos \theta \\ &= 120 \times 10^{-3} \times 3.0 \times 10^{-4} \times \cos 0^\circ \\ &= 3.6 \times 10^{-5} \text{ Wb}\end{aligned}$$

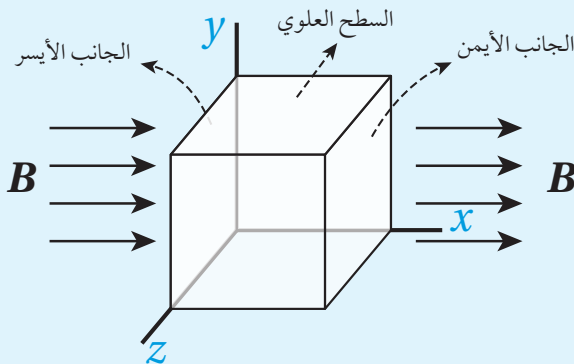
ج. عندما يكون مستوى الحلقة موازياً لاتجاه المجال المغناطيسي تكون الزاوية بين متجهي المجال المغناطيسي والمِساحة ( $90^\circ$ )، وأحسب التدفق المغناطيسي على النحو الآتي:

$$\begin{aligned}\Phi_B &= BA \cos \theta \\ &= 120 \times 10^{-3} \times 3.0 \times 10^{-4} \times \cos 90^\circ = 0\end{aligned}$$

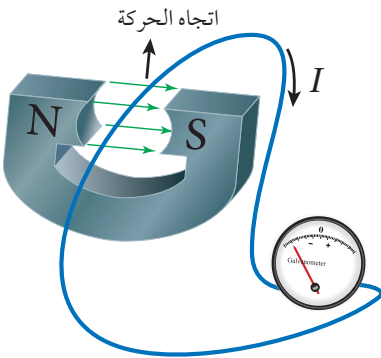
يكون التدفق المغناطيسي صفراء لأن  $\cos 90^\circ = 0$ .

## لuyện

مكعب طول ضلعه (2.0 cm)، موضوع في مجال مغناطيسي منتظم مقداره (1.5 T) كما في الشكل (5). أحسب التدفق المغناطيسي الكلي عبر المكعب.



الشكل (5): سطح مغلق على شكل مكعب في مجال مغناطيسي منتظم.



الشكل (6): يتولّد تيار كهربائيٌّ حثّيٌّ في سلك عند تغيير التدفق المغناطيسيِّ الذي يخترق الدارة المغلقة التي يُعدُّ السلك جزءاً منها.

هل يتولّد تيار كهربائيٌّ حثّيٌّ في السلك عند تحريره بموازاة طوله؟

## الحث الكهرمغناطيسي Electromagnetic Induction

درستُ في الوحدة السابقة أنَّ مرور تيار كهربائيٍّ في موصل يولّد حوله مجالاً مغناطيسياً. فهل يمكن عكس هذه العملية؛ أي هل يمكن توليد تيار كهربائيٍّ في موصل باستخدام مجال مغناطيسيٍّ؟

اكتشف العالمان الأميركي جوزيف هنري والإنجليزي مايكل فارادي عام (1831م) بشكل مستقل أنه يمكن توليد تيار كهربائيٍّ في دارة كهربائية مغلقة عند تغيير التدفق المغناطيسيِّ الذي يخترقها، وتسمى هذه العملية الحث الكهرمغناطيسيٍّ، ويُسمى التيار الكهربائيٌّ المتولّد في هذه الحالة التيار الكهربائيٌّ الحثّيٌّ Induced current. وما نفذته في التجربة الاستهلالية، شبيه بالتجارب التي نفذها العالمان هنري وفارادي، ومنها أستنتج أنه يمكن توليد تيار كهربائيٌّ حثّيٌّ في دارة مغلقة عند:

1. تحريك سلك موصل إلى الأعلى وإلى الأسفل في دارة كما في الشكل (6)، بحيث يقطع الموصل خطوط المجال المغناطيسيِّ.

2. تقريب مغناطيس من ملف أو بإعاده عنه كما في الشكل (7).

إنَّ مرور تيار كهربائيٍّ في دارة يتطلب مصدر فرق جهد، مثل البطارية. فكيف تولّد التيار الكهربائيٍّ في الحالتين السابقتين دون وجود بطارية؟ لأعرف الإجابة؛ أدرس القوة الدافعة الكهربائية الحثّية.

**أتحقق:** ما المقصود بالتيار الكهربائيٌّ الحثّي؟

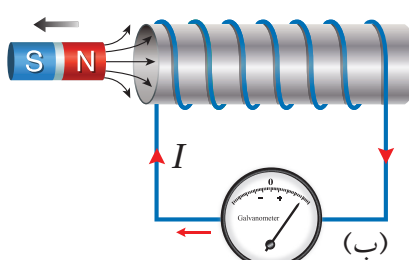
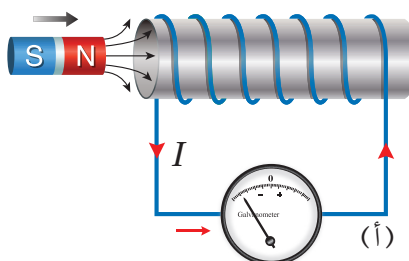
## القوة الدافعة الكهربائية الحثّية Induced Electromotive Force

القوة الدافعة الكهربائية الحثّية في ملفٍ موصل

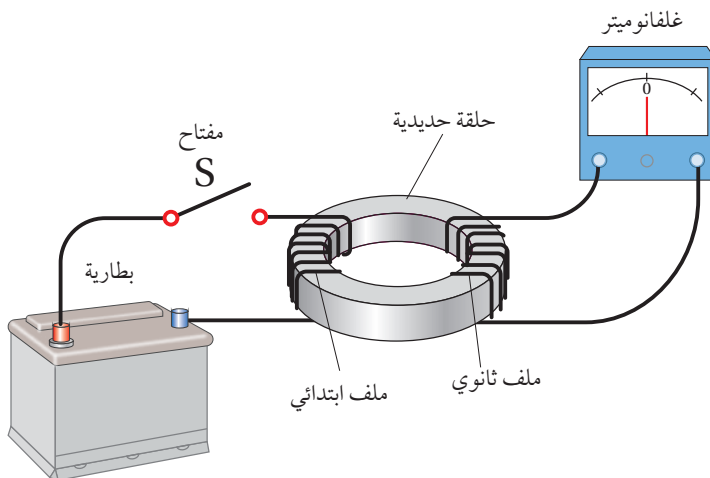
**تولّد قوة دافعة كهربائية حثّية (ε)**

وتيار كهربائيٌّ حثّيٌّ في ملفٍ عند تغيير التدفق المغناطيسيِّ الذي يخترقه. وتغيير التدفق المغناطيسيِّ الذي يخترق الملف ينتج عن تغيير في أيٍّ من مقدار المجال المغناطيسيِّ، أو المساحة التي يخترقها المجال المغناطيسيِّ، أو الزاوية المحصورة بين اتجاهي المجال المغناطيسيِّ والمساحة.

يوضّح الشكل (7) ملفاً موصلًا بغلفانوميتر، ومغناطيس مستقيم. عند تحريك المغناطيس نحو الملف، ينحرف مؤشر الغلفانوميتر في اتجاه معين، دالاً على تولّد قوة دافعة كهربائية حثّية وسريان تيار كهربائيٌّ حثّيٌّ في الملف، أتمّل الشكل (7). أمّا عند إبعاد المغناطيس عن الملف، فإنَّ مؤشر الغلفانوميتر ينحرف في اتجاه معاكس لاتجاه انحرافه في الحالة السابقة، دالاً على تولّد قوة دافعة كهربائية حثّية، وسريان تيار كهربائيٌّ حثّيٌّ في الملف باتجاه معاكس. أتمّل الشكل (7/ب). وأحصل على التائج نفسه عند ثبيت المغناطيس وتحريك الملف.



الشكل (7): يتولّد تيار كهربائيٌّ حثّيٌّ في أثناء حركة المغناطيس مقترباً من ملفٍ (أ)، أو متبعداً عنه (ب).



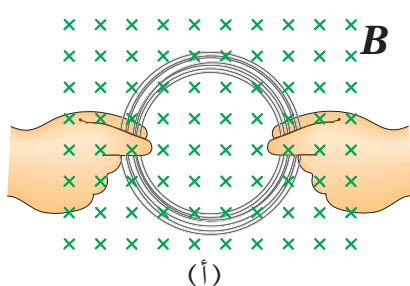
الشكل (8): يتولد تيار كهربائي  
حيث في الملف الثانوي عند تغير  
مقدار تيار الملف الابتدائي.

يمكن أيضاً توليد قوة دافعة كهربائية حية، وتيار كهربائيٍّ حتى بتنفيذ تجربة مماثلة لتجربة العالم فارادي، كما في الشكل (8). إذا لف سلكٌ حول جزء من حلقة حديدية، ثم وصل طرفاً بمفتاح (S) وبطارية، مكوناً الملف الابتدائي Primary coil، ثم لف سلك آخر حول جزء آخر من الحلقة نفسها، ووصل طرفاً بغلفانوميتر فقط، مكوناً الملف الثانوي Secondary coil. لحظة إغلاق المفتاح (S) ينحرف مؤشر الغلفانوميتر المتصل بالملف الثانوي باتجاه معين، ثم يعود إلى الصفر. ويكرر ذلك لحظة فتح المفتاح، لكن انحراف المؤشر يكون باتجاه معاكس للحالة السابقة. ولا ينحرف مؤشر الغلفانوميتر عند ثبات مقدار التيار الكهربائي في الملف الابتدائي.

وأُفسِر المشاهدات السابقة، أَنَّه عند إغلاق المفتاح (S) ينمو تيار كهربائي في الملف الابتدائي مولداً مجالاً مغناطيسياً يخترق الملف الثانوي، فيتغيّر التدفق المغناطيسي الذي يخترقه من صفر إلى قيمة معينة خلال مدة نمو التيار، وهذا التغيير في التدفق المغناطيسي مع الزمن يولّد قوة دافعة كهربائية حثّية وتياراً كهربائياً حثّياً في الملف الثانوي. الأمر نفسه يحدث عند فتح دارة الملف الابتدائي، إذ يتلاشى التيار الكهربائي المار فيه، وتبعاً لذلك يتناقص التدفق المغناطيسي الذي يخترق الملف الثانوي، فتتولّد فيه قوة دافعة كهربائية حثّية وتيار كهربائي حثّي خلال مدة تلاشي تيار الملف الابتدائي.

**أتحقق:** ما طرائق توليد قوة دافعة كهربائية حية في ملف من سلك موصىل؟ ✓

## المثال 2



يوضح الشكل (9/أ) ملفاً دائرياً مغموراً في مجال مغناطيسيٍ منتظم عموديٍ على سطح الملف. هل يتولد تيار كهربائيٌ حتى:  
أ. عند تحريك الملف نحو اليسار أو نحو اليمين مع بقائه داخل المجال كما في الشكل (9/أ)؟

ب. في أثناء تغيير شكل الملف بحيث تقل مساحته كما في الشكل (9/ب)؟  
المعطيات: الشكلان (9/أ) و(9/ب).

المطلوب: تفسير تولّد تيار كهربائيٍ حتى.  
الحل:

أ. لا يتولد تيار كهربائيٌ حتى عند تحريك الملف داخل المجال نحو اليسار أو اليمين بسبب ثبات التدفق المغناطيسي.

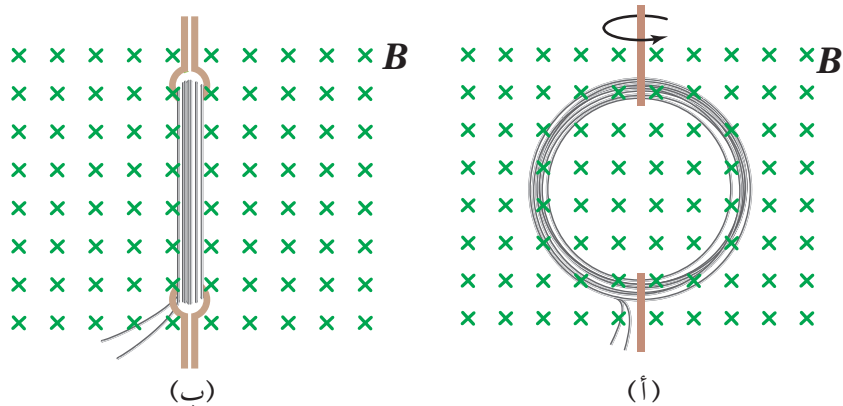
الشكل (9):

- (أ) ثبات التدفق المغناطيسي الذي يخترق الملف عند تحريكه داخل المجال.  
(ب) إنفاس مساحة الملف.

ب. عند شد الملف يتغير شكله بحيث تقل مساحة سطحة، فيقل التدفق المغناطيسي الذي يخترقه، ما يؤدي إلى تولّد قوة دافعة كهربائية حية، وتيار كهربائيٍ حتى.

## تمرين

يوضح الشكل (10/أ) ملفاً دائرياً مغموراً في مجال مغناطيسيٍ منتظم عموديٍ على سطح الملف. أُفسِر ما يحدث في أثناء تدوير الملف في المجال المغناطيسيٍ من الوضع المبين في الشكل (10/أ) إلى الوضع المبين في الشكل (10/ب).



الشكل (10): تدوير ملفٍ في مجال مغناطيسيٍ منتظم من الوضع (أ) إلى الوضع (ب).

## قانون فارادي في الحث Faraday's Law of Induction

توصل العالم فارادي اعتماداً على نتائج الاستقصاءات السابقة إلى قانونٍ، سُميَّ

**قانون فارادي في الحث Faraday's law of induction**، الذي ينصّ على أنَّ:

ـ مقدار القوة الدافعة الكهربائية الحثّية المتولدة في دارة كهربائية يتناسب طردياً مع المعدل الزمني لتغيير التدفق المغناطيسي الذي يخترقها. ويُعبّر عنه رياضياً على النحو الآتي:

$$\bar{\epsilon} = - \frac{d\Phi_B}{dt} = - \frac{d}{dt} (BA \cos \theta)$$

وإذا كانت الدارة مكوّنة من (N) لفة، فإنَّ قانون فارادي في الحث يُعبّر عنه

بالعلاقة الآتية:

$$\bar{\epsilon} = -N \frac{d\Phi_B}{dt}$$

والمعنى الفيزيائي للإشارة السالبة سيتوضّح عند دراسة قانون لenz.

وعندما يحدث التغيير في التدفق المغناطيسي ( $\Delta\Phi_B$ ) خلال مدة زمنية ( $\Delta t$ ),

فإنَّه يُمكن كتابة قانون فارادي في الحث على النحو الآتي لحساب القوة الدافعة

الكهربائية الحثّية المتوسطة:

$$\bar{\epsilon} = -N \frac{\Delta\Phi_B}{\Delta t}$$

وينشأ في الدارة الكهربائية تيار كهربائي حثّي، تُحسب قيمته باستخدام قانون

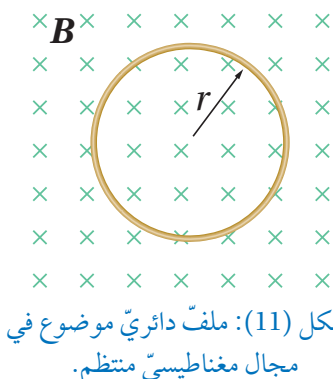
أوم على النحو الآتي:

$$I = \left| \frac{\bar{\epsilon}}{R} \right|$$

حيث R مقاومة الدارة.

أتحقق: علام ينص قانون فارادي  
في الحث؟ ✓

### المثال 3



ملف دائري عدد لفاته (20) لفة، ومتوسط نصف قطر اللفة الواحدة (1.0 cm)

موضوع في مجال مغناطيسي متظم مقداره (120 mT)، كما في الشكل (11).

سُحب الملف خارج المجال المغناطيسي خلال زمن مقداره (0.20 s)، أحسب

القوة الدافعة الكهربائية الحثّية المتوسطة المتولدة في الملف.

الشكل (11): ملف دائري موضوع في  
مجال مغناطيسي متظم.

المعطيات:  $N = 20$  turns,  $r = 1.0 \times 10^{-2}$  m,  $B_i = 120 \times 10^{-3}$  T,  $B_f = 0$ ,  $\theta = 0^\circ$ ,  $\Delta t = 0.20$  s.

المطلوب:  $\bar{\epsilon} = ?$

الحلّ:

بداية، أحسب مساحة المقطع العرضي للملف.

$$A = \pi r^2$$

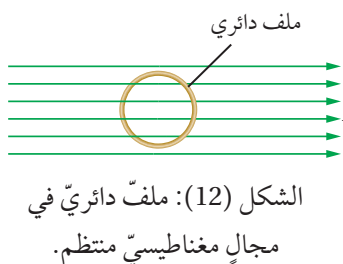
$$= \pi \times (1.0 \times 10^{-2})^2 = 3.14 \times 10^{-4} \text{ m}^2$$

أحسب القوة الدافعة الكهربائية الحثّية المتوسطة المتولدة في الملف على النحو الآتي، مع ملاحظة أن التدفق المغناطيسي النهائي يساوي صفرًا، حيث المجال المغناطيسي الذي يخترق الملف يساوي صفرًا:

$$\begin{aligned}\bar{\epsilon} &= -N \frac{\Delta \Phi_B}{\Delta t} = -N \frac{(\Phi_{B,f} - \Phi_{B,i})}{\Delta t} \\ &= -N \frac{(0 - BA \cos \theta)}{\Delta t} = -20 \times \left( \frac{0 - 120 \times 10^{-3} \times 3.14 \times 10^{-4} \cos 0^\circ}{0.20} \right) \\ &= 3.77 \times 10^{-3} \text{ V}\end{aligned}$$

## المثال 4

ملف دائري عدد لفاته (100) لفة، ومساحة مقطعه العرضي ( $1.2 \times 10^{-4} \text{ m}^2$ )، موضوع في مجال مغناطيسي متظم مقداره (1.0 T)، كما في الشكل (12). بداية، مستوى الملف موازٍ لخطوط المجال المغناطيسي، ثم دار الملف بزاوية مقدارها ( $90^\circ$ ) حول محور رأسي يمر بمركزه بحيث أصبح مستوى عمودياً على اتجاه المجال المغناطيسي خلال (0.50 s). أحسب ما يأتي:



الشكل (12): ملف دائري في مجال مغناطيسي متظم.

أ. التغير في التدفق المغناطيسي عبر مقطع الملف.

ب. القوة الدافعة الكهربائية الحثّية المتوسطة المتولدة في الملف.

ج. التيار الكهربائي الحثّي المتوسط المار في الملف، إذا علمت أن المقاومة الكهربائية للملف (4.0 Ω).

المُعْطَيات:  $N = 100$  turns,  $A = 1.2 \times 10^{-4} \text{ m}^2$ ,  $B = 1.0 \text{ T}$ ,  $\theta_i = 90^\circ$ ,  $\theta_f = 0^\circ$ ,  $\Delta t = 0.50 \text{ s}$ ,  $R = 4.0 \Omega$ .

المطلوب:  $\Delta \Phi_B = ?$ ,  $\bar{\epsilon} = ?$ ,  $I = ?$ .

الحلّ:

أ. أحسب التغير في التدفق المغناطيسي عبر مقطع الملف على النحو الآتي:

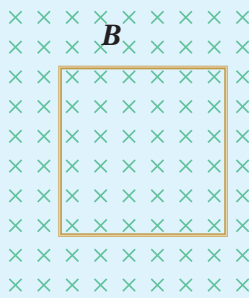
$$\begin{aligned}\Delta \Phi_B &= \Phi_{B,f} - \Phi_{B,i} \\ &= BA \cos \theta_f - BA \cos \theta_i = 1.0 \times 1.2 \times 10^{-4} \times (\cos 0^\circ - \cos 90^\circ) \\ &= 1.2 \times 10^{-4} \text{ Wb}\end{aligned}$$

ب. أحسب القوة الدافعة الكهربائية الحثّية المتوسطة المتولدة في الملف على النحو الآتي:

$$\begin{aligned}\bar{\epsilon} &= -N \frac{\Delta \Phi_B}{\Delta t} = -100 \times \frac{1.2 \times 10^{-4}}{0.50} \\ &= -2.4 \times 10^{-2} \text{ V}\end{aligned}$$

ج. أستخدم قانون أوم لحساب التيار الكهربائي الحثّي المتوسط المار في الملف على النحو الآتي:

$$I = \left| \frac{\bar{\epsilon}}{R} \right| = \left| \frac{-2.4 \times 10^{-2}}{4.0} \right| = 6 \times 10^{-3} \text{ A} = 6 \text{ mA}$$



الشكل (13): حلقة موصل مربعة موصولة بمحور ثابت عمودياً على طوله، وعلى اتجاه المجال المغناطيسي منتظم (باتجاه محور z+).

حلقة مربعة الشكل مقاومتها ( $10\ \Omega$ )، موضوعة في مجال مغناطيسي منتظم، حيث مستواها عمودي على اتجاه المجال المغناطيسي كما في الشكل (13). فإذا تغير التدفق المغناطيسي الذي يخترق الحلقة من قيمة ابتدائية ( $0.15\ Wb$ ) إلى ( $0.10\ Wb$ ) خلال ( $0.10\ s$ ), أحسب ما يأتي:

أ. القوة الدافعة الكهربائية الحثّية المتوسطة المتولدة في الحلقة.

ب. التيار الكهربائي الحثّي المتوسط المار في الحلقة.

### القوة الدافعة الكهربائية الحثّية في موصل متتحرك Motional EMF

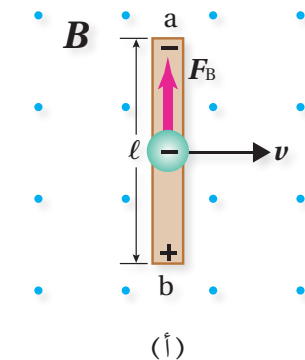
يوضح الشكل (14) / أ) موصلًا يتتحرك باتجاه محور ( $+x$ ) بسرعة ثابتة عموديًّا على طوله، وعلى اتجاه مجال مغناطيسي منتظم (باتجاه محور  $z+$ ). تتحرك الإلكترونات الحرة في الموصل معه باتجاه محور ( $+x$ ) عموديًّا على اتجاه المجال المغناطيسي قاطعة خطوط المجال المغناطيسي، فتتأثر بقوة مغناطيسية باتجاه محور ( $+y$ ) بحسب قاعدة اليد اليمنى. ونتيجة لذلك تجتمع شحنات سالبة عند طرف السلك (a)، وتاركة خلفها شحنات موجبة عند الطرف (b)، فيصبح جهد الطرف (b) أكبر من جهد الطرف (a)، أي يتولد فرق في الجهد الكهربائي بين طرفيه، يُسمى القوة الدافعة الكهربائية الحثّية ( $\epsilon$ ) Induced electromotive force. ويعبر عن مقدار القوة الدافعة الكهربائية الحثّية المتوسطة المتولدة في هذا الموصل بالعلاقة الآتية:

$$\epsilon = Blv$$

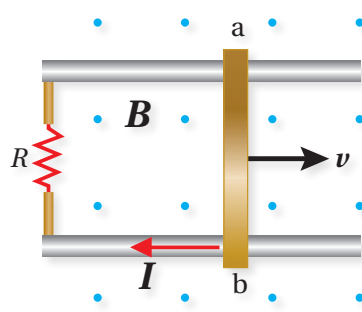
حيث ( $B$ ) مقدار المجال المغناطيسي، ( $l$ ) طول الموصل المتحرك ضمن المجال المغناطيسي، و ( $v$ ) مقدار سرعة الموصل.

وعندما يكون الموصل جزءًا من دارة كهربائية مغلقة، كما في الشكل (14) / بـ، فإنه يسري فيها تيار كهربائي حثّي، إذ يعمل الموصل عمل بطارية قطبها الموجب عند الطرف (b). ويستمر سريان التيار الكهربائي في الدارة الكهربائية ما دام الموصل متتحركًا.

**أتحقق:** علام يعتمد مقدار القوة الدافعة الكهربائية الحثّية المتوسطة بين طرفي موصل يتتحرك عموديًّا على طوله وعلى اتجاه المجال المغناطيسي؟



(أ)



(ب)

الشكل (14) :

(أ) في أثناء قطع موصل خطوط مجال مغناطيسي يتولد بين طرفيه قوة دافعة كهربائية حثّية.

(ب) ويسري فيه تيار كهربائي حثّي عندما يصبح جزءًا من دارة كهربائية مغلقة.

## المثال 5

يتقابل القطبان الشمالي N والجنوبي S لمغناطيسين، طول كُلّ منها ( $\ell = 20.0 \text{ cm}$ )، وارتفاع كُلّ منها ( $h = 6.00 \text{ cm}$ )، بينهما مجال مغناطيسي منتظم مقداره ( $54.0 \text{ mT}$ ). أتمّل الشكل (15/أ). حُرّك سلك مشودٌ موصولٌ بملتي أميتر من الطرف السفلي للمغناطيسين إلى الطرف العلوي عمودياً على اتجاه خطوط المجال المغناطيسي بسرعة ثابتة خلال مدة زمنية مقدارها ( $0.200 \text{ s}$ )، كما في الشكل (15/ب). أحسب ما يأتي:

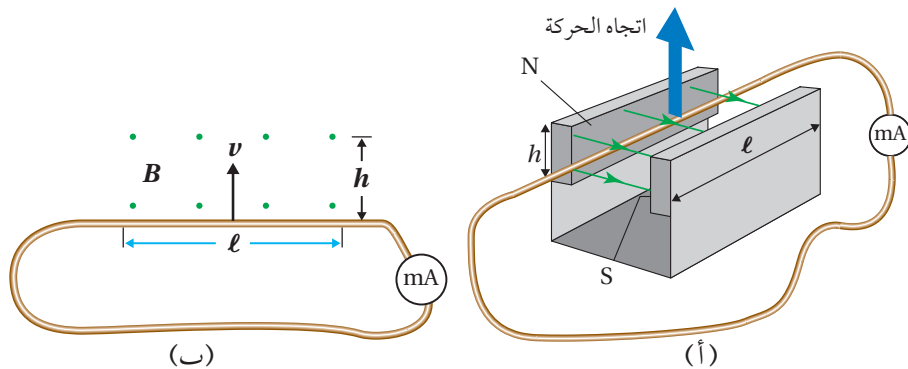
أ. القوة الدافعة الكهربائية الحثّية المتولدة في السلك.

ب. التيار الكهربائي الحثّي المار في الملي أميتر إذا علمت أن المقاومة الكهربائية للدارة ( $2.0 \Omega$ ).

الشكل (15):

(أ) تحريك سلك عمودياً على اتجاه خطوط مجال مغناطيسي منتظم.

(ب) منظر أمامي لحركة السلك داخل المجال المغناطيسي.



المُعْطَيات:  $\ell = 20.0 \text{ cm}$ ,  $h = 6.00 \text{ cm}$ ,  $B = 54.0 \times 10^{-3} \text{ T}$ ,  $\Delta t = 0.200 \text{ s}$ ,  $R = 2.0 \Omega$ .

المطلوب:  $\hat{\varepsilon} = ?$ ,  $I = ?$

الحلّ:

أ. طول السلك داخل المجال المغناطيسي يساوي طول أيٍ من قطبي المغناطيس. أحسب القوة الدافعة الكهربائية الحثّية المتولدة فيه على النحو الآتي، علماً بأنّ  $v = \frac{\Delta y}{\Delta t}$ ، و  $\Delta y = h$ .

$$\hat{\varepsilon} = Blv$$

$$= 54.0 \times 10^{-3} \times 20.0 \times 10^{-2} \times \frac{h}{\Delta t}$$

$$= 108 \times 10^{-4} \times \frac{6.00 \times 10^{-2}}{0.200}$$

$$= 3.24 \times 10^{-3} \text{ V}$$

ب. أحسب التيار الكهربائي الحثّي المار في الدارة على النحو الآتي:

$$I = \left| \frac{\hat{\varepsilon}}{R} \right| = \left| \frac{3.24 \times 10^{-3}}{2.0} \right|$$

$$= 1.62 \times 10^{-3} \text{ A} = 1.62 \text{ mA}$$

## قانون لنز Lenz's Law

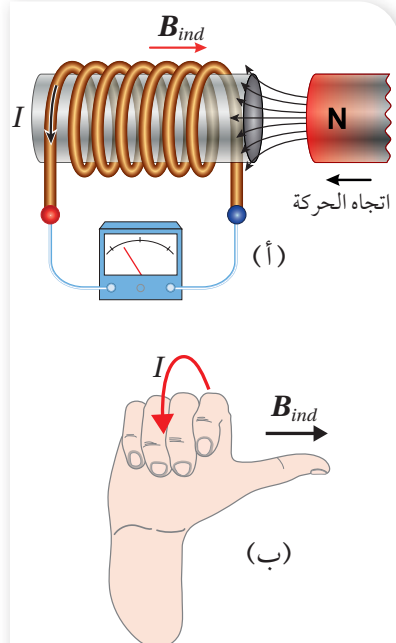
لاحظت في طرائق توليد القوة الدافعة الكهربائية الحثّية والتيار الكهربائي الحثّي السابقة أنّ مؤشّر الغلفانوميتر أو الأميتر ينحرف باتّجاه معين عند تقريب أحد قطبي مغناطيس من ملف، وأن اتجاه الانحراف ينعكس عند إبعاد القطب نفسه عن الملف. فما دلالة هذه المشاهدات؟ وكيف أُحدّد اتجاه التيار الكهربائي الحثّي المتولّد؟

فسّر العالم الروسي لنز هذه المشاهدات من قانون أصبح يُعرف باسم **قانون لنز Lenz's law** الذي ينصّ على: «يكون اتجاه التيار الحثّي المتولّد في دارة مغلقة بحيث يولّد مجالاً مغناطيسيّاً يقاوم التغيير في التدفق المغناطيسي المسبب له».

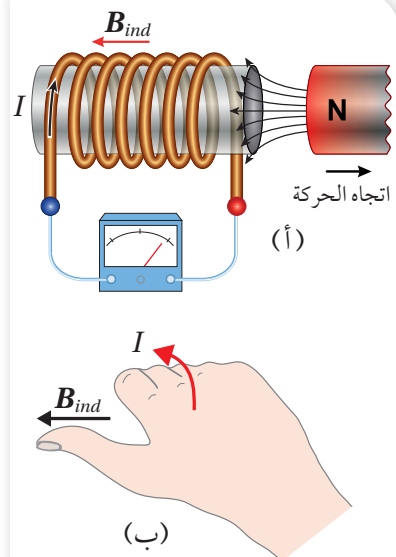
لتحديد اتجاه التيار الكهربائي الحثّي المتولّد، أتمّل الشكل (16/أ) الذي يوضّح تقريب القطب الشمالي لمغناطيس من أحد طرفي ملف. ونتيجة لذلك يزداد التدفق المغناطيسي الذي يخترق الملف، فتتوّلد قوة دافعة كهربائية حثّية بين طرفيه، تؤدي إلى مرور تيار كهربائيٍّ حثّي في الاتجاه الذي يولّد مجالاً مغناطيسيّاً يقاوم الزيادة في التدفق المغناطيسي. وهذا يعني أنّ طرف الملف القريب من المغناطيس يصبح قطباً مغناطيسيّاً شمالياً، فيتناقض مع القطب الشمالي للمغناطيس. ولأُحدّد اتجاه التيار الكهربائي الحثّي، أستخدم قاعدة اليد اليمنى كما في الشكل (16/ب) حيث يُشير الإبهام إلى اتجاه المجال المغناطيسي الناتج من الملف ( $B_{ind}$ )، في حين يُشير اتجاه انحصار بقية الأصابع إلى اتجاه التيار الكهربائي الحثّي في لفّات الملف.

أما عند إبعاد القطب الشمالي للمغناطيس عن طرف الملف الموضّح في الشكل (17/أ) يقلّ التدفق المغناطيسي الذي يخترقه، فتتوّلد قوة دافعة كهربائية حثّية بين طرفيه تؤدي إلى مرور تيار كهربائيٍّ حثّي في الاتجاه الذي يولّد مجالاً مغناطيسيّاً اتجاهه نحو اليسار (يُصبح طرف الملف القريب من المغناطيس قطباً مغناطيسيّاً جنوبيّاً)؛ كي يُقاوم النقص في التدفق المغناطيسي، فتنشأ قوة تجاذب بين القطبين تُقاوم ابعاد القطب الشمالي عن الملف. وأُحدّد اتجاه التيار الكهربائي الحثّي المتولّد باستخدام قاعدة اليد اليمنى كما في الشكل (17/ب).

**تحقق:** علام ينصّ قانون لنز؟ وكيف أُحدّد اتجاه التيار الكهربائي الحثّي المتولّد في ملفّ عند تغيير التدفق المغناطيسي الذي يخترقه؟

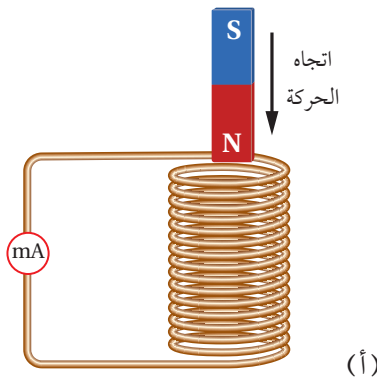


الشكل (16):  
 (أ) تقريب القطب الشمالي لمغناطيس من أحد طرفي ملف.  
 (ب) أستخدم قاعدة اليد اليمنى لتحديد اتجاه التيار الكهربائي الحثّي في الملف.



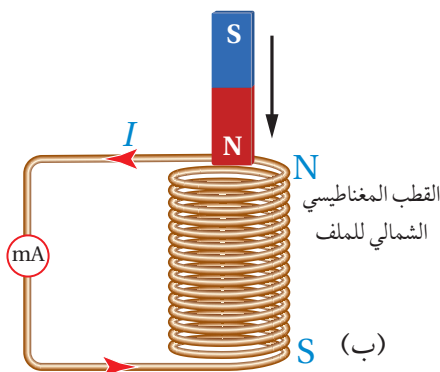
الشكل (17):  
 (أ) إبعاد القطب الشمالي لمغناطيس عن أحد طرفي ملف.  
 (ب) أستخدم قاعدة اليد اليمنى لتحديد اتجاه التيار الكهربائي الحثّي في الملف.

## المثال 6



(أ)

يقرب القطب الشمالي لمغناطيس من ملف، فيتحرك مؤشر المilliampere أمير المتصل به. ويوضح الشكل (18/أ) منظراً جانبياً للمغناطيس في أثناء اقترابه من الملف. كيف أحديد اتجاه التيار الكهربائي الحثي المترافق مع الملف وما اتجاهه عند النظر إلى الملف من الأعلى؟



(ب)

المعطيات: الشكل (18/أ).

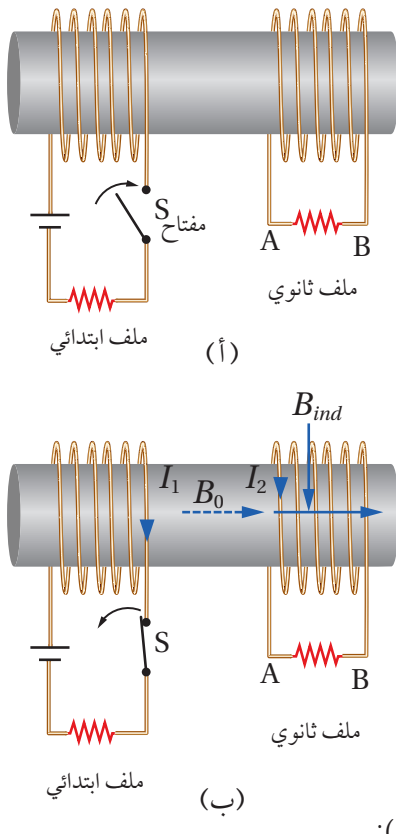
المطلوب: تحديد اتجاه التيار الكهربائي الحثي.

الشكل (18):

- (أ) منظر جانبي لتقارب القطب الشمالي لمغناطيس من أحد طرفي ملف.
- (ب) اتجاه التيار الكهربائي الحثي المترافق مع الملف واتجاه المجال المغناطيسي الناتج.

الحل:

بحسب قانون لenz، يكون اتجاه التيار الكهربائي الحثي المترافق مع الملف في الاتجاه الذي ينشأ عنه مجال مغناطيسي حثي يقاوم التغير في التدفق المغناطيسي المسبب في توليد الملف. وفي هذا الشكل، يكون اتجاه التيار الكهربائي الحثي في الملف، بحيث يولّد مجالاً مغناطيسيّاً داخلاً الملف إلى الأعلى؛ باستخدام قاعدة اليد اليمنى أستنتج أن اتجاه التيار الكهربائي الحثي المترافق مع الملف يكون عكس اتجاه حركة عقارب الساعة عند النظر إليه من الأعلى، أي يكون الطرف العلوي للملف قطباً مغناطيسيّاً شمالياً؛ كي يقاوم اقتراب القطب الشمالي للمغناطيس المؤدي إلى توليد الملف. أتمّل الشكل (18/ب).



الشكل (19):

- (أ) ملفان ملفوفان حول القلب الحديدي نفسه.  
 (ب) اتجاه المجال المغناطيسي الناتج من الملف الابتدائي يكون باتجاه اليمين.

لُفّ ملفان عدد لفات كُلّ منها (100) لفة، ومساحة المقطع العرضي لكلّ منها ( $3.0 \times 10^{-4} \text{ m}^2$ )، على قلب حديدي كما في الشكل (19/أ).  
 عند إغلاق مفتاح دارة الملف الابتدائي يتولّد مجال مغناطيسي داخله مقداره ( $B_0 = 180 \text{ mT}$ ) ينتقل عبر القلب الحديدي، كما في الشكل (19/ب)، وعند فتح الدارة الكهربائية يتلاشى هذا المجال المغناطيسي خلال ( $0.10 \text{ s}$ ). أُجبِع عَمَّا يأتِي:

- أ. أحسب القوة الدافعة الكهربائية الحثّية المتوسطة المتولّدة في الملف الثانوي لحظة فتح المفتاح  $S$ .  
 ب. أُحدّد اتجاه سريان التيار الكهربائي الحثّي في المقاومة الكهربائية في الملف الثاني لحظة فتح المفتاح  $S$ .

المعطيات:

$$N = 100 \text{ turns}, A = 3.0 \times 10^{-4} \text{ m}^2, \\ B_0 = 180 \times 10^{-3} \text{ T}, \Delta t = 0.10 \text{ s}.$$

المطلوب: ? =

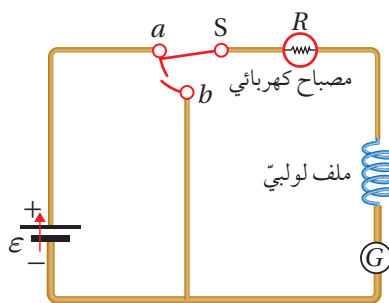
الحلّ:

- أ. التغيير في التدفق المغناطيسي ناتج من تغيير مقدار المجال المغناطيسي الذي يخترق حلقات الملف الثانوي، وأحسب القوة الدافعة الكهربائية الحثّية المتوسطة المتولّدة في الملف على النحو الآتي:

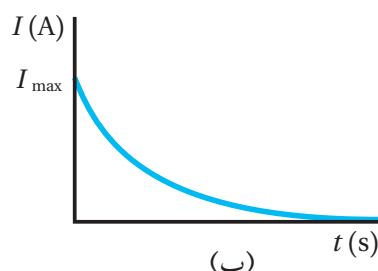
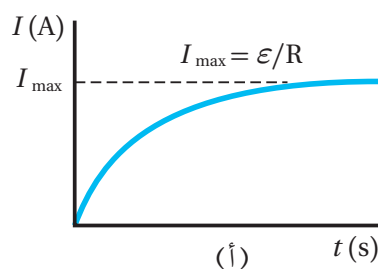
$$\bar{\epsilon} = -N \frac{\Delta \Phi_B}{\Delta t} = -N \left( \frac{\Phi_{B,f} - \Phi_{B,i}}{\Delta t} \right) \\ = -N \left( \frac{B_f A \cos 0.0^\circ - B_i A \cos 0.0^\circ}{\Delta t} \right) = -NA \left( \frac{B_f - B_i}{\Delta t} \right) \\ = -100 \times 3.0 \times 10^{-4} \times \left( \frac{0 - 180 \times 10^{-3}}{0.10} \right) = 5.4 \times 10^{-2} \text{ V}$$

- ب. المجال المغناطيسي الناتج عن الملف الابتدائي يكون نحو اليمين وينتقل عبر القلب الحديدي، وعند فتح دارة الملف الابتدائي، يقلّ التدفق المغناطيسي الذي يخترق الملف الثانوي، فتتولّد قوة دافعة كهربائية حثّية بين طرفيه تؤدي إلى مرور تيار كهربائي حثّي في الملف في الاتجاه الذي يجعله يُقاوم النقص في التدفق المغناطيسي؛ أي يكون المجال المغناطيسي الحثّي باتجاه المجال المغناطيسي نفسه. وبتطبيق قاعدة اليد اليمنى نجد أن اتجاه التيار الكهربائي الحثّي المار في المقاومة يكون من  $B$  إلى  $A$  عبر المقاومة.

## الحث الذاتي Self Induction



الشكل (20): تزداد إضاءة المصباح تدريجياً عند وصل المفتاح S بالنقطة (a)، وتتلاشى إضاءة المصباح تدريجياً عند وصل المفتاح S بالنقطة (b).



الشكل (21):

(أ) معدل نمو التيار الكهربائي في دارة تحوي محتلاً ومصباحاً لحظة توصيل المفتاح S بالنقطة (a).

(ب) معدل تلاشي التيار الكهربائي لحظة توصيل المفتاح S بالنقطة (b) في الدارة نفسها.

**أفخر:** في الشكل (21/ب)، لماذا يتلاشى التيار الكهربائي تدريجياً ولا يصل مقداره إلى الصفر مباشرة؟ أناقش أفراد مجموعتي، للتوصل إلى إجابة عن السؤال.

أتأمل الشكل (20) الذي يوضح دارة كهربائية تحوي بطارية ومقاومة (مصابح مثلاً) وملفاً ولوبياً وغلفانوميتر ومفتاح (S). عند إغلاق المفتاح (S) بوصيله بالنقطة (a) تزداد شدة إضاءة المصباح تدريجياً حتى تثبت، ما يعني أنَّ التيار لا يصل إلى قيمته العظمى لحظياً، بل ينمو تدريجياً من الصفر إلى قيمته العظمى، كما في الشكل (21/أ).

أُفسر ما سبق بأنَّ وجود الملف اللوبي قد أعاد نموَ التيار الكهربائي الناتج من البطارية. فعند إغلاق المفتاح (S) يسري التيار الكهربائي في الدارة الكهربائية، فيتولَّد مجال مغناطيسي في الملف اللوبي، ويزيَّد التدفق المغناطيسي الذي يخترقه. وبحسب قانون لذر، ينشأ فيه قوة دافعة كهربائية حثية ذاتية (E) تعاكس القوة الدافعة الكهربائية (ε) للبطارية، ما يؤدي إلى نموَ التيار الكهربائي إلى قيمته العظمى تدريجياً وليس لحظياً. يُسمى الملف اللوبي محتلاً **Inductor**، أمَّا هذا التأثير، فيُسمى **الحث الذاتي Self induction**، ويُعرف بأنه تولَّد قوة دافعة كهربائية حثية ذاتية في دارة كهربائية مغلقة نتيجة تغيير التدفق المغناطيسي بسبب تغيير مقدار تيار الدارة نفسها.

ويوضح الشكل (21/ب) أنَّ التيار الكهربائي يتلاشى تدريجياً لحظة توصيل المفتاح (S) بالنقطة (b) في الدارة الكهربائية الموضحة في الشكل (20)، حيث لا يصل مقداره إلى الصفر مباشرة. وألاحظ أنَّ البطارية في هذه الحالة لم تعد جزءاً من الدارة الكهربائية.

وأحسب القوة الدافعة الكهربائية الحثية الذاتية المتولدة في المحت بالاستخدام قانون فارادي على النحو الآتي:

$$E = -N \frac{d\Phi_B}{dt}$$

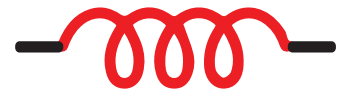
ونظراً إلى أنَّ التدفق المغناطيسي يتناسب طردياً مع مقدار المجال المغناطيسي، الذي بدوره يتناسب طردياً مع مقدار التيار الكهربائي المار في الملف، فإنَّ القوة الدافعة الكهربائية الحثية الذاتية ( $E_L$ ) تتناسب طردياً مع المعدل الزمني للتغير في مقدار التيار الكهربائي، وأُعبر عن ذلك رياضياً على النحو الآتي:

$$E_L = -L \frac{dI}{dt}$$

حيث ( $L$ ) ثابت التناوب، ويُسمى **معامل الحث الذاتي Coefficient of self induction** للمحت أو محتلة **Inductane** المحت اختصاراً، ويُعرف بأنه نسبة القوة الدافعة

الكهربائية الحثّ الذاتي المترتبة بين طرفي محث إلى المعدل الزمني للتغير في مقدار التيار الكهربائي المارّ فيه، وهو مقياس لممانعة المحث للتغير في مقدار التيار الكهربائي المارّ فيه، ووحدة قياسه هي  $(V \cdot s/A)$ ، وتسمى هنري ( $H$ ) بحسب النظام الدولي للوحدات، وذلك تكريماً لجهود العالم جوزيف هنري في مجال الحث الكهرومغناطيسي. وأُعرّف وحدة الهنري ( $H$ ) باعتبارها محاولة محث تولّد بين طرفيه قوة دافعة كهربائية حثّ ذاتية مقدارها  $(1\text{ V})$ ، عندما يكون المعدل الزمني للتغير في مقدار التيار الكهربائي المارّ فيه  $(1\text{ A/s})$ . ويوضح الشكل (22) رمز المحث في الدارات الكهربائية.

**أتحقق:** ما المقصود بمعامل الحث الذاتي لمحث؟ وما وحدة قياسه؟



الشكل (22): رمز المحث في الدارات الكهربائية.

### محاولة ملف لوليبي Inductance of a Solenoid

كي أتوصل إلى العوامل التي يعتمد عليها معامل الحث الذاتي لمحث (ملف لوليبي) أتأمّل الشكل (23) الذي يوضح محثًا طوله ( $\ell$ )، ومساحة مقطعه العرضي ( $A$ )، وعدد لفاته ( $N$ ) في دائرة كهربائية. لحظة غلق المفتاح يتزايد مقدار التيار الكهربائي المارّ في الدارة تدريجيًّا من الصفر إلى ( $I$ ) خلال مدة زمنية ( $\Delta t$ )، وييتزايد مقدار التدفق المغناطيسيي الذي يخترق المحث من الصفر إلى ( $\Phi_B$ ) خلال المدة الزمنية ( $\Delta t$ ) نفسها. فيتولّد بين طرفي المحث قوة دافعة كهربائية حثّ ذاتية، وبحسب قانون فارادي في الحث، يُعبر عن مقدارها المتوسط بالعلاقة الآتية:

$$\mathcal{E}_L = -N \frac{\Delta \Phi_B}{\Delta t}$$

ويُعبر أيضًا عن مقدارها المتوسط بالعلاقة الآتية:

$$\mathcal{E}_L = -L \frac{\Delta I}{\Delta t}$$

وبمساواة العلاقات السابقتين، وتعويض ( $\Phi_{B,i} = 0$ ) عندما ( $I_i = 0$ )، أحصل

على ما يأتي:

$$LI = N\Phi_B$$

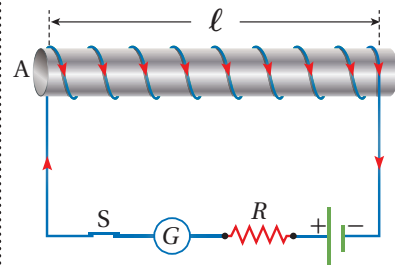
ولمّا كانت خطوط المجال المغناطيسي داخل المحث عمودية على مساحة مقطعه العرضي، فإن التدفق المغناطيسي الذي يخترقه يساوي ( $\Phi_B = BA$ ). وبالتعويض عن مقدار المجال المغناطيسي داخل المحث بالعلاقة

$(B = \frac{\mu IN}{\ell})$ ، يمكن كتابة العلاقة السابقة على النحو الآتي:

$$LI = NBA = NA \times \frac{\mu IN}{\ell}$$

ومنها أجد أن معامل الحث الذاتي لمحث لوليبي يُعبر عنه بالعلاقة الآتية:

$$L = \frac{\mu N^2 A}{\ell}$$



الشكل (23): محث في دائرة كهربائية.

**أتحقق:** ما العوامل التي يعتمد عليها معامل الحث الذاتي لمagnet لولي؟

أستنتج من هذه العلاقة أن معامل الحث الذاتي ثابت للمagnet نفسه، وهو يعتمد على أبعاد الملف الهندسية المتمثلة في طول المagnet ( $\ell$ )، ومساحة مقطعه العرضي ( $A$ )، وعدد لفاته ( $N$ )، والنفاذية المغناطيسية لمادة قلب المagnet ( $\mu_0$ ). وإذا كان قلب المagnet هواءً استخدم النفاذية المغناطيسية للهواء ( $\mu_0$ ).

## المثال 8

إذا علمت أن طول المagnet الموضح في الشكل (23) يساوي (20.0 cm)، ومساحة مقطعه العرضي ( $2.5 \times 10^{-5} \text{ m}^2$ )، وعدد لفاته (200) لفة، والمagnet ملفوف حول أنبوب كرتوني يملؤه الهواء، ويسري فيه تيار كهربائي (5.0 A)، أحسب ما يأتي:

أ. معامل الحث الذاتي للمagnet.

ب. التدفق المغناطيسي الذي يخترق المagnet.

ج. القوة الدافعة الكهربائية الحثية الذاتية المتوسطة المتولدة في المagnet إذا عكست اتجاه التيار الكهربائي المار في خلال (0.10 s).

المعطيات:  $N = 200$  turns,  $\ell = 20.0 \times 10^{-2} \text{ m}$ ,  $A = 2.5 \times 10^{-5} \text{ m}^2$ ,  $I = 5.0 \text{ A}$ ,  $\Delta t = 0.10 \text{ s}$ ,  $\mu_0 = 4\pi \times 10^{-7} \text{ T.m/A}$ .

المطلوب:  $L = ?$ ,  $\Phi_B = ?$ ,  $\varepsilon_L = ?$

الحل:

أ. أستخدم العلاقة الآتية لحساب معامل الحث الذاتي للمagnet مع استخدام النفاذية المغناطيسية للهواء:

$$L = \frac{\mu_0 N^2 A}{\ell} = \frac{4\pi \times 10^{-7} \times (200)^2 \times 2.5 \times 10^{-5}}{20.0 \times 10^{-2}}$$

$$= 6.28 \times 10^{-6} \text{ H} \approx 6.3 \times 10^{-6} \text{ H}$$

ب. أحسب التدفق المغناطيسي باستخدام العلاقة الآتية:

$$LI = N\Phi_B$$

أُعيد ترتيبها بجعل ( $\Phi_B$ ) موضوع القانون على النحو الآتي:

$$\begin{aligned}\Phi_B &= \frac{LI}{N} \\ &= \frac{6.3 \times 10^{-6} \times 5.0}{200} = 1.58 \times 10^{-7} \text{ Wb}\end{aligned}$$

ج. أستخدم العلاقة الآتية لحساب القوة الدافعة الكهربائية الحثية الذاتية المتوسطة المتولدة في المagnet.

$$\begin{aligned}\varepsilon_L &= -L \frac{\Delta I}{\Delta t} = -6.3 \times 10^{-6} \times \frac{(-5.0 - 5.0)}{0.10} \\ &= 6.3 \times 10^{-4} \text{ V}\end{aligned}$$

## المحول الكهربائي ونقل الطاقة

### The Transformer and Power Transmission

تعلّمتُ سابقاً أنّ القدرة الكهربائية المستهلكة في موصل يُعبر عنها بالعلاقة:  $P = I^2 R$ , أي إنّها تتناسب طردياً مع كُلّ من المقاومة وربع التيار. عند نقل الطاقة الكهربائية إلى مسافات كبيرة تؤدي المقاومة الكهربائية للأسلاك الناقلة إلى فقدٍ كبيرٍ في الطاقة الكهربائية. وللتقليل من هذه الطاقة المفقودة في أثناء عملية النقل، يُستخدم المحول الكهربائي Transformer.

يعتمد المحول الكهربائي في عمله على الحث الكهرومغناطيسي، وهو يتكون من ملفين من الأسلاك الموصلة ملفوفين على قلب حديدي مشترك، كما في الشكل (24)، يُسمى الملف الأول بالملف الابتدائي، ويتكوّن من ( $N_1$ ) لفة، ويتصل بمصدر فرق جهد متغير، ويُرمز إليه بالرمز المبين على الشكل. في حين يتكون الملف الثاني من ( $N_2$ ) لفة، ويتصّل بجهاز مستهلك للطاقة، مثل مقاومة أو مصباح، ويُسمى الملف الثانوي.

يولّد مصدر فرق الجهد المتردد تياراً كهربائياً متراًدداً؛ أي متغيّراً في المقدار والاتجاه، فيتولّد في الملف الابتدائي مجال مغناطيسي متغيّر مع الزمن داخل الملف، ما يؤدّي إلى تغيّر في التدفق المغناطيسي، وبتطبيق قانون فارادي في الحث، فإن فرق الجهد يُعبر عنه بالعلاقة:

$$\Delta V_1 = -N_1 \frac{d\Phi}{dt}$$

يعمل القلب الحديدي على زيادة المجال المغناطيسي داخل الملف الابتدائي، وتتدفق أكبـر عدد ممكـن من خطوط المجال المغناطيسي إلى الملف الثانوي، وبافتراض عدم وجود طاقة مفقودة كما هو الحال في المحول المثالـي، فإنـ هذا التدفق يولـد فرق جهد كهربائي في الملف الثانـوي، يُعبر عنه بالعلاقـة:

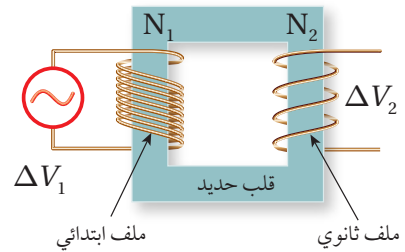
$$\Delta V_2 = -N_2 \frac{d\Phi}{dt}$$

وبتعويض التغيّر في التدفق من العلاقة الأولى في الثانية نحصل على:

$$\frac{\Delta V_1}{N_1} = \frac{\Delta V_2}{N_2} \Rightarrow \frac{\Delta V_1}{\Delta V_2} = \frac{N_1}{N_2}$$

عندما يكون عدد اللفات ( $N_2$ ) في الملف الثانوي أكبر من عدد اللفات ( $N_1$ ) في الملف الابتدائي، فإن  $\Delta V_1 > \Delta V_2$ ، ويكون المحول رافعاً للجهد، في حين يكون المحول خافضاً للجهد  $(\Delta V_2 > \Delta V_1)$  إذا كان عدد اللفات في الملف الثنـوي أقلـ منه في الابتـدائـي. وفي المحـول المـثالـي تكون القدرة الداخـلة في المـلف الـابتـدائـي مـساـوية لـالـقدرة النـاتـجة مـنـ المـلفـ الثـانـويـ، حـسبـ العـلاقـةـ:

$$P_1 = P_2 \rightarrow I_1 \Delta V_1 = I_2 \Delta V_2$$



الشكل (24): محول كهربائي يتكون من ملفين ابتدائي وثانوي.



أصمّ باستعمال برنامج السكراتش (Scratch) عرضاً يوضح نموذجاً لمحول كهربائي رافع للجهد، ولمحول كهربائي خافض للجهد، على أن يتضمن العرض مقارنة بين عدد لفات الملفين الابتدائي والثانوي، ومقارنة بين فرق الجهد الكهربائي على طرف الملفين لكلا المحولين، ثم أشارك فيه زملائي / زميلاتي في الصـفـ.

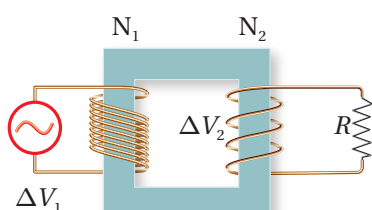
**أفـكـ:** تـوـجـدـ نـهـاـيـةـ قـصـوـىـ لـرـفـعـ الجـهـدـ الـكـهـرـبـائـيـ، عـنـ نـقـلـ الطـاقـةـ الـكـهـرـبـائـيـ، يـؤـدـيـ تـجـاـوزـهـ إـلـىـ تـأـيـنـ جـزـيـاتـ الـهـوـاءـ. فـمـاـ الـذـيـ يـنـتـجـ مـنـ تـأـيـنـ الـهـوـاءـ حـولـ خـطـوـطـ النـقـلـ (الأـسـلاـكـ)ـ؟ـ

عند نقل الطاقة عبر مسافات طويلة تستخدم شركات توليد الكهرباء أسلاك توصل ذات مقطع عرضي صغير نسبياً لتقليل الكلفة المالية، لكن هذا يؤدي إلى مقاومة كبيرة، لذلك يجب خفض قيمة التيار لتقليل الطاقة المفقودة. لتحقيق ذلك، يستخدم محول رافع للجهد في محطات توليد الطاقة لرفع الجهد إلى نحو (230 kV) مع ثبات قيمة القدرة؛ ما يؤدي إلى خفض قيمة التيار الكهربائي في خطوط نقل الطاقة، ثم تُستخدم محولات خافضة للجهد حتى تصل قيمة فرق الجهد في الأحياء السكنية إلى (230 V). والمحولات المستخدمة عملياً لا تكون مثالية، إذ إن القدرة التي تحصل عليها من الملف الثاني تكون أقل من القدرة التي يُزود بها الملف الابتدائي للمحول.

**تحقق:** أوضح كيف تنتقل الطاقة الكهربائية بين ملفي المحول.

## المثال 9

**أولاً:** هل يعمل المحول المبين في الشكل (25) عند وصل الملف الابتدائي بمصدر تيار مستمر؟



الشكل (25): محول خافض للجهد يتصل ملفه الثانوي بمقاومة.

محول كهربائي مثالي خافض للجهد يتصل ملفه الابتدائي بمصدر فرق جهد (240 V)، ويتصـل ملفـه الثانـوي بـمـصـبـاحـ كـهـرـبـائـيـ مقـاـوـمـتـهـ (2 Ω)، وـعـدـدـ لـفـاتـ المـلـفـ الـابـتـادـيـ (1200) لـفـةـ، وـلـفـاتـ المـلـفـ الثـانـويـ (30) لـفـةـ.

- أ. أحسب فرق الجهد بين طرفي الملف الثانوي.
- ب. أحسب التيار في الملف الابتدائي.

**المعطيات:**  $\Delta V_1 = 240 \text{ V}$ ,  $R = 2 \Omega$ ,  $N_1 = 1200$ ,  $N_2 = 30$

**المطلوب:**  $\Delta V_2 = ?$ ,  $I_1 = ?$   
**الحل:**

أ.

$$\frac{\Delta V_1}{N_1} = \frac{\Delta V_2}{N_2}$$

$$\frac{240}{1200} = \frac{\Delta V_2}{30} \rightarrow \Delta V_2 = 6 \text{ V}$$

ب. التيار الكهربائي المار في الملف الابتدائي:

$$I_2 = \frac{\Delta V_2}{R} = \frac{6}{2} = 3 \text{ A}$$

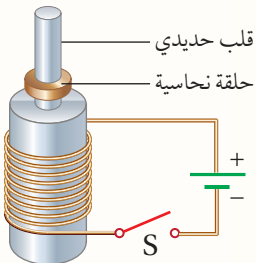
$$I_1 \Delta V_1 = I_2 \Delta V_2$$

$$I_1 = \frac{I_2 \Delta V_2}{\Delta V_1} = \frac{3 \times 6}{240} = 0.075 \text{ A}$$

# مراجعة الدرس

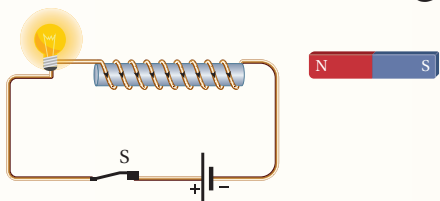
**1. الفكرة الرئيسية:** ما المقصود بالتدفق المغناطيسي؟ ومتى يتولد تيار كهربائي حتى وقوع دافعة كهربائية حية في دائرة كهربائية؟

**2. أَحَلْ وَأَسْتَنِج:** لدى قطعتنا نيوبيديوم متماثلتان، إحداهما ممغنطة والأخرى غير ممغنطة، وأنبوب نحاسي طوله ( $l$ ) مثبت في وضع رأسى. عندما أمسك بالقطعة الممغنطة ثم أسقطها داخل الأنابيب النحاسي، فإنها تستغرق زمناً ( $t$ ) لتخرج من فوّهته المقابلة. إذا أسقطت قطعة النيوبيديوم غير الممغنطة خلال الأنابيب نفسه من الارتفاع نفسه، فهل تستغرق زمناً أكبر من الزمن ( $t$ ) أم أقل منه لخروج من فوّهته المقابلة؟ أفسّر إجابتك.



**3. أحلّ وأستنج:** ملفّ لوليٍّ ملفوف على قلب حديديٍّ، وفوقه حلقة نحاسية حرّة الحركة، كما في الشكل المجاور. عند إغلاق المفتاح (S) تقفز الحلقة الفلزية إلى أعلى. أفسّر هذا السلوك للحلقة.

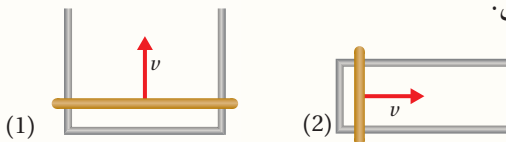
**٤. أتوقع:** يوضح الشكل المجاور دارة كهربائية مغلقة. أتوقع ما يحدث  
لإضاءة المصباح في أثناء:



أ. تقريب القطب الشمالي للمغناطيس من الم hypoth. .  
ب. تقريب القطب الجنوبي للمغناطيس من الم hypoth.

**5. أحلل وأستنتج:** يبيّن الشكل المجاور دارتين موضوعتين في مجال مغناطيسي منتظم مقداره ( $B$ )، الموصل المستقيم في الدارة (1) طوله ( $l_1$ ) و في الدارة (2) طوله ( $l_2$ ). الموصلان المستقيمان تحرّكا بمقدار السرعة نفسه ( $v$ )، فتولّد في الدارة

(1) تيار كهربائي حيّي باتجاه حركة عقارب الساعة. أجب عمّا يأتي:



أ . ما اتجاه المجال المغناطيسي  $(B)$  ؟

بـ. ما اتجاه التيار الكهربائي في الدارة (2)؟

جـ. هل مقدار القوة الدافعة الكهربائية الحثّية المترتبة في الدارة (1)، أكبر أم أقل أم مساوٍ لمقدار القوة الدافعة الكهربائية الحثّية المترتبة في الدارة (2)؟ أفسر إجابتي.

**6. أحسب:** متحث معامل حثه الذاتيّ ( $H = 10^{-4}$ )، موصول بدارة كهربائية. إذا تغير مقدار التيار الكهربائي المار فيها من (0.0 A) إلى (8.0 A) خلال (0.10 s)، أحسب القوة الدافعة الكهربائية الحشية الذاتية المتوسطة المترولدة في المحت.

**7. أستخدام المتغيرات:** يُستخدم في شبكات توزيع الكهرباء محول خافض للجهد، عدد لفّات ملفّه الابتدائي (6900) والثانوي (600)، فما مقدار فرق الجهد بين طرفي ملفّه الثانوي، إذا كان فرق الجهد بين طرفي الملف

الابتدائي (230 kV)

### الفكرة الرئيسية:

ظهرت محطات توليد الطاقة الكهربائية نهاية القرن التاسع عشر، وكان بعضها يولد تياراً مستمراً، وبعضها الآخر يولد تياراً متردداً. لكن الآن، يمكن القول إنّ المحطات جميعها تولد تياراً متردداً، وبوجود أجهزة كهربائية كثيرة تعمل بالتيار المستمر؛ اقتضت الحاجة إلى أجهزة تحول آياً من التيارين إلى الآخر.

### نتائج التعلم:

- أقارن بين التيار المتردد والتيار المستمر من حيث الخصائص ومصادر كلّ منهما.
- أحدّد العوامل التي تؤثر في توليد القوة الدافعة الكهربائية الحية بين طرفي المولد.
- أحلّل رسمًا تخطيطيًّا لدارة تيار متردد تشتمل على: مقاومة فقط، محثٌّ مثالٍّ فقط، مواسع فقط، مقاومة ومحثٌّ ومواسع تتصل على التوالي.
- أتعزّف تركيب دارة الرنين، وأحدّد العوامل التي يعتمد عليها تردد الرنين لدارة على التوالي.

### المفاهيم والمصطلحات:

فرق الجهد المتردد

Alternating Potential Difference

التيار المتردد Alternating Current

المعاوقة المحسنة Inductive Reactance

المعاوقة المواسعة Capacitive Reactance

تردد الرنين Resonance Frequency

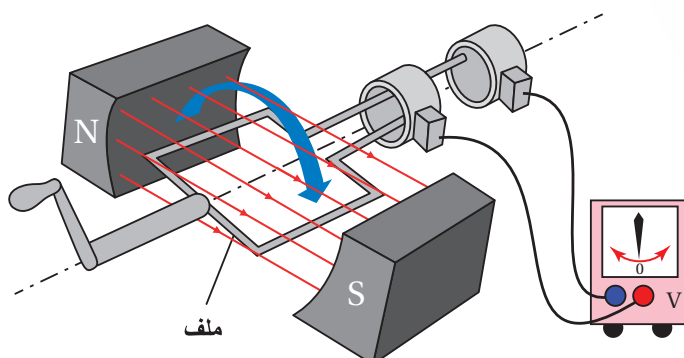
## التيار الكهربائي المتردد

### Alternating Electric Current

تعمل أغلب الأجهزة الكهربائية التي نستخدمها؛ مثل: الثلاجة، والمكيف، والمدفأة الكهربائية بالتيار المتردد الذي تزودنا به محطات توليد الطاقة الكهربائية.

ونحصل على التيار المتردد من المولد الكهربائي الذي يتكون في أبسط أشكاله من ملفٍ أحاديٍّ مصنوع من سلك فلزيٍّ معزول، يدور داخل مجال مغناطيسيٍّ. وعندما يدور الملف، تتغير الزاوية المحصورة بين متّجه مساحته واتّجاه المجال المغناطيسي، ما يؤدي إلى تغيير في التدفق المغناطيسيٍّ خلال الملف، فتتولّد قوة دافعة كهربائية حيّةٍ بين طرفيه الموصولين بفولتميتر، كما في الشكل (26).

عند دوران الملف يتذبذب مؤشر الفولتميتر يميناً ويساراً على جانبي الصفر، ما يعني أن القوة الدافعة الكهربائية الحية المترددة في الملف تغيير مقدارها واتجاهها باستمرار، فيكون أحد طرفي الملف موجباً، والآخر سالباً خلال نصف الدورة الأول، ثم تتعكس قطبيته خلال النصف الثاني من الدورة.



الشكل (26): مولد كهربائيٍّ يتصل طرفاً ملتفاً بفولتميتر.

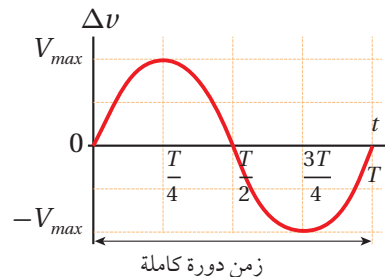
## فرق الجهد الكهربائي المتردد Alternating Potential Difference

عند توصيل طرف المولد الكهربائي بجهاز راسم الموجات Oscilloscope، وتدوير ملفه بتردد زاوي ثابت، يظهر على شاشة راسم الموجات شكل اقتران جيبي، كما في الشكل (27)، أستنتج منه أن مقدار القوة الدافعة الكهربائية الحية المترددة يتغير بالنسبة إلى الزمن باستمرار، وأن اتجاهها يتغير كل نصف دورة.

في أثناء دوران الملف في المجال المغناطيسي تتغير الزاوية بين متوجهي المجال المغناطيسي والمساحة، مما يجعل التدفق المغناطيسي عبر الملف يتغير باستمرار. وبتطبيق قانون فارادي في الحث على الملف في أثناء دورانه، أجد أن القوة الدافعة الكهربائية الحية تتغير وفق علاقة جيبيّة؛ لذا فإن فرق الجهد بين طرفي الملف يتغير مع الزمن، ويُسمى فرق جهد متردد **Alternating potential difference**، يعبر عنه بالعلاقة:

$$\Delta v = V_{\max} \sin \omega t$$

حيث السعة ( $V_{\max}$ )، هي القيمة العظمى لفرق الجهد، ويعتمد مقدار فرق الجهد على مقدار المجال المغناطيسي ومساحة مقطع الملف وعدد لفاته، وعلى التردد الزاوي ( $\omega$ ). فعند دوران الملف بتردد ( $f$ ) وزمن دوري ( $T$ )، فإن  $\omega = 2\pi f = \frac{2\pi}{T}$ .



الشكل (27): تغيير فرق الجهد المتردد بين طرفي الملف مع الزمن وفقاً لاقتران جيبي.

### الربط بالحياة

في محطات توليد الطاقة الكهربائية تدور المولدات بسرعات كبيرة جداً، وتستمد دورانها من توربينات ضخمة تعمل بالبخار، فتنتج قوة دافعة كهربائية حية بآلاف الفولتات، ثم توزع من خلال شبكات وطنية.

## المثال 10

يُزوّدنا مولد كهربائي بفرق جهد متردد، قيمته العظمى تساوي (310 V) وتردد (50 Hz). أكتب معادلة فرق الجهد المتردد، ثم أجد مقدار فرق

الجهد عند اللحظة ( $t = \frac{1}{600}$  s).

المعطيات:  $t = \frac{1}{600}$  s,  $V_{\max} = 310$  V,  $f = 50$  Hz

المطلوب:  $\Delta v = ?$

الحل:

أحسب ( $\omega$ ) باستخدام العلاقة:

$$\omega = 2\pi f = 2\pi \times 50 = 100\pi \text{ rad/s}$$

ثم أكتب معادلة فرق الجهد:

$$\Delta v = V_{\max} \sin \omega t = 310 \sin 100\pi t$$

أجد مقدار فرق الجهد عند اللحظة ( $t = \frac{1}{600}$  s).

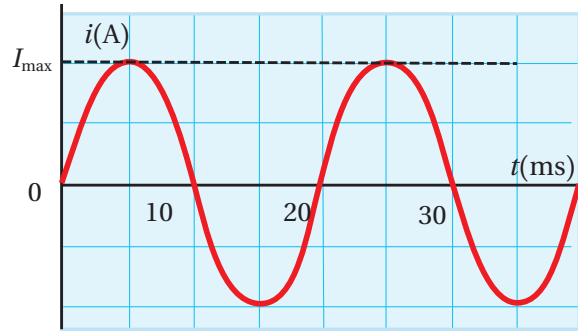
$$\Delta v = 310 \sin (100\pi \times \frac{1}{600}) = 155 \text{ V}$$

**أفڪر:** لماذا لا أحظ تغيير سطوع إضاءة مصباح كهربائي مع الزمن عندما يعمل بتيار متردد؟

**أتحقق:** أصنف فرق الجهد الكهربائي المتردد، موضحاً ما يميّزه عن فرق الجهد الذي أحصل عليه من البطارية.



(ب) : علاقـة التـيار المستـمر بالـزمن.



(أ) : علاقـة التـيار المترـدد بالـزمن.

الشكل (28): مقارنة بين التـيار الكـهربـائي المـترـدد والتـيار الكـهربـائي المـسـتـمر (المـباـشـر).

### المقارنة بين التـيار الكـهربـائي المـترـدد والتـيار الكـهربـائي المـسـتـمر (المـباـشـر)

#### Comparing Alternating and Direct Currents

**ملاحظة:**  
سوف نستخدم الرمز ( $i$ ) للإشارة إلى التـيار المـترـدد.

يزوـدنا المـولـد الكـهربـائي بـتـيـار مـترـدد (AC) وـتـزوـدـنا بـطـارـيات بـمـخـتـلـف أـنـوـاعـها بـتـيـار كـهـرـبـائـي مـسـتـمر (DC). ويـبـيـنـ الرـسـمـ الـبـيـانـيـ فـيـ الشـكـلـ (28/أـ) أـنـ مـقـدـارـ التـيـارـ المـترـددـ يـتـغـيـرـ باـسـتـمـارـ معـ الزـمـنـ، وـيـتـغـيـرـ أـيـضـاـ اـتـجـاهـ سـرـيـانـهـ كـلـ نـصـفـ دـورـةـ؛ بـسـبـبـ تـغـيـرـ مـقـدـارـ وـاتـجـاهـ القـوـةـ الدـافـعـةـ الـكـهـرـبـائـيـةـ المـسـبـبـةـ لـهـ. فـيـ حـينـ يـبـيـنـ الشـكـلـ (28/بـ) أـنـ التـيـارـ المـسـتـمرـ ثـابـتـ فـيـ المـقـدـارـ وـفـيـ الـاتـجـاهـ.

تـزوـدـ شـرـكـاتـ الـكـهـرـباءـ الـمـنـازـلـ وـالـمـبـانـيـ بـالـطاـقةـ الـكـهـرـبـائـيةـ عـلـىـ شـكـلـ تـيـارـ مـترـددـ، وـنـحـصـلـ عـلـىـ التـيـارـ المـترـددـ مـنـ الـمـقـابـسـ الـكـهـرـبـائـيةـ فـيـ الـمـنـازـلـ مـثـلاـ، وـلـأـنـ أـكـثـرـ الـأـجـهـزـةـ الـكـهـرـبـائـيةـ مـثـلـ الـحـاسـوبـ وـالـتـلـفـازـ وـالـهـاتـفـ يـعـمـلـ بـالـتـيـارـ المـسـتـمرـ، فـإـنـهـاـ تـكـوـنـ مـزـوـدـةـ بـدـارـةـ إـلـكـتروـنـيـةـ لـتـحـوـيـلـ التـيـارـ المـترـددـ إـلـىـ تـيـارـ مـسـتـمرـ (سـتـعـرـفـ فـيـ الدـرـسـ الـلـاحـقـ)، فـيـ حـينـ أـنـ هـنـاكـ أـجـهـزـةـ أـخـرىـ تـعـمـلـ بـالـتـيـارـ المـترـددـ مـبـاشـرـةـ، كـالـغـسـالـةـ وـالـمـدـفـأـةـ.

**أـتـحـقـقـ:** أـقـارـنـ بـيـنـ التـيـارـ المـسـتـمرـ وـالـتـيـارـ المـترـددـ مـنـ حـيـثـ المـقـدـارـ وـالـاتـجـاهـ.

## دورات التيار الكهربائي المتردد البسيطة

### مقاومة في دارة تيار كهربائي متردد

تتكون دارة التيار المتردد في أبسط أشكالها من مصدر فرق جهد متردد ومقاومة ( $R$ ), كما في الشكل (29)، وبتطبيق قاعدة كيرشوف الثانية، فإن المجموع الجبري للتغيرات في الجهد في الدارة المغلقة عند أي لحظة زمنية يساوي صفرًا، ومنه نتوصل إلى أن فرق الجهد بين طرفي المقاومة ( $\Delta v_R$ ) يساوي فرق الجهد للمصدر ويُعبر عنه بالعلاقة:

$$\Delta v_R = \Delta v = V_{\max} \sin \omega t$$

حيث ( $\Delta v_R$ ): فرق الجهد بين طرفي المقاومة عند لحظة ما.

ونظرًا إلى أن ( $i = \frac{\Delta v}{R}$ ، لذا فإن التيار الكهربائي المار في المقاومة عند لحظة ما هو:

$$i_R = \frac{\Delta v_R}{R} = \frac{V_{\max}}{R} \sin \omega t = I_{\max} \sin \omega t$$

حيث ( $I_{\max}$ ): القيمة العظمى للتيار؛ ( $I_{\max} = \frac{V_{\max}}{R}$ ).

وبتعويض ( $V_{\max} = I_{\max} R$ ، فإنه يمكن التعبير عن فرق الجهد بين طرفي المقاومة بالعلاقة الآتية:

$$\Delta v_R = I_{\max} R \sin \omega t$$

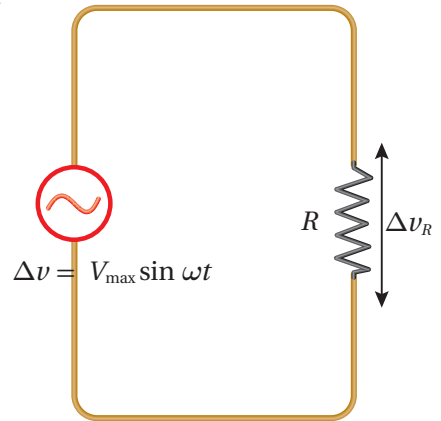
يمكن تمثيل التغيير في فرق الجهد بين طرفي المقاومة، والتغيير في التيار المار فيها بالنسبة إلى الزمن، كما في الشكل (30).

### القدرة المستهلكة في المقاومة

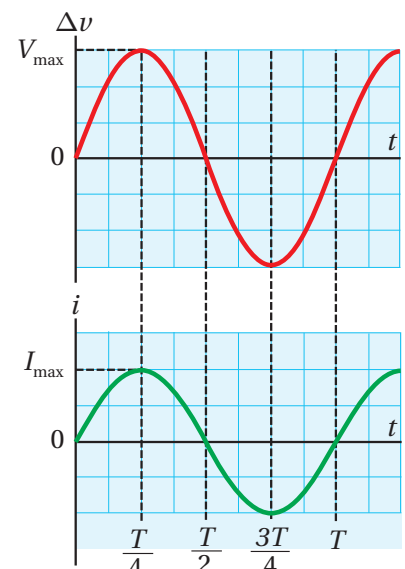
تعلّمت حساب القدرة المستهلكة في مقاومة عند سريان تيار كهربائي مستمر ( $I$ ) فيها باستخدام العلاقة ( $P = I^2 R$ ). وتُستخدم العلاقة نفسها لحساب القدرة المتوسطة ( $\bar{P}$ ) المستهلكة في المقاومة عند سريان تيار متردد فيها، لكننا نحتاج إلى قيمة ثابتة لليار تكافئ ( $I$ )؛ هذه القيمة يُرمز إليها بالرمز ( $I_{\text{rms}}$ )، وتُقرأ root-mean-square وتعني الجذر التربيعي للقيمة المتوسطة لمربع التيار، وسنطلق عليه اسم القيمة الفعالة، وتحسب بالعلاقة الآتية:

$$I_{\text{rms}} = \frac{I_{\max}}{\sqrt{2}} = 0.71 I_{\max}$$

أي إن القدرة المتوسطة المستهلكة في مقاومة عند سريان تيار متردد فيها، هي القدرة المستهلكة نفسها الناتجة من سريان تيار ثابت في المقاومة نفسها



الشكل (29): دارة تيار متردد تحتوي على مقاومة فقط.



الشكل (30): تغيير كل من فرق الجهد والتيار بالنسبة إلى الزمن في دارة تيار متردد تحتوي مقاومة فقط.

تُستخدم في السيارات الهجينة التي تعمل بالوقود والكهرباء، وفي السيارات الكهربائية، محركات كهربائية تحول الطاقة الكهربائية إلى طاقة حركية لتحريك السيارة. وفي المنحدرات وعند استخدام الكواكب، يعكس عمل المحرك ليصبح مولداً كهربائياً يحول الطاقة الحركية للسيارة إلى طاقة كهربائية تخزن في البطارية.

قيمتها  $\left(\frac{I_{\max}}{\sqrt{2}}\right)$ . وبذلك فإنّ القدرة المتوسطة المستهلكة في المقاومة عند سريان تيار متعدد فيها تُحسب بالعلاقة الآتية:

$$\bar{P} = I_{\text{rms}}^2 R$$

وبالمثل، يمكن حساب قيمة ثابتة لفرق الجهد المتعدد يُرمز إليها بـ  $(V_{\text{rms}})$ ، ويُعبر عنها بالعلاقة الآتية:

$$V_{\text{rms}} = \frac{V_{\max}}{\sqrt{2}} = 0.71 V_{\max}$$

إنّ استخدام القيمتين  $(I_{\text{rms}})$  و  $(V_{\text{rms}})$  يسهل علينا دراسة دارات التيار المتردد، فأجهزة الأميتر والفولتيمير المستخدمة لقياس التيار وفرق الجهد تقرأ قيم  $(I_{\text{rms}})$  و  $(V_{\text{rms}})$ ، في حين يُستخدم جهاز راسم الذبذبات للحصول على منحنى (فرق الجهد المتردد-الزمن).

## المثال ١١

**أُفْكِر:** كيف يمكن حساب القدرة الكهربائية التي تستهلكها مقاومة كهربائية عندما تعمل بتيار متعدد، ومقارنتها بقدرتها في حالة عملها بالتيار المستمر؟

جهاز كهربائي مقاومته  $(65 \Omega)$ ، وصل بمصدر فرق جهد متعدد، إذا علمت أنّ القيمة العظمى لفرق الجهد المتعدد بين طفيفه  $(325 \text{ V})$ ، وتزدده  $(60 \text{ Hz})$ ، أُحدد:

أ. الزمن الدورى لفرق الجهد المتردد.

ب. القيمة العظمى للتيار المتعدد الذي يسري في الجهاز.

ج. الاقتران الذي يعبر عن التيار المتعدد بدالة الزمن  $(t)$ .

المُعطيات:  $V_{\max} = 325 \text{ V}$ ,  $f = 60.0 \text{ Hz}$ ,  $R = 65 \Omega$

المطلوب:  $T = ?$ ,  $I_{\max} = ?$ ,  $i_R = ?$

الحل:

أ.

$$T = \frac{1}{f} = \frac{1}{60.0} = 0.017 \text{ s}$$

ب.

$$I_{\max} = \frac{V_{\max}}{R} = \frac{325}{65} = 5 \text{ A}$$

ج.

$$\omega = 2\pi f = 2\pi \times 60 = 120\pi \text{ rad/s}$$

$$i_R = I_{\max} \sin \omega t = 5 \sin 120\pi t$$

ترتُّد شركات الكهرباء في الأردن المنازل والمباني بالطاقة الكهربائية على شكل تيار متعدد، لذلك نحصل من المقابس الجدارية على فرق جهد متعدد، تزدده  $(50 \text{ Hz})$ ، وقيمتها العظمى

$$. V_{\max} = 324 \text{ V}$$

## المثال 12

القيمة العظمى لمصدر فرق الجهد المتردد في دارة كهربائية (56 V)، والقيمة العظمى للتيار المتردد (2.8 A). أحسب القيمتين الفعاليتين ( $V_{\text{rms}}$  و  $I_{\text{rms}}$ ) للجهد والتيار في الدارة، وما المقدار المتوقع لمقاومة الدارة؟

**المعطيات:**  $I_{\text{max}} = 2.8 \text{ A}$ ,  $V_{\text{max}} = 56 \text{ V}$

**المطلوب:**  $I_{\text{rms}} = ?$ ,  $V_{\text{rms}} = ?$ ,  $R = ?$

**الحل:**

$$V_{\text{rms}} = 0.71 V_{\text{max}} = 0.71 \times 56 = 40 \text{ V}$$

$$I_{\text{rms}} = 0.71 I_{\text{max}} = 0.71 \times 2.8 = 2 \text{ A}$$

$$R = \frac{V_{\text{max}}}{I_{\text{max}}} = \frac{V_{\text{rms}}}{I_{\text{rms}}} = \frac{40}{2} = 20 \Omega$$

.....

**أتحقق:** ما القيمة الفعالة لفرق الجهد التي نحصل عليها من المقابس الجدارية في الأردن، علمًا أن القيمة العظمى لفرق الجهد 324 V؟ ✓

## المثال 13

مذكرة كهربائية مقاومتها ( $\Omega$ ) 40 تعمل على فرق جهد متردد بوحدة الفولت مُعبر عنـه بالعلاقة:  $\Delta v = 310 \sin \omega t$ ، حيث ( $t$ ) بوحدة الثانية، أحسب:

أ. مقدار القيمة الفعالة للتيار الذي يسري في المذكرة.

ب. القدرة الكهربائية المتوسطة المستهلكة في مقاومة المذكرة.

**المعطيات:**  $R = 40 \Omega$ ,  $\Delta v = 310 \sin \omega t$

**المطلوب:**  $I_{\text{rms}} = ?$ ,  $\bar{P} = ?$

**الحل:**

أ. مقارنةً بالمعادلة  $\Delta v = V_{\text{max}} \sin \omega t$ ، أجد أن:

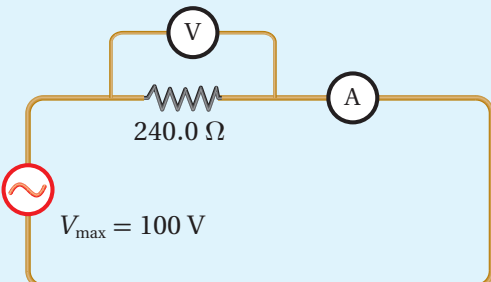
$$V_{\text{max}} = 310 \text{ V}$$

$$I_{\text{max}} = \frac{V_{\text{max}}}{R} = \frac{310}{40} = 7.75 \text{ A}$$

$$I_{\text{rms}} = 0.71 I_{\text{max}} = 0.71 \times 7.75 \approx 5.5 \text{ A}$$

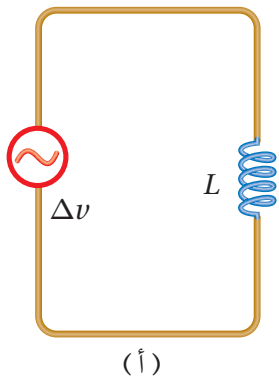
$$\bar{P} = I_{\text{rms}}^2 R = 5.5^2 \times 40 = 1210 \text{ W}$$

ب.

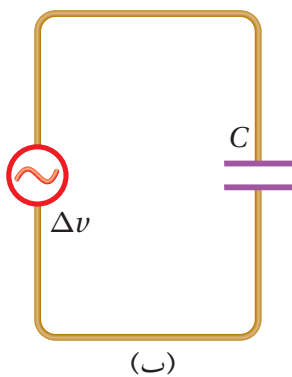


الشكل (31): مقاومة في دارة تيار كهربائي متزدّد.

يبين الشكل (31) دارة كهربائية تتكون من مقاومة مقدارها  $(240.0 \Omega)$ ، وصلت بمصدر فرق جهد متزدّد، حيث القيمة العظمى لفرق الجهد بين طرفيه ( $100 \text{ V}$ ). أُستخدم أميتر وفولتميتر لقياس التيار وفرق الجهد بين طرفي المقاومة. أحسب قراءة كلّ من الأميتر والفولتوميتر.



(أ)



(ب)

الشكل (32): دارات التيار المتزدّد

(أ) دائرة متحثّ ومصدر فرق جهد متزدّد.

(ب) دائرة مواسع و مصدر فرق جهد متزدّد.

يبين الشكل (32) شكلين آخرين لدورات التيار الكهربائي المتزدّد؛ إذ يبين الشكل (32/أ) دائرة تيار متزدّد تحتوي على محثّ مصنوع من سلك عديم المقاومة محاثته ( $L$ )، والشكل (32/ب) يبيّن دائرة تيار متزدّد تحتوي على مواسع مواسعته ( $C$ ). Capacitor

يؤدي المحثّ والمواسع دورًا يشبه دور المقاومة من حيث؛ الممانعة التي تبديها هذه العناصر لمرور التيار الكهربائي المتزدّد. فالمقاومة Resistance هي خاصية تعبر عن الممانعة التي يبديها الموصل لمرور التيار الكهربائي فيه، وبالمثل أعرف مفهومًا مشابهًا يُسمى **المعاوقة Reactance** يعبر عن الممانعة التي تبديها عناصر الدارة (محثّ أو مواسع) لمرور التيار الكهربائي المتزدّد فيها. ويرمز إلى المعاوقة بالرمز ( $X$ ) وتُقاس بوحدة قياس المقاومة نفسها، وهي الأوم ( $\Omega$ ).

عند دراسة تغييرات فرق الجهد والتيار في الدارتين الموضّحتين في الشكل (32)، ومقارنتها بتغييرات فرق الجهد والتيار في الدارة المبيّنة في الشكل (29)،

نتوصل إلى أنّ:

- الكمية ( $\omega L$ ) في دائرة المحثّ تؤدي دور المقاومة ( $R$ ) في دائرة المقاومة، وتنسمى **المعاوقة المحاثية Inductive reactance** ( $X_L$ )

- الكمية ( $\frac{1}{\omega C}$ ) في دائرة المواسع، تؤدي دور المقاومة ( $R$ ) في دائرة المقاومة، وتنسمى **المعاوقة المواسعية Capacitive reactance** ( $X_C$ )

- في دائرة المقاومة نعيّن القيمة العظمى للتيار بالعلاقة ( $I_{\max} = \frac{V_{\max}}{R}$ )، والقيمة الفعالة للتيار بالعلاقة ( $I_{\text{rms}} = \frac{V_{\text{rms}}}{R}$ ) . وبالمثل يمكن التعبير عنها بعلاقات مشابهة في حالة المحثّ والمواسع باستخدام المعاوقة بدلاً من المقاومة، كما في الجدول (1).

**أفكار:** أقارن المجال المغناطيسي الذي يولّده مرور تيار متزدّد في محثّ بالمجال الذي يولّده مرور تيار مستمر فيه من حيث الاتجاه.

عناصر الدارة	المقاومة / المعاوقة	$I_{\max}$	$I_{\text{rms}}$
مقاومة	$R$	$I_{\max} = \frac{V_{\max}}{R}$	$I_{\text{rms}} = \frac{V_{\text{rms}}}{R}$
محث	$X_L = \omega L$	$I_{\max} = \frac{V_{\max}}{X_L}$	$I_{\text{rms}} = \frac{V_{\text{rms}}}{X_L}$
مواسع	$X_C = \frac{1}{\omega C}$	$I_{\max} = \frac{V_{\max}}{X_C}$	$I_{\text{rms}} = \frac{V_{\text{rms}}}{X_C}$

ما مقدار معاوقة كُلّ من  
المحث والمواسع عندما يكون  
التردد الزاوي لمصدر فرق الجهد  
صغيراً جدًا، وعندما يكون تردد  
كبيرًا جدًا؟

يتضح من الجدول (1) أعلىه أن المعاوقة تتغير بتغيير التردد الزاوي لمصدر فرق الجهد، أي أن الممانعة التي يديها المحت أو المواسع لمرور التيار الكهربائي المتردد تعتمد على تردد المصدر، حيث تزداد معاوقة محت محاثته بزيادة ( $\omega$ )، وتقل معاوقة مواسع مواسعته ( $C$ ) بزيادة ( $\omega$ ).

**أتحقق:** ما العوامل التي تعتمد عليها المعاوقة المحثية للمحث؟

## مقاومة ومحث ومواسع (RLC) على التوالى فى دارة تيار كهربائى متزددة The RLC Series AC Circuit

هذه الدارة تحتوي على العناصر الثلاثة التي تمت دراستها أعلاه، وهي مقاومة ( $R$ ) ومحث ( $L$ ) ومواسع ( $C$ ) موصولة جميعها على التوالي بمصدر فرق جهد متزدّد، كما في الشكل (33).

ويرمز إلى المعاوقة الكلية للدارة بالرمز ( $Z$ )، ويُعبّر عنها بدلاله معاوقات مكوناتها الثلاثة بالعلاقة:

$$Z = \sqrt{R^2 + (X_L - X_C)^2}$$

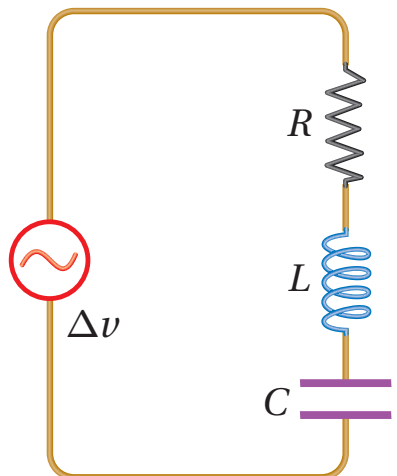
وبصورة مماثلة لدورات التيار المستمر، يمكننا استخدام القيمة الفعالة للتيار المتردد:

$$I_{\text{rms}} = \frac{V_{\text{rms}}}{Z}$$

وبتعويض المعاوقة الكلية ( $Z$ ) نتوصل إلى أنّ:

$$I_{\text{rms}} = \frac{V_{\text{rms}}}{\sqrt{R^2 + (X_L - X_C)^2}}$$

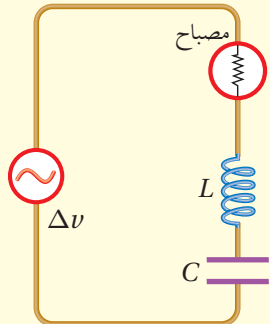
بيان هذه العلاقة أنه يمكن الحصول على تيار فعال له أكبر قيمة ممكنة في الدارة، عندما تكون قيمة المقام أصغر ما يمكن، وهنا تكون الدارة في حالة تسمى بالرنين. ويتحقق ذلك عندما يكون:



الشكل (33): دارة تيار متردد تحتوي على مواسع ومقاومة ومحثّ موصلولة على التوالي.

**أتحقق:** ماذا تمثل حالة الرنين  
في دارة مقاومة ومحث  
ومواسع؟ ✓

**أُفْكِر:** ما الشرط اللازم توافره كي يضيء المصباح بأكبر شدة ممكنة في الدارة المبيّنة في الشكل؟



$$X_L - X_C = 0 \rightarrow X_L = X_C$$

بتعويض معاوقة المحت ومعاوقة المواسع نتوصل إلى أن:

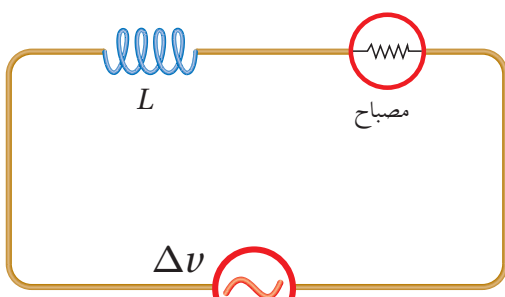
$$\omega_0 L = \frac{1}{\omega_0 C} \rightarrow (\omega_0)^2 = \frac{1}{LC}$$

$$\omega_0 = \frac{1}{\sqrt{LC}}$$

يشير الرمز ( $\omega_0$ ) إلى **تردد الرنين Resonance frequency**، وهو تردد مصدر فرق الجهد في دارة ( $RLC$ )، الذي يحدث عنده الرنين، وتكون قيمة التيار الفعال عند أكبر ما يمكن. ويتحدد مقدار تردد الرنين للمصدر بناءً على التردد الطبيعي للدارة الذي يعتمد على قيمة كلٍ من مواسعة المواسع ومحاثة المحت ( $L, C$ ).

## المثال 14

يبين الشكل (34) دارة يتصل فيها محتٌ ومصباح بمصدر فرق جهد متذبذب، ماذا يحدث لإضاءة المصباح عند نقصان تردد المصدر مع بقاء القيمة العظمى لفرق الجهد ثابتة.



المعطيات:  $(V_{max})$  ثابتة،  $(\omega)$  قلت .

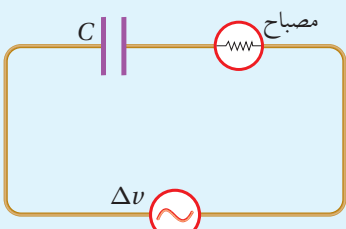
المطلوب: كيف تتغير إضاءة المصباح؟

الحل:

الشكل (34): مصباح ومحث في دارة تيار متذبذب.

وفقاً للعلاقة ( $\omega L = X_L$ )، فإن نقصان تردد المصدر يؤدي إلى نقصان معاوقة المحت؛ فتقل الممانعة التي يبديها المحث لمورر التيار. ما يعني زيادة مقدار التيار المار في الدارة، ومن ثم، زيادة القدرة المستهلكة في المصباح فتزداد الإضاءة.

## للمزيد



يبين الشكل (35) دارة يتصل فيها مواسع ومصباح بمصدر فرق جهد متذبذب. ماذا يحدث لإضاءة المصباح عند نقصان تردد المصدر مع بقاء القيمة العظمى لفرق الجهد ثابتة؟ أفسّر إجابتي.

الشكل (35): مواسع ومصباح في دارة تيار متذبذب.

دارة (AC) تحتوي على مصدر فرق جهد متزدّد قيمته الفعالة (150 V) وتردّده (60 Hz)، يتصل على التوالي بمقاومة (420 Ω) ومحثّ محااته (1.8 H)، ومواسع مواسته (7 μF). أجد كلاً من:

- المعاوقة المحثّية، والمعاوقة الموسعيّة، والمعاوقة الكلية للدارة.
- القيمة الفعالة للتيار المتزدّد.

**المعطيات:**

$$C = 7 \times 10^{-6} \text{ F}, V_{\text{rms}} = 150 \text{ V}, f = 60 \text{ Hz}, R = 420 \Omega, L = 1.8 \text{ H}$$

**المطلوب:**

$$I_{\text{rms}} = ?, X_C = ?, X_L = ?, Z = ?$$

**الحل:**

$$\omega = 2\pi f = 2\pi \times 60 = 377 \text{ rad/s}$$

$$X_L = \omega L = 377 \times 1.8 = 679 \Omega$$

$$X_C = \frac{1}{\omega C} = \frac{1}{377 \times 7 \times 10^{-6}} = 379 \Omega$$

$$Z = \sqrt{R^2 + (X_L - X_C)^2}$$

$$Z = \sqrt{(420)^2 + (679 - 379)^2}$$

$$Z = \sqrt{176400 + 90000} = 516 \Omega$$

$$V_{\text{rms}} = I_{\text{rms}} Z$$

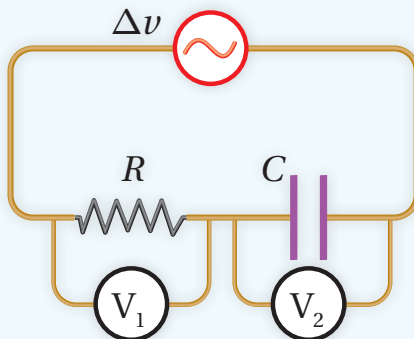
**ب . القيمة الفعالة للتيار المتزدّد:**

$$I_{\text{rms}} = \frac{V_{\text{rms}}}{Z} = \frac{150}{516} = 0.29 \text{ A}$$

## التجربة

### استنتاج العلاقة بين تردد مصدر فرق الجهد والمعاوقة الموسعة

**المواد والأدوات:** مقاومة ( $\Omega$ ) 1000، مواسع (0.1 mF)، مصدر طاقة متعدد (AC) منخفض الجهد وقابل للضبط، فولتميتر عدد 2، أسلاك توصيل.



**إرشادات السلامة:** توخي الحذر عند التعامل مع مصدر الطاقة الكهربائية والوصلات الكهربائية.

#### خطوات العمل:

بالتعاون مع أفراد مجموعتي؛ أنفذ الخطوات الآتية:

- أصل الدارة كما في الشكل المجاور، على أن تتصل المقاومة والموسوع ومصدر الطاقة جميعها على التوالي، وأصل فولتميتر بين طرفي المقاومة وأخر بين طرفي المواسع.
- أضبط مخرج مصدر الطاقة المتعدد على قيمة منخفضة، ولتكن بين 1.0 V–5.0 V.
- أضبط المتغيرات:** أضبط مصدر الطاقة على تردد (400 Hz)، ثم أقيس فرق الجهد بين طرفي المقاومة باستخدام الفولتميتر ( $V_1$ )، وفرق الجهد بين طرفي المواسع باستخدام الفولتميتر ( $V_2$ )، وأدون القراءات في الجدول.
- أرفع تردد مصدر الطاقة إلى القيم (600, 800, 1000, 1200, 1400 Hz)، وفي كل مرة أكرر الخطوة السابقة، وأدون النتائج في الجدول.

#### التحليل والاستنتاج:

- أحسب** القيمة الفعالة للتيار المتعدد ( $I_{rms}$ ) الذي يسري في الدارة عند كل محاولة بقسمة فرق الجهد بين طرفي المقاومة ( $\Delta v_R$ ) على مقدار المقاومة ( $R$ )، وأدون النتائج في جدول البيانات.
- أحدّد عملياً المعاوقة الموسعة للمواسع ( $X_C$ ) بقسمة فرق الجهد بين طرفيه على التيار، وأدون النتائج في جدول البيانات.
- أرسم بيانياً** العلاقة بين مقلوب التردد الزاوي على محور ( $x$ ) والمعاوقة الموسعة على محور ( $y$ )، ثم أجد ميل المتنحني، وأستخرج موسعة المواسع من الميل، ثم أقارن النتيجة بالقيمة المكتوبة على المواسع.
- أحسب** المعاوقة الموسعة بمعرفة التردد الزاوي لمصدر فرق الجهد وموسعة المواسع بحسب العلاقة ( $X_C = \frac{1}{\omega C}$ ).
- أقارن** بين القيمتين النظرية والعملية للمعاوقة الموسعة، وأفسّر الاختلاف إن وجد.

## تطبيقات تكنولوجية

### جهاز كشف الفلزات

تُستخدم في المطارات بوابات للكشف عن الفلزات، عندما يمر المسافر خلالها فإنّها تصدر إشارة إذا كان المسافر يخفي أداة فلزية. وتحتوي إطار الباب المبين في الشكل (36) على ملفٌ من سلّكٍ نحاسيٍ يمثل محثًا في دارة (RLC)، وتكون الدارة متصلة بمصدر فرق جهدٍ متعدد، قد ضبط ترددُه لإحداث حالة الرنين، وعند اقتراب جسم فلزيٍ من المحث، فإنه يؤدّي إلى زيادة في محااته، فينعدم الرنين في الدارة، وينخفض التيار الفعال فيها عن أكبر قيمة له، ثم تحول دارة إلكترونية ذلك التغيير في التيار إلى إشارة تحذيرية مسمومة وأخرى مرئية.

### أجهزة المذياع والاتصال اللاسلكي

دارات الاستقبال في أجهزة المذياع وأجهزة الاتصال اللاسلكي، تُعد مثالاً مهمّاً على دارة الرنين، فمحطات الإذاعة تبث برامجها على شكل موجات كهرومغناطيسية، وكلّ إذاعة ترددات محددة. عندما يضبط أحدنا مفتاح الموجة في المذياع على إذاعة معينة، فإنه يغيّر من مواسعة الموجات في دارة الرنين داخل المذياع، ما يغيّر من تردد الرنين لدائرة الاستقبال ليصبح مطابقاً لتردد موجات الإذاعة، ثم تمرّر هذه الموجات بعد تكبيرها إلى مكبر الصوت في المذياع فنسمعها بوضوح، في حين تتلاشى موجات الإذاعات الأخرى التي يختلف ترددُها عن تردد الرنين.

وبالطريقة نفسها تعمل أجهزة الاتصال اللاسلكية التي تتكون من دارتي إرسال واستقبال، على نحو ما هو مبين في الشكل (37)، تُستخدم في مجالات كثيرة، مثل التواصل بين دوريات السير، واتصال الطائرات والسفن بالمراكم الأرضية، وغير ذلك الكثير من الاستخدامات.



الشكل (36): بوابة أمنية لكشف الفلزات في الجسم.



الشكل (37): أجهزة الاتصال اللاسلكي، كل جهاز يحتوي دارة إرسال ودائرة استقبال.

## المثال 16

تتكوّن دائرة استقبال (RLC) في جهاز مذيع من مقاومة ومحث محااته ( $1.4 \text{ mH}$ ) ومواسع. أجد مواسعة المواسع المستخدم لضبط المذيع على استقبال موجات محطة إذاعة عمان (FM) وترددُها ( $99 \text{ MHz}$ ).

$$\text{المعطيات: } L = 1.4 \times 10^{-3} \text{ H}, f_0 = 9.9 \times 10^7 \text{ Hz}$$

$$\text{المطلوب: } C = ?$$

الحل:

$$\omega_0 = 2\pi f_0 = 2 \times 3.14 \times 9.9 \times 10^7 = 6.2 \times 10^8 \text{ rad/s}$$

$$\omega_0^2 = \frac{1}{LC} \rightarrow C = \frac{1}{L\omega_0^2}$$

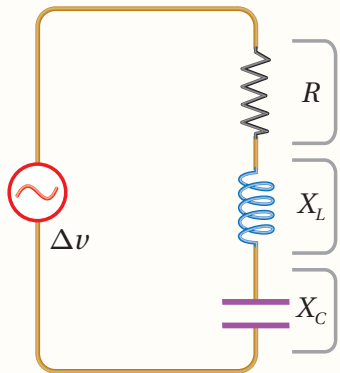
$$C = \frac{1}{1.4 \times 10^{-3} \times 3.8 \times 10^{17}} = 1.88 \times 10^{-15} \text{ F}$$

# مراجعة الدرس

1. **الفكرة الرئيسية:** أوضح المقصود بكلٌّ من؛ المعاوقة المحثية والمعاوقة الموسعية، وأبيّن العوامل التي تؤثر في كُلِّ منها.

2. أوضح المقصود بالقيمة العظمى والقيمة الفعالة لفرق الجهد المتردد.

3. **تفكير ناقد:** أوضح لماذا ينعدم التيار المتردد في دارة (AC) تحتوي على مواضع فقط عند الترددات المنخفضة جدًا. وأوضح لماذا ينعدم التيار في دارة (AC) تحتوي على مبحث فقط عند الترددات العالية جدًا.



4. **أفسر:** عند مضاعفة تردد مصدر فرق الجهد إلى مثليه، في دارة تيار متردد تحتوي ( $RLC$ )، كما في الشكل، ماذا يحدث لكُلِّ من:

$$?R, X_L, X_C$$

5. **استخدم المتغيرات:** ما القيمة العظمى للتيار المتردد في دارة (AC) تحتوي على مواضع مواسعته ( $5 \mu F$ )، ومصدر فرق جهد قيمته العظمى ( $111 V$ ) وترددده ( $86 Hz$ )؟

6. **أحسب:** عند أيّ تردد زاويٍ تتساوى المعاوقة المحثية لمبحث ( $57 \mu H$ ) مع المعاوقة الموسعية لمواضع ( $57 \mu F$ ) في دارة تيار متردد؟ وماذا يُسمى هذا التردد؟

7. **استخدم المتغيرات:** دارة ( $RLC$ ) تتكون من مقاومة ( $80 \Omega$ )، ومحث، موصولة على التوالي بمصدر فرق جهد متردد، جهده الفعال ( $12 V$ )، وترددده الزاوي ( $2000 rad/s$ ). أجد محاثة المبحث التي تجعل للتيار الفعال أكبر قيمة، ثم أجد أكبر قيمة للتيار الفعال.

#### المواد الموصلة والعزلة وشبكة الموصلة

#### Conductors, Insulators and Semiconductors

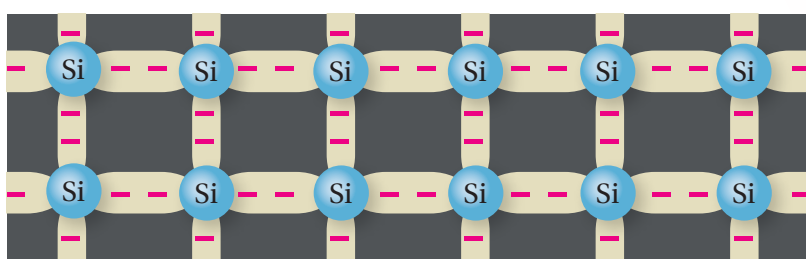
تعلّمتُ سابقاً أنَّ الذرّات هي وحدات البناء الأساسية للمواد، وتتكوّن الذرة من نواة موجبة الشحنة تتحرك حولها إلكترونات سالبة تتوزّع في مستويات (أغلفة) طاقة. وتُسمّى الإلكترونات الموجودة في آخر مستوى طاقة بـ**إلكترونات التكافؤ** Valence electrons، تُحدّد كثيراً من خصائص المادة، مثل التوصيل الكهربائي والتوصيل الحراري. وتُصنّف المواد من حيث قابليتها للتوصيل الكهربائي إلى الأنواع الآتية:

1. **مواد عازلة**: Insulators: عدد الإلكترونات التكافؤ لها أكثر من أربعة، وترتبط بذرات المادة بقوى كهربائية كبيرة، لذلك، لديها عدد قليل من الإلكترونات الحرّة ما يجعلها مادة عازلة للكهرباء. وعادة توجد على شكل مركّبات، مثل المطاط والميكا والزجاج.

2. **مواد موصلة**: Conductors: عدد الإلكترونات التكافؤ لها أقل من أربعة، لكن قوى ارتباطها بالذرات ضعيفة، لذلك، لديها كثير من الإلكترونات الحرّة ما يجعلها موصلات جيدة للتيار الكهربائي، وتوجد في العادة على شكل عناصر منفردة، مثل الحديد والنحاس والفضة.

3. **مواد شبّه موصلة**: Semiconductors: تقع بين المواد الموصلة والمواد العازلة من حيث قدرتها على توصيل التيار الكهربائي. ومن الأمثلة على المواد شبّه الموصلة الجermanium (Ge) والسليلكون (Si)، وهما من أهمّ أشباه الموصلات المستخدمة في التطبيقات الإلكترونية.

لكل ذرة من ذرات السليكون أو الجermanium أربعة إلكترونات تكافؤ. فمثلاً، ترتبط كل ذرة من ذرات السليكون بأربع ذرات مجاورة لها بروابط تساهمية، وتشكّل بذلك بلورة السليكون، وعند درجة حرارة الصفر المطلق (0 K) تكون جميع إلكترونات التكافؤ للسليكون تقريباً مقيدة نتيجة للروابط التساهمية، ولا يوجد إلكترونات حرّة كما في الشكل (38).



**الفقرة الرئيسية:**  
نتج من تطور علم أشباه الموصلات تصميم أدوات جديدة أسهمت في إحداث قفزة نوعية في عالم الاتصالات والمعلومات.

#### نتائج التعليم

- أصنّف المواد إلى مواد موصلة وعزلة وشبّه موصلة.
- أشرح تركيب الثنائي البلوري.
- أمثل العلاقة بين الجهد والتيار في الثنائي البلوري.
- أصمّم تجربة أستخدم فيها الثنائي البلوريبوصفه مقوّماً للتيار المتردّد.
- أشرح تركيب الترانزستور.
- أستقصي استخدامات الترانزستور، مثل تضخيم التيار والجهد والمفتاح الكهربائي والبوابات المنطقية.

#### المفاهيم والمصطلحان:

إلكترونات التكافؤ

Valence Electrons

مواد عازلة للكهرباء

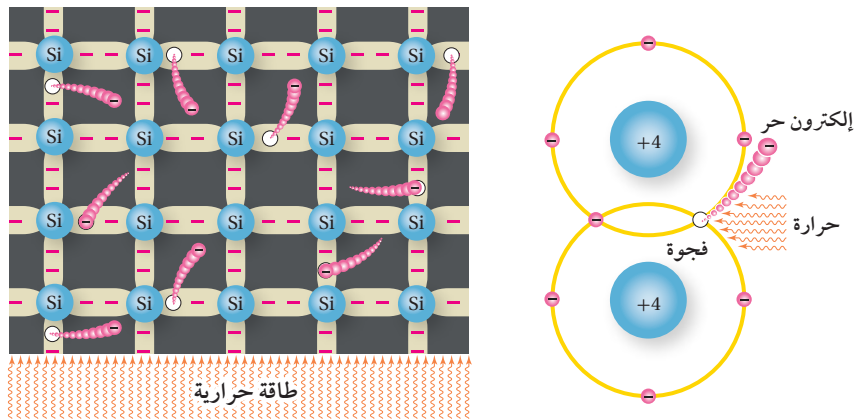
مواد موصلة

مواد شبّه موصلة

Doping الإشابة

الشكل (38): رسم تخطيطي لبلورة السليكون عند درجة حرارة الصفر المطلق.

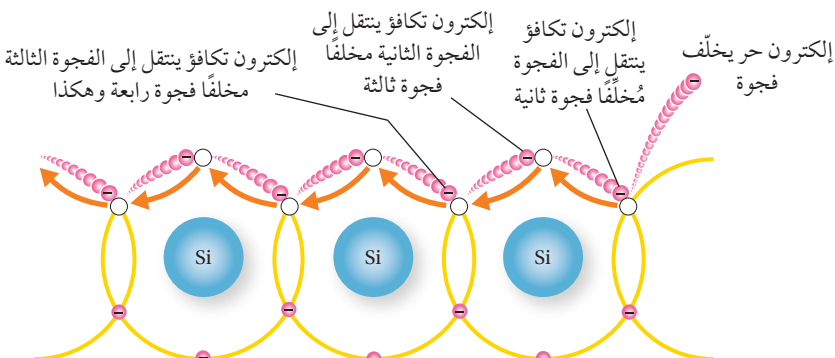
الشكل (39): الإلكترونات  
الحرارة والفجوات في بلورة  
السليكون.



أَمَّا عند درجة حرارة الغرفة ( $20^{\circ}\text{C}$ ) مثلاً، تمتّص بعض الإلكترونات طاقة حرارية تؤدي إلى كسر الروابط التساهمية، وتحرير الإلكترونات تُسمى الإلكترونات التوصيل Conduction electrons. عندما يغادر الإلكترون الرابطة التساهمية يصبح إلكترونًا حارًّا، ويترك خلفه فراغًا يطلق عليه اسم فجوة Hole، أَتَّمِل الشكل (39). تبدو الفجوة وكأنّها شحنة موجبة نتيجة للنقص في الشحنة السالبة الكلية على الذرة عند ترك الإلكترون موقعه. وبذلك يكون عدد الفجوات يساوي عدد الإلكترونات التوصيل في بلورة السليكون النقيّة، وهو ما يُسمى زوج إلكترون-فجوة Electron–Hole pair.

تسهم الفجوات في التوصيل الكهربائي مثل الإلكترونات التوصيل، فحين تتكوّن فجوة نتيجة لإنفاث الإلكترون عند كسر رابطة تساهمية يصبح من السهل لـإلكترون ذرة مجاورة الانتقال إلى تلك الفجوة تاركًا خلفه فجوةً جديدةً، ينتقل إليها إلكترون من ذرة أخرى مجاورة وهكذا دواليك. فتبعد الفجوات كشحنتين موجبة تتحرك بعكس اتجاه حركة الإلكترونات. وعليه، يمكن افتراض أنّ الفجوات تيار كهربائي يسري بعكس اتجاه حركة الإلكترونات كما في الشكل (40).

الشكل (40): التيار الناتج  
من الفجوات.

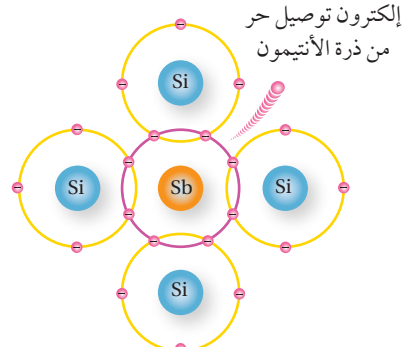


## أشبه الموصلات من النوع *n* والنوع *p*

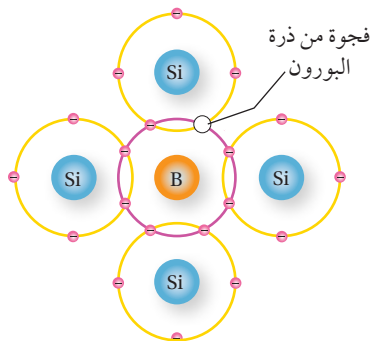
### *n-type and p-type Semiconductors*

أشبه الموصلات النقيّة لا توصل التيار الكهربائي جيداً، لكن يمكن زيادة موصليتها الكهربائية بإضافة بعض المواد إليها تُسمى شوائب Impurities، ويُطلق على تلك العملية اسم الإشباه Doping، حيث تُضاف مادة إلى بلورة السليكون النقيّ تزيد من عدد الإلكترونات الحرّة؛ فيتتجزء من ذلك ما يُسمى بالبلورة السالبة؛ نوع (*n*-type) أو تضاف مادة تزيد من عدد الفجوات ليتتجزء من ذلك بلورة موجبة نوع (*p*-type). لزيادة عدد الإلكترونات الحرّة في بلورة السليكون النقيّ، يُضاف إليها عنصر خماسي التكافؤ (يملك خمسة إلكترونات تكافؤ في غلافه الأخير) مثل، الأنتيمون أو الفسفور أو الزرنيخ. وفي هذه الحالة تحلّ ذرة أنتيمون (Sb) محلّ ذرة سليكون مركزية، وتكون أربع روابط تساهمية مع أربع ذرات سليكون مجاورة لها، ويبقى إلكترون التكافؤ الخامس حرّاً على نحو ما يظهر في الشكل (41). ونتيجة لذلك يزداد عدد الإلكترونات التوصيل في بلورة السليكون النقيّ، ويصبح أكثر من عدد الفجوات. وتُسمى البلورة في هذه الحالة بلورة سالبة أو بلورة من النوع (*n*). أمّا لزيادة عدد الفجوات في بلورة السليكون، فيُضاف عنصر ثلاثي التكافؤ (يملك ثلاثة إلكترونات تكافؤ في غلافه الأخير) كالغالاليوم أو البورون. وفي هذه الحالة تحلّ ذرة البورون محلّ ذرة سليكون مركزية؛ فترتبط بأربع ذرات سليكون مجاورة لها، وتشترك إلكتروناتها الثلاثة لتكونين ثلاثة روابط تساهمية مع ثلات ذرات سليكون، أمّا الرابطة الرابعة فينقصها إلكترون واحد، فتتشكل فجوة كما في الشكل (42). ما يعني أنّ كلّ ذرة بورون تضاف إلى بلورة السليكون تُنتج فجوة جديدة؛ فيزداد بذلك عدد الفجوات في بلورة السليكون، ويصبح عددها أكبر من عدد الإلكترونات التوصيل. وتُسمى البلورة في هذه الحالة بلورة موجبة، أو بلورة من النوع (*p*).

عند توصيل البلورة الموجبة (*p*) أو السالبة (*n*) بمصدر فرق جهد فإنّ تياراً كهربائياً يسري فيها، وهذا التيار يتتجزء من حركة الفجوات والإلكترونات، وتُسمى الفجوات والإلكترونات ناقلات التيار Current carriers. ولأنّ عدد الإلكترونات أكبر في البلورة السالبة، فإنّها تُسمى الناقلات الأغلبية Majority carriers، وتُسمى الفجوات فيها الناقلات الأقلية Minority carriers. وبالمقابل، فإنّه في البلورة الموجبة تكون الفجوات هي الناقلات الأغلبية، والإلكترونات هي الناقلات الأقلية. وتجدر الإشارة هنا إلى أنّ الشحنة الكلية للبلورة تساوي صفرًا؛ لأنّها تتكون من ذرات متعدلة.



الشكل (41): إضافة عنصر خماسي التكافؤ مثل ذرة أنتيمون (Sb) إلى بلورة السليكون. يصبح الإلكترون الزائد إلكترونًا حرّاً.



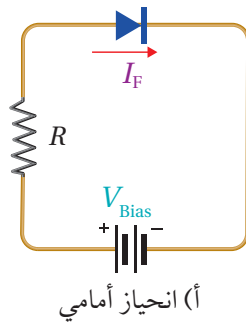
الشكل (42): إضافة ذرة بورون (B) إلى بلورة السليكون وتكوين فجوة.

**أتحقق:** أوضح المقصود بناقلات التيار الأغلبية، وناقلات التيار الأقلية في البلورة الموجبة (*p*) والبلورة السالبة (*n*). ✓

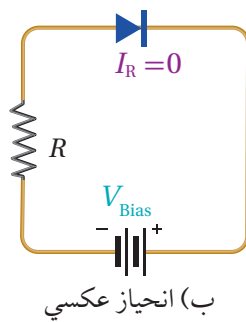
الشكل (43): الثنائي ورموزه في الدارات الكهربائية.



(أ) رمز الثنائي.  
(ب) الثنائي الأكثر استخداماً في الدارات الكهربائية، حيث يمثل الطرف الذي رسم عليه خط أبيض المهبّط.



أ) انحياز أمامي



ب) انحياز عكسي

الشكل (44): وصلتنا الثنائي، الانحياز الأمامي والعكسي.

## الثاني البلوري Diode

يُسمى التركيب الناتج من تلامس البلورتين السالبة ( $n$ ) والمو清华ة ( $p$ ) بالثنائي Diode. ويُرمز إليه في الدارات الكهربائية بالرمز الموضح في الشكل (43/أ). حيث يُسمى طرف الثنائي من النوع ( $n$ ) المهبّط (K) Cathode، وطرفه من النوع ( $p$ ) المصعد (A) Anode. ويُظهر الشكل (43/ب) شكل الثنائي الأكثر استخداماً في الدارات الكهربائية.

يُسمى توصيل الثنائي بمصدر فرق جهد ثابت انحيازاً. وللانحياز حالتان؛ الأولى: انحياز أمامي Forward bias، حيث يوصل الثنائي بمصدر فرق جهد (بطارية مثلاً)، على أن يوصل القطب الموجب للبطارية بمصعد الثنائي، ويوصل القطب السالب للبطارية بمهبط الثنائي كما في الشكل (44/أ) فينشأ تيار كهربائي ( $I_F$ ) عندما يكون فرق جهد المصدر ( $V_{Bias}$ ) أكبر من فرق جهد معين يُسمى حاجز الجهد لل الثنائي، تعتمد قيمته على مادة البلورة؛ عند درجة حرارة  $25^\circ\text{C}$ ، يكون (0.7 V) في بلورة السليكون، في حين يساوي (0.3 V) في بلورة الجermanium. إن سريان تيار كهربائي كبير في الثنائي يؤدي إلى تلفه، لذلك يجب توصيل الثنائي بمقاومة لخفض قيمة التيار.

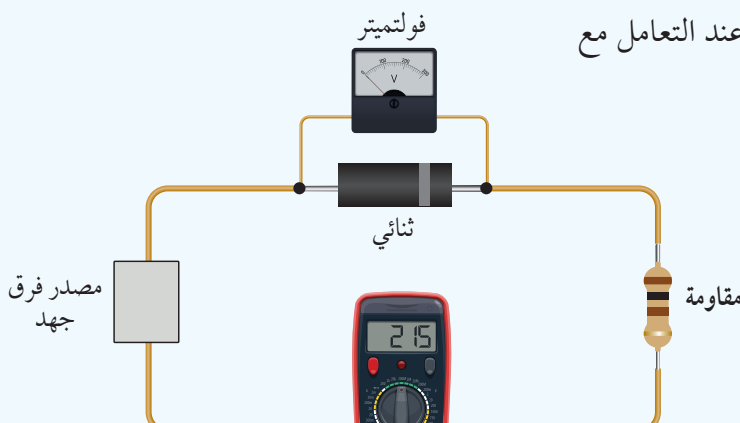
**أفخر:** إنّ حاجز الجهد لل الثنائي المصنوع من السليكون أكبر منه لل الثنائي المصنوع من الجermanium. أناقش أفراد مجموعتي في ذلك اعتماداً على التركيب الذري لكلّ منها. حيث تحتوي ذرة الجermanium المتوازنة على عدد أكبر من الإلكترونات.

والحالة الثانية لتوصيل الثنائي هي الانحياز العكسي Reverse bias، وهنا يوصل القطب الموجب للبطارية بمهبط الثنائي، ويوصل قطبه السالب بمصعد الثنائي كما في الشكل (44/ب)، وتصبح مقاومة الثنائي كبيرة جداً، ما يؤدي إلى عبور تيار كهربائي صغير جداً (ميكر أو أمبير) يمكن اعتباره صفرًا ( $I_R = 0$ ). وإذا زاد فرق جهد المصدر على قيمة معينة، تُسمى جهد الانهيار ( $V_{BR}$ ) Breakdown voltage، فإنّ مقاومة الثنائي تنها، وسيسري فيه تيار كبير يؤدي إلى تلف الثنائي البلوري.

## التجربة 2

### دراسة فرق الجهد والتيار الكهربائي في الثنائي البلوري

المواد والأدوات: ثنائي بلوري (Diode 1N4004) أو ما يكافئه، مصدر فرق جهد مستمر (0 - 15 V)، فولتميتر، أميتر رقمي، مقاومة (10 kΩ)، أسلاك توصيل.



**إرشادات السلامة:** توخي الحذر عند التعامل مع مصادر التيار الكهربائي.

#### خطوات العمل:

بالتعاون مع أفراد مجموعتي أنفذ الخطوات الآتية:

- أركب الدارة كما في الشكل. لاحظ أن مهبط الثنائي متصل بالقطب السالب لمصدر فرق الجهد.
- الاحظ:** أبدأ من فرق جهد يساوي صفرًا، ثم أرفع فرق الجهد تدريجيًّا بزيادة 0.1 V في كل مرة حتى أصل إلى فرق جهد 2 V.
- أدون قراءات الفولتميتر والأميتر في الجدول.
- أعيد مصدر فرق الجهد إلى وضع الصفر.
- أعكس توصيل أقطاب المصدر ليتصل القطب الموجب للمصدر بمهبط الثنائي.
- أعيد ضبط الأميتر حتى يستطيع قراءة تيار بالميكروأمبير.
- أرفع فرق جهد المصدر من (0) إلى 10 V في كل مرة، وأدون قراءة الفولتميتر والميكروأميتير في الجدول.

#### التحليل والاستنتاج:

- أتوقع:** في أي الحالتين كان توصيل الثنائي في وضعية الانحياز الأمامي؟ وفي أيهما كان في وضعية الانحياز العكسي؟
- أمثل بيانياً** العلاقة بين التيار الكهربائي وفرق الجهد على أن يكون التيار الكهربائي على المحور  $x$ ، وفرق الجهد على المحور  $y$  باستخدام برمجية (Excel)، أو على ورق رسم بياني.

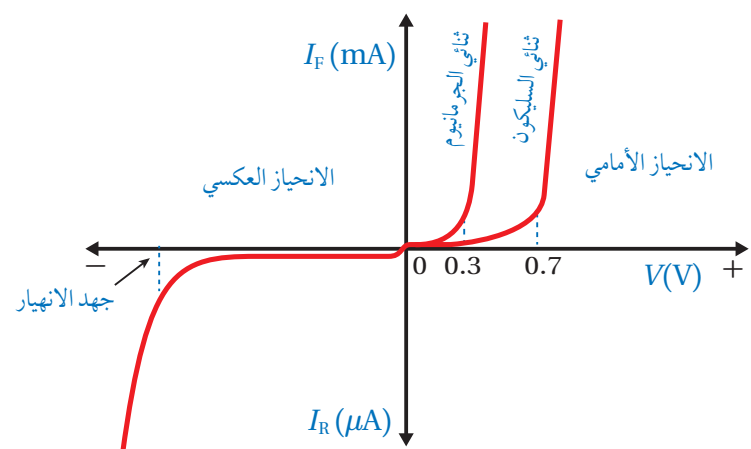
3. أَحْدَدْ قيمة حاجز فرق الجهد من منحنى (I-V).
4. **أَحْلَلُ:** اختيار من منحنى (I-V) نقطة جهدها أكبر من حاجز الجهد (0.75 V) وأرسم مماساً لها، ثمّ أحسب ميل المماس. ماذا يمثل ميل المماس؟ وما مقدار مقاومة الثنائي في هذه الحالة؟
5. **أَحْلَلُ:** أحسب مقدار مقاومة الثنائي في وضعية الانحياز العكسي باستخدام فرق الجهد والتيار المقيس في الخطوة (7).
6. **أَقَارِنُ** بين مقاومة الثنائي في وضعية الانحياز الأمامي والانحياز العكسي.
7. **أَتَوَقَّعُ** مصادر الخطأ المُحتملة في التجربة.

**أَتَحَقَّقُ:** أقارن بين توصيل الثنائي بوضعية الانحياز الأمامي ووضعية الانحياز العكسي حيث التوصيل بمصدر فرق الجهد، والتيار الكهربائي المار في كل حالة.

يوضح الشكل (45) التمثيل البياني لعلاقة التيار الكهربائي بفرق الجهد على طرفي الثنائي السليكون (Si) في منحنى (I-V)، وهو مشابه لما حصلت عليه في التجربة السابقة.لاحظ أنّ التيار يكون صغيراً عندما يكون فرق الجهد على طرفي الثنائي أقلّ من حاجز الجهد، وهو (0.7 V) للثنائي المصنوع من السليكون، أو أقل من حاجز الجهد (0.3 V) للثنائي المصنوع من الجermanium. وبزيادة فرق جهد المصدر إلى قيمة أعلى من حاجز الجهد، فإنّ زيادة قليلة في فرق الجهد تؤدي إلى زيادة كبيرة في التيار الكهربائي، ما يعني أنّ مقاومة الثنائي في وضعية الانحياز الأمامي صغيرة جداً. في حين أنه في وضعية الانحياز العكسي، يكون التيار الكهربائي صغيراً جداً (بالميكرو أمبير)، ما يعني أنّ مقاومة الثنائي كبيرة جداً.

الشكل (45): منحنى (I-V) لثنائيين بلوريين؛ أحدهما سليكون والثاني جermanium.

هل تُعدّ مقاومة الثنائي مقاومة أومية؟ ولماذا؟



اعتماداً على الدارة في الشكل (46)، علماً أن الثنائي مصنوع من مادة السليكون، والمقاومة الداخلية لمصدر فرق الجهد مهملة، أجد لكلاً من الشكلين (أ) و (ب)، فرق الجهد على طرفي الثنائي، وفرق الجهد على طرفي المقاومة.

المقاومة  $\Delta V_R$ ، والتيار الكهربائي المارّ في المقاومة.

المعطيات: الشكل (46).

المطلوب:  $\Delta V_D = ?$ ,  $\Delta V_R = ?$ ,  $I = ?$

الحل:

الشكل (46/أ). نظراً إلى أن مهبط الثنائي متصل بالقطب السالب للبطارية، وجهد البطارية أكبر من حاجز الجهد للثنائي، فإن الثنائي في حالة انحياز أمامي، ويكون فرق الجهد على طرفيه ( $\Delta V_D = 0.7 \text{ V}$ )؛ لأن الثنائي مصنوع من السليكون.

باستخدام قاعدة كيرتشوف الثانية أجد أن

$$\Delta V_R = 10 - 0.7 = 9.3 \text{ V}$$

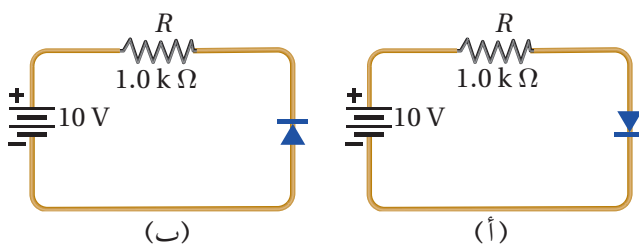
$$I = \frac{10 - 0.7}{R} = \frac{9.3}{1.0 \times 10^3} = 9.3 \text{ mA}$$

الشكل (46/ب)، ونظراً إلى أن مصدر الثنائي متصل بالقطب السالب للبطارية، فإن الثنائي في حالة انحياز عكسي، ويعمل عمل مفتاح مفتوح (وكانه مقاومة لانهائية)؛ كونه لا يمرر تياراً كهربائياً، وأمثل الدارة كما في الشكل (48).

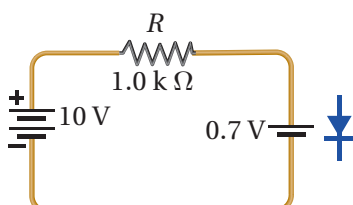
$$\Delta V_D = V_a - V_b = 10 \text{ V}$$

$$\Delta V_R = 0$$

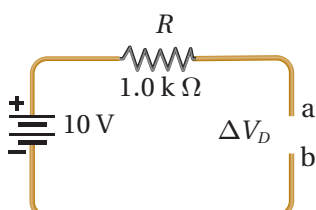
$$I = 0$$



الشكل (46): مثال (17)



الشكل (47): تمثيل الثنائي في حالة الانحياز الأمامي.



الشكل (48): تمثيل الثنائي في حالة الانحياز العكسي.

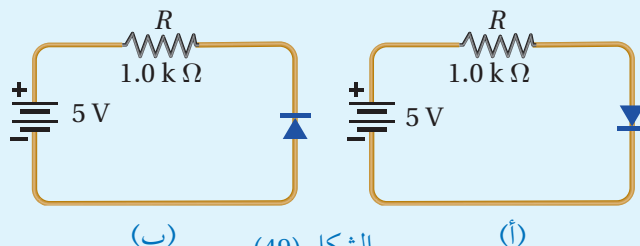
## لتمرين

اعتماداً على الدارة الموضحة في الشكل (49) حيث إن الثنائي مصنوع من مادة الجermanيوم، وبإهمال المقاومة الداخلية للبطارية، أجد ما يأتي لكلاً من الشكلين (أ) و (ب) :

1. فرق الجهد على طرفي الثنائي .

2. فرق الجهد على طرفي المقاومة.

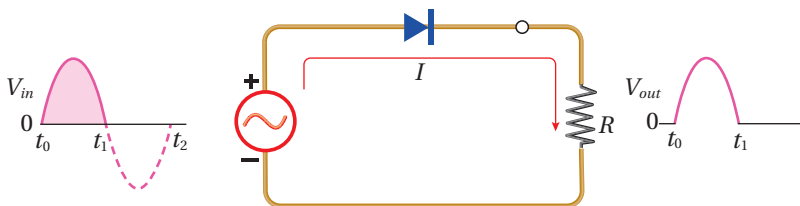
3. التيار المارّ في المقاومة.



الشكل (49)

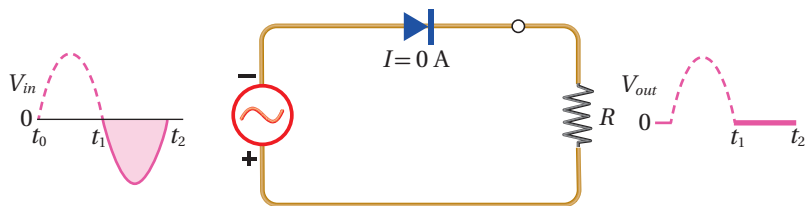
## الثاني بوصفه مقوّماً للتيار المتردّد Diode as a Current Rectifier

تعلّمت سابقاً، أنّ المقابس في المنازل تزوّدنا بتيار متردّد، وبعض الأجهزة الكهربائية تعمل على تيار مستمر. فكيف أحول التيار المتردّد إلى تيار مستمر؟ عند توصيل الثنائي بمصدر تيار متردّد كما في الشكل (50)، فإنّه يسمح لنصف الموجة التي تمثل جهداً موجباً بالعبور؛ لأنّ وصلة الثنائي تكون في حالة الانحياز الأمامي كما في الشكل (50/أ). أمّا النصف الثاني من الموجة، فيمثّل جهداً سالباً وتكون وصلة الثنائي في حالة انحياز عكسي، والثنائي لا يسمح للنصف السالب من الموجة بالعبور كما في الشكل (50/ب). لذلك تكون الإشارة الناتجة على شكل موجة نصف جيبيّة باتجاه واحد (موجبة فقط) كما في الشكل (50/ج)، وُتُسمى الدارة في الشكل (50) دارة تقويم نصف موجة Half wave rectifier. وفي هذه الحالة يكون تردد الموجة الناتجة مساوياً لتردد الموجة الداخلة.

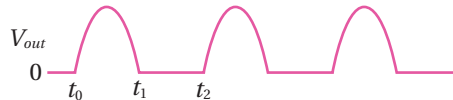


أ) خلال الجزء الموجب من الإشارة المدخلة، يكون الثنائي في حالة انحياز أمامي ويمرّر الموجة كما هي.

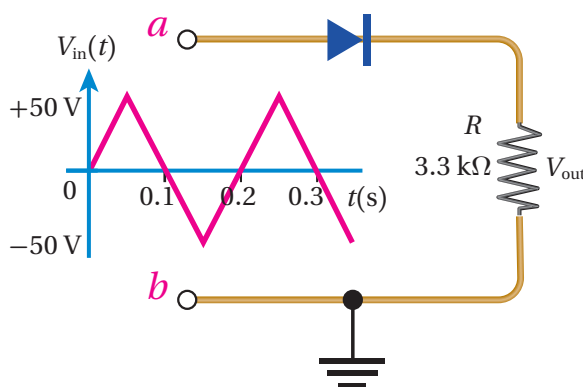
**الشكل (50): الثنائي البلوري بوصفه مقوّماً نصف موجة.**



ب) خلال الجزء السالب من الإشارة المدخلة، يكون الثنائي في حالة انحياز عكسي ولا يمرّر الإشارة.



ج) الشكل النهائي للإشارة الناتجة.



الشكل (51): دارة مقوّم نصف موجة.

يمثل الشكل (51) دارة مقوّم نصف موجة، إذا كانت الموجة الكهربائية الدالة مثلثة الشكل كما في الشكل، بإهمال فرق الجهد على الثنائي أجيب عمّا يأتي:

- في أيّ الفترات الزمنية يكون الثنائي في حالة انحياز أماميّ؟ وفي أيّها يكون في حالة انحياز عكسيّ؟
- أرسم شكل الموجة الناتجة على المقاومة ( $R$ ).

المعطيات: الشكل (51).

المطلوب: شكل الموجة الخارجية.

الحلّ:

أ . في الفترة الزمنية ( $0-0.1$  s) والفترات ( $0.2-0.3$  s) يكون جهد النقطة (a) أكبر من جهد النقطة (b)، أي إنّ

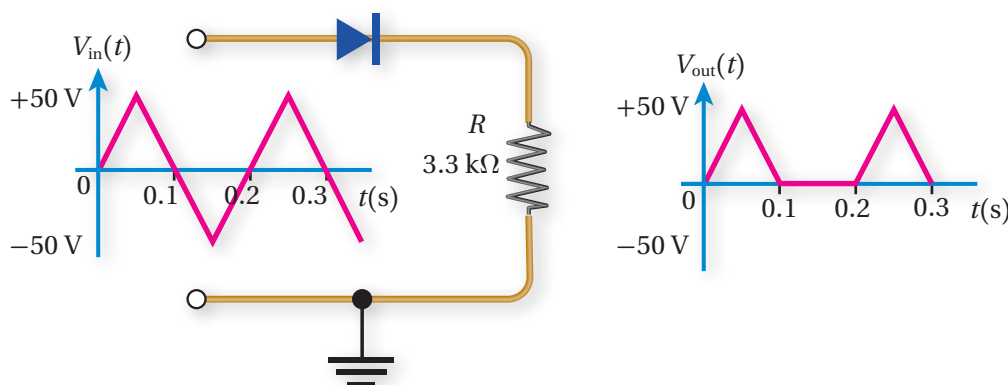
جهد مصدع الثنائي أكبر من جهد مهبطه، لذلك يكون الثنائي في حالة انحياز أماميّ.

أمّا في الفترة الزمنية ( $0.1-0.2$  s) فيكون جهد النقطة (a) أقلّ من جهد النقطة (b)، أي إنّ جهد مصدع الثنائي

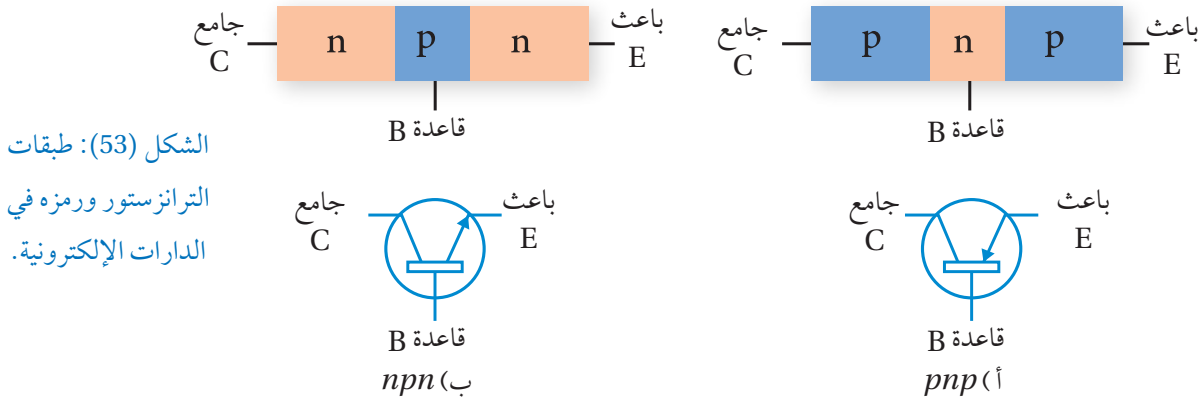
أقلّ من جهد مهبطه، لذلك يكون الثنائي في حالة انحياز عكسيّ.

ب . في الفترة التي يكون فيها الثنائي في حالة انحياز أمامي يمرّ الموجة الكهربائية، وأمّا في الفترة التي يكون فيها الثنائي في حالة انحياز عكسيّ، فلا يمرّ الموجة الكهربائية، ويكون شكل الموجة الخارجية كما في

الشكل (52).



الشكل (52): شكل الموجتين الدائلة والخارجية.



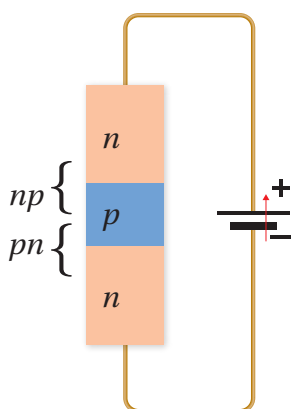
## الترانزستور Transistor

الترانزستور **Transistor** هو أحد أهم عناصر الدارات الإلكترونية، ويدخل في تركيب الأجهزة الإلكترونية كلها. فالهاتف النقال يحوي مئات الآلاف من الترانزستورات. ويُصنع الترانزستور من مواد شبه موصلة مثل السليكون أو الجرمانيوم. ويُتَّخِذ الترانزستور مُضخماً للتيار الكهربائي أو الجهد الكهربائي أو القدرة الكهربائية، أو مفتاحاً سريعاً لفتح والإغلاق. يوجد نوعان رئيسيان من الترانزستورات، هما: الترانزستور ثنائي القطبية (BJT)، Bipolar Junction Transistor (BJT)، وترانزستور تأثير المجال (FET). وسأدرس هنا الترانزستور ثنائي القطبية.

### الترانزستور ثنائية القطبية:

يتكون الترانزستور ثنائية القطبية من ثلاثة طبقات شبه موصلة، حيث تختلف الطبقة الوسطى في النوع عن الطبقتين الأخريين. فعندما تكون الطبقة الوسطى من النوع (n) والطبقتان الأخريان من النوع (p)، يكون نوع الترانزستور (pnp). وإذا كانت الطبقة الوسطى من النوع (p) يكون نوع الترانزستور (npp). ويوضح الشكل (53) طبقات الترانزستور ورموزه في الدارات الإلكترونية. وتُسمى الطبقة الوسطى للترانزستور القاعدة Base ويرمز إليها بالرمز (B)، وتُسمى الطبقتان الأخريان الجامع Collector ورموزه (C)، والباعث Emitter ورموزه (E).

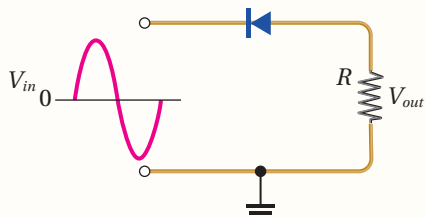
اللاحظ في الشكل (53) أن اتجاه السهم يشير إلى اتجاه التيار الأصطلاحي الموجب، فيكون السهم خارجاً من القاعدة (B) باتجاه الباعث (E) في الترانزستور (pnp)، في حين يكون اتجاه السهم من الباعث نحو القاعدة في الترانزستور (npp). ويمكن تخيل الترانزستور بأنه يتكون من ثنائين كما في الشكل (54)، حيث البُلُورة الوسطى (القاعدة) من النوع (p) تكون رقيقة، وتركيز الفجوات فيها قليل.



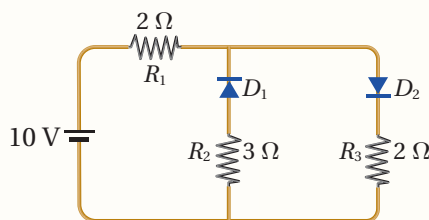
الشكل (54): يتكون الترانزستور من ثنائين، وتكون الطبقة الوسطى رقيقة. الرسم توضيحي لا يعبر عن الأبعاد الحقيقية للترانزستور.

# مراجعة الدرس

1. **الفكرة الرئيسية:** أوضح المقصود بكلٌّ من: المواد شبه الموصلية، والإشارة، وال الثنائي البولوري.



2. **أحلل:** اعتماداً على الدارة الموضحة في الشكل، أرسم شكل الموجة الناتجة. هل سيتغير شكل الموجة الناتجة إذا عُكس الثنائي؟ أفسّر إجابتي.



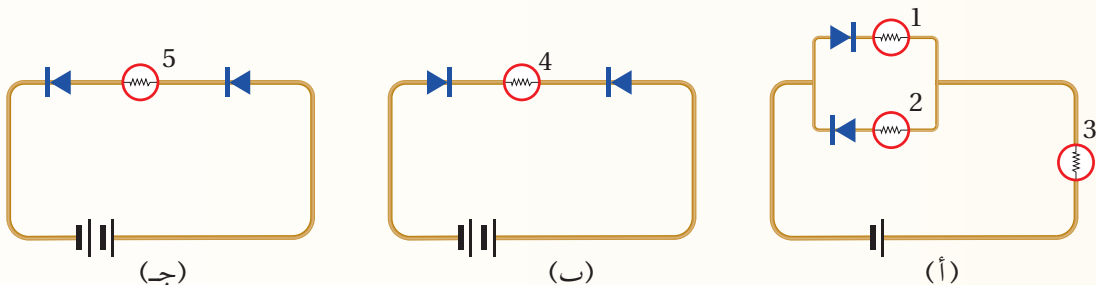
3. **أحلل:** اعتماداً على الشكل، وبإهمال فرق الجهد على طرفي الثنائي في حالة الانحياز الأمامي:

أ. أي الثنائيين في حالة انحياز أمامي؟ وأيهما في حالة انحياز عكسي؟

ب. أجد التيار المار في كل مقاومة.

ج. إذا عُكست أقطاب البطارية أجد التيار المار في كل مقاومة.

4. **أحلل:** اعتماداً على الشكل المجاور أي المصايب يضيء، وأيها لا يضيء؟

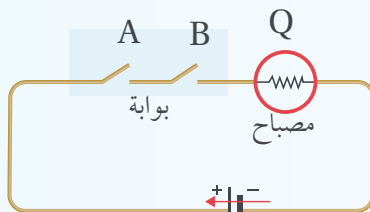


5. **التفكير الناقد:** أرادت الطالبة سماح تصميم دارة تحوي مصباحين صغيرين على أن يُضيئاً ويطفِئاً على التناوب، وكان من ضمن القطع الإلكترونية التي تحتاج إليها ترانزستوران، فهل يجب استخدام الترانزستورين بوصفهما مُضخمين أم بوصفهما مفتاحين؟ ولماذا؟

# الإثراء والتتوسيع

## البوابات المنطقية

### Logic Gates

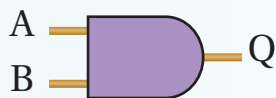


تمثيل بسيط لبوابة رقمية.

جدول الحقيقة للدارة السابقة.

Input		Output
A	B	Q
0	0	0
0	1	0
1	0	0
1	1	1

A	B	Q
0	0	0
0	1	0
1	0	0
1	1	1



بوابة AND رمزها وجدول الحقيقة لها.

البوابات المنطقية دارات إلكترونية يستخدم فيها الترانزستور بوصفه مفتاحاً سريعاً للفتح والإغلاق. ولتبسيط مبدأ عملها سندرس الدارة الموضحة في الشكل المجاور، وسنرمز إلى المفتاح المفتوح بالرمز (0)، وإلى المفتاح المغلق بالرمز (1)، وإضاءة المصباح (Q) بالرمز (1)، وعدم إضاءة المصباح بالرمز (0). ويمكن أن نعد المفتاحين (A) و (B) معاً بوابة منطقية. لن يضيء المصباح إلا إذا أغلق المفاتيح معاً، ويمكن تلخيص ذلك في الجدول المجاور، ويسمى مثل هذا الجدول جدول الحقيقة Truth table. وهذا السلوك للدارة السابقة يوصف بالسلوك المنطقي Logic، حيث يعبر عن المدخلات والمخرجات بالرقمين (1) و (0).

صمم العديد من الدارات الإلكترونية التي يستخدم فيها ترانزستور أو أكثر بالإضافة إلى عناصر أخرى (مثل، الموساعات والمقاومات) لتتصرف تصريفاً منطقياً كما في الدارة السابقة التي تعد تبسيطًا لبوابة منطقية تسمى بوابة (AND)، ويرمز إليها بالرمز الموضح في الشكل المجاور. ومن الأمثلة الأخرى البوابة العاكسة (NOT), Inverter gate، والتي تتكون من مدخل واحد (A) ومحرك واحد (Q). ومن الأمثلة الأخرى على البوابات المنطقية الأساسية بوابة (OR). يتضح مما سبق أن البوابة المنطقية Logic gate مجموعة ترانزستورات ومقاومات وعناصر إلكترونية أخرى تقوم بعملية منطقية على مدخل واحد أو أكثر، وتخرج مخرجًا منطقياً واحداً.

الأجهزة الإلكترونية المعتمدة في تصمييمها على البوابات المنطقية تسمى إلكترونيات رقمية، حيث تأخذ القيم (1) أو (0) لمدخلاتها ومجارتها. وتمتاز أنظمة الإلكترونيات الرقمية كونها أسهل نسبياً في التصميم وإمكانية برمجتها، ومنعتها ضد الضوضاء والتشویش، وسهولة تخزينها للبيانات، وسهولة تصنيعها على شكل دارة متكاملة (IC), Integrated circuit، ما يؤدي إلى تصميم دارات تقوم بوظائف أكثر تعقيداً وبحجم أصغر.

# مراجعة الوحدة

1. أضع دائرة حول رمز الإجابة الصحيحة لكل جملة مما يأتي:

1. وحدة قياس معامل الحث الذاتي لمحث بحسب النظام الدولي للوحدات، هي:

د.  $V.s/A$

ج.  $V.A.s$

ب.  $A.s/V$

أ.  $V.A/s$

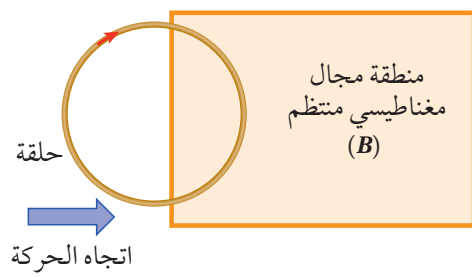
2. ملف مستطيل الشكل يتكون من لفة واحدة ومساحة سطحه ( $A$ )، مغمور في مجال مغناطيسيي ( $B$ )، بحيث تكون الزاوية بين مستوى الملف وخطوط المجال ( $30^\circ$ ). إذا تضاعف مقدار المجال المغناطيسيي خلال مدة زمنية مقدارها ( $\Delta t$ )، فإن التغير في التدفق المغناطيسيي الذي يخترق الملف خلال تلك المدة يساوي:

د.  $2BA \cos 60^\circ$

ج.  $BA \cos 60^\circ$

ب.  $2BA \cos 30^\circ$

أ.  $BA \cos 30^\circ$



3. في أثناء دخول الحلقة المبيبة في الشكل إلى منطقة مجال مغناطيسيي منتظم ( $B$ ) يتولد في الحلقة تيار كهربائي حثّي بالاتجاه المبين في الشكل، فيكون المجال المغناطيسيي ( $B$ ) باتجاه محور:

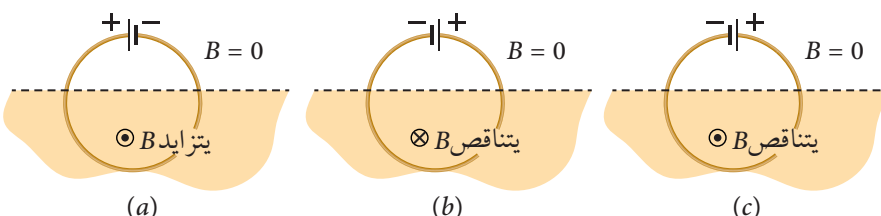
ب.  $-z$

أ.  $+z$

د.  $-x$

ج.  $+x$

4. يبين الشكل المجاور حلقة تتصل ببطارّية، ونصفها السفلي موضوع في مجال مغناطيسيي منتظم؛ اتجاهه قد يكون عمودياً على الصفة للداخل أو للخارج، ومقداره قد يتزايد أو يتناقص. في أي الحالات الثلاث يكون اتجاه القوة الدافعة الكهربائية الحثّية المتولّدة في الحلقة باتجاه القوة الدافعة الكهربائية للبطارّية؟

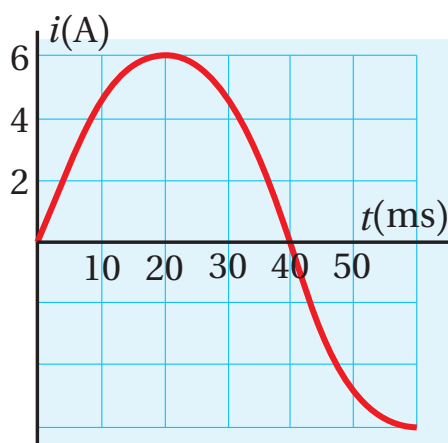


د. (c) و (b)

ج. (a) و (b)

ب. (c) فقط

أ. (b) فقط



5. الشكل البياني المجاور يمثل تغيير التيار المتردد بالنسبة إلى الزمن، إنّ التيار اللحظي يُعبّر عنه بالعلاقة الآتية:

أ.  $i = 6 \sin 40 t$

ب.  $i = 6 \sin 40 \pi t$

ج.  $i = 6 \sin 12.5 \pi t$

د.  $i = 6 \sin 25 \pi t$ .

# مراجعة الوحدة

6. يُعبّر عن فرق الجهد المتردّد بالعلاقة ( $\Delta V = V_{\max} \sin 3\pi t$ ). عند أيّ لحظة زمنية تكون القيمة اللحظيّة لفرق

الجهد المتردّد مساوية لنصف قيمته العظمى؟

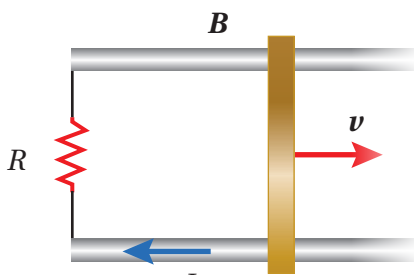
أ .  $\frac{6}{18}$  s

ب .  $\frac{3}{18}$  s

ج .  $\frac{2}{18}$  s

د .  $\frac{1}{18}$  s

7. موصل مستقيم طوله ( $\ell$ ) مغمور داخل مجال مغناطيسي منتظم. عند سحب الموصل بسرعة ثابتة مقدارها ( $v$ ) على مجّارٍ فلزّي باتجاه محور (+x)، يمرّ في المقاومة ( $R$ ) تيار كهربائي حثّي ( $I$ ) بالاتجاه المبين في الشكل. إنّ مقدار المجال المغناطيسي واتجاهه:



أ .  $\frac{IR}{\ell v}$  ، باتجاه (+z)

ب .  $\frac{\ell v}{IR}$  ، باتجاه (+z)

ج .  $\frac{IR}{\ell v}$  ، باتجاه (-z)

د .  $\frac{\ell v}{IR}$  ، باتجاه (-z)

8. عند توصيل طرفي فولتميتر بطرفين مصدر فرق جهد متردّد قيمته العظمى (310 V)، فإنّ قراءة الفولتميتر تساوي:

أ . 31 V

ب . 155 V

ج . 220 V

9. ما مقدار مقاومة متصلة بمصدر فرق جهد متردّد قيمته العظمى (69 V)، عندما يسري فيها تيار متردّد قيمته الفعالة (3.5 A)؟

أ . 7 Ω

ب . 14 Ω

ج . 20 Ω

د . 28 Ω

10. المواد النقيّة التي لها العدد الأكبير من الإلكترونات الحرّة هي:  
أ . المواد العازلة.      ب . المواد شبة الموصلّة.      ج . المواد الموصلّة.      د . بلّورة من النوع ( $p$ ).

11. عند إشارة بلّورة السليكون بعنصر خماسي التكافؤ يتتجّ:

أ . بلّورة من نوع ( $p$ )

ب . بلّورة من نوع ( $n$ )

ج . ثنائّي بلّوري

د . ترانزستور.

12. حتى يكون الثنائيّ البلّوري في حالة انحياز أماميّ، يجب أن:  
أ . يُطبّق فرقُ جهد خارجيٍّ موجبٍ على مصعده، وآخرٌ سالبٌ على مهبطه بحيث يكون أكبر من حاجز الجهد للثنائيّ.  
ب . يُطبّق فرقُ جهد خارجيٍّ سالبٌ على مصعده، وآخرٌ موجبٍ على مهبطه.  
ج . يكون جهد مصعده أقلّ من جهد مهبطه.  
د . يكون جهد مصعده أكبر من جهد مهبطه بما لا يزيد على (0.1 V).

## مراجعة الوحدة



2. **أفسر:** حلقة موصولة وضعت بالقرب من سلك موصى مستقيم يسري فيه تيار كهربائي (I) لجهة اليسار كما في الشكل المجاور. أحدد لكل حالة من الحالات الآتية، هل يمر تيار كهربائي حي في الحلقة أم لا؟ وأحدد اتجاهه.

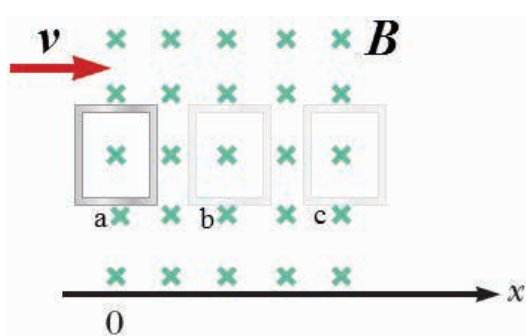
أ. عندما تتحرك الحلقة رأسياً إلى الأسفل باتجاه السلك.

ب. في أثناء إنفاس التيار الكهربائي المار في السلك معبقاء الحلقة ثابتة.

ج. عندما تتحرك الحلقة أفقياً بموازاة طول السلك لجهة اليسار.

3. **أحسب:** حلقة دائرية موصولة نصف قطرها (0.10 m)، موضوعة في مجال مغناطيسي منتظم مقداره (0.15 T)، على أن يكون مستواها عمودياً على اتجاه المجال المغناطيسي. سحبت الحلقة من طرفين متباينين فيها، فتغير شكلها، وأصبحت مساحتها ( $3.0 \times 10^{-2} \text{ m}^2$ ) خلال (0.20 s). أحسب القوة الدافعة الكهربائية الحثية المتوسطة المترولدة في الحلقة خلال هذه المدة الزمنية.

4. **أحلّ وأستنتج:** حلقة فلزية مستطيلة الشكل تقع في المستوى  $xy$ ، وتتحرك باتجاه محور  $x +$  بسرعة متوجهة ثابتة،



فتدخل منطقة مجال مغناطيسي منتظم باتجاه محور  $-z$ ، كما في الشكل المجاور. وتمثل الرموز a و b و c مرحلة دخول الحلقة منطقة المجال المغناطيسي، ومرحلة حركتها داخله، ومرحلة خروجها من منطقة المجال المغناطيسي، على الترتيب. أجب عما يأتي:

أ. أي المراحل الثلاث يتولد فيها قوة دافعة كهربائية وتيار كهربائي حي في الحلقة؟ أفسر إجابتي.

ب. أحدد اتجاه التيار الكهربائي الحثي المترولد في كل مرحلة إن وجد، مفسراً إجابتي.



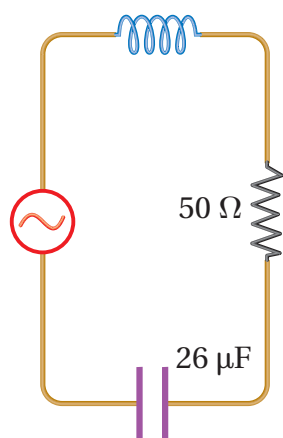
5. **استخدم الأرقام:** تحلق إحدى طائرات الخطوط الجوية الملكية الأردنية أفقياً بسرعة مقدارها (200 m/s) في منطقة، المركبة الرئيسية للمجال المغناطيسي الأرضي فيها تساوي ( $50 \mu\text{T}$ ). أتأمل الشكل المجاور. إذا علمت أن طول جناحي الطائرة معًا يساوي (60 m)، فأحسب القوة الدافعة الكهربائية الحثية المتوسطة المترولدة بين طرفي جناحي الطائرة.

6. **استخدم الأرقام:** حلقة فلزية مساحة مقطعيها العرضي ( $10.0 \text{ cm}^2$ )، موضوعة في مجال مغناطيسي منتظم على أن يكون مستواها عمودياً على اتجاه المجال المغناطيسي. إذا ازداد مقدار المجال المغناطيسي ازدياداً منتظمًا من (0.50 T) إلى (2.50 T) خلال (1.0 s)، فأحسب التيار الكهربائي الحثي المترولد في الحلقة إذا علمت أن مقاومتها (1.0  $\Omega$ ).

# مراجعة الوحدة

7. **استخدم المتغيرات** ملف من سلك موصل عدد لفاته (400)، ومقاومته الكهربائية ( $\Omega$ ) 50.0، ومساحة مقطعي العرضي ( $m^2$ ) 0.25. وضع الملف داخل مجال مغناطيسي منتظم مقداره (T) 2.0، حيث مستوى الملف عمودي على اتجاه المجال المغناطيسي. فإذا تلاشى المجال المغناطيسي خلال (s) 0.50، أحسب ما يأتي:
- القوة الدافعة الكهربائية الحية المتوسطة المتولدة في الملف.
  - التيار الكهربائي الحي المولود في الملف.

8. **أمثل البيانات**: القيمة الفعالة لفرق الجهد الكهربائي المتردد في الأردن (V) 230، وتردد (Hz) 50. أمثل فرق الجهد المتردد بمنحنى بياني، مبينا عليه تدريج الزمن والقيمة العظمى لفرق الجهد.



9. **استخدم المتغيرات**: دارة (RLC) تحتوي على مقاومة ومحث ومواضع مبينة قيمها في الشكل المجاور، تتصل بمصدر فرق جهد متردد قيمته العظمى (V) 210، وتردد (Hz) 50. أحسب:
- المعاوقة المحثية والمعاوقة الموسوعية والمعاوقة الكلية للدارة.
  - القيمة العظمى للتيار المتردد.

10. **أحلل**: تحتوي دارة استقبال في جهاز مذيع على مقاومة ( $\Omega$ ) 120، ومحث محاثة (0.2 mH)، ومواضع متغير الموسعة. يمكن ضبط الدارة لكي تستقبل موجات بترددات مختلفة، عن طريق إحداث الرنين. أحدد مجال القيم التي تتغير بينها موسعة المواسع لاستقبال مدى الترددات (kHz) (550–1650 kHz).

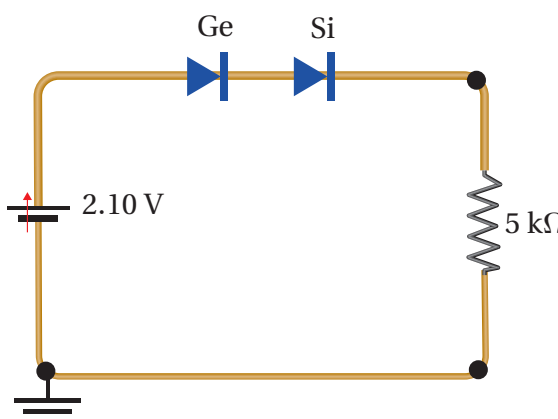
11. **استخدم الأرقام**: تحتوي دارة (RLC) على مقاومة ( $\Omega$ ) 150 ومحث (460 mH) ومواضع ( $\mu F$ ) 21 موصولة على التوالى بمصدر فرق جهد متردد قيمته الفعالة (V) 120، وتردد (Hz) 60، أحسب:
- مقدار المعاوقة الكلية للدارة.
  - التردد الطبيعي للدارة الذي يحدث عنده الرنين.

12. **أحلل البيانات**: معتمدا على العلاقة البيانية المجاورة لتغيير التيار الذي يسري في دارة مقاومة فقط مقدارها ( $\Omega$ ) 40، أجد:
- 
- القيمتين العظمى والفعالة للتيار.
  - التردد الزاوي للتيار.
  - القيمة الفعالة لفرق الجهد.
  - القدرة الكهربائية المستهلكة في المقاومة.

13. **أحسب:** يسري تيار متزدّد في مقاومة ( $\Omega$ ) 200، إذا كانت قيمته العظمى (2.8 A)، فما القدرة المتوسطة المستهلكة في هذه المقاومة؟

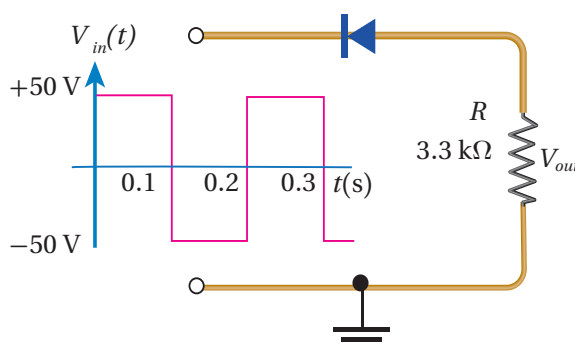


14. **استخدم المتغيرات:** وصل ثنائياً من герمانيوم على التوالي بمقاومة كما في الشكل المجاور، اعتماداً على البيانات المثبتة على الشكل، أجد فرق الجهد على طرفي الثنائي، وفرق الجهد على طرفي المقاومة  $\Delta V_R$ ، والتيار المار في المقاومة .



15. **استخدم المتغيرات:** وصل ثنائيان من السليكون (Si) والجرمانيوم (Ge) على التوالي بمقاومة على نحو ما هو مبيّن في الشكل المجاور، اعتماداً على البيانات المثبتة على الشكل أجدُ الجهد الناتج .

16. **احلّ:** أحضر باسم دارة متكاملة تستخدّم للتوقّيّت تنتج إشارة مربّعة، وقام هو وأفراد مجّموعته بتوصيلها بثنائي ومقاومة كما في الشكل المجاور، اعتماداً على البيانات الموضحة على الشكل:



- أ. أمثل بيانيًّا الاشارة الخارجّة ( $V_{out}$ ) بالنسبة إلى الزمن.  
ب. إذا استخدّمت بدلاً من المقاومة مصباحًا له نفس مقدار المقاومة، أجد عدد المرات التي سيضيء فيها المصباح في الثانية الواحدة.

# الوحدة

# 6

## الفيزياء الحديثة

### Modern Physics

#### أتأمل الصورة

##### الفيزياء والطاقة

تحوّل الخلايا الشمسية الطاقة الشمسية إلى طاقة كهربائية. والشكل أعلاه يبيّن محطة شمس معان للطاقة الشمسية، التي أُنشئت في مدينة معان عام 2016، وهي من أكبر مشاريع الطاقة الشمسية في الأردن، وفي المرتبة الثانية على مستوى الشرق الأوسط من حيث إنتاج الطاقة بقدرة 52.2 ميجاواط، واستُخدم في تصميمها 600 ألف لوح من الخلايا الشمسية. هل يوجد شروط يجب توافرها في المناطق التي تُبني فيها محطات الطاقة الشمسية؟ وما القوانين الفيزيائية التي ترتبط بهذه التكنولوجيا؟

## الفكرةُ العامةُ:

لتطورٍ علم الفيزياء أثرٌ كبيرٌ في تفسير ظواهر ذات أهمية في حياتنا أدّت إلى تطوير تكنولوجيا جديدة، سهّلت لنا سبل الحياة. وفي هذه الوحدة سأعرّفُ أهمَّ الظواهر التي أسهمت في بزوغ ثورة علمية أدّت إلى علم الفيزياء الحديثة (فيزياء الكم).

### الدرسُ الأولُ: الطبيعة الجُسيمية للضوء

#### Particle Nature of Light

**الفكرةُ الرئيسةُ:** للضوء طبيعة جُسيمية إضافية إلى طبيعته الموجية، وفهمنا للطبيعة الجُسيمية للضوء مكّننا من فهم أعمق للظواهر المتعلقة بالجُسيمات الذريّة دون الذريّة (دون الجاهريّة).

### الدرسُ الثانيُ: التركيب الذري

#### Atomic Structure

**الفكرةُ الرئيسةُ:** تتكون الذرة من نواة موجبة الشحنة، تتحرّك حولها إلكترونات سالبة الشحنة، تتحلّ مستويات طاقة غير متصلة (مُكمّاة)، وفهمنا لهذا التركيب أدى إلى تطوير تكنولوجيا متقدمة أسهمت في تسهيل سبل الحياة، واكتشافات علمية جديدة.



# تجربة استهلاك الله

## استقصاء إشعاع الجسم الأسود

**المواد والأدوات:** موقد بنسن، سلك فلزّي، ملقط، قفازان سميكان، نظّارة واقية للعينين.

**إرشادات السلامة:** ارتداء القفازين واستخدام النظارات الواقية للعينين، وتوخي الحذر عند استخدام الغاز وموقد بنسن.

### خطوات العمل:

بالتعاون مع أفراد مجموعتي أنفذ الخطوات الآتية:

1. أُشعّل موقد بنسن بمساعدة معلّمي / معلّمتى، وأحمل السلك الفلزّي بالملقط، ثم أضعه فوق الموقد.

2. **الاحظ** لون الوهج الصادر عن السلك في أثناء تسخينه، مستمرًا بالتسخين حتى أحصل على وهج لونه أبيض.

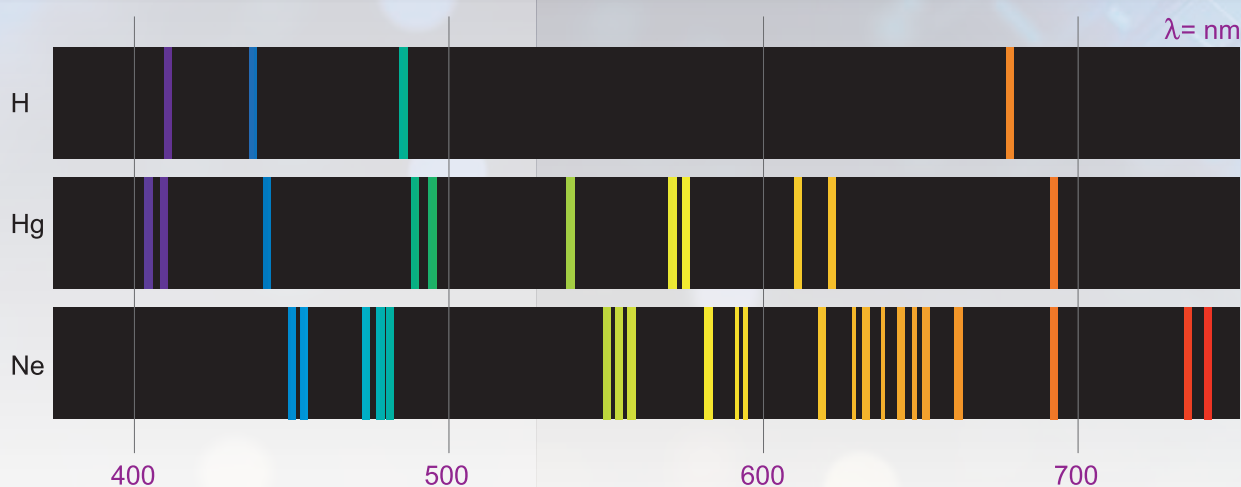
3. **أدون** لون الوهج الصادر عن السلك مع مرور الزمن حتى الحصول على وهج لونه أبيض.

### التحليل والاستنتاج:

1. ما ألوان الوهج الصادرة عن السلك التي شاهدتها؟

2. **أحلّ البيانات وأفسّرها:** لماذا تغيّر لون الوهج مع مرور الزمن؟ وهل لذلك علاقة بدرجة حرارة الجسم؟

3. **أناقش** أفراد مجموعتي في صحة نموذج رايلي - جينز الذي يتوقع توهج السلك بلون أزرق بدل اللون الأبيض الذي لاحظته في التجربة عند درجات حرارة مرتفعة.



### الحاجة إلى الفيزياء الحديثة The Need for Modern Physics

تطور علم الفيزياء الكلاسيكية على يد كثيرون من العلماء، مثل غاليليو Galileo الذي اهتم بدراسة الأجسام الساكنة والمتحركة، ونيوتون Newton الذي وضع ثلاثة قوانين في الحركة، وهذا ما درسته في صفوف سابقة. وتعد النظرية الكهرمغناطيسية من مجالات الفيزياء الكلاسيكية المهمة، طورها العالم الإنجليزي ماكسويل Maxwell، وتصف الضوء بأنه موجات كهرمغناطيسية، ونجحت هذه النظرية في تفسير كثيرون من الظواهر المتعلقة بالضوء كالحيود، والتدخل، والانعكاس، والانكسار.

لكن في بدايات القرن العشرين اكتُشفت ظواهر فيزيائية جديدة لم تستطع الفيزياء الكلاسيكية تفسيرها؛ مثل إشعاع الجسم الأسود، والظاهرة الكهرضوئية، وتأثير كومبتون، وتركيب الذرات والأطياف الخطية المنبثقة عنها على نحو ما سأدرس لاحقاً في هذه الوحدة. إن الحاجة إلى تفسير هذه الظواهر أدى إلى نشوء علم الفيزياء الحديثة، ويندرج تحتها علم فيزياء الكم الذي يعني بدراسة أنظمة الجسيمات الذرية دون الذرية (دون الجاهريّة) ضمن مجالات منها الفيزياء الذرية والفيزياء النووية وفيزياء أشباه الموصلات.

### إشعاع الجسم الأسود Blackbody Radiation

عند درجات حرارة أكبر من الصفر المطلق تُشعّ الأجسام طاقة على شكل أشعة كهرمغناطيسية، ويعتمد إشعاع جسم للطاقة على درجة حرارته وطبيعة سطحه. وقد لاحظت في التجربة الاستهلالية أنّ لون توهج السلك تغير مع ارتفاع درجة حرارته، بدءاً من اللون الأحمر مروراً بالأصفر وانتهاءً باللون الأبيض.

لفهم الإشعاع الحراري المُنبثٍ من جسم، طور العلماء مفهوم **الجسم الأسود Blackbody**، وهو جسم مثاليٍّ يمتصّ الأشعة الكهرمغناطيسية الساقطة عليه بغضّ النظر عن تردّداتها، ويُشعّها بالكافاء نفسها، ويعتمد انبعاث الأشعة منه على درجة حرارته فقط. وأطلق عليه اسم الجسم الأسود؛ لأنّ الجسم الذي يمتصّ الأشعة الساقطة عليه جميعها يكون لونه أسود. والشكل (1) يوضح تصوّراً للجسم الأسود بأنه ثقب صغير في جسم أجوف، والأشعة التي تدخل الجسم من خلال الثقب تُمتصّ

القلة الرئيسية:

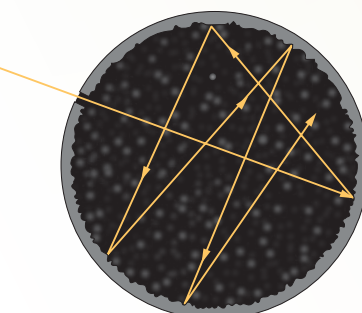
للضوء طبيعة جُسيمية إضافة إلى طبيعته الموجية، وفهمنا للطبيعة الجُسيمية للضوء مكّناً من فهم أعمق للظواهر المتعلقة بالجسيمات الذرية دون الذرية (دون الجاهريّة).

التّجاذبُ التّعلُّم:

- أصف الإشعاع الحراري للجسم الأسود.
- أشرح الظاهرة الكهرضوئية.
- أفسّر العلاقة بين الطاقة الحرارية العظمى للإلكترونات المتحرّرة من سطح الفلز وتردد الضوء الساقط عليه.
- أشرح تجربة كومبتون.
- أحّل مسائل حسابية على الظاهرة الكهرضوئية وتأثير كومبتون.

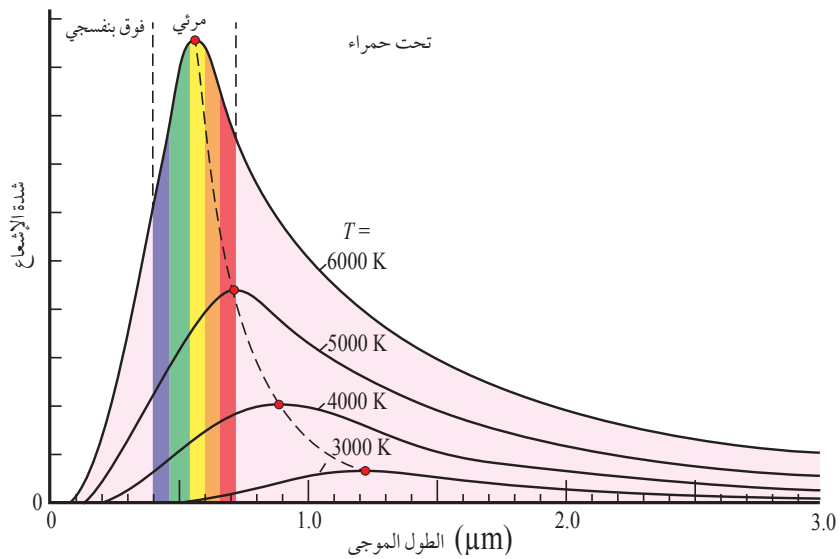
المفاهيم والمصطلحات:

Blackbody	الجسم الأسود
	الظاهرة الكهرضوئية
	Photoelectric Effect
	الإلكترونات الضوئية
	جهد الإيقاف ( $V_s$ )
	Threshold Frequency
	اقتران الشغل للفلز
	Work Function



الشكل (1): الجسم الأسود يمتصّ الأشعة الساقطة عليه كافة.

الشكل (2): العلاقة بين شدة الإشعاع المنبعث من الجسم الأسود وطول موجة الإشعاع المنبعث منه عند درجات حرارة مختلفة.



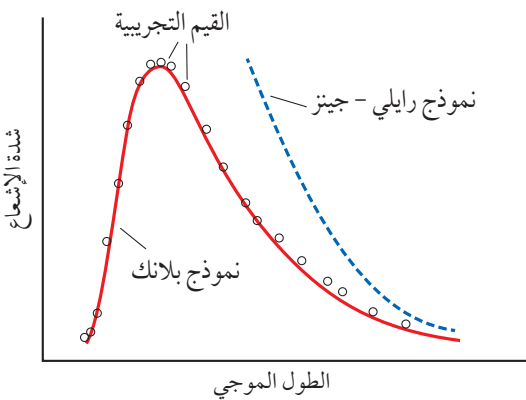
امتصاصاً كاملاً. ويوضح الشكل (2) العلاقة بين الشدة والطول الموجي للإشعاع المنبعث من الجسم الأسود عند درجات حرارة مختلفة. من الشكل نلاحظ أن معظم الإشعاع المنبعث من الجسم يوجد في منطقة الأشعة تحت الحمراء عند درجة K 3000، وبزيادة درجة الحرارة تنزاح قمة المنحنى نحو الأطوال الموجية القصيرة (الترددات المرتفعة)، وعند K 6000 تكون قمة المنحنى في منطقة الضوء المرئي. إنَّ قمة منحنى شدة الإشعاع تنزاح نحو الأطوال الموجية القصيرة (ترددات مرتفعة) بارتفاع درجة حرارة الجسم الأسود.

استخدم العالمان رايلى وجينز Rayleigh and Jeans الفيزياء الكلاسيكية لتفسير منحنى إشعاع الجسم الأسود، التي ترتكز على أنَّ الأجسام تُشع الطاقة، وتمتصها بأيِّ مقدار وعند أيِّ تردد؛ أيْ إنَّ امتصاص الطاقة وإشعاعها يكون مُتصلاً Continous. وقد أظهر نموذج رايلى - جينز توافقاً مقبولاً مع النتائج التجريبية في منطقة الأطوال الموجية الكبيرة (الأشعة تحت الحمراء)، في حين أظهر عدم توافق في منطقة الأطوال الموجية القصيرة (الأشعة فوق البنفسجية) كما في الشكل (3)، حيث تؤول شدة الإشعاع بحسب نموذج رايلى - جينز إلى اللانهاية عندما يؤول طولها الموجي إلى الصفر، في حين تشير النتائج التجريبية بأنها (شدة الإشعاع) تؤول إلى الصفر، وهذا ما عُرف في تاريخ الفيزياء باسم كارثة الأشعة فوق البنفسجية Ultraviolet catastrophe. فلو كان تفسير رايلى - جينز صحيحاً لتوهج السلك في التجربة الاستهلالية باللون الأزرق بدلاً من اللون الأبيض عند درجات الحرارة المرتفعة.

**أتحقق:** في أيِّ مناطق الطيف نجح نموذج رايلى - جينز في تفسير إشعاع الجسم الأسود؟

### الربط بعلوم الفضاء

درجة حرارة سطح الشمس تصل إلى K 6000 تقريباً، حيث إن الشمس تشع طاقة في مناطق الطيف الكهرومغناطيسي كلها، ولكن أكبر قيمة لشدة إشعاع الشمس تقع في منطقة الضوء المرئي كما في الشكل (2). المساحة تحت المنحنى تمثل معدل الطاقة الكلية المشعة لكل وحدة مساحة؛ لذا فإنَّ الشمس تشع 40% تقريباً من الطاقة في منطقة الضوء المرئي.



الشكل (3): مقارنة نموذج رايلي - جيتز  
ونموذج بلانك بالنتائج التجريبية للإشعاع  
الجسم الأسود.

### تفسير ماكس بلانك لإشعاع الجسم الأسود: تكمية الطاقة

#### Planck's Interpretation of Blackbody Radiation: Energy Quantization

عام 1900 تمكّن العالم ماكس بلانك Max Planck من وضع صيغة رياضية تصف شدة الإشعاع المنبعث من الجسم الأسود، وتطابقت حساباته مع النتائج التجريبية تماماً، كما في الشكل (3). وافتراض بلانك أنّ الأشعة الصادرة عن الأجسام ناتجة من مُتنبِّبات Oscillators (الإلكترونات في الذرات مثلاً)، وأنّ هذه المتنبِّبات تشعّ الطاقة أو تمتصّها بكميات محدّدة وغير متصلة، وهذا يخالف تماماً الفيزياء الكلاسيكية التي تفترض أنّ تلك المتنبِّبات تشعّ الطاقة أو تمتصّها بأيّ مقدار؛ أيّ على نحوٍ متّصل. ووفقاً لفرضية بلانك، فإنّ الطاقة التي تشعّها الأجسام أو تمتصّها عند تردد معين تكون عدداً صحيحاً من مضاعفات طاقة الحزمة (الكمة) الواحدة؛ وطاقة الكمة الواحدة يُعبّر عنها بالعلاقة الآتية:

$$E = hf$$

حيث  $h$  ثابت بلانك وقيمه ( $6.63 \times 10^{-34} \text{ J.s}$ )، و  $f$  تردد الموجة. وعند تردد معين، فإنّ طاقة الأشعة الكهرومغناطيسية التي يشعّها جسم أو يمتصّها يُعبّر عنها بالعلاقة الآتية:

$$E_n = nhf$$

حيث  $n$  عدد صحيح موجب. وبذلك، فإنّ طاقة الأشعة الصادرة عن جسم عند التردد  $f$  يمكن أن تأخذ قيمًا، مثل:

$$hf, 2hf, 3hf, 4hf, \dots$$

وهذا ما يعرف بمبدأ تكمية الطاقة Energy quantization.

لم يكن من السهل حينئذ قبول مبدأ تكمية الطاقة حسب فرضية بلانك، ولكن صحة هذه الفرضية ترسّخت بنجاح العالم أينشتين Einstein عام 1905 في تفسير الظاهرة الكهرومغناطيسية، معتمّداً على فرضية بلانك في تكمية الإشعاع الكهرومغناطيسي، وأصبحت نقطةً مهمّة في انطلاق ما يُعرف في وقتنا الحالي بفيزياء الكم.

**أفخر:** في التجربة الاستهلالية، مع زيادة درجة حرارة السلك بدأ يشع باللون الأحمر، ثم الأصفر، ثم الأبيض. فلماذا تغيّر لون التوهج إلى الأبيض؟

**أتحقق:** أذكر فرضية ماكس بلانك في تكمية الطاقة. ✓

## المثال 1

جسم ساخن بدرجة حرارة معينة، ومعظم الأشعة الصادرة عنه ترددتها يساوي ( $f = 1 \times 10^{15} \text{ Hz}$ )، أجد طاقة الكمة الواحدة من الإشعاع عند هذا التردد.

المعطيات:  $h = 6.63 \times 10^{-34} \text{ J.s}$ ,  $f = 1 \times 10^{15} \text{ Hz}$

المطلوب:  $E = ?$

الحلّ:

$$E = hf = 6.63 \times 10^{-34} \times 1 \times 10^{15} = 6.63 \times 10^{-19} \text{ J}$$

ومن العجيز بالذكر أنّ وحدة قياس الطاقة المستخدمة في الفيزياء الذريّة هي الإلكترون فولت (eV) والإلكترون فولت هو الطاقة التي يكتسبها إلكترون عند تسريعه بفرق جهد مقداره (1V)، حيث

$$1 \text{ eV} = 1.6 \times 10^{-19} \text{ J}$$

وبذلك تصبح طاقة الكمة الواحدة تساوي:

$$E = 6.63 \times 10^{-19} \text{ J} \times \frac{1 \text{ eV}}{1.6 \times 10^{-19} \text{ J}} = 4.1 \text{ eV}$$

## المثال 2

أجد طاقة كمة أشعة سينيّة ترددتها ( $4.2 \times 10^{18} \text{ Hz}$ )

المعطيات:  $f = 4.20 \times 10^{18} \text{ Hz}$ ,  $h = 6.63 \times 10^{-34} \text{ J.s}$

المطلوب: طاقة الكمة الواحدة  $E = ?$

الحلّ:

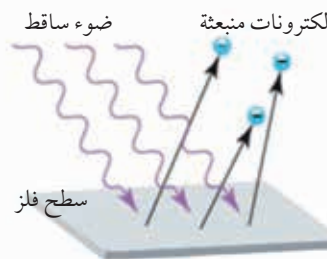
$$\begin{aligned} E &= hf = 6.63 \times 10^{-34} \times 4.20 \times 10^{18} \\ &= 2.78 \times 10^{-15} \text{ J} = 2.78 \times 10^{-15} \text{ J} \times \frac{1 \text{ eV}}{1.6 \times 10^{-19} \text{ J}} = 17.4 \text{ keV} \end{aligned}$$

## لديك

إذا كان تردد موجة الضوء الأحمر يساوي ( $4.6 \times 10^{14} \text{ Hz}$ )، أجد طاقة الكمة الواحدة له.

## الظاهرة الكهرومagnetية Photoelectric Effect

لاحظ العالم هيرتز Hertz خلال تجربته، عام 1887 أن الشارة الكهربائية تحدث على نحوٍ أسرع في جهاز الإرسال الخاص به عند تعريضه لأشعة فوق البنفسجية. فيما بعد تبيّن أن سبب ذلك هو انبعاث إلكترونات من سطح فلزٍ عند سقوط إشعاع كهرومغناطيسي بتردد مناسب عليه، كما في الشكل (4)، وسميت هذه الظاهرة بالظاهرة الكهرومagnetية Photoelectric effect، وتسمى الإلكترونات المنبعثة إلكترونات الضوء Photoelectrons. وحتى تعرّف الظاهرة الكهرومagnetية على نحوٍ أكثر أُنفق التجربة الآتية:



الشكل (4): انبعاث الإلكترونات من سطح فلزٍ عند سقوط إشعاع بتردد مناسب على سطحه.

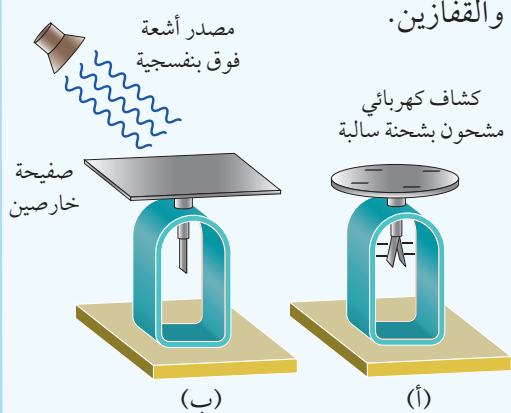
## التجربة ١

**المواد والأدوات:** صفيحة خارصين، كشاف كهربائي، مصدر أشعة فوق البنفسجية، مصدر ضوء أحمر، قضيب من الزجاج، قطعة من الحرير، ورق صنفرا، نظارة واقية، قفازان.

**إرشادات السلامة:** ارتداء المعطف واستخدام النظارة الواقية للعينين والقفازين.

### خطوات العمل:

بالتعاون مع أفراد مجموعتي أُنفذ الخطوات الآتية:



1. أصلق صفيحة الخارصين بورق الصنفرا.  
2. **الاحظ:** أشحن الكشاف الكهربائي بالحث مستخدماً قضيب زجاج دليل بقطعة من الحرير، وألاحظ انفراج ورقتي الكشاف الكهربائي.  
3. أضع صفيحة الخارصين فوق قرص الكشاف الكهربائي كما في الشكل (ب).

4. **الاحظ:** أسلط الضوء الأحمر على صفيحة الخارصين، وأراقب ما يحدث لورقتي الكشاف الكهربائي.

5. **الاحظ:** أسلط كمية أكبر من الضوء الأحمر (باستخدام المصدر الإضافي للضوء الأحمر) على صفيحة الخارصين، وأراقب ما يحدث لورقتي الكشاف الكهربائي.

6. أُعيد الخطوة (4) باستخدام الأشعة فوق البنفسجية.

### التحليل والاستنتاج:

1. **أدون** ما حدث لورقتي الكشاف باستخدام المصدر الأول للضوء الأحمر.

2. **أدون** ما حدث لورقتي الكشاف عند زيادة كمية الضوء (شدته) عند استخدام مصدر الضوء الأحمر معًا.

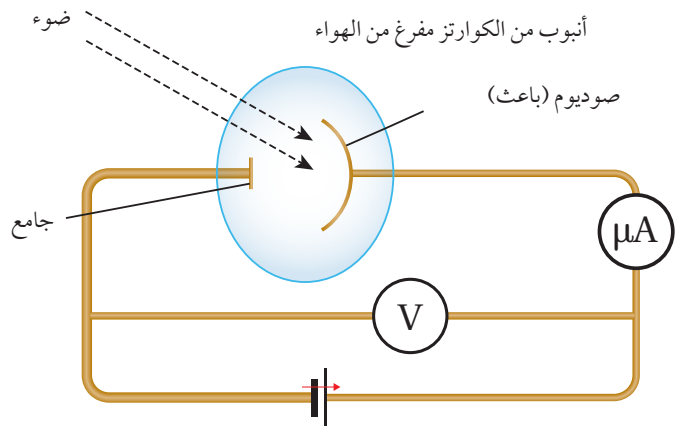
3. **أدون** ما حدث لورقتي الكشاف عند زيادة تردد الإشعاع الساقط (استخدام مصدر الأشعة فوق البنفسجية).

4. أبحث عن تردد الأشعة فوق البنفسجية وتردد الضوء الأحمر، باستخدام مصادر التعلم المنشورة فيها.

5. **استنتج** لماذا لم يقل انفراج ورقتي الكشاف عند سقوط الضوء الأحمر، حتى عند زيادة شدته.

6. **استنتج** لماذا قل انفراج ورقتي الكشاف عند استخدام الأشعة فوق البنفسجية.

الشكل (5): تجربة لينارد لظاهرة الكهرضوئية.



ألاحظ من التجربة السابقة أنه عند سقوط الأشعة فوق البنفسجية على صفيحة الخارجيين قل انفراج ورقي الكشاف، ما يدل على تفريغ شحنة الكشاف السالبة، ويعود ذلك إلى تحرر الإلكترونات من سطح الخارجيين عند امتصاصها طاقةً من الأشعة فوق البنفسجية، أتأمل الشكل (ب) في التجربة.

الشكل (5) يبيّن رسماً تخطيطياً لجهاز استخدمه العالم لينارد Lenard لإجراء كثيرٍ من التجارب الخاصة بالظاهرة الكهرضوئية؛ ويكون من أنبوب من زجاج الكوارتز مُفرغٌ من الهواء؛ تجنبًا لفقد الإلكترونات طاقةً حركيَّةً نتيجةً تصدامها بجسيمات الهواء. ويحتوي الجهاز أيضًا على قطبين فلزِّين، أحدهما مصنوع من فلز الصوديوم يُسمى الباعث، موصول بالقطب الموجب لمصدر فرق جهد قابل للضبط، والآخر يُطلق عليه اسم الجامع يتصل بالقطب السالب لمصدر فرق الجهد. عند سقوط أشعة كهرمغناطيسية بتردد مناسب على الباعث تحرر الإلكترونات من سطحه، وتنطلق نحو الجامع. ويسدل على ذلك من خلال التيار الكهربائي الذي يقرؤه الميكرو أميتر ( $\mu A$ ) الذي يُسمى التيار الكهرضوئي Photocurrent.

كلما ازدادت سالبية جهد الجامع، ازدادت قوة تنافر الإلكترونات الكهربائية مع الجامع، فيقل التيار الكهرضوئي حيث لا يصل الجامع إلا الإلكترونات التي تمتلك طاقة حركيَّة كافية للتغلب على قوة التنافر الكهربائية مع الجامع. ويُسمى فرق الجهد الذي يصبح عنده التيار الكهرضوئي صفرًا **جهد الإيقاف** (Stopping potential) ( $V_s$ )، الذي يستطيع إيقاف الإلكترونات ذات الطاقة الحركيَّة العظمى ( $KE_{max}$ ) قبل وصولها إلى الجامع. ويرتبط جهد الإيقاف بالطاقة الحركيَّة العظمى للإلكترونات بالعلاقة الآتية:

$$KE_{max} = e V_s$$

حيث  $e$  تساوي القيمة المطلقة لشحنة الإلكترون.

وقد لاحظ لينارد المشاهدات التجريبية الآتية للظاهرة الكهرومغناطيسية:

1. تتحرّر الإلكترونات من سطح الفلز فقط عندما يكون تردد الأشعة الساقطة على سطحه أكبر من تردد معين أو يساويه، يُسمى **تردد العتبة** **Threshold frequency**.
2. تنبعث الإلكترونات الضوئية بطاقة حركية متفاوتة، والقيمة العظمى للطاقة الحركية ( $KE_{max}$ ) للإلكترونات المنبعثة من سطح الفلز تتناسب طرديًا مع تردد الأشعة الساقطة عليه، ولا تعتمد على شدة الأشعة.
3. يزداد عدد الإلكترونات المنبعثة بزيادة شدة الأشعة دون زيادة في الطاقة الحركية العظمى للإلكترونات الضوئية.
4. تنبعث الإلكترونات اباعًا فوريًا بمجرد سقوط الأشعة على سطح الفلز.

في حين تنبأ النظرية الكهرومغناطيسية، التي ترتكز على النموذج الموجي للضوء فيما يخص الظاهرة الكهرومغناطيسية، بما يأتي:

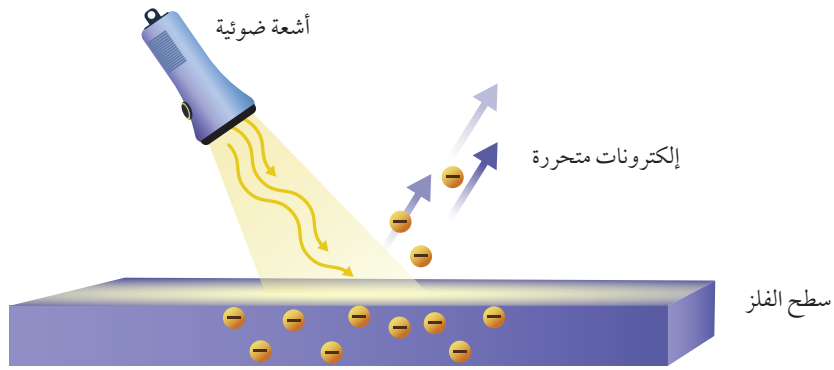
1. تنبعث الإلكترونات عند أي تردد للأشعة الساقطة على سطح الفلز، لأنّها تمتص الطاقة بأي مقدار وعند أي تردد وبشكل مستمر، وسقوط الأشعة على سطح الفلز مدة زمنية مناسبة سيمكن الإلكترونات من امتصاص الطاقة اللازمة لتحريرها من سطح الفلز.
2. لا تنبعث الإلكترونات الضوئية اباعًا فوريًا؛ لأنّها تحتاج إلى وقت كافٍ لامتصاص الطاقة اللازمة من الأشعة الساقطة على الفلز لتتحرّر من سطحه.
3. زيادة شدة الأشعة تزيد من الطاقة الحركية العظمى للإلكترونات الضوئية المتحرّرة.

من الواضح أنّ التنبؤات جميعها تخالف النتائج التجريبية، وبذلك شكّلت الظاهرة الكهرومغناطيسية دليلاً آخر على عجز الفيزياء الكلاسيكية بنموذجها الموجي للضوء عن تفسير سلوك الجسيمات دون الجاهريّة.

**أفخر:** هل يمكن أن تكون الطاقة الحركية لجسم سالبة؟ ولماذا؟

**تحقق:** أذكر أسباب فشل الفيزياء الكلاسيكية في تفسير نتائج الظاهرة الكهرومغناطيسية.

الشكل (6): تصور أينشتين  
للظاهرة الكهرومagnetooptique.



الجدول (1): اقتران الشغل لبعض الفلزات.

$\Phi$ (eV)	الفلز
2.14	سيزيوم
2.28	صوديوم
2.30	بوتاسيوم
4.7	نحاس
4.55	تنغستون
5.10	ذهب

### Einstein's Explanation

لتفسير الظاهرة الكهرومagnetooptique استخدم أينشتين فرضية تكمية الطاقة لبلانك، وافتراض أن طاقة الأشعة الكهرومagnetooptique مرکزة في جسيمات أطلق على كل منها اسم فوتون، حيث طاقة الفوتون الواحد تساوي ( $E = hf$ )؛ أي إن لأشعة الكهرومagnetooptique جسيمية إضافة إلى طبيعتها الموجية؛ لذا فعند سقوط الفوتونات على الإلكترونات الفلز، فإن الإلكترون الواحد منها، إنما أن يمتص طاقة الفوتون كاملة، وإنما أنه لا يمتصها نهائياً، أتمّل الشكل (6).

وحتى يتمحرر الإلكترون من سطح الفلز، يجب أن يمتلك طاقة كافية للتغلب على قوة التجاذب الكهربائي مع النوى الموجبة للفلز، وأقل طاقة كافية لتحرير الإلكترون من سطح الفلز تُسمى اقتران الشغل ( $\Phi$ )، وهو يعتمد على نوع الفلز كما في الجدول (1). فإذا كانت طاقة الفوتون الذي يمتصه الإلكترون ( $hf$ ) أكبر من  $\Phi$ ، فإن الإلكترون يتمحرر مكتسباً طاقة حرارية. ولا يتمحرر إن كانت ( $hf$ ) أقل من  $\Phi$ . وتحسب الطاقة الحرارية العظمى للإلكترونات المتحررة



أصمّم باستعمال برنامج السكراتش (Scratch) عرضاً أوضح فيه سقوط مجموعة من الفوتونات على سطح فلز وتحرر الإلكترونات منه، وأبين تأثير زيادة عدد الفوتونات في عدد الإلكترونات المتحررة. ثم أعرضه على زملائي / زميلاتي في الصف.

( $KE_{\max}$ ) بالعلاقة الآتية:

$$KE_{\max} = hf - \Phi$$

ويمكن إعادة كتابة العلاقة السابقة على النحو الآتي:

$$hf = \Phi + \frac{1}{2} mv_{\max}^2$$

حيث:  $m$ : كتلة الإلكترون.

و  $v_{\max}$ : السرعة العظمى للإلكترونات المتحررة.

$$KE_{\max} = \frac{1}{2} mv_{\max}^2$$

أما عندما تكون طاقة الفوتون متساوية لاقتران الشغل، فإن طاقة الفوتون تكون كافية لتحرير الإلكترون من سطح الفلز دون إكسابه طاقة حرارية. ويُسمى تردد الأشعة الكهرومagnetooptique في هذه الحالة بتردد العتبة للفلز ( $f_0$ )، ويُعرف بأنه أقل تردد يتطلب تحرير الإلكترونات ضوئية من سطح فلز دون إكسابها طاقة حرارية. ويُحسب من اقتران الشغل للفلز بحسب العلاقة:

$$f_0 = \frac{\Phi}{h}$$



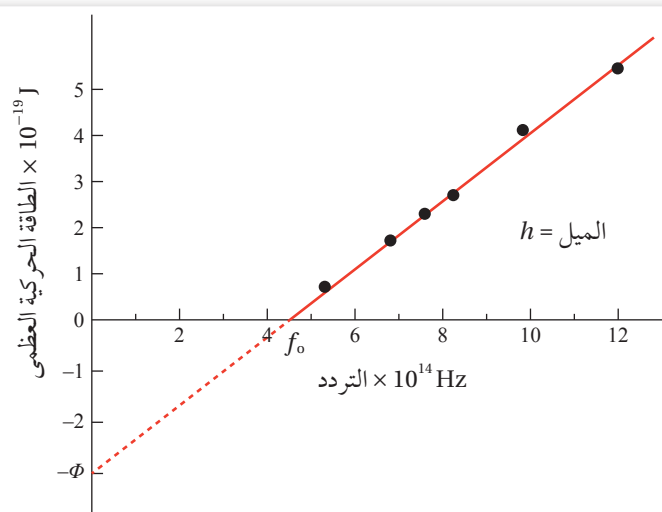
عام 1916 أجرى العالم ميليكان Millikan قياسات تجريبية للتحقق من علاقة أينشتين للظاهرة الكهربائية، حيث استخدم ميليكان أشعة كهرمغناطيسية بترددات مختلفة، وقاس جهد الإيقاف عند كل تردد، ومثل العلاقة البيانية بين الطاقة الحركية العظمى للإلكترونات المتحركة وبين تردد الأشعة الساقطة على الباعث برسم بياني فكانت كما في الشكل (7). ومن الواضح أن العلاقة بين الطاقة الحركية العظمى للإلكترونات المتحركة وتردد الأشعة الساقطة على الباعث علاقة خطية، وهذا يتفق مع تفسير أينشتين للظاهرة الكهربائية. ويمثل ميل الخط في الرسم ثابت بلانك، في حين يمثل تقاطع امتداد الخط مع محور الطاقة ( $\Phi$ )، وتمثل نقطة تقاطع الخط مع محور التردد، تردد العتبة.

وتمكن ميليكان كذلك من إثبات أن التيار الكهربائي يزداد بزيادة شدة الإشعاع الساقط على الباعث. وفسّر أينشتين ذلك بأن زيادة شدة الأشعة الكهرمغناطيسية تعني زيادة عدد الفوتونات الساقطة على الباعث في الثانية الواحدة، ونظرًا إلى أن كل فوتون يحرر إلكترونًا؛ لذا يجب أن يزداد عدد الإلكترونات المتحركة في الثانية الواحدة.

وعند إمعان النظر في العلاقة التي تربط الطاقة الحركية العظمى باقتران الشغل وتردد الأشعة الكهرمغناطيسية،لاحظ أن الطاقة الحركية العظمى تناسب طرديًا مع تردد الأشعة لا مع شدتها.

واستطاع النموذج الجسيمي للإشعاع تفسير الانبعاث الفوري للإلكترونات من سطح الفلز؛ لأنّه يفترض أن الطاقة مرکزة في الفوتون، وب مجرد اتصاص الإلكترون للفوتون، فإنه يكتسب طاقة تحرره من الفلزّ مهما كانت شدة الإشعاع، على أن يكون تردد الفوتون أكبر من تردد العتبة للفلز أو يساويه. واستطاع هذا

يعتمد مبدأ عمل كثير من الأجهزة والأدوات في وقتنا الحاضر على الظاهرة الكهربائية، حيث تحول طاقة الفوتونات إلى طاقة كهربائية. وتعد الخلايا الشمسية من المصادر البديلة النظيفة للطاقة، أتأمل الشكل أدناه، حيث تحول الطاقة الشمسية إلى طاقة كهربائية. وقد تصل فاعلية الخلايا الشمسية المستخدمة للأغراض التجارية إلى 20% تقريباً.



الشكل (7): العلاقة بين الطاقة الحركية العظمى للإلكترونات الضوئية، وتردد الأشعة الكهرمغناطيسية في الظاهرة الكهربائية.

لماذا رسم امتداد الخط البياني عند قيم الطاقة السالبة مقطعاً ولم يرسم خطًا متصلًا؟

النموذج تفسير التفاوت في الطاقة الحرارية للإلكترونات المنشعة، وذلك بحسب طاقة ربط الإلكترون بذرات الفلز، إضافة إلى عمق موقع الإلكترون تحت سطح الفلز، فالإلكترونات ذات طاقة الربط الأصغر والأقرب لسطح الفلز تتحرّر بطاقة حركيّة أكبر.

**تحقق:** أذكر فرضيّة أينشتين التي استخدمها في تفسير نتائج الظاهرة الكهرومغناطيسية.

### المثال 3

إذا كان اقتران الشغل لفلز (2.0 eV)، وسقط على سطحه إشعاع كهرومغناطيسي طاقة الفوتون الواحد منه (6.0 eV).  
أجد ما يأتي:  
أ. تردد العتبة للفلز.  
ب. الطاقة الحركيّة العظمى للإلكترونات المنطلقة من سطح الفلز.

المعطيات:

$$\Phi = 2.0 \text{ eV}, hf = 6.0 \text{ eV}, h = 6.63 \times 10^{-34} \text{ J.s}$$

المطلوب:

$$f_0 = ?, KE_{\max} = ?$$

الحلّ:

أ. أحسب تردد العتبة من اقتران الشغل للفلز

$$hf_0 = \Phi$$

$$f_0 = \frac{\Phi}{h} = \frac{2.0 \times 1.6 \times 10^{-19}}{6.63 \times 10^{-34}} = 4.8 \times 10^{14} \text{ Hz}$$

ب. أحسب الطاقة الحركيّة العظمى من العلاقة:

$$KE_{\max} = hf - \Phi = 6.0 - 2.0 = 4.0 \text{ eV} = 4.0 \times 1.6 \times 10^{-19} = 6.4 \times 10^{-19} \text{ J}$$

## المثال 4

سقط إشعاع كهرومغناطيسي طول موجته (460 nm) على فلز اقتران الشغل له (2.2 eV)، أجد الطاقة الحركية العظمى للإلكترونات المتحررة من سطح الفلز بوحدة الجول (J).

المعطيات:  $c = 3 \times 10^8 \text{ m/s}$ ,  $\Phi = 2.2 \text{ eV}$ ,  $\lambda = 460 \text{ nm} = 460 \times 10^{-9} \text{ m}$ ,  $h = 6.63 \times 10^{-34} \text{ J.s}$

المطلوب:  $KE_{\max} = ?$

الحل:

أجد تردد الضوء الساقط على الفلز

$$f = \frac{c}{\lambda} = \frac{3.0 \times 10^8}{460 \times 10^{-9}} = 6.5 \times 10^{14} \text{ Hz}$$

أحول وحدة قياس اقتران الشغل من eV إلى وحدة جول (J):

$$\Phi = 2.2 \times 1.6 \times 10^{-19} = 3.5 \times 10^{-19} \text{ J}$$

ثم أعرض في العلاقة

$$KE_{\max} = hf - \Phi = 6.63 \times 10^{-34} \times 6.5 \times 10^{14} - 3.5 \times 10^{-19}$$

$$= 8.1 \times 10^{-20} \text{ J}$$

## المثال 5

إذا كانت الطاقة الحركية العظمى للإلكترونات المتحررة من سطح النحاس تساوي (22.6 eV) عند سقوط أشعة فوق بنفسجية ترددتها ( $6.60 \times 10^{15} \text{ Hz}$ ) على سطحه. أجد اقتران الشغل للنحاس بوحدة (eV).

المعطيات:  $KE_{\max} = 22.6 \text{ eV}$ ,  $f = 6.60 \times 10^{15} \text{ Hz}$ ,  $h = 6.63 \times 10^{-34} \text{ J.s}$

المطلوب:  $\Phi = ?$

الحل:

أجد  $hf$  بوحدة (eV)

$$hf = 6.63 \times 10^{-34} \times 6.60 \times 10^{15} = 4.38 \times 10^{-18} \text{ J}$$

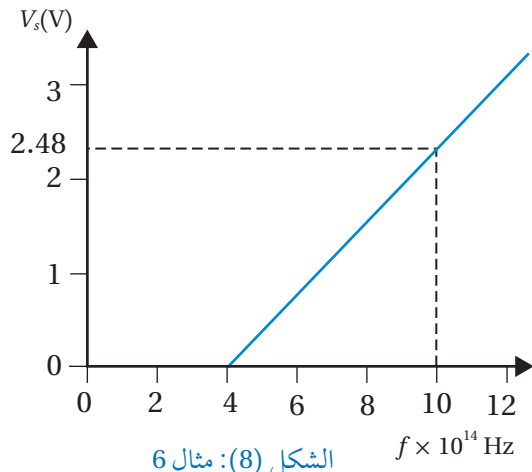
$$= 4.38 \times 10^{-18} \text{ J} \times \frac{1 \text{ eV}}{1.60 \times 10^{-19} \text{ J}} = 27.3 \text{ eV}$$

ثم أعرض في العلاقة

$$KE_{\max} = hf - \Phi$$

$$22.6 = 27.3 - \Phi \Rightarrow \Phi = 4.7 \text{ eV}$$

## المثال 6



يمثل الرسم البياني في الشكل (8) العلاقة بين جهد الإيقاف وتردد الفوتونات الساقطة على باعث خلية كهروضوئية، مستعيناً بالبيانات المبينة على الرسم، أحسب ما يأتي:

أ . مقدار ثابت بلانك.

ب . اقتران الشغل للباعث.

ج. الطاقة الحركية العظمى (بالجول) للإلكترونات المنبعثة عند إسقاط أشعة ترددتها ( $12 \times 10^{14} \text{ Hz}$ ) على الباعث.

ملاحظة: لحل الفرعين (ب) و(ج)، أستخدم ثابت بلانك الذي حسبته في الفرع (أ).

**المعطيات:**

$$e = 1.6 \times 10^{-19} \text{ C}, c = 3 \times 10^8 \text{ m/s}$$

**المطلوب:**

$$\Phi = ?, KE_{\max} = ?$$

**الحل:**

أ. أجد ميل المنحنى لحساب ثابت بلانك، مُراعياً وحدات القياس:

$$\text{slope} = \frac{\Delta V_s}{\Delta f} = \frac{2.48 - 0}{(10 - 4) \times 10^{14}} = 4.1 \times 10^{-15} \text{ V.s}$$

إن ميل الخط المستقيم يساوي  $\frac{h}{e}$ ، ومنه

$$h = \text{slope} \times e = 4.1 \times 10^{-15} \times 1.6 \times 10^{-19} = 6.6 \times 10^{-34} \text{ J.s}$$

ب. ألاحظ أن تقاطع الخط المستقيم مع محور التردد هو تردد العتبة  $f_0 = 4 \times 10^{14} \text{ Hz}$

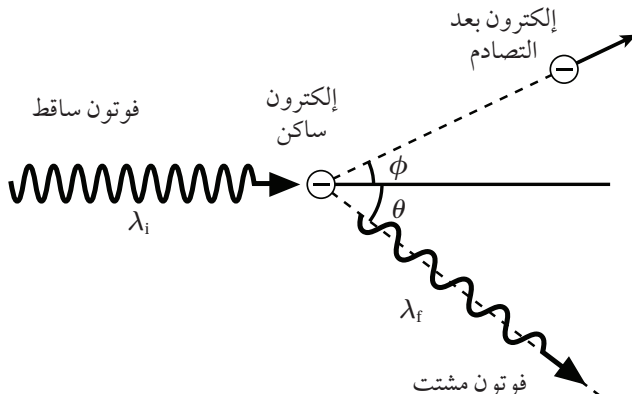
$$\Phi = hf_0 = 6.6 \times 10^{-34} \times 4 \times 10^{14} = 2.6 \times 10^{-19} \text{ J}$$

$$KE_{\max} = hf - \Phi = 6.6 \times 10^{-34} \times 12 \times 10^{14} - 2.6 \times 10^{-19} = 5.3 \times 10^{-19} \text{ J}$$

جـ.

### للمزيد

أرادت سارة قياس تردد العتبة لفلز في تجربة الظاهرة الكهروضوئية، فاستخدمت أشعة كهرومغناطيسية طول موجتها (300 nm)، ووجدت أن التيار الكهروضوئي يصبح صفرًا عند فرق جهد (2.1 V)، أجد تردد العتبة للفلز.



الشكل (9): ظاهرة كومبتون.

## ظاهره كومبتون Compton Effect

بعد نجاح أينشتين في تفسير الظاهرة الكهرومغناطيسية باستخدام النموذج الجسيمي للإشعاع الكهرومغناطيسي، جاءت ظاهرة كومبتون اختباراً آخر ل لهذا النموذج.

أسقط كومبتون أشعة سينية على هدف من الغرافيت، ونظرًا إلى أن الطاقة الكلية للإلكترونات في الغرافيت صغيرة جدًا مقارنة بطاقة فوتونات الأشعة السينية، فإن طاقة تلك الإلكترونات تُهمَل وتُعد ساكنة. لاحظ كومبتون أن طول موجة الأشعة السينية المشتّتة ( $\lambda_f$ ) أكبر من طول موجة الأشعة السينية الساقطة ( $\lambda_i$ ).

لم يستطع النموذج الموجي للضوء تفسير زيادة الطول الموجي للأشعة المشتتة في هذه الظاهرة، واستطاع كومبتون تفسير نتائج هذه الظاهرة بالاعتماد على قانوني حفظ الزخم الخطي والطاقة، وبافتراض أنّ الأشعة الكهرومغناطيسية تتفاعل مع الإلكترون بوصفها جسيمات طاقة كل منها  $hf$ ، ومقدار زخمه الخطي  $E = \frac{h}{\lambda}$ . وهذا الاستنتاج يتوافق مع الطبيعة الجسيمية للأشعة الكهرومغناطيسية التي استخدمها أينشتاين في تفسير الظاهرة الكهربائية. ونتيجة لتصادم الفوتون الساقط مع الإلكترون يكتسب الإلكترون طاقة، ويتحرك بمسار يصنع زاوية ( $\phi$ ) مع مسار الفوتون الساقط، في حين ينحرف اتجاه الفوتون المشتت بزاوية ( $\theta$ ) كما في الشكل (9)، ويستمر بالسرعة نفسها ( $c$ )، ولكن بطول موجي أكبر ( $\lambda_f < \lambda_i$ )، ويُعبر عن الطاقة التي اكتسبها الإلكترون ( $E_e$ ) بالعلاقة الآتية:

$$E_e = E_i - E_f$$

حيث ( $E_f$ ) طاقة الفوتون المشتّت، في حين أنّ ( $E_i$ ) طاقة الفوتون الساقط. مرةً أخرى فشلت الفيزياء الكلاسيكية بنموذجها الموجي للضوء في تفسير هذه الظاهرة، في حين نجح في ذلك النموذج الجُسيمي للضوء.

## أَفْكَرْ: لماذا لم يستخدم كومبيتون الصوء المرئي في تجربته؟



أصمم باستخدام برنامج Scratch (Scratch) عرضاً أوضحت فيه تصادم فوتون مع إلكترون مبيناً الاختلاف في الطول الموجي للفوتون المشتت عنه للفوتون الساقط، ثم أعرضه على زملائي / زميلاتي في الصف.

**أتحقق:** في تجربة كومبتون،  
أقارن بين الأشعة الساقطة  
والأشعة المشتّتة من حيث:  
الطول الموجيّ، والتردد،  
والسعة.

## المثال 7

فوتون أشعة سينية تردد (4.20  $\times 10^{18}$  Hz). أجد طاقته ومقدار زخميه الخطّي.

المُعطيات:

$$f = 4.20 \times 10^{18} \text{ Hz}, c = 3 \times 10^8 \text{ m/s}, h = 6.63 \times 10^{-34} \text{ J.s}$$

المطلوب:

$$E = ?, p = ?$$

الحلّ:

$$E = hf = 6.63 \times 10^{-34} \times 4.20 \times 10^{18}$$

$$= 2.78 \times 10^{-15} \text{ J} = 2.78 \times 10^{-15} \text{ J} \times \frac{1 \text{ eV}}{1.6 \times 10^{-19} \text{ J}} = 17.4 \text{ keV}$$

$$p = \frac{h}{\lambda} = \frac{hf}{c} = \frac{E}{c} = \frac{2.78 \times 10^{-15}}{3 \times 10^8} = 9.28 \times 10^{-24} \text{ kg m/s}$$

## المثال 8

أجد طاقة وتردد فوتون مقدار زخميه الخطّي (8.85  $\times 10^{-26}$  kg m/s).

المُعطيات:

$$h = 6.63 \times 10^{-34} \text{ J.s}, 1 \text{ eV} = 1.6 \times 10^{-19} \text{ J}, p = 8.85 \times 10^{-26} \text{ kg m/s}, c = 3.0 \times 10^8 \text{ m/s}$$

المطلوب:

$$E = ?, f = ?$$

الحلّ:

$$E = pc = 8.85 \times 10^{-26} \times 3 \times 10^8 = 2.7 \times 10^{-17} \text{ J}$$

$$= 2.7 \times 10^{-17} \text{ J} \times \frac{1 \text{ eV}}{1.6 \times 10^{-19} \text{ J}} = 1.7 \times 10^2 \text{ eV}$$

$$f = \frac{E}{h} = \frac{2.7 \times 10^{-17}}{6.63 \times 10^{-34}} = 4.1 \times 10^{16} \text{ Hz}$$

سقط فوتون أشعة غاما طاقته (662 keV) على إلكترون ساكن، فاكتسب الإلكترون طاقة مقدارها (49 keV)، أجد ما يأتي:

- أ. طول موجة الفوتون الساقط.
- ب. طاقة الفوتون المشتّت.
- ج. الطول الموجي للفوتون المشتّت.

المعطيات:

$$h = 6.63 \times 10^{-34} \text{ J.s}, 1 \text{ eV} = 1.6 \times 10^{-19} \text{ J}, c = 3 \times 10^8 \text{ m/s}, E_i = 662 \text{ keV}, E_e = 49 \text{ keV}$$

المطلوب:

$$\lambda_i = ?, E_f = ?, \Delta\lambda = ?$$

الحلّ:

أ. أحوّل طاقة الفوتون الساقط إلى وحدة جول، ثمّ أحسب الطول الموجي

$$E_i = 662 \text{ keV} = 662 \times 10^3 \text{ eV} \times \frac{1.6 \times 10^{-19} \text{ J}}{1 \text{ eV}} = 1.1 \times 10^{-13} \text{ J}$$

$$\lambda_i = \frac{c}{f} = \frac{hc}{E_i} = \frac{6.63 \times 10^{-34} \times 3.0 \times 10^8}{1.1 \times 10^{-13}} = 1.9 \times 10^{-12} \text{ m}$$

$$E_f = E_i - E_e = 662 - 49 = 613 \text{ keV} = 613 \times 10^3 \text{ eV} \times \frac{1.6 \times 10^{-19} \text{ J}}{1 \text{ eV}} = 9.8 \times 10^{-14} \text{ J} \quad .$$

ج. أجد طول موجة الفوتون المشتّت (بعد التصادم)

$$\lambda_f = \frac{6.63 \times 10^{-34} \times 3.0 \times 10^8}{9.8 \times 10^{-14}} = 2.0 \times 10^{-12} \text{ m}$$

تمرين

أجد مقدار الزخم الخطّي لكُلّ مما يأتي:

- فوتون أشعة مرئية طاقته  $(3.00 \times 10^{-19} \text{ J})$ .
- فوتون أشعة فوق بنفسجية تردد  $(5.4 \times 10^{15} \text{ Hz})$ .
- فوتون أشعة سينية طول موجته  $(2.00 \text{ nm})$ .

# مراجعة الدرس

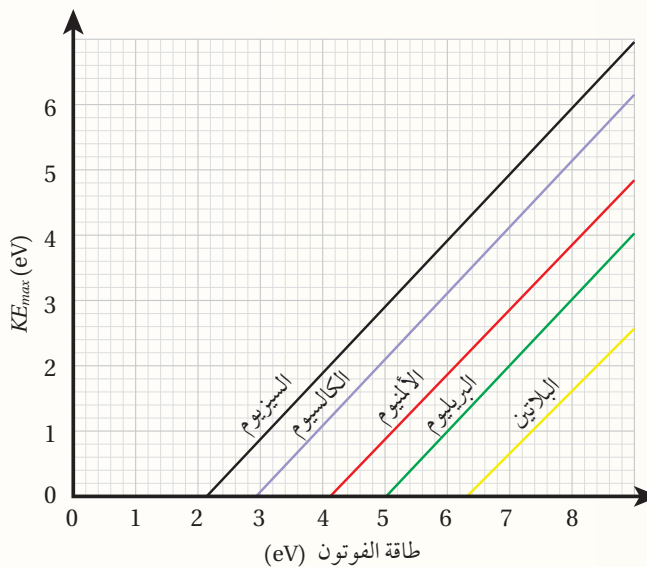
1. **الفكرة الرئيسية:** أوضح المقصود بكلٍّ من: الجسم الأسود، الظاهرة الكهرومغناطيسية، اقتران الشغل للفلز، تردد العتبة.

2. **أحسب:** سقط فوتون أشعة سينية مقدار زخمها الخطبي ( $4.3 \times 10^{-23} \text{ kg m/s}$ ) على إلكترون حرّ، فكان مقدار الزخم الخطبي للفوتون المستث (3.2  $\times 10^{-23} \text{ kg m/s}$ )، أجد الطاقة التي اكتسبها الإلكترون بوحدة (eV).

3. **استخدم المتغيرات:** سقط ضوء طول موجته (300 nm) على سطح فلز تردد العتبة له ( $5.0 \times 10^{14} \text{ Hz}$ ، أجد:

أ . اقتران الشغل للفلز.

ب. الطاقة الحركية العظمى للإلكترونات المتحركة.



4. **أحلّ رسماً بيانياً:** يمثل الرسم البياني المجاور العلاقة بين الطاقة الحركية العظمى للإلكترونات المتحركة من سطح الفلز وطاقة فوتون الإشعاع الكهرومغناطيسي الساقط على سطح الفلز، وذلك لفلزات عدّة.

أ . جميع الخطوط مستقيمة ومتوازية، أفسّر ذلك.

ب. أرتّب تردد العتبة للفلزات من الأصغر إلى الأكبر.

ج. إذا سقط ضوء طاقته (10 eV) على البيريليوم، أجد الطاقة الحركية العظمى للإلكترونات المتحركة منه.

د . إذا سقط ضوء طول موجته (350 nm)، فمن أيِّ الفلزات يستطيع تحرير إلكترونات؟ ومن أيِّها لا يستطيع؟ أيِّ الفلزات تتحرّر منه إلكترونات بطاقةٍ حركية عظمى أكبر؟

5. **استخدم المتغيرات:** سقط إشعاع كهرومغناطيسي طول موجته (80 nm) على سطح فلز اقتران الشغل له (5.1 eV)، أجد الطاقة الحركية العظمى للإلكترونات المتحركة من سطح الفلز.

6. **أناقش:** يبيّن التجارب أنَّ زيادة شدّة الضوء الساقط على سطح فلز لا تؤدي إلى زيادة الطاقة الحركية العظمى للإلكترونات المتحركة من سطحه. أناقش فشل الطبيعة الموجية للضوء في تفسير هذه المشاهدة.

الفقرة الرئيسية:

## نموذج بور لذرة الهيدروجين:

### Bohr's Model of The Hydrogen Atom

ساد الاعتقاد أن الذرة أصغر مكونات المادة، لكن بيّنت التجارب لاحقاً أن الذرة تتكون من جسيمات أصغر منها. إن تفسير بنية الذرة واستقرارها كان التحدي الأكبر للفيزياء الكلاسيكية. بداية، افترض طومسون أن الذرة مصممة موجبة الشحنة تتوزع فيها الإلكترونات سالبة الشحنة، وأن كرها متعادلة كهربائياً؛ لأن مجموع الشحنة السالبة يساوي مجموع الشحنة الموجبة. لكن تجربة رذرفورد أثبتت عدم صحة هذا النموذج. ففي تجربته الشهيرة عام 1911، أسقط رذرفورد Rutherford جسيمات ألفا على صفيحة رقيقة من الذهب، وافتراض، بناءً على مشاهداته التجريبية، أن الذرة تتكون من نواة موجبة الشحنة تشغل حيزاً صغيراً جداً، تتركز فيه غالبية كتلة الذرة، تدور حوله الإلكترونات سالبة الشحنة مثل دوران الكواكب حول الشمس. ولم يكتب لهذا النموذج النجاح؛ لأنَّه لم يستطع تفسير استقرار الذرة، حيث إن الإلكترون جسيم مشحون يدور حول النواة، ويغيّر اتجاه حركته بشكل مستمر، وبذلك يكتسب تسارعاً مركزياً، وبحسب النظرية الكهرومغناطيسية فإنه سيشع (يفقد) طاقة بشكل متصل، ونتيجة فقدانه الطاقة؛ فإنَّه سينجذب نحو النواة ما يؤدّي إلى انهيار الذرة. وهذا يخالف النتائج التجريبية، حيث الذرة مستقرة والطاقة التي تشبعها منفصلة ذات قيم محددة.

العالم بور كان مقتنعاً بصحة نموذج رذرفورد، لكنَّه اختلف معه في كيفية إشعاع الإلكترون للطاقة، فافتراض أنَّ الإلكترون يفقد الطاقة على شكل كمات محددة من الطاقة (فوتونات)، لا على شكل متصل. واستخدم بور مبدأ تكمية الطاقة، ونموذج رذرفورد إضافة إلى النموذج الجسيمي للإشعاع ليبني نموذجاً للذرة عُدّ فيما بعد أهمَّ الإنجازات العلمية في ذلك الوقت. تتلخص فرضيات بور لذرة الهيدروجين فيما يأتي:

1. يدور الإلكترون حول البروتون (النواة) في مسارات دائريَّة تحت تأثير قوة التجاذب الكهربائي.

2. توجد مدارات محددة (مستويات طاقة) مسموح للإلكترون بأن يحتلها، وإذا بقي في مستوى الطاقة نفسه فلا يشع طاقة ولا يمتصها.

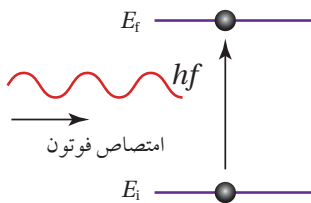
تتكون الذرة من نواة موجبة الشحنة تتحرك حولها الإلكترونات سالبة الشحنة، تحتل مستويات طاقة غير متصلة (مكما)، وفهمنا لهذا التركيب أدى إلى تطوير تكنولوجيا متطرفة أسهمت في تسهيل سبل الحياة، واكتشافات علمية جديدة.

نتائجُ التعلم:

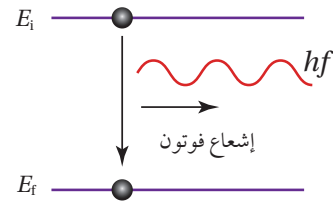
- أشرح الأسس التي اعتمد عليها بور في بناء نموذجه لذرة الهيدروجين، وأستقصي حدود هذا النموذج.
- أستنتج أنَّ الإشعاع الكهرومغناطيسي المنبعث عن الذرات ينبع من انتقال الإلكترونات بين مستويات الطاقة.
- أستقصي الطيف المنبعث من مصادر ضوئية مختلفة.
- أطبق بحل مسائل حسابية على نموذج بور لذرة الهيدروجين.

المفاهيم والمصطلحات:

- |  |  |
|--|--|
| <p>طيف الامتصاص الخطى<br/>Absorption Line Spectrum</p> <p>طيف الانبعاث الخطى<br/>Emission Line Spectrum</p> <p>طاقة التأين<br/>Ionization Energy</p> | <p>طيف الامتصاص الخطى<br/>Absorption Line Spectrum</p> <p>طيف الانبعاث الخطى<br/>Emission Line Spectrum</p> <p>طاقة التأين<br/>Ionization Energy</p> |
|--|--|



الشكل (10/ب): امتصاص الذرة لفوتون.  
في هذه الحالة الذرة تكتسب طاقة.



الشكل (10/أ): إشعاع الذرة لفوتون.  
في هذه الحالة الذرة تفقد طاقة.

3. يشع الإلكترون طاقة أو يمتصها فقط إذا انتقل من مستوى طاقة إلى مستوى آخر. فعند انتقال الإلكترون من مستوى طاقة أعلى إلى مستوى طاقة أقل، فإنه يشع فوتوناً طاقته تساوي الفرق بين طاقتى المستويين، أتأمل الشكل (10/أ). ويمكن أيضاً أن يمتص الإلكترون فوتوناً، ويتناقل إلى مستوى طاقة أعلى عندما تكون طاقة الفوتون الممتص متساوية لفرق الطاقة بين المستويين، أتأمل الشكل (10/ب). وفي كلتا الحالتين فإن طاقة الفوتون ( $E$ ) المنبعث أو الممتص يعبر عنها بالعلاقة الآتية:

$$E = |E_f - E_i| = hf$$

حيث

$E_f$ : طاقة المدار (مستوى الطاقة) النهائي الذي انتقل إليه الإلكترون.

$E_i$ : طاقة المدار (مستوى الطاقة) الابتدائي الذي انتقل منه الإلكترون.

$f$ : تردد الفوتون المنبعث أو الممتص.

4. المدارات المسموح للإلكترون أن يحتلها هي تلك التي يكون فيها مقدار زخم الزاوي  $L = m_e vr$  يساوي عدداً صحيحاً من مضاعفات  $\hbar$ ، حيث  $\hbar = \frac{h}{2\pi} = 1.05 \times 10^{-34} \text{ J.s}$

$$L = n \hbar = m_e v r$$

حيث

$n$ : رقم المدار ويأخذ قيمةً صحيحة، 1, 2, 3, ..., وهكذا.

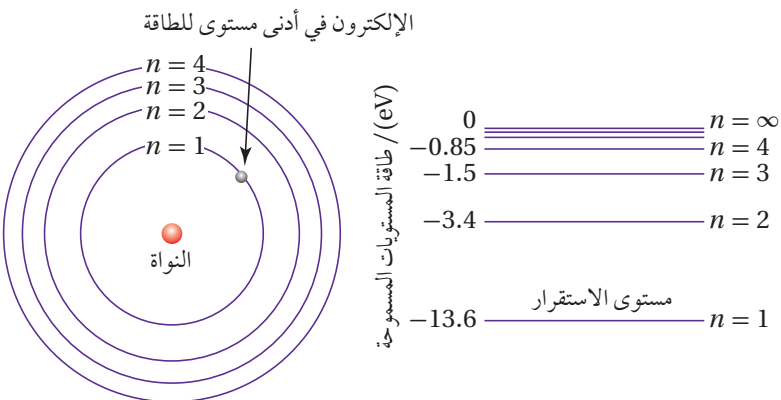
$m_e$ : كتلة الإلكترون وتساوي  $9.11 \times 10^{-31} \text{ kg}$

$r$ : نصف قطر مدار الإلكترون.

ففي المدار الأول ( $n=1$ ) يكون الزخم الزاوي للإلكترون  $\hbar$ ، وفي المدار الثاني  $2\hbar$  وهكذا.

ويعبر عن طاقة الإلكترون في مستوى الطاقة ( $n$ ) في ذرة الهيدروجين بوحدة بالعلاقة الآتية: (eV)

$$E_n = -\frac{13.6}{n^2}$$



الشكل (11): مستويات الطاقة لذرة الهيدروجين بحسب نموذج بور.

حيث ( $n = 1, 2, 3, 4, \dots$ ) هو رقم المدار (مستوى الطاقة) الرقم الكميُّ الرئيسُ. الألاحظ من العلاقة السابقة أنَّ مستويات الطاقة غير متصلة (منفصلة) وتأخذ قيمًا محددة، أي إنها مكمة، فمثلاً طاقة المستوى الأول ( $-13.6 \text{ eV}$ ) وطاقة المستوى الثاني ( $-3.40 \text{ eV}$ ). والشكل (11) يبيّن مستويات الطاقة لذرة الهيدروجين، حيث يمثل كُلُّ مستوى بخطٍّ أفقِيٍّ مبيّناً بجانبه الرقم الكميُّ الرئيسُ ( $n$ )، وطاقةُ المستوى الواحدة ( $\text{eV}$ ).

الألاحظ من الشكل (11) أنَّ الإلكترون في مستوى الطاقة الأول يمتلك أقل طاقة وهي ( $E_1 = -13.6 \text{ eV}$ ), ويُسمى مستوى الاستقرار Ground state. أمّا مستويات الطاقة  $E_n$  حيث ( $n > 1$ )، فتُسمى مستويات الإثارة Excited states، يتنتقل إليها الإلكترون عندما يتمتص فوتونًا ذا طاقة مناسبة. فمثلاً حتى يتنتقل الإلكترون من مستوى الطاقة الأول ( $E_1 = -13.6 \text{ eV}$ ) إلى مستوى الطاقة الثاني ( $E_2 = -3.4 \text{ eV}$ ) يجب أن يتمتص فوتونًا طاقته تساوي الفرق بين طيفي المستويين، أي ( $10.2 \text{ eV}$ ). أمّا لتنقل الإلكترون من مستوى الطاقة الأول ( $n = 1$ ) إلى مستوى الطاقة ( $n = \infty, E_{\infty} = 0$ )، فيتطلب امتصاص فوتون طاقته ( $13.6 \text{ eV}$ )، وُسمى طاقة التأين Ionization energy؛ وهي أقل طاقة لازمة لتحرير الإلكترون من الذرة دون إكسابه طاقة حرارية. فالإشارة السالبة لطاقة المستوى  $n$  ( $E_n = -\frac{13.6}{n^2} \text{ eV}$ ) تعني ضرورة تزويد الإلكترون بطاقة مقدارها ( $\frac{13.6}{n^2}$ ) لتحريره من الذرة.

### الربط بالเทคโนโลยيا

معرفة مستويات الطاقة في الذرات المنفصلة أو المواد الصلبة، مكّن العلماء من تطوير كثيرٍ من الأجهزة التي تسهّل حياة البشر مثل؛ أنابيب الفلورسنت، والميكروويف، وأجهزة الهاتف المحمول والحواسوب، وتطوير تكنولوجيا الليزر المستخدمة في الطب والصناعة وتشكيل الصور ثلاثية الأبعاد (هولوغرام).

**تحقق:** أعدد فرضيات بور لذرة الهيدروجين.

**أفخر:** ماذا يحدث للإلكترون إذا زادت طاقة الفوتون الذي يتمتصه على طاقة التأين؟

## المثال 10

اعتماداً على الشكل (11)، أجد طاقة الفوتون المنبعث عند انتقال الإلكترون في ذرة الهيدروجين من مستوى الطاقة الثالث إلى مستوى الطاقة الثاني بوحدة eV، ثم أحوله إلى وحدة J.

**المعطيات:**  $1 \text{ eV} = 1.6 \times 10^{-19} \text{ J}$ ,  $E_3 = -1.50 \text{ eV}$ ,  $E_2 = -3.40 \text{ eV}$

**المطلوب:**  $E = ?$

$$E = |\Delta E| = |E_2 - E_3| = |-3.40 - (-1.50)|$$

$$= 1.9 \text{ eV}$$

$$= 1.90 \text{ eV} \times \frac{1.6 \times 10^{-19} \text{ J}}{1 \text{ eV}} = 3.04 \times 10^{-19} \text{ J}$$

## المثال 11

اعتماداً على الشكل (11)، أجد طاقة الفوتون اللازمة لنقل الإلكترون في ذرة الهيدروجين من مستوى الاستقرار ( $n = 1$ ) إلى مستوى الطاقة الثالث بوحدة eV.

**المعطيات:**  $E_3 = -1.50 \text{ eV}$ ,  $E_1 = -13.6 \text{ eV}$

**المطلوب:**  $E = ?$

$$E = |\Delta E| = |E_3 - E_1| = |-1.5 - (-13.6)|$$

$$= 12.1 \text{ eV}$$

## المثال 12

إلكترون في مستوى الطاقة الثاني لذرة الهيدروجين، أجد ما يأتي:

أ. الزخم الزاوي للإلكترون.

ب. طاقة الإلكترون.

**المعطيات:**  $\hbar = 1.05 \times 10^{-34} \text{ J.s}$ ,  $n = 2$

**المطلوب:**  $L = ?$ ,  $E_2 = ?$

**الحلّ:**

$$L = n \hbar = 2\hbar = 2 \times 1.05 \times 10^{-34} = 2.1 \times 10^{-34} \text{ J.s} \quad \text{أ.}$$

$$E_2 = -\frac{13.6}{n^2} = -\frac{13.6}{2^2} = -3.4 \text{ eV} \quad \text{ب.}$$

أجد تردد الفوتون اللازم لنقل إلكترون في ذرة الهيدروجين من مستوى الطاقة الثاني إلى مستوى الطاقة الثالث.

$$\text{المعطيات: } h = 6.63 \times 10^{-34} \text{ J.s}, 1 \text{ eV} = 1.6 \times 10^{-19} \text{ J}, n_i = 2, n_f = 3$$

المطلوب:  $f = ?$

الحل:

$$E = |E_f - E_i| = \left| \frac{-13.6}{n_f^2} - \frac{-13.6}{n_i^2} \right|$$

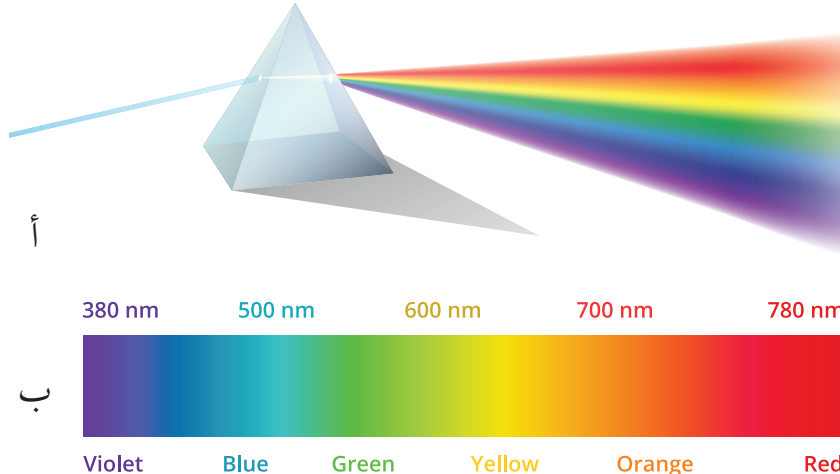
$$E = \left| \frac{-13.6}{3^2} - \frac{-13.6}{2^2} \right| = |-1.5 - (-3.4)| = 1.9 \text{ eV} = 1.9 \times 1.6 \times 10^{-19} = 3.0 \times 10^{-19} \text{ J}$$

$$f = \frac{E}{h} = \frac{3.0 \times 10^{-19}}{6.63 \times 10^{-34}} = 4.5 \times 10^{14} \text{ Hz}$$

### لذلك

انتقل إلكترون ذرة الهيدروجين من مستوى الطاقة  $n_i$  إلى مستوى الطاقة الثاني، فانبعث فوتون بطاقة  $(4.08 \times 10^{-19} \text{ J})$ .  
أجد رقم مستوى الطاقة  $n_i$ .

الشكل (12): تحليل ضوء الشمس الأبيض إلى ألوان الطيف المختلفة باستخدام منشور.



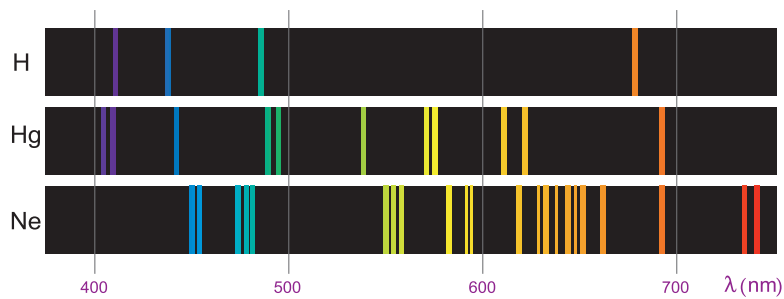
## الأطیاف الذریة Atomic Spectra

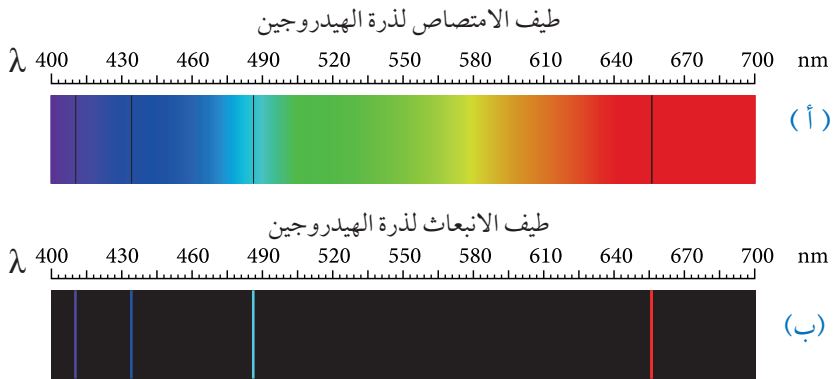
يوضح الشكل (12/أ) منشوراً يعمل على تحليل ضوء الشمس الأبيض إلى ألوان الطيف المتصل Continuous spectrum؛ وسُمي متصلة لأنّه يحتوي الأطوال الموجية كلها بدءاً من اللون الأحمر وصولاً إلى اللون البنفسجي، أتأمل الشكل (12/ب). وبخلاف الطيف الشمسي فإنّ الأطیاف الناتجة من ذرات عنصر واحد ليست متصلة. ولتفسير الطيف الذري غير المتصل Discontinuous spectrum أفترض وجود ذرة هيdroجين في مستوى الاستقرار، وانتقل الإلكترون إلى مستوى طاقة أعلى نتيجة امتصاصه فوتوناً ذا طاقة معينة، هنا تصبح الذرة في مستوى إثارة، لكنّها تعود إلى مستوى الاستقرار ببعث فوتون طاقته ( $E$ ) تساوي الفرق بين طاقتي المستويين اللذين ينتقل بينهما.

وبذلك، فإنّ للأشعة المنبعثة طولاً موجياً (لوناً) محدداً. وكلّما تغيّر أحد المستويين أو كلاهما تتغيّر طاقة الفوتون المنبعث، ما يؤدّي إلى إشعاع الذرة ألواناً مختلفة تكون غير متصلة؛ لأنّ مستويات الطاقة غير متصلة أيضاً. والشكل (13) يوضح أطیاف الانبعاث لذرات عناصر بعد إثارتها، منها عنصر الهیدروجين، كلّ منها يتكون من خطوط من الألوان غير المتصلة (المتفصّلة) على خلفية سوداء،

**ويُسمى طيف الانبعاث الخطّي Emission line spectrum**

الشكل (13): طيف الانبعاث الخطّي لبعض العناصر.





الشكل (14):

- (أ) طيف الامتصاص الخطّي،  
 (ب) طيف الانبعاث الخطّي  
 لذرة الهيدروجين.

وإذا مرّ ضوء الشمس خلال غاز عنصر معين، فإنّ ذرات الغاز تُمتصّ أطوالاً موجيّةً معينة فقط، وتحليل الطيف النافذ لوحظ وجود خطوط معتمة منفصلة على خلفية مضيئة كما في الشكل (14/أ)، ويُسمّى هذا الطيف **طيف الامتصاص الخطّي** **Absorption line spectrum**، والخطوط المعتمة ناتجة من فقدان أطوال موجيّة معينة امتصّتها ذرات الغاز، وهي تقابل تماماً الخطوط المضيئة التي ظهرت في طيف الانبعاث الخطّي لذرات العنصر نفسه، الالاحظ الشكل (14/ب)، لأنّ الأطوال الموجيّة المحدّدة من الطيف التي تمتصّها ذرات عنصر معين هي الأطوال الموجيّة نفسها التي تشعّها؛ لذا يُعدّ طيف العنصر صفة مميّزة خاصة به كال بصمة للإنسان، ولا يمكن لعنصرين أن يكون لهما الطيف الخطّي نفسه.

**تحقق:** ما الفرق بين الطيف الناتج من أشعة الشمس المرئيّة (ضوء الشمس) والطيف الناتج من غاز عنصرٍ ما عند عبور ضوء الشمس خلاله؟ ✓

### نموذج بور وطيف ذرة الهيدروجين

#### Bohr's Model and the Hydrogen Spectrum

طيف ذرة الهيدروجين من أبسط الأطيفات؛ لأنّها تحتوي على إلكترون واحد فقط، ويوضح الشكل (15) الأطوال الموجيّة لطيف الانبعاث الخطّي لذرة الهيدروجين في منطقة الضوء المرئي.

لقد نجح نموذج العالم بور في حساب الأطوال الموجيّة لطيف ذرة الهيدروجين. فعند انتقال الإلكترون من مستوى الطاقة ( $n_i$ ) إلى مستوى الطاقة ( $n_f$ )، فإنّ طاقة الفوتون ( $hf$ ) بوحدة الجول، هي:

$$hf = |E_f - E_i| = 13.6 e \left| \frac{1}{n_f^2} - \frac{1}{n_i^2} \right|$$



الشكل (15): الأطوال الموجيّة لطيف الانبعاث الخطّي لذرة الهيدروجين.

حيث  $e$  هي القيمة المطلقة لشحنة الإلكترون، وبالتعويض عن التردد  $f = \frac{c}{\lambda}$ ، وقسمة المعادلة على  $hc$  نحصل على:

$$\frac{1}{\lambda} = \frac{13.6 e}{hc} \left| \frac{1}{n_f^2} - \frac{1}{n_i^2} \right|$$

المقدار  $\frac{13.6 e}{hc} \times 1.097 \times 10^7 \text{ m}^{-1}$  يساوي  $R_H$ ، قيمة ثابت يُسمى ثابت ريدبيغ ( $R_H$ )، لذا فإنّ:

$$\frac{1}{\lambda} = R_H \left| \frac{1}{n_f^2} - \frac{1}{n_i^2} \right|$$

حيث ( $\lambda$ ) الطول الموجي للفوتون المنبعث. وعلى الرغم من اتفاق نتائج نموذج بور مع النتائج التجريبية لطيف ذرة الهيدروجين والأيونات ذات الإلكترون الواحد، فإنه فشل في تفسير أطياف الذرات عديدة الإلكترونات.

**أتحقق:** هل نجح نموذج بور في التنبؤ بالأطوال الموجية لطيف انبعاث ذرة الهيدروجين؟ ✓

## المثال ١٤

أجد طول موجة الفوتون المنبعث عند انتقال الإلكترون ذرة الهيدروجين من مستوى الطاقة الثاني إلى مستوى الطاقة الأول.

المعطيات:  $R_H = 1.097 \times 10^7 \text{ m}^{-1}$ ,  $n_f = 1$ ,  $n_i = 2$

المطلوب:  $\lambda = ?$

الحلّ :

$$\frac{1}{\lambda} = R_H \left| \frac{1}{n_f^2} - \frac{1}{n_i^2} \right| = 1.097 \times 10^7 \left| \frac{1}{1^2} - \frac{1}{2^2} \right|$$

$$\frac{1}{\lambda} = 1.097 \times 10^7 \times \frac{3}{4} = 8.23 \times 10^6 \text{ m}^{-1}$$

$$\lambda = 1.215 \times 10^{-7} \text{ m} = 121.5 \text{ nm}$$

أجد الأطوال الموجية للفوتونات المنبعثة عند انتقال إلكترون ذرة الهيدروجين من مستويات الطاقة: الثالث، والرابع، والخامس، والسادس إلى مستوى الطاقة الثاني. وأقارن الأطوال الموجية التي حصلت عليها بتلك الموجودة في الشكل (15)، وفي ضوء ذلك أصدر حكمًا على صحة نموذج بور.

$$\text{المعطيات: } R_H = 1.097 \times 10^7 \text{ m}^{-1}, n_f = 2, n_i = 3, 4, 5, 6$$

المطلوب:  $\lambda = ?$

الحل :

أحسب طول موجة الفوتون المنبعث عند انتقال الإلكترون من مستوى الطاقة الثالث إلى مستوى الطاقة الثاني من العلاقة الآتية:

$$\frac{1}{\lambda} = R_H \left| \frac{1}{n_f^2} - \frac{1}{n_i^2} \right| = 1.097 \times 10^7 \left| \frac{1}{2^2} - \frac{1}{3^2} \right|$$

$$\frac{1}{\lambda} = 1.523 \times 10^6 \text{ m}^{-1}$$

$$\lambda = 6.563 \times 10^{-7} \text{ m} = 656.3 \text{ nm}$$

نكرر العملية عندما  $n_i = 4, 5, 6$

6	5	4	3	$n_i$
410.2 nm	434.1 nm	486.2 nm	656.3 nm	$\lambda$ القيم المحسوبة
410.1 nm	434.0 nm	486.1 nm	656.2 nm	$\lambda$ القيم التجريبية

نلاحظ أن الأطوال الموجية تقع كلها ضمن الأطوال الموجية للطيف المرئي، وأن القيم المحسوبة من علاقة بور قريبة جدًا من القيم التجريبية، ما يدل على صحة نموذج بور لذرة الهيدروجين.

لذلك

انتقل إلكترون ذرة الهيدروجين من مستوى الطاقة الرابع إلى مستوى الطاقة الأول، بحسب نموذج بور.  
أحسب طول موجة الفوتون المنبعث وتردد وطاقةه وزخمه الخطبي.

## الطبيعة الموجية-الجسيمية المزدوجة Wave-Particle Duality

لقد تعلّمتُ أنَّ بعض الظواهر المتعلقة بالضوء، مثل الحيود والتدخل يمكن تفسيرها بافتراض أنَّ الضوء موجاتٌ كهرومغناطيسية. لكن توجد ظواهر أخرى، مثل: إشعاع الجسم الأسود، والظاهرة الكهرومغناطيسية، وظاهرة كومبتون، والأطياف الذرية لا يمكن تفسيرها إلَّا على افتراض أنَّ الضوء يتكون من جُسيمات (فوتونات) تمتلك زخمًا خطياً يُحسب مقداره من العلاقة الآتية:  $p = \frac{h}{\lambda}$

فافتراض العلماء أنَّ للإشعاع الكهرومغناطيسى طبيعة موجية-جسيمية مزدوجة **Wave-particle duality of light**. وعلى غرار الطبيعة الموجية-الجسيمية للإشعاع، اقترح العالم دي بروي de Broglie عام 1923 أنَّ للأجسام المادّية طبيعة موجية. واستخدم العلاقة السابقة في حساب الطول الموجي لجسم ما على النحو الآتى:

$$\lambda = \frac{h}{p} = \frac{h}{mv}$$

حيث  $\lambda$ : طول موجة دي بروي، ويُطلق عليها اسم الموجة المصاحبة للجسم.

$h$ : ثابت بلاك

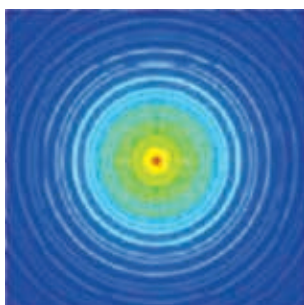
$p$ : مقدار الزخم الخطى للجسم.

$m$ : كتلة الجسم

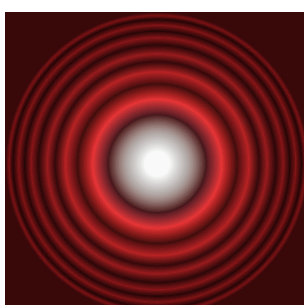
$v$ : سرعة الجسم

ومن الجدير بالذكر أنَّ الموجات المصاحبة للأجسام ليست موجات ميكانيكية أو كهرومغناطيسية، وهي ذات أهميّة كبيرة في مجال فيزياء الكم. وعند حساب طول موجة دي بروي المصاحبة لجسم كبير (جاوري)، نجد أنَّها صغيرة جدًا بل أصغر بكثير من أبعاد الجسم. وفي المقابل، فإنَّ طول موجة دي بروي المصاحبة لجسيم صغير مثل الإلكترون قريب من قيمة المسافة الفاصلة بين الذرات في المواد الصلبة، لذلك تمكّن العالمان دافسون Davisson وجيرمر Germer بعد ثلاث سنوات من وضع دي بروي لفرضيته من الكشف بالتجربة عن الطبيعة الموجية للإلكترونات عند إسقاط حزمة من الإلكترونات المسرّعة على بلورة من النيكل، حيث المسافة بين ذرات النيكل مُقاربة لطول موجة دي بروي المصاحبة للإلكترونات. وقد أظهرت نتائج التجربة وجود نمط حيود للإلكترونات كما في الشكل (16/أ) الذي يشبه نمط حيود الضوء المبين في الشكل (16/ب).

**أتحقق:** أذكر فرضية دي بروي. ✓



(أ)



(ب)

الشكل (16): نمط حيود  
(أ) إلكترونات أُسقطت على  
بلورة من النيكل،  
(ب) حزمة ضوئية أُسقطت  
على فتحة دائريّة.



بعد اكتشاف الطبيعة الموجية للإلكترون، استُخدمت في مجهر من نوع خاص الإلكترونات بدلاً من الضوء، يُسمى مجهراً إلكترونياً. يمكنه إظهار تفاصيل أدق للأجسام من المجهر الضوئي ما مكّن العلماء من رؤية الفيروسات والتفاصيل الدقيقة للخلية. أتَمِل الشكل.



## المثال ١٦

أجد طول موجة دي بروي المصاحبة لـ:

$$\text{أ. إلكترون سرعته } 1.00 \times 10^6 \text{ m/s}$$

$$\text{ب. رصاصة كتلتها } m_b = 50.0 \text{ g تتحرك بسرعة } v_b = 400 \text{ m/s}$$

**المعطيات:**  $h = 6.63 \times 10^{-34} \text{ J.s}$ ,  $m_e = 9.11 \times 10^{-31} \text{ kg}$ ,  $v_e = 1.00 \times 10^6 \text{ m/s}$

$$m_b = 50.0 \times 10^{-3} \text{ kg}, v_b = 400 \text{ m/s}$$

**المطلوب:**  $\lambda_e = ?, \lambda_b = ?$

**الحل:**

$$\lambda_e = \frac{h}{p} = \frac{h}{mv} = \frac{6.63 \times 10^{-34}}{9.11 \times 10^{-31} \times 1.00 \times 10^6} = 7.27 \times 10^{-10} \text{ m} = 0.727 \text{ nm} \quad \text{أ.}$$

الاحظ أن طول موجة دي بروي المصاحبة للإلكترون تقارب المسافة الفاصلة بين الذرات في البلورات، لذلك يمكن ملاحظة نمط الحيوذ للإلكترونات كما في تجربة دافسون وجيرمر.

$$\lambda_b = \frac{h}{p} = \frac{h}{mv} = \frac{6.63 \times 10^{-34}}{50.0 \times 10^{-3} \times 400} = 3.32 \times 10^{-35} \text{ m} = 3.32 \times 10^{-26} \text{ nm} \quad \text{ب.}$$

من الواضح أن طول موجة دي بروي المصاحبة للرصاصة صغير جداً حتى مع المقارنة بالمسافات الفاصلة بين الذرات في البلورات، لذلك لا يمكن مشاهدة نمط حيوذ للأجسام الجاهريّة.

## المثال 17

تسارع إلكترون من السكون بفرق جهد مقداره (2.7 V) ، أجد طول موجة دي بروي المصاحبة له عند نهاية مدة تسارعه.

المعطيات:  $v_i = 0$ ,  $h = 6.63 \times 10^{-34} \text{ J.s}$ ,  $m_e = 9.11 \times 10^{-31} \text{ kg}$ ,  $\Delta V = 2.7 \text{ V}$

المطلوب:  $\lambda_e = ?$

الحلّ:

أجد أولاًً مقدار السرعة النهاية للإلكترون من العلاقة الآتية:

$$KE = \frac{1}{2} m_e v^2 = e \Delta V$$

$$\frac{1}{2} \times 9.11 \times 10^{-31} \times v^2 = 1.6 \times 10^{-19} \times 2.7$$

$$v = 0.97 \times 10^6 \text{ m/s}$$

ثم أجد طول موجة دي بروي المصاحبة له:

$$\lambda_e = \frac{h}{p} = \frac{h}{mv} = \frac{6.63 \times 10^{-34}}{9.11 \times 10^{-31} \times 0.97 \times 10^6} = 7.5 \times 10^{-10} \text{ m} = 0.75 \text{ nm}$$

## لتمرين

1. طول موجة دي بروي لحزمة من الإلكترونات يساوي  $(2.24 \times 10^{-10} \text{ m})$ . أجد فرق الجهد المستخدم في تسريع الإلكترونات.

2. ضربت مريم كرة تنس كتلتها (60 g) وقطرها (6.5 cm)، فتحركت بسرعة (25 m/s).

أ . أجد طول موجة دي بروي المصاحبة لها.

ب . أقارن بين طول موجة دي بروي وقطر كرة التنس.

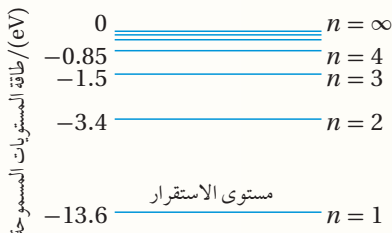


# مراجعة الدرس

1. **الفكرة الرئيسية:** أوضح المقصود بكل من: طيف الامتصاص الخطّي، طيف الانبعاث الخطّي.

2. **اذكر** محدّدات نموذج بور.

3. **استخدم الأرقام:** أجدُ الزخم الزاوي وطاقة الإلكترون في المدار الرابع لذرة الهيدروجين.

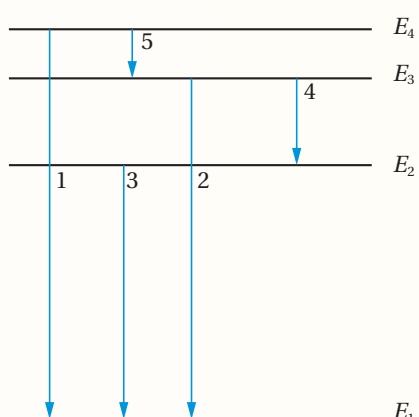


4. **أحلّ الشكل:** إلكترون موجود في مستوى الاستقرار لذرة الهيدروجين. بالاعتماد على الشكل المجاور، أجدُ أصغر ثلات قيم للطاقة يمكن لهذا الإلكترون أن يتمتّصها.

5. **أصنّف** الكميات الفيزيائية الآتية: (الطول الموجي، التردد، الطاقة، الزخم الخطّي) من حيث ارتباطها بالطبيعة الموجية أو الجسيمية للمادة.

6. **أستنتج:** إلكترون في مستوى الطاقة الرابع لذرة الهيدروجين، ما الانتقالات التي يمكن أن يفقد بها الإلكترون طاقته، أوضح ذلك على رسم لمستويات الطاقة.

7. **احسب** طول موجة الإشعاع اللازم لنقل إلكترون من مستوى الاستقرار لذرة الهيدروجين إلى مستوى الطاقة الثالث.



8. **أحلّ الشكل:** يمثّل الشكل المجاور مستويات الطاقة المسموح بها لـإلكترون في ذرة ما، والانتقالات بين مستويات الطاقة (الأرقام من 1 إلى 5).

أ. أي الانتقالات ينتج عنه انبعاث فوتون بأكبر طول موجي؟

ب. أي الانتقالات ينتج عنه انبعاث فوتون بأكبر طاقة؟

ج. أي الانتقالات ينتج عنه انبعاث فوتون بأقل تردد؟

9. **استخدم الأرقام:** بروتون طاقته (10 MeV)، أجد طول موجة دي برووي المصاحبة له حيث كتلة البروتون  $(1.67 \times 10^{-27} \text{ kg})$ .

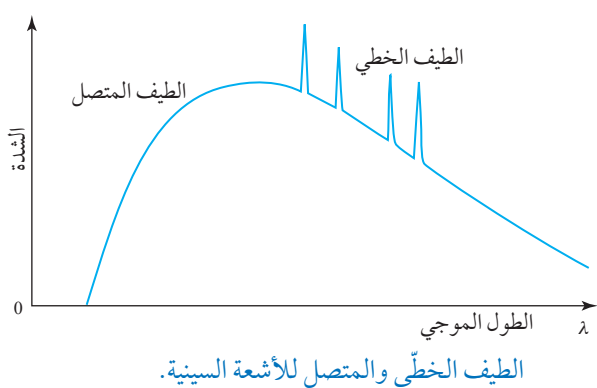
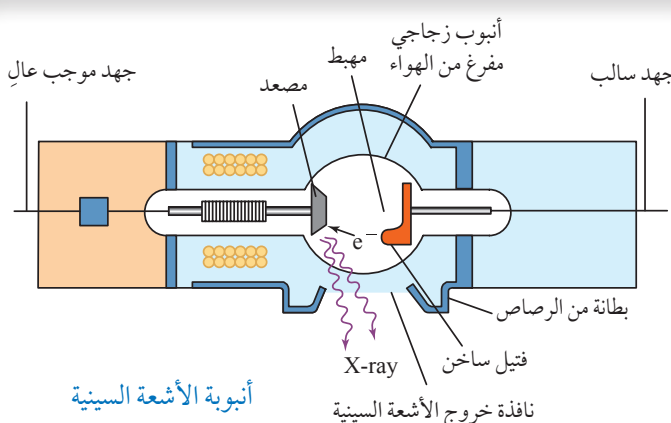
# الإثراء والتوصّل

# الفيزياء والطب: الأشعة السينية

## Physics in Medicine: X-Ray

لاحظ العالم رونتعن أنّ أشعة ذات طاقة كبيرة (أطوال موجيّة قصيرة  $m = 10^{-8} - 10^{-11} \lambda$ ) تُنبعث من سطح فلزّ عند اصطدام إلكترونات ذات طاقة عالية به، أطلق عليها اسم الأشعة السينيّة X-ray.

ويتكوّن أنبوب الأشعة السينيّة المبيّن في الشكل المجاور من أنبوب مفرّغ من الهواء يحتوي على فتيل



صورة مأخوذة عن طريق الأشعة السينية للقفص الصدري.

فلزّيّ تُنبعث منه إلكترونات عند تسخينه. تُسرّع الإلكترونات المنبعثة من الفتيل باستخدام فرق جهد كهربائيّ كبير لتصطدم بعدها بالمصعد، وهو مادةً فلزّيّة فتُنبعث منه الأشعة السينيّة. وقد وجد أنّ طيف الأشعة السينيّة يتكون من طيف متصل وطيف خطّي كما في الشكل المجاور. عند اقتراب الإلكترونات المسرّعة من ذرات المصعد تباطأ بفعل القوّة الكهربائيّة، وتفقد جزءاً من طاقتها الحركيّة التي تظهر على شكل أشعة كهرمغناطيسيّة ذات طاقة متصلة. وقد يصطدم أحد الإلكترونات المسرّعة بأحد الإلكترونات في مستويات الطاقة الداخليّة لنزرة المصعد فيحرّرها، ونتيجة لذلك، ينتقل الإلكترون من المستويات الخارجيّة للطاقة لملء الفراغ الداخليّ، ويصاحب ذلك انبعاث فوتون بطاقة محدّدة تساوي فرق الطاقة بين المستويين، ويظهر ذلك على شكل طيف خطّي في طيف الأشعة السينيّة.

تمتاز الأشعة السينيّة بقدرتها على النفاذ في الأوساط الماديّة، ويعتمد ذلك على الوسط؛ فمثلاً قدرتها على النفاذ خلال الكتلة العضلية تكون أكبر من قدرتها على النفاذ خلال العظام. ولهذا السبب، استُخدمت الأشعة السينيّة في الطبّ لتصوير العظام داخل جسم الإنسان، كما في الشكل المجاور، والتحقّق من وجود كسور فيها.

# مراجعة الوحدة

1. أضاع دائرة حول رمز الإجابة الصحيحة لكل جملة مما يأتي:
- أ. أي مما يأتي يؤدي إلى زيادة الطاقة الحركية العظمى للإلكترونات المتحركة من سطح فلز؟
- ب. تقليل شدة الضوء الساقط على الفلز
- ج. تقليل تردد الضوء الساقط على الفلز
- د. زيادة شدة الضوء الساقط على الفلز
- أ. زيادة شدة الضوء الساقط على الفلز
- ج. زيادة تردد الضوء الساقط على الفلز
2. وفقاً لتصوّر الفيزياء الكلاسيكية للظاهرة الكهربائية:
- أ. تتحرّر الإلكترونات تحرّراً فوريّاً.
- ب. تزداد الطاقة الحركية العظمى للإلكترونات المتحركة بزيادة تردد الضوء الساقط.
- ج. يستغرق تحرّر الإلكترونات بعض الوقت حتى تتمكن من اكتساب الطاقة اللازمة للتتحرّر.
- د. لا تتحرّر الإلكترونات من سطح الفلز عند الترددات العالية للضوء.
3. طبقاً لظاهرة كومبتون، فإنّ:
- أ. سرعة الفوتونات الساقطة وترددها أكبر من سرعة وتردد الفوتونات المشتّتة.
- ب. تردد الفوتونات المشتّتة أكبر من تردد الفوتونات الساقطة.
- ج. طول موجة الفوتونات المشتّتة أكبر من طول موجة الفوتونات الساقطة.
- د. طاقة الفوتونات المشتّتة أكبر من طاقة الفوتونات الساقطة.
4. إذا تضاعف الطول الموجي للفوتون مرتين فإنّ:
- أ. طاقته تقلّ إلى النصف، وكذلك زخمه الخطّي.
- ب. طاقته تبقى ثابتة ويقلّ زخمه الخطّي إلى النصف.
- ج. طاقته تتضاعف مرتين ويبقى زخمه الخطّي ثابتاً.
5. يُحسب الزخم الخطّي للفوتون من العلاقة الآتية:
- أ.  $m v$
- ب.  $E c$
- ج.  $\frac{E}{c}$
- د.  $\frac{h}{f}$
6. شدة الطاقة المنبعثة من جسم أسود درجة حرارته مقاربة لدرجة حرارة الشمس تكون:
- أ. أكبر ما يمكن عند الأطوال الموجية الكبيرة جداً للإشعاع.
- ب. أكبر ما يمكن عند الأطوال الموجية القصيرة جداً للإشعاع.
- ج. أكبر ما يمكن في منطقة الأطوال الموجية للضوء المرئي.
- د. متساوية عند جميع الأطوال الموجية للإشعاع.
7. لم يتطابق نموذج رايلي-جينز مع نتائج التجربة للإشعاع الجسم الأسود في منطقة:
- أ. الأطوال الموجية الكبيرة.
- ب. الأطوال الموجية القصيرة.
- ج. الترددات الصغيرة.
- د. الأطوال الموجية جميعها للإشعاع.

# مراجعة الوحدة

8. إذا انتقل إلكترون من مستوى الطاقة الرابع إلى مستوى الطاقة الثاني في ذرة الهيدروجين، فإن الفرق في الزخم الزاوي للإلكترون بحسب نموذج بور، هو:

د.  $4\hbar$

ج.  $\hbar$

ب.  $3\hbar$

أ.  $2\hbar$

9. يزداد طول موجة دي بروي المصاحبة لجسيم إذا:

د. قل زخمه الخطّي.      ج. زادت سرعته.      ب. زادت كتلته.      أ. زادت طاقته الحركية.

10. يزداد عدد الإلكترونات المتحركة من سطح فلز عند سقوط ضوء عليه بزيادة:

أ. شدة الضوء      ب. تردد الفوتون      ج. طول موجة الضوء      د. طاقة الفوتون

11. عندما تتفاعل الفوتونات مع الإلكترونات كما في الظاهرة الكهرضوئية، فأي العبارات الآتية صحيحة؟

أ. يفقد الفوتون جزءاً من طاقته، ويزداد ترددده.

ب. يفقد الفوتون جزءاً من طاقته، ويقل طول موجته.

ج. يمتضى الإلكترون طاقة الفوتون كلها.

د. يفقد الفوتون جزءاً من طاقته، ويبقى ترددده ثابتاً.

12. أسقط فوتونان مختلفان في التردد على الفلز نفسه، فانطلق إلكترونان متساويان في الطاقة الحركية. فإن ذلك يعود إلى:

أ. أن الإلكترونين انطلقا من عمقين مختلفين من الفلز.      ب. اختلاف اقتران الشغل.

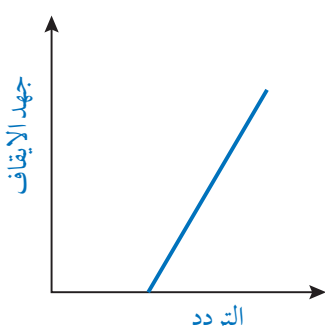
ج. اختلاف طاقة الفوتونين.      د. اختلاف شدة الضوء.

13. يمثل الرسم البياني المجاور العلاقة بين جهد الإيقاف وتردد الضوء الساقط

في الخلية الكهرضوئية، ميل هذه العلاقة هو:

ب.  $\frac{e}{h}$       أ.  $h$ .

د.  $\frac{\Phi}{h}$       ج.  $\frac{h}{e}$



2. **استخدم المتغيرات:** إلكترون ذرة الهيدروجين زخمه الزاوي  $3\hbar$ ، أجد طاقته.

3. **استخدم المتغيرات:** سقط ضوء طول موجته (300 nm) على سطح فلز اقتران الشغل له (2.2 eV)، أجد ما يأتي:

أ. تردد العتبة للفلز.

ب. الطاقة الحركية العظمى للإلكترونات المتحركة.

4. **أصدر حكماً:** سقط ضوء على سطح فلز فتحرّرت منه إلكترونات، أُبّين ما يحدث لعدد الإلكترونات المتحركة

وطاقتها إذا:

أ. زادت شدة الضوء مع بقاء ترددده ثابتاً.

ب. زاد تردد الضوء مع بقاء شدّته ثابتة.

# مراجعة الوحدة

5. **أناقش:** إلكترون في مستوى الاستقرار لذرة الهيدروجين، أناقش ما يحدث للإلكترون إذا سقط عليه فوتون طاقته:

أ. 7.0 eV

ب. 12.1 eV

ج. 20.0 eV

6. **أتوقع:** إلكترون في مستوى الطاقة الثالث لذرة الهيدروجين، أتنبأ بقيمة الطاقة التي يمكن أن يخسرها الإلكترون.

	طاقة الإلكترون eV
$n = 4$	-4.95
$n = 3$	-5.52
$n = 2$	-5.74
$n = 1$	-10.38

7. **أحلل الشكل:** بيان الشكل المجاور بعض مستويات الطاقة لـ إلكترون

في ذرة الرئيسي:

أ. أجد أعلى طاقة فوتون يمكن أن يبعث من الانتقالات بين هذه المستويات.

ب. أجد أقل طاقة فوتون يمكن أن يبعث من الانتقالات بين هذه المستويات.

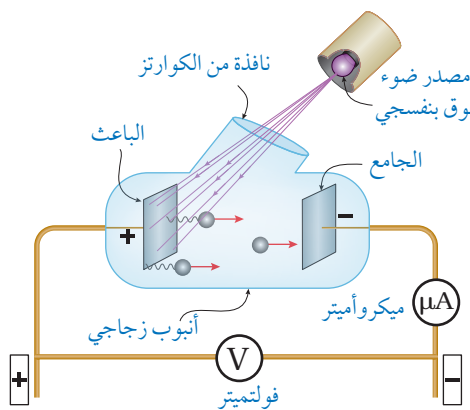
طاقة المستوى eV	مستوى الاستقرار
$n = \infty$	0
$n = 4$	-0.85
$n = 3$	-1.5
$n = 2$	-3.4
$n = 1$	-13.6

8.  **حل المشكلات:** ظهر خط مُعتم في طيف الامتصاص لذرة الهيدروجين عند التردد ( $6.15 \times 10^{14} \text{ Hz}$ ), بالاعتماد على مستويات الطاقة لذرة الهيدروجين في الشكل، أبين بالحسابات بين أي مستوى طاقة انتقل الإلكترون ليظهر هذه الخط المُعتم.

9. **استخدم المتغيرات:** سُرعَ إلكترون بفرق جهد ( $\Delta V$ )، أثبتت أن طول موجة دي برووي المصاحبة له يساوي  $\frac{h}{\sqrt{2 m e \Delta V}}$ .

10. **التفكير الناقد** يمثل الشكل المجاور تجربة لدراسة الظاهرة الكهرومغناطيسية أجراها العالم لينارد، وكان تردد الضوء الساقط ( $10^{14} \text{ Hz} \times 8$ ). اعتماداً على ذلك، أجب عما يأتي:

أ. أبين ماذا يحدث لقراءة الميكروأميتر عند زيادة فرق الجهد، وأناقش أفراد مجتمعتي في سبب ذلك.



ب. عند فرق جهد (2 V) أصبحت قراءة الأميتر (صفرًا). فماذا يُسمى فرق الجهد في هذه الحالة؟

ج. أناقش أفراد مجتمعتي في تأثير زيادة شدة الضوء في قراءة الميكروأميتر عندما تكون قراءته صفرًا.

د. أناقش أفراد مجتمعتي في تأثير زيادة تردد الضوء في قراءة الميكروأميتر عندما تكون قراءته صفرًا.

هـ. كيف تعارضت النتائج في (ج) و(د) مع الفيزياء الكلاسيكية؟

و. أحسب تردد العتبة لفلز الباوث.

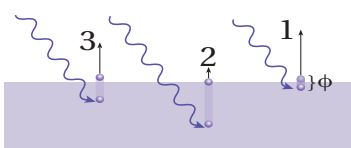
# مراجعة الوحدة

11. يظهر في طيف امتصاص غاز الهيليوم (12) خطٌ مُعتم في منطقة الضوء المرئي:  
أ. أفسر سبب ظهور هذه الخطوط.

ب. أحسب: أحد الخطوط يقابل الطول الموجي (686.7 nm)، أحسب الطاقة التي امتصها الإلكترون ليتتج هذا الخط بوحدة (eV).

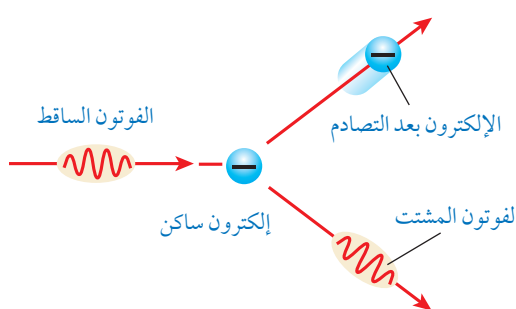
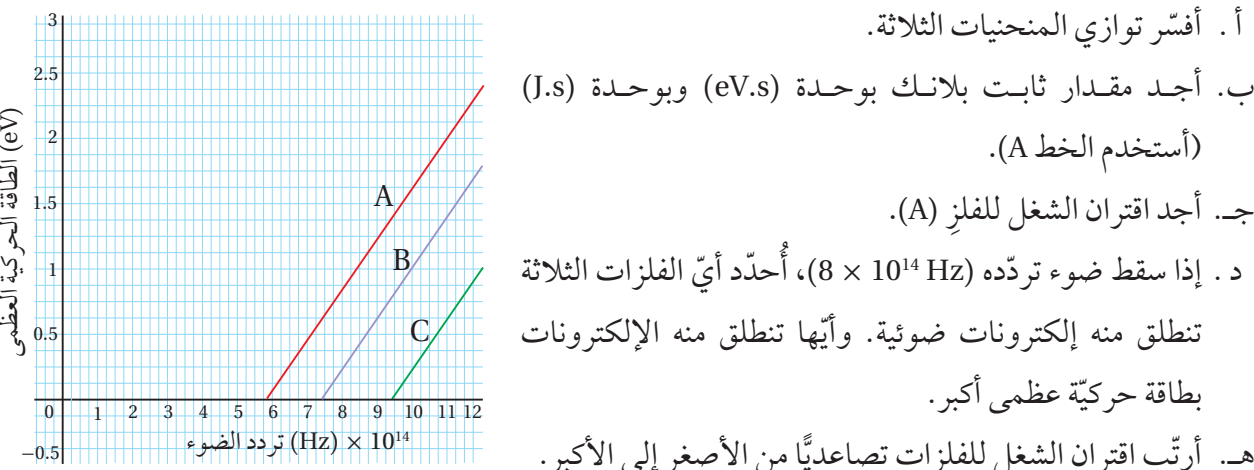
12. أحسب: سقط ضوء على سطح فلزٍ، وكانت الطاقة الحرارية العظمى للإلكترونات المنبعثة (2 eV)، وكان أكبر طول موجي يتطلب تحرير الإلكترونات من سطح الفلز يساوى (682 nm). أحسب ما يأتي:  
أ. اقتران الشغل للفلز.      ب. فرق جهد القطع (الإيقاف)

13. أفسر: يبيّن الشكل المجاور توضيحاً بسيطاً للتصور الذي وضعه أينشتين للظاهرة الكهرومagnetoelectricية.



- أ. ما فرضيته فيما يتعلق بالضوء؟  
ب. ما علاقة عدد الإلكترونات المتحركة بشدة الضوء الساقط على الفلز؟  
ج. رتب الطاقة الحرارية للإلكترونات المتحركة (1, 2, 3) من الأصغر إلى الأكبر.  
د. كيف فسر أينشتين التفاوت في الطاقة الحرارية للإلكترونات المتحركة؟

14. أحلّ رسمًا بيانيًّا: يمثل الشكل المجاور رسمًا بيانيًّا لتغيير الطاقة الحرارية العظمى مع تردد الضوء الساقط لثلاثة فلزات مختلفة، اعتمادًا على الشكل أجيبي عما يأتي:



15. أحلل: أسقط كومبتون أشعة سينية على هدف من الغرافيت كما

في الشكل المجاور:

أ. أقارن بين الأشعة المشتّتة والأشعة الساقطة من حيث التردد والطول الموجي والسرعة.

ب. ماذا تساوي طاقة الإلكترون بعد التصادم؟

**16. أستخدام المتغيرات:** أجد النسبة بين الزخم الخطّي لفوتوون طاقته ( $E$ )، والزخم الخطّي لإلكترون حرّ يملك الطاقة الحرّية نفسها.

**17. ذكر:** للضوء طبيعة مزدوجة موجيّة-جسيميّة، ذكر ظواهر فيزيائية تدلّ على أنّ للضوء طبيعة موجيّة، وظواهر أخرى تدلّ على أنّ له طبيعة جسيميّة.

**18. استنتاج:** الأجسام كلّها في الغرفة تبعث أشعة كهرمغناطيسية، فلماذا لا نستطيع رؤية هذه الأجسام في غرفة مُعتمة؟

**19. أستخدم المتغيرات:** إذا كان الطول الموجي لفوتوون قبل الاصطدام بإلكترون حرّ ساكن ( $10^{-9} \text{ m}$ )، وبعد الاصطدام به صار ( $10^{-9} \times 80 \text{ m}$ )، أحسب مقدار ما يأتي:

- أ. الزخم الخطّي للفوتوون قبل التصادم.
- ب. الطاقة التي اكتسبها الإلكترون في أثناء عملية التصادم.

**20. أفسّر** اعتمادًا على النموذج الجسيمي للضوء:  
أ. زيادة شدّة الضوء الساقط تؤدي إلى زيادة التيار الكهربائيّ دون زيادة الطاقة الحرّية العظمى للإلكترونات المتحركة.

ب. الانبعاث الفوري للإلكترونات من سطح الفلز عند سقوط إشعاع كهرمغناطيسي بتردد مناسب على سطحه.

**21. أفسّر:** سقطت حزمتان ضوئيتان بترددتين مختلفتين ( $f_1, f_2$ ) على سطحي فلزّين مختلفين على الترتيب ( $X, Y$ )، اقتران الشغل لهما ( $\Phi_X > \Phi_Y$ )، فتحرّرت الإلكترونات لها الطاقة الحرّية العظمى نفسُها من سطحي الفلزّين، فأيُّ الحزمتين ترددُها أكبر؟ أفسّر إجابتي.

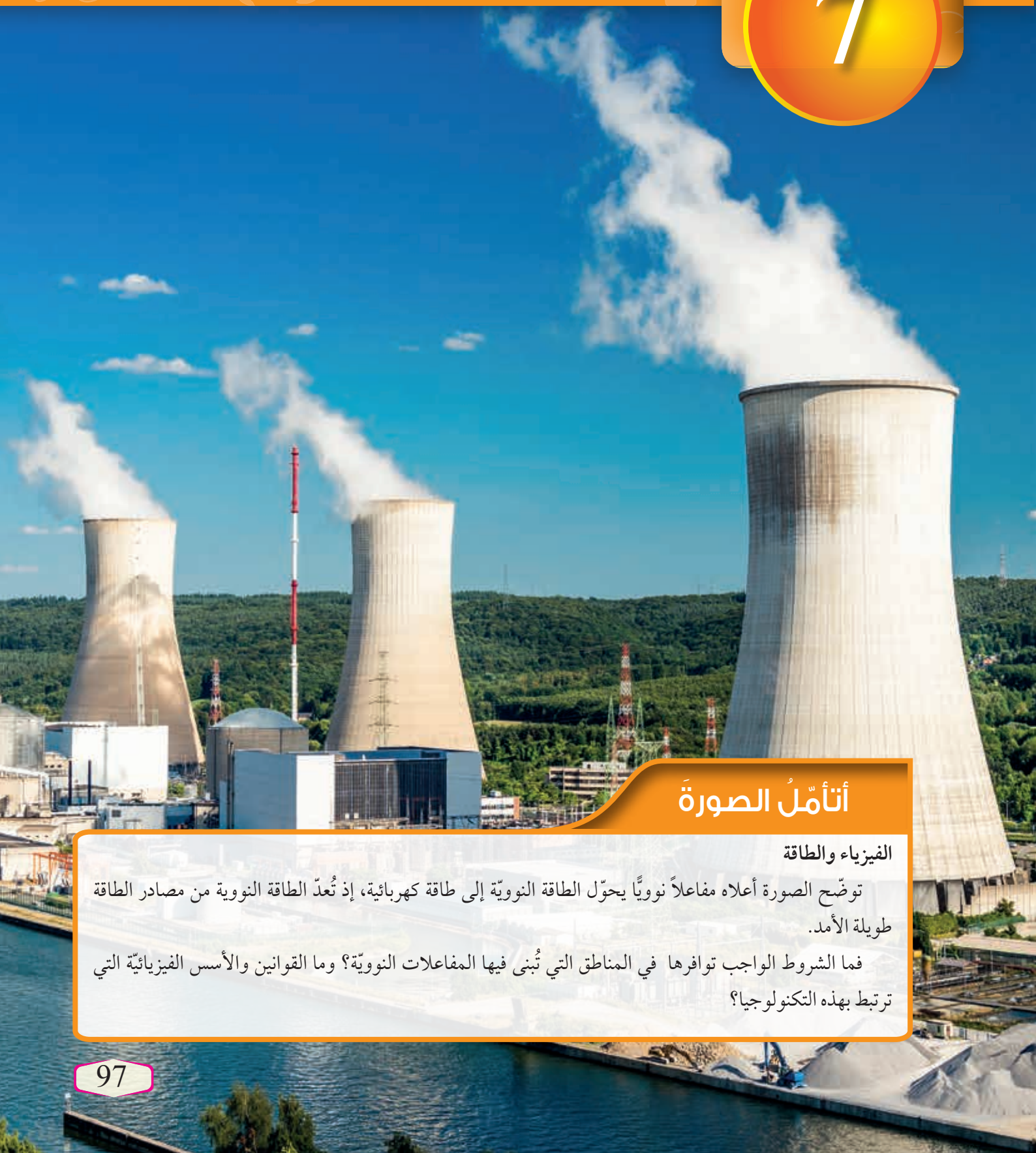
**22. أستخدم المتغيرات:** في الخلية الكهربائيّة، إذا كانت الطاقة الحرّية العظمى للإلكترونات الضوئيّة المُنطلقة من سطح فلزّ الباущ ( $1.6 \times 10^{-19} \text{ J}$ ) جول عند سقوط ضوء طول موجته (380 nm)، أحسبُ ما يأتي :  
أ. اقتران الشغل لفلزّ الباущ.    ب. تردد العتبة للفلز    ج. جهد الإيقاف.

# الوحدة

7

## الفيزياء النووية

Nuclear Physics



### أتأمل الصورة

#### الفيزياء والطاقة

توضّح الصورة أعلاه مفاعلاً نووياً يحول الطاقة النووية إلى طاقة كهربائية، إذ تُعدّ الطاقة النووية من مصادر الطاقة طويلة الأمد.

فما الشروط الواجب توافرها في المناطق التي تُبني فيها المفاعلات النووية؟ وما القوانين والأسس الفيزيائية التي ترتبط بهذه التكنولوجيا؟

## الفكرة العامة:

للفيزياء النووية تطبيقات كثيرة في حياتنا تشمل توليد الطاقة الكهربائية، وتشخيص الأمراض وعلاجها، وتدخل في كثير من التطبيقات الصناعية.

### الدرس الأول: تركيب النواة وخصائصها

#### Nucleus Structure and its Properties

**الفكرة الرئيسية:** تتكون النواة من بروتونات ونيوترونات. وفي الطبيعة بعض النوى تكون مستقرة، وبعضها الآخر يكون مُشعّاً.

### الدرس الثاني: الإشعاع النووي الطبيعي

#### Natural Nuclear Radiation

**الفكرة الرئيسية:** تبعث النوى غير المستقرة إشعاعات بطيقات مختلفة، ولهذه الإشعاعات مزايا ولها أيضًا أخطار.

### الدرس الثالث: التفاعلات النووية

#### Nuclear Reactions

**الفكرة الرئيسية:** للتفاعلات النووية تطبيقات مهمة في الحياة مثل توليد الطاقة، وإنتاج النظائر المشعّة التي تُستخدم في تشخيص الأمراض وعلاجها، وفي كثير من التطبيقات الصناعية.



# تجربة استهلاكية

## استقصاء التفاعل المتسلسل



(أ)



(ب)

**المواد والأدوات:** 15 قطعة من قطع الدومينو، ساعة توقيت ، قفازان، نظارة واقية.

**إرشادات السلامة:** ارتداء القفازين والنظارة الواقية.

**خطوات العمل:**

بالتعاون مع أفراد مجموعتي أنفذ الخطوات الآتية:

**النموذج الأول:**

- أرتّب قطع الدومينو كما في الشكل (أ)، على أن تكون كل قطعة مواجهة لقطعتين من الدومينو.

**أقيس:** أضرب بسبابتي الطرف العلوي للقطعة الأولى على أن تسقط نحو القطعتين المقابلتين لها، وأقيس الزمن اللازم لسقوط القطع جميعها، وأسجل الزمن في الجدول.

- أكرّر الخطوتين السابقتين ثلاث مرات، وأحسب متوسط الزمن.

**النموذج الثاني:**

**أقيس:** أرتّب قطع الدومينو مرة أخرى كما في الشكل (ب) على أن تسقط القطعة الأولى قطعتي الدومينو في الصنف الثاني، وتُسقط قطعة واحدة من الصنف الثاني قطعتي الدومينو في الصنف الثالث، وهكذا دواليك. ثم أقيس الزمن اللازم لسقوط القطع جميعها، وأسجل الزمن في الجدول.

- أكرّر الخطوة السابقة ثلاث مرات لحساب متوسط الزمن لسقوط القطع جميعها.

**التحليل والاستنتاج:**

- أقارن** بين المتوسط الزمني لسقوط القطع جميعها في النماذجتين.
- أستنتج:** أفترض أن كل قطعة دومينو تنتج طاقة عند سقوطها. فبأي النماذجين تكون كمية الطاقة الناتجة في وحدة الزمن أكبر؟
- أحلّ:** أتخيل أن كل قطعة دومينو تسقط تمثّل انشطار نواة، فأي النماذجين يمثل تفاعلاً يمكن السيطرة عليه؟

### بنية النّواة Structure of the Nucleus

تتكوّن الذرة من نواة موجبة الشحنة تتحرّك حولها إلكترونات سالبة الشحنة، ونظرًا إلى أنّ الذرة متعادلة كهربائيًا، فإنّ شحنة النواة الموجبة تساوي عدديًّا شحنة الإلكترونات السالبة. وعلى الرغم من أنّ حجم النواة صغير جدًا مقارنة بحجم الذرة، فإنّ معظم كتلة الذرة تتركز في النواة على نحو ما يبيّن نتائج تجربة رذرفورد.

تتكوّن النواة من نوعين من الجسيمات؛ بروتونات موجبة الشحنة ونيوترونات متعادلة الشحنة، وكتلة النيوترون مقاربة لكتلة البروتون، ويُطلق اسم **نيوكليون Nucleon** على كلّ من البروتون والنيوترون.

يُطلق على عدد البروتونات داخل النواة اسم **العدد الذري Atomic number** ويرمز إليه بالرمز  $Z$ ، في حين يُسمى مجموع عدد البروتونات والنيوترونات داخل النواة **العدد الكتلي Mass number** ويرمز إليه بالرمز  $A$ . والعدد الذري يعبّر عن شحنة النواة، ويساوي عدد الإلكترونات في الذرة المتعادلة. ويُعبّر عن نواة أيّ عنصر برمزه الكيميائي، إضافة إلى عددها الذري وعددها الكتلي على النحو الآتي:



حيث  $X$  تمثل الرمز الكيميائي للعنصر.

وتساوي نوى عنصر معين في عددها الذري، ولكنّها قد تختلف في عددها الكتلي؛ بسبب اختلاف عدد النيوترونات فيها، وتُسمى **نظائر Isotopes**. ومثال ذلك  $C_6^{12}$  و  $C_6^{14}$ ، وهي ذرات لعنصر (الكريبون) نفسه كونها تمتلك العدد الذري نفسه.

ونظرًا إلى صغر كتل النوى، فإنّ وحدة الكيلوغرام (kg) غير مناسبة للتعبير عن كتلتها؛ لذا عُرّفت وحدة كتلة جديدة تتناسب مع كتل النوى **وحدة الكتلة الذرية (amu)**، وتساوي  $\frac{1}{12}$  من كتلة نظير الكربون 12 ( $^{12}_6C$ ) :

$$1 \text{ amu} = 1.660539 \times 10^{-27} \text{ kg}$$

ويوضح الجدول (1) كتلة كل من البروتون والنيوترون والإلكترون، بوحدة الكيلوغرام ووحدة الكتلة الذرية (amu) حيث أضيف الإلكترون من أجل المقارنة.

**أتحقق:** أُعرّف العدد الكتلي والعدد الذري للنواة. ✓

الفقرة الرئيسية:

تتكوّن النواة من بروتونات ونيوترونات. وفي الطبيعة بعض النوى تكون مستقرة، وبعضها الآخر يكون مشعًا.

نتائج التعلم:

- أميز بين العدد الذري والعدد الكتلي لعنصر ما.
- أنفذ استقصاءً باستخدام رسوم توضيحية لتحديد مكونات النواة الأساسية، محدّداً خصائص كلّ منها من حيث الكتلة والشحنة وعدد كل منها.
- أحلل منحنى الاستقرار النووي.
- أحسب متوسط طاقة الرابط النووية لنواة عنصر بدلالة النقص في كتلة مكونات النواة.

المفاهيم والمصطلحات:

Nucleon	نيوكليون
Atomic Number	العدد الذري
Mass Number	العدد الكتلي
Isotopes	النظائر
Atomic Mass Unit	وحدة الكتلة الذرية
Stability Valley	نطاق الاستقرار
	طاقة الرابط النووية
Nuclear Binding Energy	
Strong Nuclear Force	قوة نووية قوية

الجدول (1):

كتلة كلّ من البروتون والنيوترون والإلكترون.

الكتلة (amu)	الكتلة (kg)	الجسيم
0.000549	$9.1094 \times 10^{-31}$	إلكترون
1.007276	$1.672619 \times 10^{-27}$	بروتون
1.008665	$1.674929 \times 10^{-27}$	نيوترون

## كثافة النواة Density of the Nucleus

معظم النوى تأخذ شكلاً كرويًّا تقريباً، وقد أثبتت التجارب العملية أنَّ نصف قطر النواة ( $r$ ) يتناسب مع الجذر التكعيبي لعدد其 الكتلي:

$$r = r_0 A^{\frac{1}{3}}$$

حيث  $r_0$ : ثابت يساوي تقريباً  $1.2 \times 10^{-15} \text{ m}$

وعليه، فإنَّ حجم النواة ( $V$ ) يتناسب طرديًّا مع عدد其 الكتلي:

$$V = \frac{4\pi}{3} r^3 = \frac{4\pi}{3} r_0^3 A$$

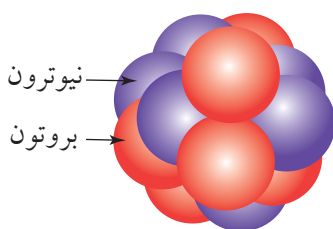
ونظرًا إلى أنَّ النواة تتكون من نيوكليلونات (بروتونات ونيوترونات) كتلتها متقابلة، فإنَّه يمكن التعبير عن كتلة النواة بدلالة كتلة النيوكليلون على النحو الآتي:

$$m = m_{\text{nuc}} A$$

حيث  $m_{\text{nuc}}$ : متوسط كتلة النيوكليلون وتساوي تقريباً  $(1.66 \times 10^{-27} \text{ kg})$ .

وبقسمة كتلة النواة على حجمها أجد أنَّ كثافة النواة لا تعتمد على عدد其 الكتلي، ما يعني أنَّ كثافة المادة النووية عند مركز النواة متساوية في النوى جميعها، وهي كثافة كبيرة جدًّا تساوي تقريباً  $(2.3 \times 10^{17} \text{ kg/m}^3)$ ، فلو افترضنا أنَّ الأرض مصنوعة من مادة نوية فقط (نيوكليلونات)، وكانت كرة نصف قطرها تقريباً  $180 \text{ m}$  فقط.

## المثال ١



الشكل (١): نواة الكربون.

يمثل الشكل (١) رسمًا تخطيطيًّا لنواة عنصر الكربون ورمزه  $C$ ، حيث تمثل الكرات الحمراء البروتونات، والكرات الزرقاء النيوترونات. باستخدام الشكل المجاور أجد ما يأتي: العدد الذريّ، الشحنة الكهربائية للنواة، عدد النيوترونات، العدد الكتلي، عدد النيوكليلونات.

المُعطيات: الشكل

المطلوب:  $Z = ?$ ,  $A = ?$ ,  $N = ?$ ,  $q = ?$

الحلّ:

العدد الذريّ يساوي عدد البروتونات وهو:  $6$

الشحنة الكهربائية للنواة:  $q = Ze = 6 \times 1.6 \times 10^{-19} = 9.6 \times 10^{-19} \text{ C}$

عدد النيوترونات:  $N = 6$

العدد الكتلي للنواة:  $A = Z + N = 6 + 6 = 12$ ، وهو يساوي عدد النيوكليلونات.

لذا تُكتب النواة على الشكل:  $^{12}_6 C$

## المثال 2

أجد لكل من النوى الآتية العدد الذري والعدد الكتلي، وعدد النيوكليونات والنيوترونات، وأضعها في جدول:



المُعطيات:  $^{16}_8 O, \quad ^{17}_8 O, \quad ^{206}_{82} Pb, \quad ^{208}_{82} Pb$

المطلوب:  $Z, A, N$

الحل:	النواة	$Z$	$N$	$A$	عدد النيوكليونات
	$^{16}_8 O$	8	8	16	16
	$^{17}_8 O$	8	9	17	17
	$^{206}_{82} Pb$	82	124	206	206
	$^{208}_{82} Pb$	82	126	208	208

## المثال 3

أجد كتلة البروتون بوحدة الكتلة الذرية.

المُعطيات: كتلة البروتون  $m_p = 1.672622 \times 10^{-27} \text{ kg}$  من جدول (1).

المطلوب:  $m_p = ?$  بوحدة  $\text{amu}$

الحل:

$$m_p = 1.672622 \times 10^{-27} \text{ kg} \times \frac{1 \text{ amu}}{1.660539 \times 10^{-27} \text{ kg}} = 1.007276 \text{ amu}$$

## المثال 4

أجد نسبة نصف قطر النواة  ${}^A_Z X$  إلى نصف قطر النواة  ${}^A_{Z_2} Y$ .

المُعطيات:  $A_X = A, A_Y = 8A$

المطلوب:  $\frac{r_X}{r_Y}$

الحل:

$$\frac{r_X}{r_Y} = \frac{r_0 \sqrt[3]{A_X}}{r_0 \sqrt[3]{A_Y}} = \frac{\sqrt[3]{A}}{\sqrt[3]{8A}} = \frac{1}{\sqrt[3]{8}} = \frac{1}{2}$$

## نطاق الاستقرار Stability Valley

ت تكون النواة من نيوترونات متعادلة الشحنة، وبروتونات موجبة الشحنة محصورة في حيز صغير جدًا، وتؤثر البروتونات بعضها في بعض بقوة تنافر كهربائية. ولو كانت قوة التنافر الكهربائية هي القوة الوحيدة التي تؤثر في البروتونات، لانفصلت وابتعدت بعضها عن بعض، فما الذي يمنع النواة من التفكك؟ لا بد من وجود قوة تجاذب بين البروتونات لتعمل على قوة التنافر الكهربائية، وهذه القوة هي **القوة النووية القوية Strong nuclear force**. وسنكتفي في هذا الكتاب بتسميتها قوة نووية، وهي قوة تجاذب كبيرة بين النيوكليونات، ولا تعتمد على الشحنة الكهربائية؛ أي إنّها تكون قوة تجاذب بين: بروتون وبروتون، بروتون ونيوترون، نيوترون ونيوترون. والقوة النووية قصيرة المدى لا يظهر تأثيرها إلا إذا كانت النيوكليونات قريبة جدًا بعضها من بعض. فإذا زادت المسافة بين نيوكليلون وآخر عن  $3 \text{ fermi}$  تقريبًا، فإنّ القوة النووية تنعدم بينهما، علمًا أنّ ( $1 \text{ fermi} = 10^{-15} \text{ m}$ )، حيث تُستخدم هذه الوحدة في الفيزياء النووية نظرًا إلى أنّ المسافات متناهية في الصغر على مستوى الأبعاد النووية. يوجد في الطبيعة العديد من النوى المستقرة التي تبقى على حالها بمرور الزمن، ويوجد أيضًا نوى أخرى غير مستقرة قد تفقد طاقة أو تشع جسيمات نووية، وتحوّل إلى نوى أخرى أكثر استقرارًا، على نحو ما سأتعلّم لاحقًا. فما الذي يجعل بعض النوى مستقرًا، وبعضاً الآخر غير مستقر؟ إن استقرار النواة يخضع لعوامل عدّة؛ أحدها نسبة عدد النيوترونات إلى عدد البروتونات في النواة، فلا يمكن لنواة تحتوي على البروتونات فقط (باستثناء ذرة الهيدروجين التي تتكون نواتها من بروتون واحد فقط) أن تكون مستقرة؛ لأنّ قوة التنافر الكهربائية بين البروتونات ستؤدي إلى عدم استقرار النواة؛ لذا حتى تكون النواة مستقرة فلا بد من أن تحتوي على عدد مناسب من النيوترونات. والنيوترونات متعادلة كهربائيًا؛ لذا فإنّها تسهم في إضافة قوة تجاذب نووية دون أن تزيد من قوة التنافر الكهربائية داخل النواة. ما يعني أن نسبة عدد النيوترونات إلى عدد البروتونات عامل مهم في استقرار النواة. ولمعرفة المزيد عن هذا العامل، أتأمل نسبة عدد النيوترونات إلى عدد البروتونات  $\frac{N}{Z}$  لبعض النوى المستقرة المبينة في جدول (2)، وأستقصي هذه النسبة.

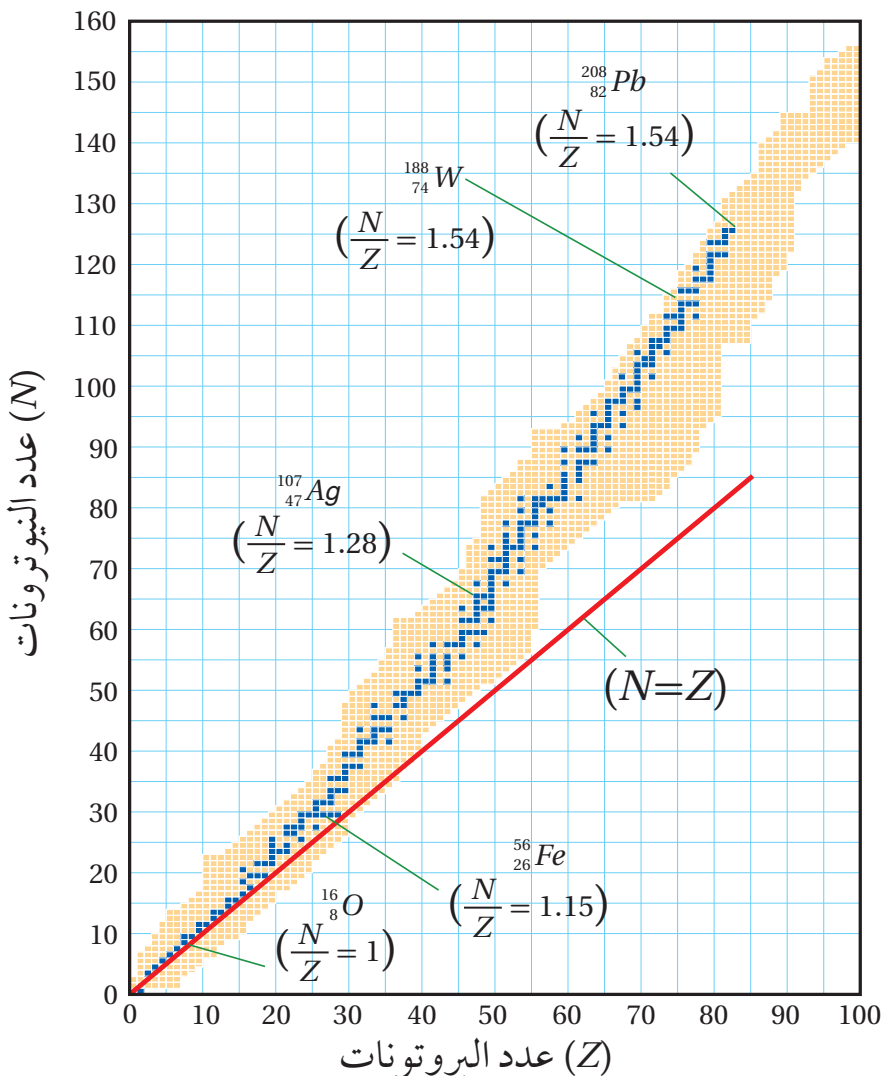
الجدول (2): نسبة عدد النيوترونات إلى عدد البروتونات لبعض النوى المستقرة.

$\frac{N}{Z}$	النسبة	عدد النيوترونات ( $N$ )	عدد البروتونات ( $Z$ )	النواة
1		6	6	$^{12}_6 C$
1		8	8	$^{16}_8 O$
1		20	20	$^{40}_{20} Ca$
1.15		30	26	$^{56}_{26} Fe$
1.4		70	50	$^{120}_{50} Sn$
1.54		126	82	$^{208}_{82} Pb$

ألاحتظ من الجدول (2) ما يأتي:

1. بعض النوى المستقرة التي يقلّ عددها الذري عن 20 أو يساويه مثل  $^{12}_6C$  تمتلك العدد نفسه من البروتونات والنيترونات.
2. النوى المستقرة التي عددها الذري أكبر من 20 وأقل من 83 تحوي عددًا من النيترونات أكبر من عدد البروتونات.
3. ترداد نسبة  $\frac{N}{Z}$  مع زيادة العدد الذري للنوى المستقرة التي يقع عددها الذري بين 20 و 83.

وعند تمثيل العلاقة بين عدد البروتونات وعدد النيترونات للنوى بيانيًّا، نحصل على منحنى يُسمى منحنى  $(N-Z)$ . أتأمل الشكل (2)، حيث مثّلت النوى المستقرة بنقاط زرقاء في حين تمثل النقاط الصفراء النوى غير المستقرة، ويُلاحظ من الشكل (2) أنَّ النوى المستقرة تقع ضمن نطاق ضيق يُسمى **نطاق الاستقرار** ممثلاً بالنقاط الزرقاء.



الشكل (2): توزيع النوى بحسب عدد البروتونات والنيترونات ونطاق الاستقرار.

الاحظ من الرسم أنّ معظم النوى المستقرة التي عددها الذري ( $Z \leq 20$ ) لها نسبة  $(1 = \frac{N}{Z})$  مثل  $^{40}_{20} Ca$ ,  $^{16}_{6} C$ ,  $^{12}_{8} O$ ، وهناك نوى مثل  $^{7}_{3} Li$  نسبة  $\frac{N}{Z}$  لها لا تساوي 1، وبزيادة عدد البروتونات تزداد قوة التنافر بينها، فيتطلب ذلك عددًا أكبر من النيترونات لجعل القوة النووية هي القوة السائدة في النواة ما يؤدي إلى استقرارها. وتزداد قيمة النسبة  $\frac{N}{Z}$ - بزيادة عدد البروتونات لتصل إلى 1.54 تقريبًا لنواة الرصاص  $^{208}_{82} Pb$ . إن امتلاك نواة الرصاص 126 نيوترونًا مقابل 82 بروتونًا يسهم في زيادة القوة النووية؛ كي تغلب على قوى التنافر الكهربائية المتبادلة بين البروتونات، ما يؤدي إلى استقرار النواة.

ولا يوجد نوى مستقرة عددها الذري ( $Z > 82$ )؛ لأنّ عدد البروتونات يصبح كبيرًا، فتزداد قوة التنافر الكهربائية إلى حدٍ يؤدي إلى عدم استقرار النواة. إن إضافة بروتون واحد يؤدي إلى زيادة كبيرة في مقدار قوة التنافر الكهربائي؛ لأنّه يتنافر مع 82 بروتونًا، أمّا إضافة نيوترون واحد فلا يضيف إلا قليلاً من قوة التجاذب النووية؛ لأنّها قوة قصيرة المدى، والنيترون الإضافي يتفاعل مع النيوكليونات القريبة منه فقط.

**أتحقق:** ما نسبة  $\frac{N}{Z}$  التي تستقرّ عندها النوى التي يقلّ عددها الذري عن 20؟ ✓

**أفخر:** أيهما أكبر القوة النووية المؤثرة في نيوكليون موجود على سطح النواة أم المؤثرة في نيوكليون موجود داخل النواة؟ أفسّر ذلك.

## طاقة الربط النووية Nuclear Binding Energy

بيّن العالم أينشتين عام 1905 أنّ الطاقة ( $E$ ) ترتبط بالكتلة ( $m$ ) بالعلاقة الآتية:

$$E = mc^2$$

حيث  $c$ : سرعة الضوء في الفراغ  $3 \times 10^8 \text{ m/s}$   
و  $E$ : الطاقة المكافئة للكتلة بوحدة الجول (J)  
و  $m$ : كتلة الجسم بوحدة (kg)  
وتُسمى العلاقة السابقة تكافؤ (الكتلة - الطاقة).

خلص أينشتين إلى أنّ كتلة الجسم هي مقياس لمحتوى الجسم من الطاقة وتحوّل الكتلة إلى طاقة أو العكس بحسب العلاقة  $E = \Delta m c^2$ , حيث  $\Delta m$  تمثل التغيير في كتلة الجسم. وهذه التغييرات يمكن ملاحظتها على مستوى الأجسام الذرية أو دون الذرية (دون الجاهريّة) على نحو ما هو موجود في التفاعلات النووية. وعليه، فإنّه عند دراسة التغييرات على المستوى دون الجاهري لا بدّ من تطبيق مبدأ حفظ (الكتلة - الطاقة) بدلاً من مبدأ حفظ الطاقة.

ونظرًا إلى أنّ سرعة الضوء كبيرة جدًا، فإنّ تغييرًا صغيرًا جدًا في الكتلة ينتج عنه مقدار كبير من الطاقة. فتغير الكتلة بمقدار  $(1 \text{ amu} = 1.660539 \times 10^{-27} \text{ kg})$  ينتج منه طاقة مقدارها  $(1.494449 \times 10^{-10} \text{ J})$  (931.5 MeV)، وهذا يساوي تقريبًا، أيًّا أنّ:

$$1 \text{ amu} = 931.5 \text{ MeV}$$

وبذلك عند استخدام الكتلة بوحدة (amu)، يمكن كتابة معادلة تكافؤ (الكتلة - الطاقة) على الصورة:

$$E = \Delta m \times 931.5 \text{ MeV}$$

ومن الناحية العملية، فهذه الصورة لمعادلة تكافؤ (الكتلة-الطاقة) هي المستخدمة في الحسابات النووية.

✓ **أتحقق:** أكتب بالرموز علاقة تكافؤ (الكتلة - الطاقة).

ترتبط النيوكليونات داخل النواة بعضها البعض بقوة التجاذب النووية القوية. ولفصل النيوكليونات بعضها عن بعض يجب تزويدها بطاقة تمكّنها من التغلّب على قوة التجاذب النووية. وتُعرّف طاقة الربط النووية **Nuclear binding energy (BE)** بأنّها الطاقة التي يجب تزويدها للنواة لفصل مكوناتها (النيوكليونات) بعضها عن بعض نهائياً.

إن الفرق بين كتلة النواة ومجموع كتل مكوناتها مضروراً بربع سرعة الضوء يساوي طاقة الربط النووية، ويُحسب فرق الكتلة من العلاقة الآتية :

$$\Delta m = Z m_p + N m_n - M$$

حيث  $M$ : كتلة النواة

و  $m_p$ : كتلة البروتون

و  $m_n$ : كتلة النيترون

علماً أن مجموع كتل مكونات النواة دائمًا أكبر من كتلة النواة. وتحسب طاقة الربط النووية ( $BE$ ) بوحدة (MeV) لأي نواة من العلاقة الآتية:

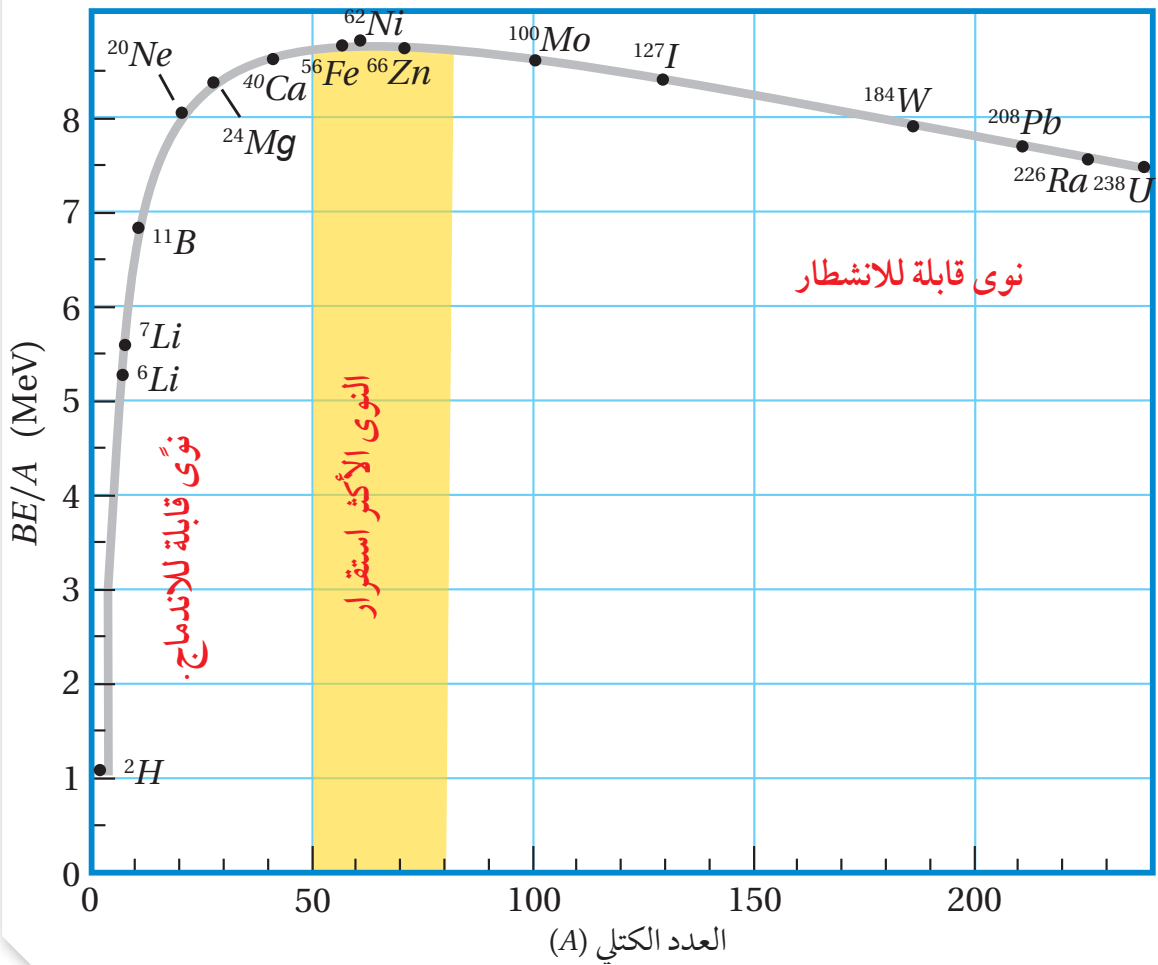
$$BE = \Delta m \times 931.5 = (Z m_p + N m_n - M) \times 931.5$$

وبين الجدول (3) طاقة الربط النووية لبعض النوى، وعلى نحو ما هو متوقع، كلما زاد عدد النيوكليونات، زادت الطاقة اللازمة لفصلها، أي زادت طاقة الربط النووية.

عند تزويد النواة بطاقة (تساوي طاقة الربط النووية) لفصل مكوناتها كلها، فإن هذه الطاقة تتوزع على النيوكليونات. ويمكن حساب متوسط الطاقة التي حصل عليها كل نيوكليون بقسمة طاقة الربط النووية للنواة ( $BE$ ) على عدد النيوكليونات التي تحتويها ( $A$ ). وتسمى ( $BE/A$ ) طاقة الربط النووية لكل نيوكليون التي تُعد مؤشراً على مدى استقرار النواة. فنواة ( $^{62}_{28}Ni$ ) لها أكبر طاقة ربط نووية لكل نيوكليون (8.795 MeV)، لذا فهي أكثر استقراراً من النوى الثلاث الأخرى المُبيّنة في الجدول (3). فكلما زادت طاقة الربط النووية لكل نيوكليون، زاد استقرار النواة.

الجدول (3): طاقة الربط النووية وطاقة الربط لكل نيوكليون لبعض النوى.

$BE/A$ (MeV)	$BE$ (MeV)	$A$	النواة
5.606	39.24	7	( $^7_3Li$ ) ليثيوم
8.795	545.26	62	( $^{62}_{28}Ni$ ) نيكل
8.554	915.26	107	( $^{107}_{47}Ag$ ) فضة
7.875	1622.32	206	( $^{206}_{82}Pb$ ) رصاص

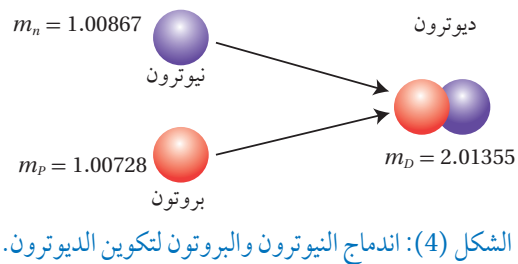


الشكل (3) يمثل العلاقة بين طاقة الربط النووية للكل نيو كليون والعدد الكتلي. ألا يلاحظ أن طاقة الربط النووية للكل نيو كليون تصل إلى قيمة عظمى عند نواة اليكيل ( $^{62}Ni$ ) يليها نواة الحديد ( $^{56}Fe$ ) ما يعني أنهما أكثر استقراراً من غيرهما. لذلك فإن النوى الخفيفه تمثل إلى الاندماج لتكوين نواة أثقل ذات طاقة ربط نووية لكل نيو كليون أكبر. وكذلك فإن انشطار نواة ثقيلة ينتج منه نوى ذات طاقة ربط نووية لكل نيو كليون أكبر على نحو ما سأدرس لاحقاً في هذه الوحدة. إن طاقة الربط النووية للكل نيو كليون تتغير بمقدار قليل مع زيادة العدد الكتلي للنوى التي عددها الكتلي ( $A > 60$ ). ويعزى ذلك إلى أن القوة النووية قصيرة المدى، بمعنى أن النيوكليون داخل النواة يتجاذب مع النيوكليونات المحيطة به فقط، ولا يتأثر بباقي النيوكليونات وهذا ما يعرف بإشباع القوة النووية القوية.

الشكل (3): منحنى يمثل علاقة طاقة الربط النووية للكل نيو كليون بالعدد الكتلي. اندماج نواتين خفيفتين أو انشطار نواة ثقيلة يحرر طاقة؛ لأن النوى الناتجة ذات طاقة ربط نووية للكل نيو كليون أكبر.

**أتحقق:** أي النوى أكثر استقراراً؟ ✓

## المثال 5



تُسمى نواة الديتيريوم بالديوترون ( ${}^2H \equiv D$ )، وتتكوّن من بروتون ونيوترون كما في الشكل (4)، أحسب فرق الكتلة بين كتلة الديوترون ومجموع كتلتي البروتون والنيوترون، ثم أحسب الطاقة المكافأة لها، معتمداً على الجدول الآتي:

الكتلة (amu)	الجسم أو النواة
1.00728	$m_p$
1.00867	$m_n$
2.01355	$m_D$

المعطيات: الكتل في الجدول

المطلوب:  $\Delta m = ?$ ,  $BE = ?$

الحلّ:

$$\Delta m = m_n + m_p - m_D = 2.01595 - 2.01355 = 0.00240 \text{ amu}$$

$$BE = \Delta m \times 931.5 = 0.00240 \times 931.5 = 2.2356 \text{ MeV}$$

لاحظ أنَّ مجموع كتلتي البروتون والنيوترون منفردين أكبر من كتلة الديوترون، فأين ذهب فرق الكتلة؟ عند إندماج البروتون والنيوترون لتكوين الديوترون يتحوّل فرق الكتلة إلى طاقة، وتساوي طاقة الرابط النووي للديوترون.

## المثال 6

إذا كان فرق الكتلة بين كتلة نواة ( ${}^{208}_{82}Pb$ ) وكتلة مكوناتها يساوي ( $2.90 \times 10^{-27} \text{ kg}$ )، أحسب طاقة الرابط النووية للنواة بوحدة ج وبوحدة MeV.  
المعطيات:

$$\Delta m = 2.90 \times 10^{-27} \text{ kg}, c = 3 \times 10^8 \text{ m/s}, 1 \text{ amu} = 931.5 \text{ MeV}$$

المطلوب:  $BE$  بوحدة ج وبوحدة MeV

الحلّ:

بوحدة الجول

$$BE = \Delta m c^2 = 2.90 \times 10^{-27} \times (3 \times 10^8)^2 = 2.61 \times 10^{-10} \text{ J}$$

لحساب الطاقة بوحدة (MeV)، أحوال الطاقة من وحدة (J) إلى وحدة (MeV) على النحو الآتي:

$$BE = 2.61 \times 10^{-10} J \times \frac{1 \text{ eV}}{1.6 \times 10^{-19} \text{ J}} = 1.631 \times 10^9 \text{ eV} = 1631 \text{ MeV}$$

## المثال 7

أجد طاقة الربط النووية وطاقة الربط النووية لكُل نوكليون لنواة كلٌّ من (الرصاص  $^{206}_{82}Pb$  والليثيوم  $^7_3Li$ )، علمًا أنَّ كتل النوى مرفقة في الجدول الآتي:

$m_{^{206}_{82}Pb}$	$m_{^3Li}$	$m_n$	$m_p$	الجسيم أو النواة
205.92945	7.01436	1.00867	1.00728	الكتلة (amu)

المعطيات: الجدول،  $amu = 931.5 \text{ MeV}$

المطلوب:  $BE=?$ ,  $BE/A=?$

الحل:

$$\begin{aligned} BE(Pb) &= (Z m_p + N m_n - M) \times 931.5 \\ &= (82 \times 1.00728 + 124 \times 1.00867 - 205.92945) \times 931.5 \\ &= 1.7426 \times 931.5 = 1623 \text{ MeV} \end{aligned}$$

$$\frac{BE(Pb)}{A} = \frac{1623}{206} = 7.878 \text{ MeV}$$

$$\begin{aligned} BE(Li) &= (Z m_p + N m_n - M) \times 931.5 \\ &= (3 \times 1.00728 + 4 \times 1.00867 - 7.01436) \times 931.5 \\ &= 0.04216 \times 931.5 = 39.27 \text{ MeV} \end{aligned}$$

$$\frac{BE(Li)}{A} = \frac{39.27}{7} = 5.61 \text{ MeV}$$

# مراجعة الدرس

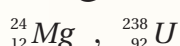
1. **الفكرة الرئيسية:** أوضح المقصود بما يأتي: العدد الذري، العدد الكتلي، النيوكليون، طاقة الربط النووية، نطاق الاستقرار.

2. **استخدم المتغيرات:** النواة ( $X$ ) لها ثمانية أضعاف العدد الكتلي للنواة ( $Y$ ). أجد نسبة:  
 أ. نصف قطر النواة ( $X$ ) إلى نصف قطر النواة ( $Y$ ).  
 ب. حجم النواة ( $X$ ) إلى حجم النواة ( $Y$ ).  
 ج. كثافة النواة ( $X$ ) إلى كثافة النواة ( $Y$ ).

3. أجد للنواة ( ${}^7_3 Li$ )، عدد البروتونات وعدد النيترونات وعدد النيوكليونات.

4. **أناقش:** للنيترون دور مهم في استقرار النواة، أناقش زملاي/ زميلاتي في صحة هذه العبارة.

5. **أتوقع أي** النواتين الآتتين مستقر، وأيهما غير مستقر، مع بيان السبب:



6. **أحسب** طاقة الربط النووية وطاقة الربط النووية لكل نيوكليون لنواتي (النيكل  ${}^{56}_{28} Ni$  ، والحديد  ${}^{56}_{26} Fe$ )، حيث:

$m_{{}^{56}_{26} Fe}$	$m_{{}^{62}_{28} Ni}$	$m_n$	$m_p$	الجسيم أو النواة
55.92066	61.91297	1.00867	1.00728	(amu) الكتلة

7. **استنتج:** يمثل الجدول الآتي: طاقة الربط النووية والعدد الكتلي لبعض النوى، فأي النوى أكثر استقراراً؟  
 أفسّر إجابتي.

العدد الكتلي	طاقة الربط النووية	النواة
200	1600 MeV	X
56	492 MeV	Y
4	28 MeV	Z

8. **التفكير الناقد:** يلاحظ من منحنى طاقة الربط النووية لكل نيوكليون مع العدد الكتلي أن طاقة الربط النووية لكل نيوكليون لا تتغير كثيراً بعد العدد الكتلي (60). فهل لذلك علاقة بأن القوة النووية قصيرة المدى؟ أفسّر إجابتي.

### الاضمحلال الإشعاعي Radioactivity Decay

اكتشف العالم بيكرل عام 1896 أنَّ أملاح اليورانيوم تؤثُّر في الألواح الفوتografية، بالرغم من تعليقها لحمايتها من الضوء ومنعه من التأثير فيها، وخلص إلى أنَّ أملاح اليورانيوم تبعث تلقائياً، دون الحاجة إلى تحفيز خارجيٍّ، نوعاً جديداً من الإشعاع. وفي نهاية القرن التاسع عشر، اكتشفت ماري كوري وزوجها بيير كوري عنصرين جديدين يُصدران نوعاً مماثلاً للإشعاع الصادر عن أملاح اليورانيوم، وأطلقَا عليهما اسمِي البولونيوم والراديوم.

وبيَّنت التجارب أنَّ هناك ثلاثة أنواع من الإشعاعات؛ أطلق عليها أسماء ألفا ( $\alpha$ ) وبيتا ( $\beta$ ) وغاما ( $\gamma$ ). وجسيمات ألفا هي نوى الهيليوم ( ${}_{2}^{4}\text{He}^{+2}$ )، أمّا جسيمات بيتا، فقد تكون بيتا السالبة ( $\beta^{-}$ ) وهي إلكترونات ( ${}_{-1}^{0}\text{e}^{-}$ )، أو بيتا الموجبة وهي بوزيترونات ( ${}_{+1}^{0}\text{e}^{+}$ ). والبوزيترون جسيم له كتلة إلكترون نفسها، لكنَّه يحمل شحنة موجبة مساوية لشحنة إلكترون ( $\text{C} = 1.6 \times 10^{-19}$ ). أمّا أشعة غاما، فهي أشعة كهرمغناطيسية (فوتونات) ذات تردد عالٍ ليس لها كتلة أو شحنة. والاضمحلال الإشعاعي **Radioactive decay** هو التحول التلقائي لنواة غير مستقرة إلى نواة أكثر استقراراً عن طريق انبعاث جسيمات مثل جسيم ألفا أو جسيم بيتا، غالباً ما يصاحب ذلك انبعاث أشعة غاما.

الإشعاعات النووية الثلاثة؛ ألفا وبيتا وغاما، تُعدُّ جميعها من الإشعاعات النووية المؤينة بسبب قدرتها على تأين ذرات الوسط الذي تمرُّ فيه. ولهذه الأشعة خصائص مميزة مثل، قدرتها على التأين، وقدرتها على النفاذ. إنَّ كتلة جسيمات ألفا نحو أربعة أضعاف كتلة البروتون تقريباً، وشحنتها ضعفاً شحنة البروتون، ما يجعل تفاعಲها مع ذرات الوسط الذي تمرُّ فيه كبيراً مقارنة بتفاعل جسيمات بيتا وأشعة غاما، فتفقد طاقتها بسرعة؛ لذا فإنَّ قدرتها على تأين ذرات الوسط الذي تمرُّ فيه أكبر من قدرة جسيمات بيتا وأشعة غاما، في حين أنَّ قدرتها على النفاذ أصغر. وفي المتوسط، تعبُر جسيمات ألفا في الهواء مسافة (3.7 cm) تقريباً قبل أن

#### الفكرة الرئيسية:

تبعد النوى غير المستقرة إشعاعات بطاقة مختلفة، وهذه الإشعاعات مزايا ولها أيضاً أخطار.

#### نتائجُ التعلم:

أقارن بين جسيمات ألفا وبيتا وأشعة غاما اعتماداً على تفاعلاتها مع الأوساط المادية.

أستقصي التغييرات التي تطرأ على خصائص النواة عند انبعاث أحد الإشعاعات النووية منها (ألفا أو بيتا أو غاما).

أحلل رسموماً بيانياً لتوضيح المقصود بمعدل الاضمحلال النووي لعينة من نوى نظير مشع، وأربط ذلك بعمر النصف للنظير المشع.

#### المفاهيم والمصطلحات:

الاضمحلال الإشعاعي

Radioactive Decay

عمر النصف

Half-Life

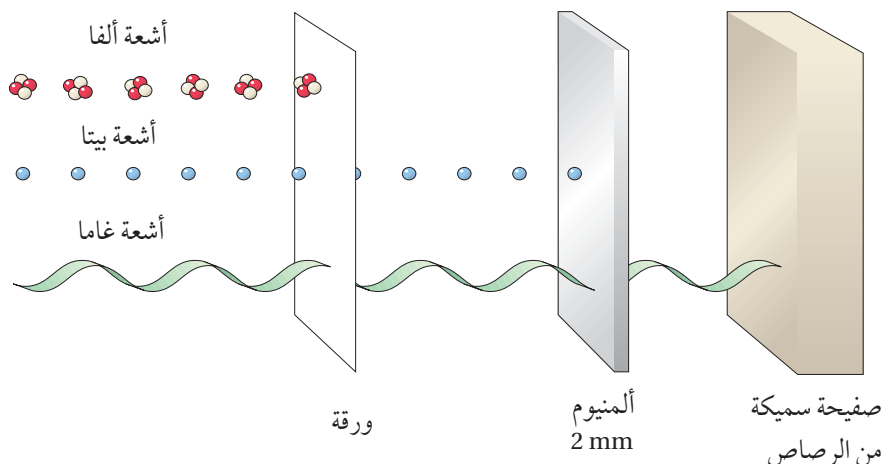
النشاطية الإشعاعية

سلسل الاضمحلال الإشعاعي الطبيعي

Natural Radioactive Decay Series

الشكل (5): قدرة الأشعة النووية  
ألفا وبيتا وغاما على النفاذ.

لماذا اخترقت أشعة غاما الورقة  
والألمنيوم في حين لم تخترق  
ألفا الورقة؟



تمتص طاقتها كاملة. ويمكن أيضًا امتصاص طاقة جسيم ألفا كاملة باستخدام حاجز رقيق من الورق. أمّا أشعة غاما، فهي الأقل قدرة على التأين والأكثر قدرة على الاختراق؛ لأنّها لا تحمل شحنة كهربائية، وليس لها كتلة. ولمقارنة قدرة الإشعاعات النووية الثلاثة على اختراق الأوساط المادّية أتأمّل الشكل (5). ويمثل الجدول (4) مقارنة بين خصائص الإشعاعات النووية.

يُطلق على انبعاث جسيمات ألفا أو انبعاث جسيمات بيتا أو انبعاث أشعة غاما أضمحلالًا. وفيما يأتي سأعرّف المزيد عن هذه الأضمحلالات الثلاثة.

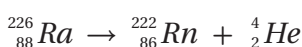
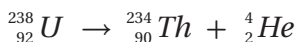
الجدول (4): خصائص الإشعاعات النووية.

غاما	بيتا	ألفا	نوع الأشعة
ليس لها شحنة	$-e$ أو $+e$	$+2e$	الشحنة
صفر	$0.0005 \text{ amu}$	$4.0015 \text{ amu}$	الكتلة
كبيرة (تمتص باستخدام حاجز رقيق من الورق) (ستمتراط عدّة من الرصاص)	متوسطة (بضعة ملمترات من الألمنيوم)	قليله (تمتص على النفاذ)	القدرة على النفاذ
قليله	متوسطة	كبيرة	القدرة على التأين

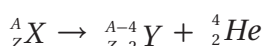
**تحقق:** أقارن بين الإشعاعات النووية ألفا وبيتا وغاما من حيث قدرة كل منها على التأين، وقدرتها على الاختراق.

## اضمحلال ألفا Alpha Decay

جسيمات ألفا ( $\alpha$ ) تبعث في الغالب من النوى الثقيلة ( $Z > 82$ ) غير المستقرة، ويخرج نوأة جديدة تختلف في عددها الذري وعددها الكتلي عن النواة الأم، على نحو ما هو موضح فيما يأتي:



فجسيم ألفا ينبع من نوأة نظير اليورانيوم ( $^{238}_{92} U$ ) غير المستقر (النوأة الأم) ليخرج عن ذلك نوأة نظير الشوريوم ( $^{234}_{90} Th$ ). وعندما يغادر جسيم ألفا النواة، فإنّها تخسر بروتونين ونيوترونين؛ لذا فإنّ العدد الذري للنواة الناتجة يقلّ 2، في حين يقلّ عددها الكتلي بمقدار 4 مقارنة بالنواة الأم، كما في المعادلتين السابقتين. ويمكن التعبير عن معادلة اضمحلال ألفا بالمعادلة الآتية:



الاحظ أن مجموع العدد الذري للنوى والجسيمات الناتجة من اضمحلال يساوي العدد الذري للنواة المضمحة، وكذلك مجموع العدد الكتلي للنوى والجسيمات الناتجة من الاضمحلال يساوي العدد الكتلي للنواة المضمحة.

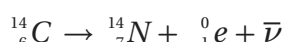
**تحقق:** أبين ما التغيير الذي يطرأ على كلّ من العدد الذري والعدد الكتلي للنواة الأم عند انبعاث جسيم ألفا منها.

تحوي أجهزة إنذار الدخان مصدرًا إشعاعيًّا صغيرًا يطلق جسيمات ألفا، وعادةً ما يكون نظير الأمريسيوم -241. حيث تعمل جسيمات ألفا على تأمين جزيئات الهواء داخل جهاز الإنذار، ما يؤدي إلى مرور تيار كهربائي. وعندما يمتصّ الدخان بعض جسيمات ألفا، فإنه يقلّل من عدد الأيونات في الهواء ويقلّ التيار الكهربائي، فينطلق جهاز إنذار الحريق، وأتمّل الشكل.



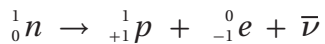
## اضمحلال بيتا Beta Decay

إنّ النوى التي تقع فوق نطاق الاستقرار تمتلك فائضًا من النيوترونات، ويلزمها تقليل عدد النيوترونات وزيادة عدد البروتونات لتقترب نسبة ( $\frac{N}{Z}$ ) فيها من نسبة الاستقرار، ويتم ذلك عن طريق إشعاع جسيم بيتا السالبة ( $^{-\beta}$ )، وهو إلكترون ( $^{-1}_- e$ ) ومثال ذلك التفاعل الآتي:

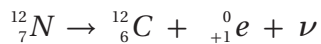


الاحظ أنّ العدد الذري للنواة الناتجة قد زاد بمقدار (1)، في حين بقي العدد الكتلي ثابتاً مقارنة بالنواة الأم. والرمز ( $\bar{\nu}$ ) يمثل جسيماً يُسمى ضديد النيوترينو، وهو جسيم متعادل الشحنة، وكتلته متناهية في الصغر.

وينتاج جسيم بيتا السالبة من تحلل أحد نيوترونات النواة (وهي نواة الكربون  $^{14}_6C$  في هذا المثال) وتحوله إلى بروتون، وجسيم بيتا السالبة، وضديد النيوتروينو ( $\bar{\nu}$ ) على نحو ما في المعادلة الآتية:

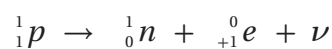


أما النوى التي تقع أسفل نطاق الاستقرار، فإنّها تمتلك فائضاً من البروتونات، ولكي تصل إلى حالة الاستقرار يتطلّب ذلك تقليل عدد البروتونات وزيادة عدد النيوترونات، ويتحقق ذلك بإشعاع جسيم بيتا الموجبة ( $\beta^+$ ) وهو بوزترون ( $^{+1}_0e$ ). ومثال ذلك التفاعل الآتي:



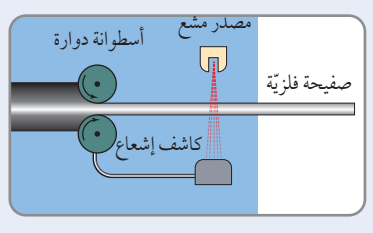
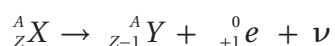
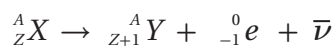
لاحظ أنّ العدد الذري للنواة الناتجة يقلّ بمقدار (1) عن النواة الأم، في حين يبقى العدد الكتلي ثابتاً. ويُطلق على الجسيم ( $\nu$ ) اسم النيوتروينو، وهو جسيم متوازن الشحنة ذو كتلة متناهية في الصغر.

وينتاج جسيم بيتا الموجبة من تحلل أحد بروتونات النواة الأم (وهي  $^{12}_7N$  في هذا المثال) وتحوله إلى نيوترون وجسيم بيتا الموجبة ونيوتروينو على نحو ما في المعادلة الآتية:



وتجدر الإشارة إلى أنّ النواة لا تحتوي على إلكترونات أو بوزترونات، وهذه الجسيمات تنشأ لحظة تحول بروتون إلى نيوترون، أو العكس عند حدوث أضمحلال بيتا، وتغادر النواة مباشرة.

ويمكن التعبير عن معادلتي أضمحلال بيتا السالبة وبيتا الموجبة بالمعادلتين الآتىتين:



**أَفْخَر:** تُستخدم أشعة بيتا في ضبط سُمك الورق، فهل تصلح أشعة غاما أو ألفا لذلك؟ أفسر إجابتك.

**أَتَحَقَّق:** أبِين ما التغيير الذي يطرأ على كلّ من العدد الذري والعدد الكتلي للنواة عند انبعاث جسيم  $\beta^+$  أو جسيم  $\beta^-$  منها.

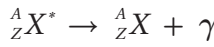
### اضمحلال غاما Gamma Decay

تعلّمْتُ أنّ الإلكترونات تتوزّع في مستويات طاقة في الذرة، كذلك تتوزّع النيوكليونات في مستويات طاقة داخل النواة تبدأ من مستوى الاستقرار Ground state؛ وهو المستوى الأقل طاقة للنواة. وعند إشعاع النواة لجسيمات

## الربط بالเทคโนโลยيا

تُستخدم أشعة غاما في الصناعة للكشف عن الشقوق في لحام المعادن، حيث يوضع مصدر غاما على أحد جانبي اللحام، وتوضع لوحة فوتوغرافية على الجانب الآخر. وسوف تظهر نقاط الضعف في اللحام على اللوحة الفوتوغرافية بطريقة مشابهة لصورة الأشعة السينية للعظم المكسور.

بيتا أو جسيمات ألفا، قد تكون النواة الناتجة في مستوى الاستقرار أو في مستوى إثارة (مستوى طاقة أعلى من مستوى الاستقرار). فإذا كانت النواة الناتجة في مستوى إثارة، فإنّها قد تنتقل إلى مستوى الاستقرار عن طريق إطلاق أشعة غاما، وهي أشعة كهرمغناطيسية (فوتونات) ذات تردد كبير جدًا، وليس لها شحنة أو كتلة؛ لذلك لا يتغيّر العدد الذري أو العدد الكتلي للنواة عند انبعاثها. ويمكن التعبير عن اضمحلال غاما بالمعادلة الآتية:

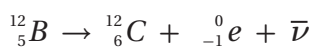


حيث  $^{A_Z}X^*$  : النواة في مستوى إثارة.

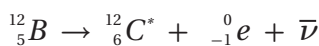
$^{A_Z}X$  : النواة في مستوى الاستقرار.

$\gamma$  : أشعة غاما المنبعثة.

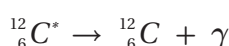
وطاقة أشعة غاما المنبعثة تساوي فرق الطاقة بين مستوى الإثارة ومستوى الاستقرار للنواة الناتجة. ومن الأمثلة على ذلك، نواة البورون  $^{12}_5B$ ، حيث تُعدّ نواة البورون من باعثات بيتا السالبة؛ لأنّها تمتلك عدًّا من النيوترونات أكبر من عدد البروتونات، وعدد其 الذري أقل من 20، لذا فهي تقع فوق نطاق الاستقرار. ويبيّن الشكل (6) رسمًا تخطيطيًّا للتغييرات الطاقة عند اضمحلال نواة البورون  $(^{12}_5B)$  بطريقتين؛ الطريقة الأولى تتجزء نواة الكربون-12 في مستوى الاستقرار حسب المعادلة الآتية:



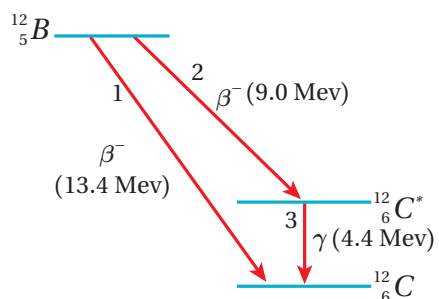
حيث يتحرّر  $13.4 \text{ MeV}$  من الطاقة نتيجة لهذا الأضمحلال. والطريقة الثانية ينتج عنها نواة الكربون-12 في مستوى إثارة طاقتها  $4.4 \text{ MeV}$ ، كما هو مبيّن في المعادلة الآتية:



حيث  $^{12}_6C^*$  نواة الكربون المثار، ويتحرّر مقدارًّا من الطاقة يساوي  $9.0 \text{ MeV}$  نتيجةً لهذا الأضمحلال. وتخلّص ذرة الكربون المثار ( $^{12}_6C^*$ ) من الطاقة الفائضة بإطلاق أشعة غاما طاقتها تساوي  $4.4 \text{ MeV}$  لتصل إلى مستوى الاستقرار، بحسب المعادلة الآتية:



**أتحقق:** أيّن ما يحدث لـ كلّ من العدد الذري والعدد الكتلي للنواة عند انبعاث أشعة غاما منها. ✓



الشكل (6): اضمحلال نواة البورون-12 بطريقتين.



أصمّم باستخدام برنامج عرضًّا لثلاثة مستويات (Scratch) طاقة، أوّضّح فيه نوّي تشع ألفا وبيتا وغاما، مُوضّحاً فيه التغييرات التي تطرأ على العدد الذري والعدد الكتلي للنواة الأُم. ثم أعرضه على زملائي / زميلاتي في الصف.

## المثال 8

أدرس المعادلة الآتية، ثم أقارن بين كلٌ من: العدد الذري، والعدد الكتلي للنواة الناتجة والنواة الأم، وأفسّر سبب هذا التغيير.



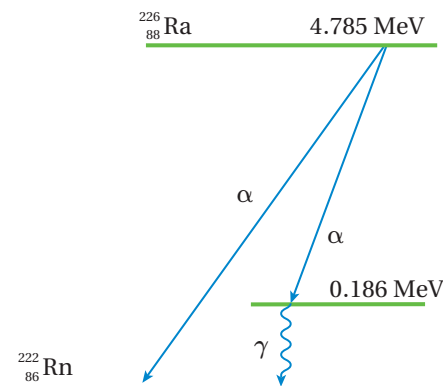
المُعطيات: المعادلة

المطلوب: المقارنة بين كلٌ من: العدد الذري، والعدد الكتلي للنواة الناتجة والنواة الأم، وتفسير سبب هذا التغيير.

الحل:

يتكون جسيم ألفا من بروتونين ونيوترونين، وعند انبعاث جسيم ألفا من النواة الأم فإنّها تخسر بروتونين ونيوترونين؛ لذا يقلّ عددها الذري بمقدار (2)، وعددها الكتلي بمقدار (4).

## المثال 9



الشكل (7): اضمحلال نواة الراديوم -226.

يمثل الشكل (7) اضمحلال نواة الراديوم ( $^{226}_{88}Ra$ ) إلى نواة الرادون ( $^{222}_{86}Rn$ ). عند الكشف عن جسيمات ألفا، وجد أنّها توجد بطاقيتين مختلفتين.

أ. ما مقدار طاقتى جُسيم ألفا؟

ب. ما مقدار طاقة أشعة غاما؟

ج. أكتب معادلة اضمحلال أشعة غاما.

د. أكتب معادلة اضمحلال ألفا الذي يتوج عنه طاقة أكبر.

المُعطيات: الشكل (7).

المطلوب:  $E_\alpha$ ،  $E_\gamma$ ، معادلة اضمحلال غاما، معادلة اضمحلال التي تُنتج جسيم ألفا بطاقة أكبر.

الحل:

أ. طاقتى جُسيم ألفا هما:

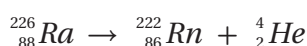
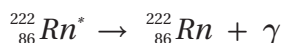
ب. طاقة أشعة غاما

ج. معادلة اضمحلال غاما

د. معادلة اضمحلال ألفا الذي يتوج عنه طاقة أكبر

$$E_\alpha = 4.785 - 0.186 = 4.599 \text{ MeV}$$

$$E_\gamma = 0.186 \text{ MeV}$$



أدرس التفاعلين النوويين الآتيين، ثم أبين التغيرات التي طرأت على كلٌ من العدد الذري والعدد الكتلي للنواة التي تشع جسيمات بيتا السالبة أو بيتا الموجبة.



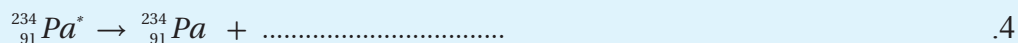
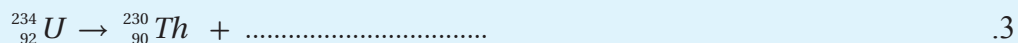
الحلّ:

عند انبعاث جسيم بيتا السالبة، فإنَّ العدد الذري للنواة الأم يزداد بمقدار (1)، في حين يبقى العدد الكتلي ثابتاً.

أمّا عند انبعاث جسيم بيتا الموجبة، فإنَّ العدد الذري للنواة الأم يقلُّ بمقدار (1)، في حين يبقى العدد الكتلي ثابتاً.

### لتمرين

أكمل المعادلات النووية الآتية:



# التجربة ١

## استقصاء الاضمحلال الإشعاعي

**المواد والأدوات:** 50 قطعة نقد معدنية، قفازان، نظارة واقية.

**إرشادات السلامة:** ارتداء النظارة الواقية والقفازين.

### خطوات العمل:

بالتعاون مع أفراد مجموعتي أُنفذ الخطوات الآتية:

- أُلقي بقطع النقد معاً على سطح الطاولة، ثم أحصي عدد القطع التي ظهرت فيها الصورة للأعلى، وأرمز إليه بالرمز ( $N$ )، وأدّونه في الجدول.

(تُعدُّ القطعة التي ظهرت فيها الكتابة إلى الأعلى نواةً اضمحللت، والقطعة التي ظهرت فيها الصورة إلى الأعلى نواةً مشعة).

- أجمع القطع التي ظهرت فيها الصورة للأعلى (المشعة) ثم ألقيها مرة أخرى، وأحصي عدد القطع التي ظهرت فيها الصورة للأعلى، وأدّونه في الجدول.

- أكرر الخطوة السابقة حتى يصبح عدد القطع التي ظهرت فيها الصورة للأعلى أقلً من أربع قطع.  
ثم أدون النتائج في الجدول.

### التحليل والاستنتاج:

- ما العلاقة بين مقدار النقص في عدد القطع النقدية التي ظهرت فيها الصورة للأعلى ( $\Delta N$ ) وعدد القطع النقدية التي أُلقيت في كل محاولة.

- أمثل بيانياً** النتائج المرصودة في الجدول بوضع عدد القطع التي ظهرت فيها الصورة للأعلى على محور  $x$ ، وعدد المحاولات على محور  $y$ .

- أستنتج:** أقسم عدد الصور في كل محاولة على عدد الصور في المحاولة التي تسبقها. هل يمكن استنتاج نمط رياضي يربط  $\frac{N}{N_0}$  بعدد المحاولات ( $n$ )؟

- أستنتاج:** إنَّ احتمال الحصول على صورة أو كتابة في رمي قطع النقد يساوي  $\left(\frac{1}{2}\right)$ ، ما يعني توقيع الحصول على نصف العدد من الصور في كل محاولة، وهذا يشبه عمر النصف في الاضمحلال الإشعاعي ( $t_{1/2}$ )،  
أستنتاج العلاقة بين عدد المحاولات وعمر النصف وزمن الاضمحلال.

- أتوقع:** إذا بدأت بعدد قطع يساوي (1000)، فما عدد القطع المتبقى لدىَّ بعد محاولتين؟

## Half-life عمر النصف

عندما تطلق النواة المشعة جسيم ألفا أو جسيم بيتا فإنها تصمحل، وقد أظهرت التجارب أن بعض النظائر المشعة يضمحل خلال مدد زمنية قصيرة، وبعضها الآخر يضمحل خلال مدد زمنية طويلة. ويسمى الزمن اللازم لضمحل نصف عدد النوى المشعة **عمر النصف** ( $t_{1/2}$ ). ويبيّن الجدول (5) بعض النظائر المشعة وعمر النصف لكل منها.

بالرجوع إلى التجربة (1)، فإنه يمكن معاملة المحاولة الواحدة لإلقاء قطع النقد معاملة عمر نصف واحد، وبعد كل محاولة يقل عدد القطع التي ظهرت فيها الصورة للأعلى إلى النصف تقريرياً، أي بعد كل عمر نصف، فإن عدد النوى المشعة يقل إلى النصف. فلو بدأنا بعينة؛ عدد النوى المشعة فيها ( $N_0 = 600$ )، وعمر النصف لها ( $t_{1/2} = 2 \text{ days}$ )، فإن عدد النوى المشعة المتبقية بعد مرور يومين يصبح ( $N = 300$ )، وبعد مرور أربعة أيام، أي بعد مرور عمري نصف (2)، فإن عدد النوى المشعة المتبقية يصبح ( $N = 150$ ) نواة، وهكذا كما يوضح الشكل (8).

يمكن ربط عمر النصف بعدد النوى المشعة المتبقية على النحو الآتي:

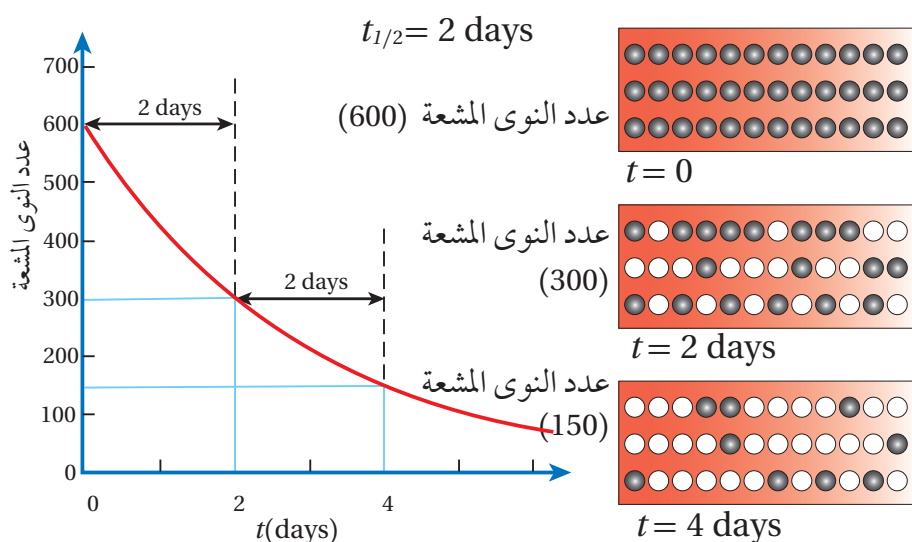
$$N_0 \xrightarrow{t_{1/2}} \frac{N_0}{2} \xrightarrow{t_{1/2}} \frac{N_0}{4} \xrightarrow{t_{1/2}} \frac{N_0}{8} \xrightarrow{t_{1/2}} \frac{N_0}{16} \dots\dots$$

وعليه، يمكن التوصل إلى العلاقة الرياضية الآتية:

$$\frac{N}{N_0} = \left(\frac{1}{2}\right)^{\frac{t}{t_{1/2}}}$$

الجدول (5): عمر النصف لبعض النظائر المشعة.

العنصر	عمر النصف
$^{238}_{92} U$	$4.47 \times 10^9 \text{ y}$
$^{235}_{92} U$	$7.04 \times 10^8 \text{ y}$
$^{232}_{90} Th$	$1.41 \times 10^{10} \text{ y}$
$^{137}_{55} Cs$	$30.08 \text{ y}$
$^{60}_{27} Co$	$5.27 \text{ y}$
$^{191}_{76} Os$	$15.4 \text{ days}$
$^{211}_{83} Bi$	$2.14 \text{ min}$
$^{144}_{56} Ba$	$11.9 \text{ s}$



حيث  $(t_{1/2})$  عمر النصف،  $(N_0)$  عدد النوى المشعة عند لحظة  $(t = 0)$ ،  $(N)$  عدد النوى المشعة بعد مرور زمن  $(t)$  ويسهل استخدام هذه العلاقة عندما يكون  $(t)$  من مضاعفات عمر النصف  $(t_{1/2})$ .

### النشاطية الإشعاعية

بمرور الزمن، يتناقص عدد النوى المشعة، فيقل عدد النوى التي تضمحل في الثانية الواحدة. وتعبر النشاطية الإشعاعية **Activity** عن عدد الأضمحلات في الثانية الواحدة، ويرمز إليها بالرمز  $(A)$ . وتتناسب النشاطية الإشعاعية طردياً مع عدد النوى المشعة عند لحظة زمنية معينة، فعند الزمن  $(t)$  تحسب النشاطية الإشعاعية من العلاقة:

$$A = \lambda N$$

حيث  $(\lambda)$ : ثابت التنااسب، ويسمى ثابت الأضمحلال، و  $(N)$  عدد النوى المشعة عند اللحظة نفسها، وعند الزمن  $(t = 0)$ ، فإن  $(A_0 = \lambda N_0)$ ، وهي النشاطية الإشعاعية الابتدائية. تقاس النشاطية بوحدة بيكريل  $(\text{Bq})$  وتساوي أضمحلالاً واحداً في الثانية، أو بوحدة كوري  $(\text{Ci})$  حيث  $(1 \text{ Ci} = 3.7 \times 10^{10} \text{ Bq})$ .

عند مرور زمن يساوي عمر النصف على العينة المشعة، فإن النشاطية الإشعاعية لها تقل إلى النصف. ويمكن الرابط بينهما على النحو الآتي:

$$A_0 \xrightarrow{t_{1/2}} \frac{A_0}{2} \xrightarrow{t_{1/2}} \frac{A_0}{4} \xrightarrow{t_{1/2}} \frac{A_0}{8} \xrightarrow{t_{1/2}} \frac{A_0}{16} \dots\dots$$

وعليه، يمكن التوصل إلى العلاقة الرياضية الآتية:

$$\frac{A}{A_0} = \left(\frac{1}{2}\right)^{\frac{t}{t_{1/2}}}$$

ويرتبط عمر النصف  $(t_{1/2})$  بثابت الأضمحلال بالعلاقة الآتية:

$$t_{1/2} = \frac{\ln(2)}{\lambda} = \frac{0.693}{\lambda}$$

يلاحظ من هذه العلاقة أن عمر النصف يتنااسب عكسيًا مع ثابت الأضمحلال؛ فعندما يكون ثابت الأضمحلال كبيراً يكون عمر النصف صغيراً.

**تحقق:** أُعرّف النشاطية الإشعاعية وعمر النصف. ✓

## المثال 11

يُستخدم الغاليوم - 67 في التسخين الطبي. إذا علمت أن ثابت الأضمحلال له ( $2.4 \times 10^{-6} \text{ s}^{-1}$ )، وقُسِّط النشاطية الإشعاعية لعينة منه وكانت (4680 Bq)، فأجد الزمن اللازم حتى تصبح النشاطية الإشعاعية (1170 Bq).

المعطيات:  $A_0 = 4680 \text{ Bq}$ ,  $\lambda = 2.4 \times 10^{-6} \text{ s}^{-1}$ ,  $A = 1170 \text{ Bq}$

المطلوب:  $t = ?$

الحل:

$$\frac{A}{A_0} = \left(\frac{1}{2}\right)^{\frac{t}{t_{1/2}}} \Rightarrow \frac{1170}{4680} = \left(\frac{1}{2}\right)^{\frac{t}{t_{1/2}}}$$

$$\frac{1}{4} = \left(\frac{1}{2}\right)^{\frac{t}{t_{1/2}}} \Rightarrow \left(\frac{1}{2}\right)^2 = \left(\frac{1}{2}\right)^{\frac{t}{t_{1/2}}}$$

$$\frac{t}{t_{1/2}} = 2 \Rightarrow t = 2t_{1/2} = \frac{2 \times 0.693}{\lambda} = \frac{1.39}{2.4 \times 10^{-6}} = 5.8 \times 10^5 \text{ s}$$

وهذا يعني أنّ

## المثال 12

يُستخدم نظير الكوبالت - 60 في تعقيم الأجهزة الطبية وفي علاج مرض السرطان. عمر النصف لنظير الكوبالت (5.27 y) يساوي ( $^{60}_{27} \text{Co}$ ). قُسِّط النشاطية الإشعاعية لعينة منه عند لحظة زمنية معينة فوجدها ( $0.200 \mu\text{Ci}$ ). أجد ما يأتي:

أ. عدد النوى المشعة في العينة.

ب. النشاطية الإشعاعية بعد زمن يساوي ثلاثة أضعاف عمر النصف.

المعطيات:  $A_0 = 0.200 \mu\text{Ci}$ ,  $t_{1/2} = 5.27 \text{ y}$

المطلوب:  $N_0 = ?$ ,  $A(t = 3t_{1/2}) = ?$

الحل:

أ. أولاً نحول النشاطية الإشعاعية من وحدة  $\mu\text{Ci}$  إلى وحدة Bq

$$A_0 = 0.200 \mu\text{Ci} = 0.200 \times 3.7 \times 10^{10} \times 10^{-6} = 7.40 \times 10^3 \text{ Bq}$$

أحوّل عمر النصف إلى وحدة (s)

$$t_{1/2} = 5.27 \text{ y} = 5.27 \times 365 \times 24 \times 60 \times 60 = 166 \times 10^6 \text{ s}$$

وأجد  $\lambda$  من العلاقة

$$\lambda = \frac{0.693}{t_{1/2}} = \frac{0.693}{166 \times 10^6} = 4.18 \times 10^{-9} \text{ s}^{-1}$$

ثم أعرض في العلاقة

$$A_0 = \lambda N_0$$

$$7.4 \times 10^3 = 4.18 \times 10^{-9} N_0$$

$$N_0 = 1.8 \times 10^{12} \text{ nuclei}$$

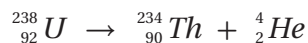
ب. بعد مرور زمن بمقدار عمر نصف واحد تقل النشاطية الإشعاعية للنصف، وتصبح ( $0.100 \mu\text{Ci}$ )، وبعد مرور عمر نصف ثانٍ تصبح النشاطية الإشعاعية ( $0.050 \mu\text{Ci}$ )، وبعد عمر نصف ثالث تصبح النشاطية الإشعاعية ( $0.025 \mu\text{Ci}$ ).

### لديه

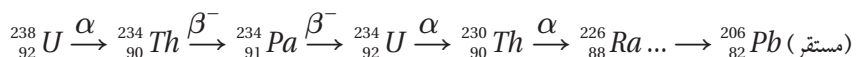
يُستخدم اليود المشع في علاج سرطان الغدة الدرقية، فإذا كان عمر النصف له (8 days) تقريرًا، أجد الزمن اللازم حتى يضمحل (75%) منه.

### سلسلة الأضمحلال الإشعاعي الطبيعي Natural Radioactive Decay Series

اليورانيوم ( $^{238}_{92} U$ ) عنصر مشع يضمحل ليتتج منه نظير الثوريوم ( $^{234}_{90} Th$ ) حسب التفاعل الآتي:



لكن نظير الثوريوم ( $^{234}_{90} Th$ ) مشع أيضًا، ويضمحل ليتتج منه نظير مشع جديد  $^{234}_{91} Pa$ ، وتنتمي سلسلة الأضمحلالات عن طريق إشعاع جسيمات ألفا أو بيتا حتى تنتهي بعنصر مستقر على النحو الآتي:



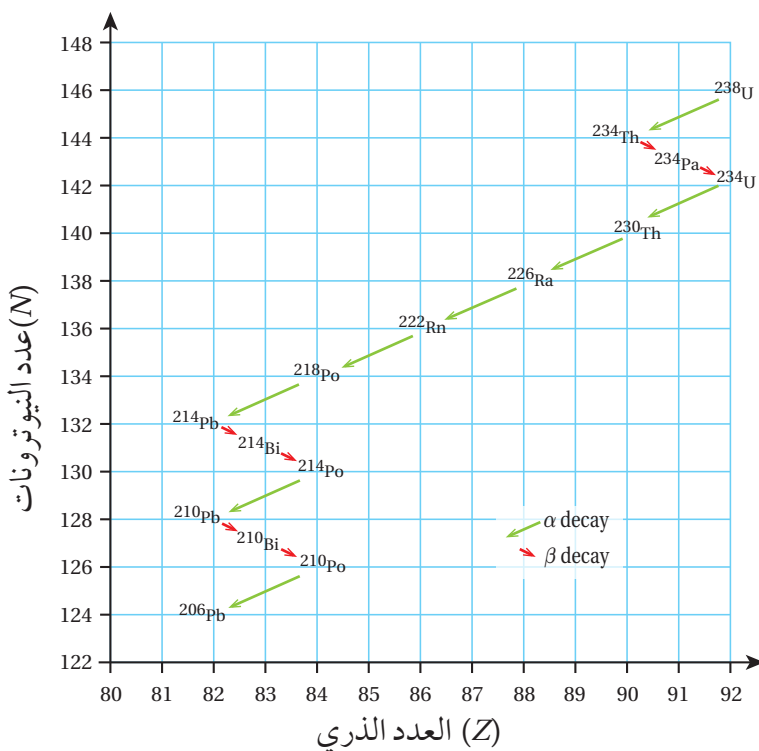
تسمى مجموعة الأضمحلالات التلقائية التي تبدأ بعنصر مشع ثقيل (موجود في الطبيعة)، وتنتهي بعنصر مستقر من خلال أضمحلالات عدة لألفا وبيتا. **Natural radioactive decay series**

وسلسلة الأضمحلال الإشعاعي الطبيعي ثلاثة سلاسل، هي: سلسلة اليورانيوم وتبداً بنظير اليورانيوم  $^{238}_{92} U$ ، وسلسلة الثوريوم وتبداً بنظير الثوريوم  $^{232}_{90} Th$ ، وسلسلة الأكتينيوم وتبداً بنظير اليورانيوم  $^{235}_{92} U$ . وجميع هذه السلاسل تبدأ بنظير

## الربط بعلوم الأرض

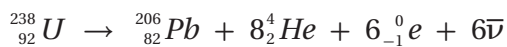


غاز الرادون المشع أحد النظائر في سلسلة اليورانيوم. يستقصي الجيولوجيون نسبة الرادون في المياه الجوفية والترابية للتنبؤ بالنشاط الزلالي. فزيادة تركيزه قد تكون علامات على وقوع زلزال قریب. ويستطيع الجيولوجيون تقدير عمر الصخور من معرفة نسبة الرصاص إلى اليورانيوم -<sup>238</sup>U في الصخور.



الشكل (9): سلسلة اضمحلال اليورانيوم.

ثقل مشع عمر النصف له كبير، وتنتهي بأحد نظائر الرصاص المستقر. وتسمى كل سلسة باسم النظير المشع الذي له أطول عمر نصف فيها. ونظرًا إلى أنّ اليورانيوم <sup>238</sup><sub>92</sub> له أكبر عمر نصف ( $4.47 \times 10^9$  y) بين النظائر المشعة في سلسلة اليورانيوم، فقد سُمِّيت باسمه. ويمكن التعبير عن هذه السلسلة بيانيًّا على منحنى ( $N-Z$ ) كما في الشكل (9). ويمكن التعبير عن هذه السلسلة أيضًا بالمعادلة الآتية:



الاحظ من المعادلة السابقة أنَّ العدد الذري والعدد الكتلي محفوظان.

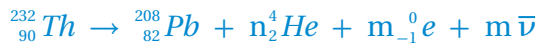
✓ **أتحقق:** ما المقصود بسلسل الاضمحلال الإشعاعي الطبيعي؟

## الربط بعلم الآثار



تحتوي أجسام الكائنات الحية على نظير الكربون المشع (<sup>14</sup><sub>6</sub>C)، ونسبة لنظير الكربون المستقر (<sup>12</sup><sub>6</sub>C) ثابتة في أجسام الكائنات الحية خلال وجودها على قيد الحياة. وب مجرد موت الكائن الحي تقل هذه النسبة. وبمعرفة هذه النسبة يستطيع علماء الآثار حساب زمن وفاة الكائن الحي.

يمكن التعبير عن سلسلة اضمحلال الثوريوم بالمعادلة:



أجد عدد جسيمات بيتا السالبة ( $m$ )، وعدد جسيمات ألفا ( $n$ ) في المعادلة السابقة.

المعطيات: المعادلة النووية.

المطلوب:  $n = ?$ ,  $m = ?$

الحل:

أطبق مبدأ حفظ العدد الكتلي لحساب ( $n$ )

$$\sum A_{before} = \sum A_{after}$$

$$232 = 208 + 4n + 0(m)$$

$$n = \frac{232 - 208}{4} = 6$$

ثم أطبق مبدأ حفظ العدد الذري لحساب ( $m$ )

$$\sum Z_{before} = \sum Z_{after}$$

$$90 = 82 + 2 \times 6 - m$$

$$m = 4$$

### لـمرينـه

تمثل المعادلة الآتية جزءاً من سلسلة اليورانيوم:



أ. ما اسم الجسيمين ( $g$ ) و ( $h$ ) .

ب. إذا انبعث 6 جسيمات ألفا وجسيماً بيتاً السالبة للوصول إلى النواة ( ${}_Z^A X$ ), أجد  $Z$  و  $A$ .

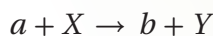
# مراجعة الدرس

1. **الفكرة الرئيسية:** أوضح المقصود بالاضمحلال الإشعاعي وعمر النصف والنشاطية الإشعاعية.
2. **أفسر** انبعاث أشعة غاما من النواة.
3. **استخدم المتغيرات:** يقوم أسامه بدراسة نظير مشع في مختبر الإشعاع في جامعته. قاس نشاطيته الإشعاعية فوجدها (400) اضمحلال لكل دقيقة، وبعد ثلاث ساعات أصبحت (100) اضمحلال لكل دقيقة. أجد عمر النصف للنظير المشع بالدقيقة.
4. **احسب:** نظير مشع نشاطيته الإشعاعية الآن (800 Bq)، وثابت الاضمحلال له ( $4 \ln(2) \text{ days}^{-1}$ )، فما المدة الزمنية اللازمة حتى تصبح نشاطيته الإشعاعية (100 Bq)؟
5. **استخدم المتغيرات:** عينة من نظير الثوريوم ( $^{228}_{90} \text{Th}$ ) تحتوي على ( $2.53 \times 10^{21} \text{ atoms}$ )، وثابت الاضمحلال له يساوي ( $1.15 \times 10^{-8} \text{ s}^{-1}$ )، أجد:
- عمر النصف للثوريوم ( $^{228}_{90} \text{Th}$ ).
  - النشاطية الإشعاعية لهذه العينة.
6. **أحلل:** الفلور-18 ( $^{18}_{9} \text{F}$ ) نظير مشع معدّ صناعيًا، عمر النصف له (110 min)، يستخدم في التصوير الطبي حيث يضمحل ليعطي أحد نظائر الأكسجين وبوزيترون. أعددت سارة عينة منه تحتوي على ( $2.1 \times 10^{16} \text{ atoms}$ ) لتصوير أحد المرضى.
- أكتب معادلة موزونة لاضمحلال الفلور.
  - احسب ثابت الاضمحلال له.
- ج. ما عدد النوى المشعة بعد مضي (220 min)؟
7. **أفسر:** انبعاث جسيمات بيتا السالبة من النواة بالرغم من عدم احتواء النواة على إلكترونات.
8. **التفكير الناقد:** تُستخدم الأشعة النووية في التحكم في سُمك المواد المصنّعة كما في الشكل. حيث يوضع أسفل الشريط مصدر مشع، وتُستقبل الأشعة بعد نفاذها من الشريط عن طريق كاشف يرسل بدوره إشارة إلى جهاز التحكم عن مقدار الأشعة التي وصلت إليه. فأي الأشعة النووية أفضل في هذا الاستخدام؟ ولماذا؟
-

### التفاعل النووي Nuclear Reaction

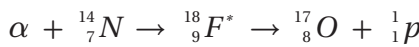
يحدث تفاعلٌ نوويٌ Nuclear reaction عند اصطدام نواتي ذرتين، أو اصطدام جسيم نووي مثل، البروتون أو النيترون بنواة ذرة أخرى، وقد ينتج من ذلك نواة جديدة أو أكثر.

ولإحداث تفاعل نووي بين جسيم نواة، تقدّف النواة بذلك الجسيم وعندما يقترب منها مسافة كافية، يبدأ عندها تأثير القوة النووية. ويمكن التعبير عن التفاعل النووي بالصورة الآتية:



حيث يُسمى الجسيم (a) القذيفة Projectile في حين تُسمى (X) النواة الهدف Target، و (b) الجسيم الناتج من التفاعل النووي، و (Y) النواة الناتجة.

في بعض التفاعلات النووية، تمتّص النواة الهدف القذيفة لتشكل نواة مركبة (CN) Compound nucleus والتي لا تلبث أن تصبح لتعطي نوئي وجسيمات من الممكن أن تختلف عن تلك الدالة في التفاعل. ومن الأمثلة على ذلك، ما قام به رذرфорد عام 1919 عندما قذف نواة النيتروجين ( $^{14}_7N$ ) بجسيمات ألفا ( $\alpha$ )، ونتج من ذلك تحرّر بروتون على النحو الآتي:



لقد بدأ هذا التفاعل بنواة النيتروجين ( $^{14}_7N$ ) المستقرة مع جسيم ألفا ( $\alpha$ ) لتكوين نواة مركبة وهي نظير الفلور ( $^{18}_9F^*$ ) غير المستقر، والتي لا تلبث أن تصبح لينتج عنها نواة مستقرة ( $^{17}_8O$ ) وبروتون ( $p$ ). ومن الأمثلة الأخرى على القذائف النووية، البروتونات ونواة الديتريوم، والنيترونات. إنّ شحنة جسيمات ألفا والبروتونات موجّة، لذا تُسرّع حتى تمتلك طاقة حركيّة كافية تُمكّنها من التغلب على قوة التنافر الكهربائيّة مع النواة الهدف. أمّا النيترونات لكونها متعادلة كهربائياً، فلا تتأثّر بقوّة تنافر كهربائيّة؛ لذا تُعدّ من القذائف المهمّة في إنتاج النظائر المشعّة، التي تُستخدم في العديد من مجالات الحياة.

### الفلدة الرئيسية:

للتفاعلات النووية تطبيقات مهمّة في الحياة مثل توليد الطاقة، وإنتاج النظائر المشعّة التي تستخدّم في تشخيص الأمراض وعلاجهما، وفي كثير من التطبيقات الصناعية.

### نتائج التعلم:

- أفسر إمكانية حدوث الاندماج النووي بين نواتين حقيقيتين، وإمكانية حدوث الانشطار للنوى الثقيلة.
- استخدم رسوماً توضيحية لأشرح كيف يولّد المفاعل النووي الطاقة الكهربائية.
- أذكر استخدامات النظائر المشعّة في مجالات الحياة المختلفة، وفوائدها ومضارها.
- أبين الآثار الإيجابية والآثار السلبية الناجمة عن استخدام الطاقة النووية.
- أذكر أنّ الطاقة النووية أحد مصادر الطاقة البديلة وأبين استخداماتها السلميّة.
- أحسب الطاقة الناتجة من تفاعل نووي انشطاري أو اندماجي.

### المفاهيم والمصطلحات:

Nuclear Reaction	التفاعل النووي
Compound Nucleus	النواة المركبة
Chain Reaction	التفاعل المتسلسل
Enrichment	التخصيب
Critical Mass	الكتلة الحرجة
Nuclear Fission	الانشطار النووي
Nuclear Fusion	الاندماج النووي

أحسب الطاقة الممتصة أو المتحرّرة من التفاعل ( $Q$ ) من الفرق في الكتلة بين كتل النوى والجسيمات الداخلة في التفاعل وتلك الناتجة منه، باستخدام العلاقة الآتية:

$$Q = [m_a + m_x - (m_b + m_y)] \times 931.5$$

حيث الكتل بوحدة (amu) و  $Q$  بوحدة (MeV).

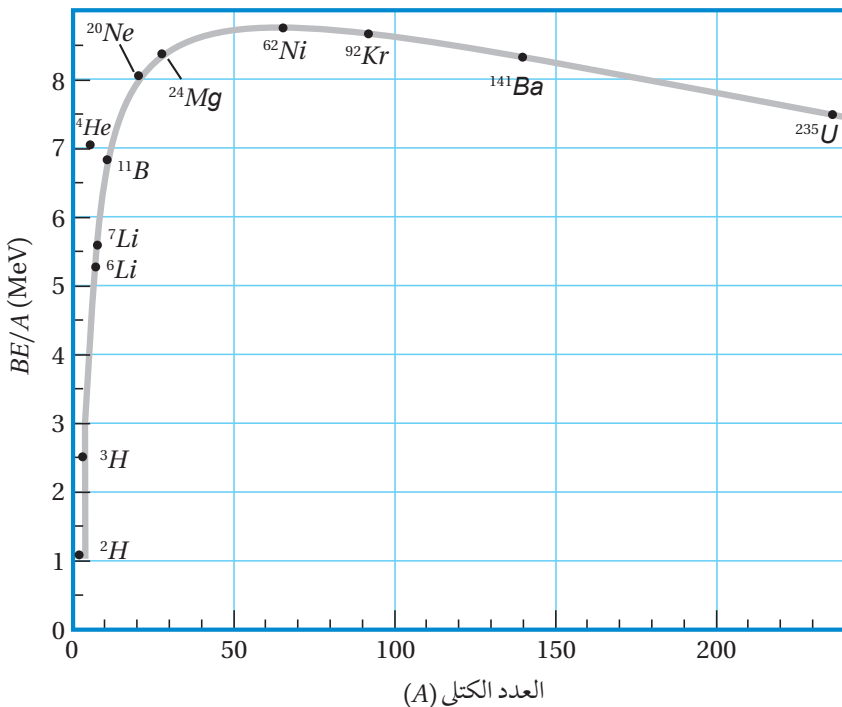
إذا كانت قيمة ( $Q$ ) موجبة يكون التفاعل متّجّاً للطاقة Exoergic، وإذا كانت قيمة ( $Q$ ) سالبة يكون التفاعل ماصّاً للطاقة Endoergic.

**أتحقق:** أوضّح المقصود بالتفاعل النووي. ✓

**أفكّر:** في التفاعلات النووية تُسرّع القذيفة وتُوجّه نحو الستة الهدف. وما المجالات المستخدمة في تسريع القذيفة وتوجيهها نحو الستة الهدف؟ وما دور كل منها؟

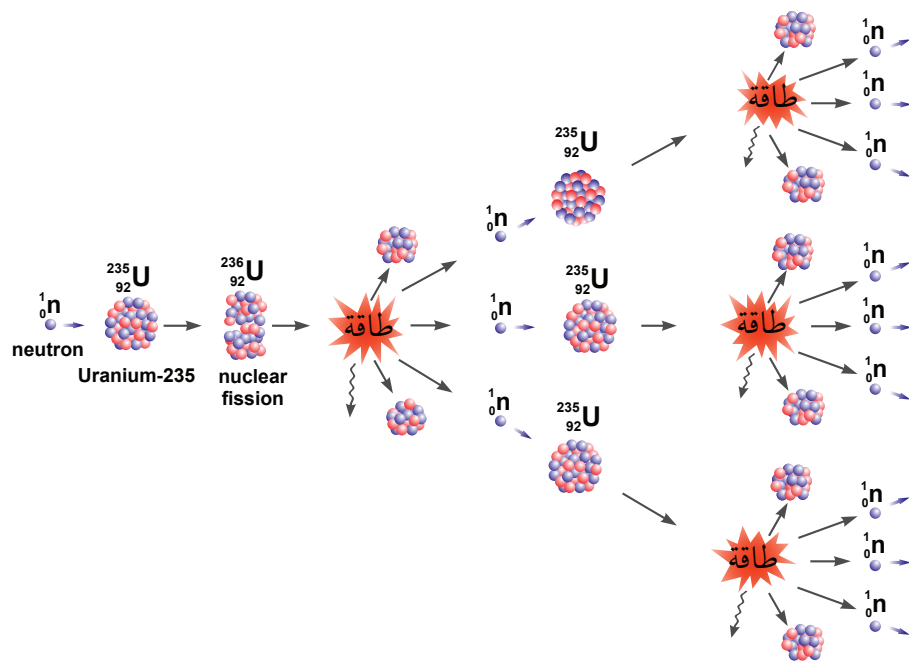
### الانشطار النووي Nuclear Fission

**الانشطار النووي Nuclear fission** عبارة عن انقسام نواة ثقيلة لنوتين أو أكثر، أصغر منها في الكتلة. والنوى الأكثر قابلية للانشطار هي النوى الثقيلة التي تقع على يمين المنحنى الموضّح في الشكل (10). فمثلاً، عند قذف نواة ( $^{235}_{92}U$ ) بنيutron بطيء تنشطر إلى نوتين، هما: ( $^{92}_{36}Kr$ ) و ( $^{141}_{56}Ba$ )، ويُنتج 3 نيوترونات، وتمتلك النوى الناتجة من هذا الانشطار طاقات ربط نووية لكل نيكليون أكبر



الشكل (10): تغيير طاقة الرابط النووية لكل نيكليون مع العدد الكتلي. اندماج نوتين خفيفتين أو انشطار نواة ثقيلة يحرّر طاقة؛ لأنّ النوى الناتجة ذات طاقة ربط نووية لكل نيكليون أكبر.

الشكل (11): التفاعل المتسلسل.



كما في الجدول (6)، ويصاحب ذلك نقص في الكتلة يتحول إلى طاقة. ويمكن التعبير عن هذا الانشطار بالمعادلة النووية الآتية:



حيث نواة ( ${}_{92}^{236} U^*$ ) المثارة تمثل النواة المركبة في هذا التفاعل.

إنّ انشطار كُل نواة  ${}_{92}^{235} U$  يتبع عنه طاقة تساوي (200 MeV) تقريباً، أو ما يعادل ( $3.2 \times 10^{-11}$  J)، أمّا الطاقة الناتجة من انشطار (1 kg)، فتساوي ( $82 \times 10^{12}$  J).

وهذه الطاقة تكفي لتزويد نحو (45) ألف منزل تقريباً مدة شهر، يستهلك كُل منها طاقة كهربائية بمقدار (500 kWh).

**أفكار:** لماذا يحتاج البروتون إلى طاقة أكبر من النيوترون ليقترب من النواة ويحدث تفاعلاً نووياً؟

تبعد نيوترونات نتيجة انشطار نواة نظير اليورانيوم ( ${}_{92}^{235} U$ )، وهذه النيوترونات قد تمتّصها نواة ( ${}_{92}^{235} U$ ) أخرى التي بدورها تنسطر، وتُنبع نيوترونات جديدة قد تمتّصها نواي يورانيوم أخرى، وهذا ما يُسمى **تفاعلًا متسلسلاً** على نحو ما يظهر في الشكل (11).

وكي يكون التفاعل المتسلسل ممكناً من الناحية العملية يجب توافر أمور عدّة أهمّها، توافر اليورانيوم المخصب Enriched uranium المستخدم في التفاعل اليورانيوم الخام على (0.71%) تقريباً من اليورانيوم ( ${}_{92}^{235} U$ ) المستخدم في التفاعل المتسلسل، ونحو (99.27%) تقريباً من اليورانيوم ( ${}_{92}^{238} U$ )، ونسبة قليلة جداً من

نظائر أخرى. ونظراً إلى أن نسبة ( $^{235}_{92}U$ ) قليلة، لذا يجب معالجة اليورانيوم الخام لزيادة نسبة النظير ( $^{235}_{92}U$ ) الذي يستخدم في الوقود النووي. إن العملية التي تزداد فيها نسبة اليورانيوم ( $^{235}_{92}U$ ) تسمى التخصيب **Enrichment**. إضافةً إلى ذلك، يجب توفير الحد الأدنى من الكتلة التي تضمن استمرار حدوث التفاعل، وتسمى الكتلة الحرجة **Critical mass** وهي أقل كتلة من الوقود النووي تضمن استمرار حدوث التفاعل المتسلسل، وتضمن عدم تسرب النيوترونات خارجه.

**أتحقق:** أوضح المقصود بتفاعل الانشطار النووي. 



أصمم باستخدام برنامج

السکراتش (Scratch) عرضاً يوضح التفاعل المتسلسل، أوضح فيه تأثير زيادة عدد نوى اليورانيوم -235 على عدد الانشطارات التي تحدث في وحدة الزمن، ثم أعرضه على زملائي / زميلاتي في الصف.

## المثال 14

أحسب الطاقة  $Q$  الناتجة من تفاعل الانشطار الآتي:



حيث كتل النوى معطاة في الجدول الآتي:

${}^{235}_{92} U$	${}^{141}_{56} Ba$	${}^{92}_{36} Kr$	${}^1_0 n$
234.9934	140.8840	91.9064	1.0087

المعطيات : الكتل في الجدول

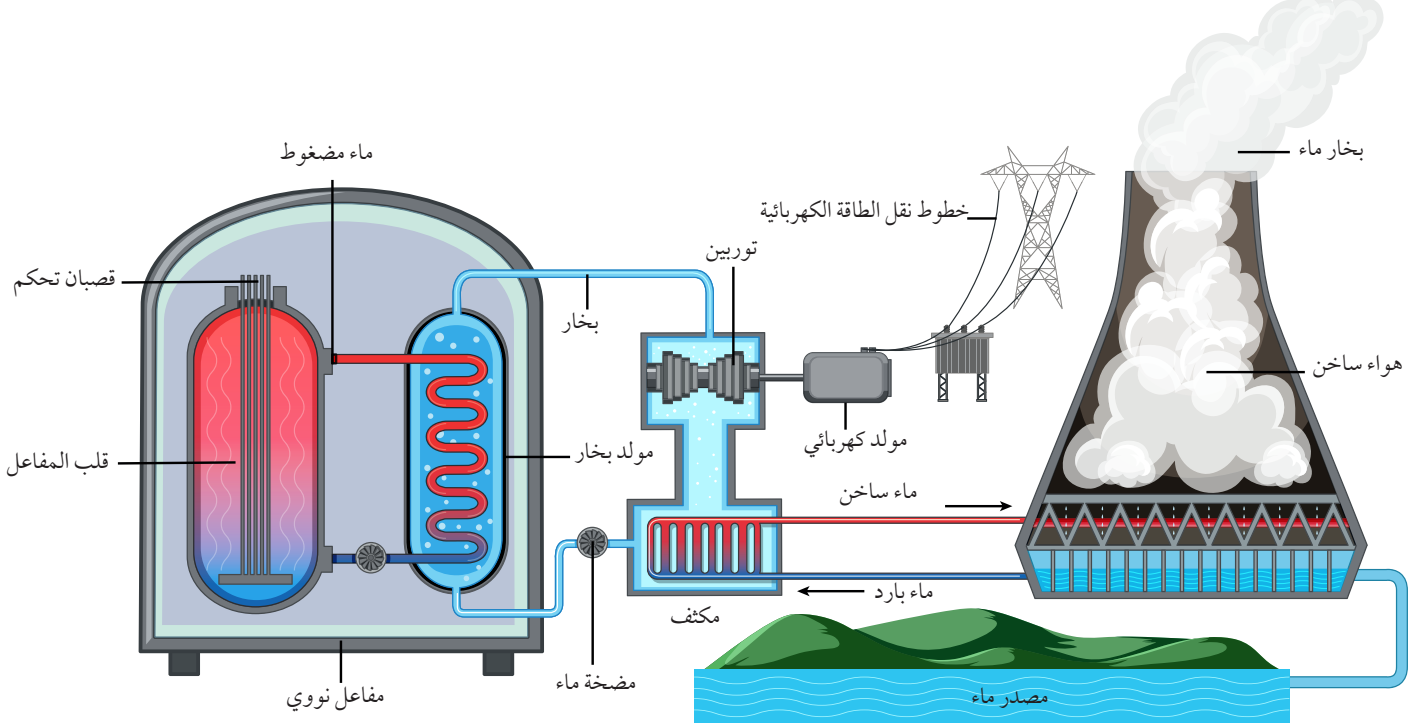
المطلوب:  $Q = ?$

الحل:

$$Q = [m_a + m_x - (m_b + m_y)] \times 931.5$$

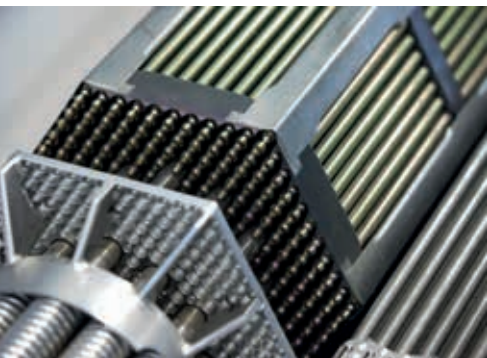
$$= (1.0087 + 234.9934 - (140.8840 + 91.9064 + 3 \times 1.0087)) \times 931.5$$

$$= 0.1856 \times 931.5 = 172.9 \text{ MeV}$$



الشكل (12): رسم تخطيطي لمحطة طاقة نووية تستخدم مفاعلاً للماء المضغوط.

## المفاعل النووي Nuclear Reactors



الشكل (13): قضبان الوقود النووي.

### الربط بالفضاء

مكنت التكنولوجيا النووية في إنتاج الطاقة العلماء من استكشاف الفضاء بدقة، إذ تُستخدم الطاقة الناتجة من البلوتونيوم لتوليد الكهرباء في مولدات المركبات الفضائية، مثل المركبة الفضائية فوياجر 1 التي أطلقت عام 1977 لدراسة النظام الشمسي الخارجي والتي ما زالت ترسل بيانات إلى يومنا هذا.

يُسمى النظام الذي يهيئ الظروف المناسبة لاستمرار حدوث التفاعل المتسلسل والسيطرة عليه بالمفاعل النووي. والشكل (12) يبيّن الأجزاء الرئيسية لمفاعل نووي يَستخدم الماء في عملية التبريد، يُسمى مفاعلاً للماء المضغوط .Pressurized water reactor

ويتكوّن المفاعل النووي الموضّح في الشكل من الأجزاء الأساسية الآتية:

- الوقود النووي Nuclear fuel:** تكون مادة الوقود النووي على الغالب من اليورانيوم المخصّب، حيث تُعدّ على شكل أقراص يوضع بعضها فوق بعض في أنابيب طويلة لتشكيل قضبان الوقود النووي، كما في الشكل (13).

- قضبان التحكم Control rods:** تُصنّع من مواد لديها مقدرة عالية على امتصاص النيوترونات مثل، الكادميوم -113، والبورون -10. فعند إدخال عدد مناسب منها بين حزم الوقود النووي تمتّص بعضاً من النيوترونات ما يؤدي إلى إبطاء التفاعل المتسلسل، وبذلك يتم التحكم في الطاقة الناتجة من المفاعل.

- المواد المهدّئة Moderators:** وهي مواد ذات أعداد كتيلية صغيرة، مثل: الماء الثقيل، والماء العادي، والغرافيت. وتبطّئ المواد المهدّئة النيوترونات الناتجة من الانشطار؛ لتمكن من إحداث تفاعلات انشطارية جديدة. علمًا أنّ احتمالية انشطار نواة اليورانيوم ( $U^{235}_{92}$ ) ترداد كلما كانت الطاقة الحرارية للنيوترونات الممتصّة أقل.



الشكل (14): أبراج التبريد يتتصاعد منها بخار الماء.

4. نظام التبريد **Cooling system**: تُستخدم أبراج تبريد تُزود المفاعل والمكّف بالماء البارد باستمرار؛ لتبريد المفاعل النووي، أتأمل الشكل (14).

5. مولّد بخار الماء **Steam generator**: يُحول الماء الساخن والمضغوط القادم من قلب المفاعل إلى بخار ماء يُستخدم في إدارة توربينات متصلة بمولّدات كهربائية لتوليد الطاقة الكهربائية.

✓ **أتحقق:** أعدّ أجزاء المفاعل النووي الرئيسية.



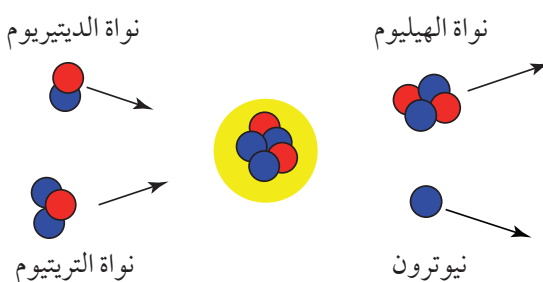
استخدم برمجية movie maker لإنشاء فيلم قصير عن أجزاء المفاعل النووي، ثم أعرضه على زملائي / زميلاتي في الصف.

### الاندماج النووي Nuclear Fusion

يُسمّى التفاعل الذي تندمج فيه نوافر خفيفاتان لتكوين نواة كتلتها أقلّ من مجموع كتلتي النوافر المندمجتين، ولها طاقة ربط نووية لكل نيوكليلون أكبر مما لها، بتفاعل **الاندماج النووي Nuclear fusion**. يحدث الاندماج النووي للنوافر الخفيفية (المنطقة اليسرى من المنحنى) في الشكل (10). فمثلاً قد تندمج نوافر نظيري الهيدروجين؛ الديتيريوم ( $^2_1H$ ) والтриتيوم ( $^3_1H$ ) لتكوين نواة الهيليوم ( $^4_2He$ ) ونيوترون كما في الشكل (15). ويوضح الجدول (7) طاقة الرابط النووية لكل نيوكليلون لكلاً منها. لاحظ من الجدول أنَّ اندماج نوافر الديتيريوم ( $^2_1H$ ) والтриتيوم ( $^3_1H$ ) نتج عنه نواة الهيليوم ( $^4_2He$ ) ذات طاقة ربط نووية لكل نيوكليلون أكبر منها لنوافر الديتيريوم والтриتيوم.

الجدول (7): طاقة الرابط النووية لكل نيوكليلون.

$\frac{BE}{A}$ (MeV)	النواة
1.11	$^2_1H$
2.83	$^3_1H$
7.07	$^4_2He$



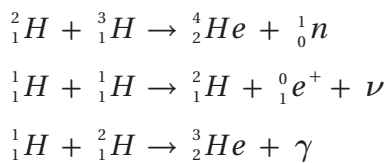
الشكل (15): اندماج نوافر الديتيريوم والтриتيوم لتشكيل نواة الهيليوم.

افتتح المفاعل النووي الأردني للبحوث والتدريب برعاية ملكية سامية عام 2016م في جامعة العلوم والتكنولوجيا في مدينة إربد، حيث يعمل بقدرة (5 MW) قابلة للزيادة إلى (10 MW). ويعُتَّبَعُ هذا المفاعل في أغراض عدّة، منها:

البحث العلمي، وإنتاج النظائر المشعة للاستخدامات الطبية، إضافة إلى التدريب والتأهيل على التكنولوجيا الإشعاعية والتلويدية.



الاندماج نقص في الكتلة يتبع عنه تحرّر طاقة كبيرة. ومن الأمثلة على تفاعلات الاندماج النووي:



مثل هذه التفاعلات النووية هي مصدر الطاقة التي تصلبنا من الشمس، وتحتاج إلى درجات حرارة عالية جدًا حتى تحدث؛ لذا تُسمى هذه التفاعلات التفاعلات النووية الحرارية Thermonuclear fusion reactions. إنّ درجة الحرارة العالية تزوّد النواتين بطاقة حركية كافية للتغلب على قوة التنافر الكهربائية بين النواتين عند اقترابهما من بعض لمسافة تبدأ عندها القوة النووية بالتأثير. وعلى الرغم من صعوبة إجراء تفاعل الاندماج النووي، فهناك أبحاث جارية للتغلب على تلك الصعوبات، وذلك للاستفادة من الطاقة الكبيرة التي يمكن الحصول عليها دون إنتاج نوى مشعة على نحو ما يحدث في مفاعلات الانشطار النووي.

**أتحقق:** أوضح المقصود بتفاعل الاندماج النووي. ✓

## المثال 15

أجد طاقة التفاعل  $Q$  لتفاعل الاندماج الآتي:



${}^1_1 H$	${}^3_2 He$	${}^2_1 H$
1.0073	3.0149	2.0136

حيث كتل النوى بوحدة (amu)

المعطيات: الكتل في الجدول

المطلوب:  $Q = ?$

الحل:

$$Q = [m_a + m_b - (m_b + m_Y)] \times 931.5$$

$$= (1.0073 + 2.0136 - 3.0149) \times 931.5$$

$$= 0.0060 \times 931.5 = 5.6 \text{ MeV}$$

## تطبيقات على الفيزياء النووية

للفيزياء النووية تطبيقات عدّة في مختلف نواحي الحياة منها:

### التعقب Tracing

ت تكون المُتعقبات من نظائر مشعة تُتحقق في الجسم للكشف عن خلل وظيفي في أحد أعضائه. فمثلاً يستخدم اليود-131 المشع للكشف عن خلل في عمل الغدة الدرقية، حيث يشرب المريض كمية قليلة من محلول يوديد الصوديوم المشع، ويُشخص الخلل في عمل الغدة الدرقية بمعرفة كمية اليود المشع المتبقية فيها مع مرور الزمن. ومن التطبيقات الطبية الأخرى حقن وريد في القدم بسائل يحتوي على الصوديوم المشع، وقياس الزمن اللازم حتى يصل السائل المشع إلى عضو معين في الجسم، وذلك باستخدام جهاز للكشف عن الإشعاع. والزمن المقاس يمكن من معرفة ما إذا كان هناك تضيق أو انسداد في الأوردة أو الشرايين. وفي التطبيقات الطبية يتم تعريض المريض لجرعات إشعاعية متدرجة ومحسوسة بدقة بحيث لا تؤثر سلباً فيه.

### الربط بالحياة

يمكن استخدام التعقب الإشعاعي في مراقبة تدفق السوائل والغازات خلال الأنابيب لتحديد أماكن التسرب. وترصد أدوات التعقب الزراعية تدفق المغذيات عبر النباتات.

### العلاج بالإشعاع Radiation Therapy

تنقسم الخلايا السرطانية بسرعة كبيرة، والإشعاعات الناتجة من النظائر المشعة فعالة في قتل هذا النوع من الخلايا. فمثلاً يستخدم نظير اليود-131 المشع في علاج سرطان الغدة الدرقية، كما يستخدم الكوبالت-60 في علاج سرطان الحنجرة.

### تحليل المواد Materials Analysis

يمكن تحديد العناصر التي تكون عينة معينة بطرق كيميائية، وهذا عادة يتطلب استخدام كمية كبيرة نسبياً من تلك العينة. يمكن التغلب على ذلك بقذف كمية قليلة من العينة المراد معرفة تركيبها بالنيوترونات، ما يؤدي إلى تحول العناصر التي امتصت النيوترونات إلى عناصر مشعة، وتُحدّد هوية تلك العناصر بالكشف عن نوع الإشعاعات الصادرة عن العينة المشعة وقياس طاقتها.

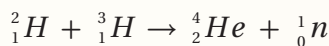
### حفظ المواد الغذائية Food Preserving

تطبيقات الفيزياء النووية في مجال الأطعمة تشهد اهتماماً متزايداً لقدرة الإشعاعات النووية على تعطيل عمل البكتيريا وقتلها. لذلك تُعرض المواد الغذائية المراد تخزينها مددًا طويلة لأشعة غاما أو حزم من الإلكترونات ذات طاقة مرتفعة لقتل البكتيريا، ومن ثم، تُحفظ في علب مغلقة لمنع وصول بكتيريا جديدة إليها.

# مراجعة الدرس

1. **الفكرة الرئيسية:** أوضح المقصود بتفاعل الانشطار النووي وتفاعل الاندماج النووي.

2. للتفاعلين النوويين الآتيين، أجيب عما يأتي:



علمًا أنَّ كتل النوى بوحدة (*amu*) موضحة في الجدول الآتي:

${}_{92}^{235}U$	${}_{56}^{144}Ba$	${}_{36}^{89}Kr$	${}_0^1n$	${}_2^4He$	${}_1^3H$	${}_1^2H$
234.9934	143.8922	88.8979	1.0087	4.0015	3.0155	2.0136

أ. أي التفاعلين تفاعل اندماج نووي؟ وأيهما تفاعل انشطار نووي؟

ب. **أتوقع:** لكلا التفاعلين، أيهما يمتلك طاقة ربط نووية لكل نيوكليلون أكبر: النوى الناتجة من التفاعل أم النوى الداخلة فيه؟

ج. **استخدم المتغيرات:** أحسب الطاقة الناتجة من التفاعل لكلا التفاعلين.

د. **استخدم المتغيرات:** أحسب الطاقة الناتجة لكل نيوكليلون لكلا التفاعلين. أيهما أكبر؟

هـ. **أتوقع:** أي التفاعلين يُنْتَج طاقة أكبر للكتلة نفسها من المواد الداخلة في التفاعل؟

3. **أفأرن:** أعدد أوجه التشابه وأوجه الاختلاف بين تفاعل الاندماج وتفاعل الانشطار.

4. **أفسر:** ما أهمية استخدام كلٍّ مما يأتي في المفاعل النووي؟

أ. القضبان التي تحتوي على الكادميوم.

ب. مُهدّئات النيوترونات.

5. **أفسر** أهمية درجة الحرارة العالية لتفاعل النووي الاندماجي.

6. **أفسر:** هل يصلح اليورانيوم الخام للاستخدام في المفاعلات النووية؟ أفسر إجابتي.

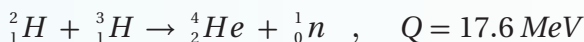
7. **التفكير الناقد:** لماذا يُعد استخدام تفاعلات الاندماج النووي، إن أمكن في توليد الطاقة، أقل خطراً على البيئة من استخدام تفاعلات الانشطار النووي؟

## المفاعل النووي الاندماجي

### Nuclear Fusion Reactor

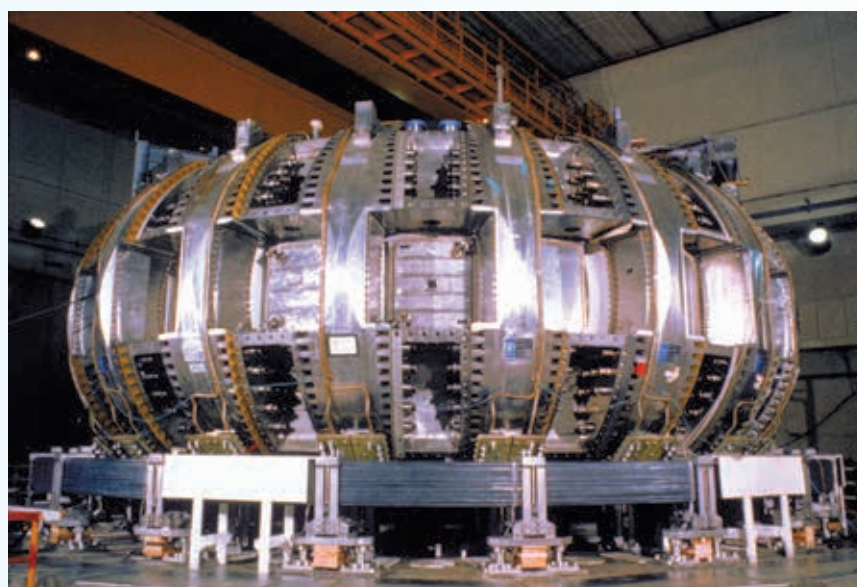
تُعد كمية الطاقة الكبيرة المترسبة من الاندماج النووي محفزاً أمام العلماء لتسخير هذه الطاقة لأغراض مفيدة، ويعزز كثيرون من الجهود حالياً لتطوير مفاعل نووي اندماجي مستدام يمكن التحكم فيه. ومن مزاياه: توافر الوقود النووي، الديتيريوم ( $^2_1H$ ) والтриتيوم ( $^3_1H$ )، وإنتاج طاقة كبيرة مقارنة بتفاعلات الانشطار النووي، وتكون عدد قليل نسبياً من المنتجات الثانوية المشعة مقارنة بتفاعلات الانشطار النووي. فوقود اليورانيوم بعد انشطاره يحتوي على نسبة عالية من المواد المشعة التي يجب التخلص منها، وتتطلب إجراءات صارمة عند نقل اليورانيوم المخصب لا تلزم عند نقل الوقود المستخدم في الاندماج النووي.

وتُتيح النجوم طاقتها من تفاعلات الاندماج النووي بدورة تسمى دورة البروتون-بروتون، وتحدث هذه التفاعلات عند درجة حرارة عالية جداً وكثافة عالية جداً للبروتونات. ووجد أن التفاعل الأنسب للاستخدام في تفاعلات الاندماج، هو تفاعل الديتيريوم ( $^2_1H$ ) والтриتيوم ( $^3_1H$ ).



ويتوافر الديتيريوم بكميات كبيرة في البحيرات والمحيطات وهو غير مكلف. أمّا التريتيوم، فإنه مشع (t<sub>1/2</sub> = 12.3 y) حيث يخضع لاضمحلال بيتا السالبة لينتج ( $^3_2He$ ). ولهذا السبب لا يوجد التريتيوم طبيعياً بكميات كبيرة، ويجب إنتاجه صناعياً.

للحصول على الطاقة من الاندماج النووي يجب توافر درجات حرارة عالية (نحو 10<sup>8</sup> K تقريباً)؛ تؤدي إلى تأمين الذرات وتكوين نظام من الإلكترونات والأيونات الموجبة يسمى بلازما. وبالإضافة إلى درجات الحرارة العالية، يجب التأثير بضغط كبير للحصول على كثافة عالية من الأيونات. إن درجات الحرارة المرتفعة تؤدي إلى نقصان في كثافة الأيونات وهذا يشكل أحد المشكلات الرئيسية التي تواجه انتاج الطاقة من تفاعلات الاندماج



النووي. وقد استطاع العلماء تحقيق تفاعل اندماج الديتيريوم ( $^2_1H$ ) والтриتيوم ( $^3_1H$ ) مدة زمانية قصيرة جداً باستخدام مفاعل اندماجي، يُعرف باسم توكماك (tokamak). حيث تحفظ البلازما داخل مجال مغناطيسي على نحو ما تعلمت في الوحدة الرابعة.

# مراجعة الوحدة

1. أضع دائرة حول رمز الإجابة الصحيحة لكل جملة مما يأتي:
- النيوترونو جسيم ينتج عن عملية:
  - تحلل البروتون إلى نيوترون وبوزيترون.
  - تحلل النيوترون إلى بروتون وإلكترون.
  - اضمحلال غاما.
  - خروج جسيم ألفا من النواة.
2. النواة غير المستقرة تتحول تلقائياً إلى نواة ذات كتلة:
- أقل وطاقة ربط أعلى لكل نيوكليون.
  - أكبر وطاقة ربط أقل لكل نيوكليون.
  - أكبر وطاقة ربط أعلى لكل نيوكليون.
  - أقل وطاقة ربط أقل لكل نيوكليون.
3.  $(^{A_Z}X)$  نواة نظير عنصر غير مستقر، تقع ضمن سلسلة اضمحلال. بعد سلسلة من التحولات أطلقت أربعة جسيمات بيتا السالبة وجسيم ألفا واحداً، فإن النواة الناتجة تكون:
- $^{A+4}_{Z-2}Y$ . د       $^{A+2}_{Z+4}Y$ . ج       $^{A-2}_{Z-4}Y$ . ب       $^{A-4}_{Z+2}Y$ . أ
4. عدد جسيمات ألفا وبيتا السالبة المنبعثة من سلسلة تحولات تضم حل خلالها نواة  $(^{238}_{92}U)$  إلى نواة  $(^{226}_{88}X)$  على الترتيب هي:
- أ. 2 ألفا ، 3 بيتا      ب. 3 ألفا ، 4 بيتا      ج. 2 ألفا ، 2 بيتا      د. 3 ألفا ، 2 بيتا
5. عدد النيوترونات في النوى المستقرة الثقيلة يكون:
- أ. مساوياً لعدد البروتونات      ج. أقل بكثير من عدد البروتونات
6. طاقة الرابط النووية هي الطاقة اللازمة لـ:
- أ. فصل مكونات النواة لتكون بعيدة بعضها عن بعض.      د. فصل نيوترون واحد عن النواة.
- ب. فصل الإلكترونات عن النواة.      ج. فصل بروتون واحد عن النواة.
7. إن حجم النواة يتنااسب:
- أ. طردياً مع عددها الكتلي.      ج. طردياً مع مكعب عددها الكتلي.
- ب. عكسياً مع عددها الكتلي.      د. طردياً مع الجذر التكعيبي لعددها الكتلي.
8. تهدف عملية تخصيب اليورانيوم إلى إنتاج وقود نووي يحتوي على نسبة عالية من:
- أ.  $^{238}_{92}U$ .      ب.  $^{234}_{92}U$ .      ج.  $^{232}_{92}U$ .      د.  $^{235}_{92}U$ .

# مراجعة الوحدة

9. نسبة نصف قطر النواة ( $^{27}_{13}Al$ ) إلى نصف قطر النواة ( $^{64}_{29}Cu$ ) تساوي:

د.  $\frac{64}{27}$

ج.  $\frac{8}{3}$

ب.  $\frac{27}{64}$

أ.  $\frac{3}{4}$

10. نسبة حجم النواة ( $^{27}_{13}Al$ ) إلى حجم النواة ( $^{64}_{29}Cu$ ) تساوي:

د.  $\frac{64}{27}$

ج.  $\frac{8}{3}$

ب.  $\frac{27}{64}$

أ.  $\frac{3}{8}$

11. تُعطى النيوترونات في المفاعل النووي بـ:

د. الهيدروجين

ج. اليورانيوم

ب. الكادميوم

أ. الماء الثقيل

12. إذا كانت كتلة نواة نظير الليثيوم ( $^7_3Li$ ) تَقلّ بمقدار (0.042 amu) عن مجموع كتل مكوّناتها، فإنّ متوسط طاقة الربط النووية لكل نيوكليلون (MeV) لها تساوي:

د. 7.120

ج. 1.412

ب. 5.589

أ. 3.910.

2. **استخدم المتغيرات:** عينة من البولونيوم ( $^{210}_{84}Po$ ) تحتوي على ( $2.8 \times 10^{18}$  atoms) ثابت الأضمحال للبولونيوم

( $^{210}_{84}Po$ ) يساوي ( $2.8 \times 10^{-8} s^{-1}$ ), أجد:

أ. عمر النصف للبولونيوم ( $^{210}_{84}Po$ ).

ب. النشاطية الإشعاعية.

ج. عدد النوى المتبقية من البولونيوم ( $^{210}_{84}Po$ ) بعد مرور مدة زمنية مقدارها أربعة أمثال عمر النصف.

3. **استخدم المتغيرات:** عينة من الأمريسيوم ( $^{241}_{95}Am$ ) تحتوي على ( $1.25 \times 10^{15}$  atoms) ونشاطيتها الإشعاعية

( $^{241}_{95}Am$ ), أجد ثابت الأضمحال للأمريسيوم ( $1.70 \mu Ci$ ).



4. **استخدم المتغيرات:** يمثّل الشكل المجاور عينة من الكوبالت ( $^{60}_{27}Co$ ) تُستخدم في

المختبرات لدراسة طبيعة إشعاع غاما، بالاستعانة بالمعلومات المثبتة على الشكل، أجد:

أ. عمر النصف.

ب. النشاطية الإشعاعية للعينة.

ج. تاريخ تصنيع العينة.

د. النشاطية الإشعاعية في (JUL 2019), أيّ بعد مرور زمن يساوي ضعفي عمر النصف.

5. **استخدم المتغيرات:** أحسب الطاقة اللازمة لفصل نواة النيكل ( $^{60}_{28}Ni$ ) إلى مكوّناتها، علمًا أنّ كتلة نواة النيكل ( $^{60}_{28}Ni$ )

تساوي (59.91541 amu).

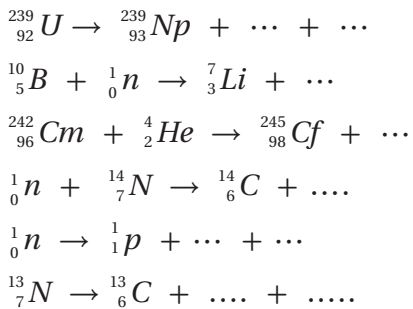
6. إذا كانت طاقة الربط النووية لنواة ( $^{23}_{11}Na$ ) تساوي (181.82 MeV)، ولنواة ( $^{23}_{12}Mg$ ) تساوي (186.66 MeV)

أ. **استخدم المتغيرات:** أحسب طاقة الربط النووية لكل نيوكليلون للنواتين.

ب. **أصدر حكمًا:** أيّ النواتين أكثر استقراراً؟ أفسّر إجابتي.

# مراجعة الوحدة

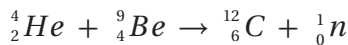
7. أكمل المعادلات النووية الآتية:



8. أكمل الجدول الآتي:

غاما	بيتا	الفا	نوع الإشعاع وجه المقارنة
			طبيعة الإشعاع
			نوع الشحنة
			الكتلة
			القدرة على النفاذ
			القدرة على التأين

9. **استخدم المتغيرات:** قذفت نواة ( ${}^9_4Be$ ) بجسيم ألفا، وفقاً لتفاعل النووي الآتي:



فإذا علمت أنّ كتل النوى الداخلية في التفاعل تزيد بمقدار (0.00612 amu) على كتل المواد الناتجة من التفاعل. واعتتماداً على كتل النوى والجسيمات في الجدول الآتي أجب عنّ ما يأتي:

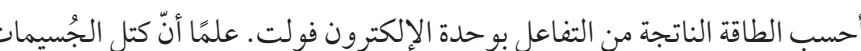
${}^1_0n$	${}^1_1P$	${}^4_2He$	${}^{12}_6C$	النواة أو الجسيم
1.0087	1.0073	4.0015	11.9967	الكتلة (amu)

أ. هل التفاعل النووي متجه للطاقة أم ماضٍ لها؟

ب. أحسب كتلة نواة ( ${}^9_4Be$ ).

ج. أحسب طاقة الربط النووية لكل نيكيليون نواة ( ${}^{12}_6C$ ), بوحدة (MeV).

10. **استخدم المتغيرات:** في التفاعل النووي الآتي:



أحسب الطاقة الناتجة من التفاعل بوحدة الإلكترون فولت. علماً أنّ كتل الجسيمات والنوى مُبيّنة في الجدول الآتي:

${}^1_0n$	${}^{10}_5B$	${}^4_2He$	${}^7_3Li$	النواة أو الجسيم
1.0087	10.0103	4.0015	7.0144	الكتلة (amu)

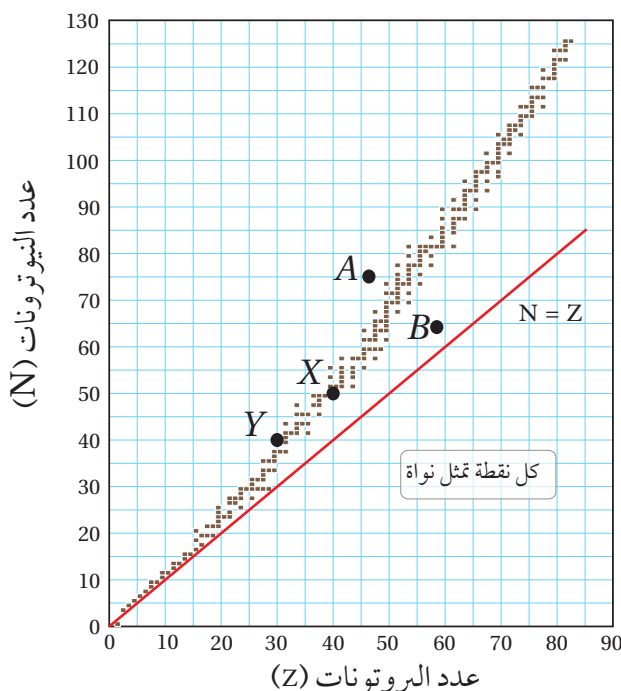
# مراجعة الوحدة

11. **استخدم المتغيرات:** إذا كانت طاقة الربط النووية لكل نيوكليون لنواة الفوسفور  $P_{15}^{30}$  تساوي (8.35 MeV)، أجد ما يأتي:

ب. كتلة نواة الفسفور  $P_{15}^{30}$ .

أ. طاقة الربط النووية لنواة الفسفور  $P_{15}^{30}$ .

12. **استخدم المتغيرات:** إذا كان الفرق بين كتلة نواة ومجموع كتل مكوناتها يساوي ( $1.64 \times 10^{-28}$  kg)، أجد طاقة الربط النووية للنواة بوحدة جول.



13. **أحلل:** يمثل الرسم البياني المبين في الشكل منحنى الاستقرار النووي.

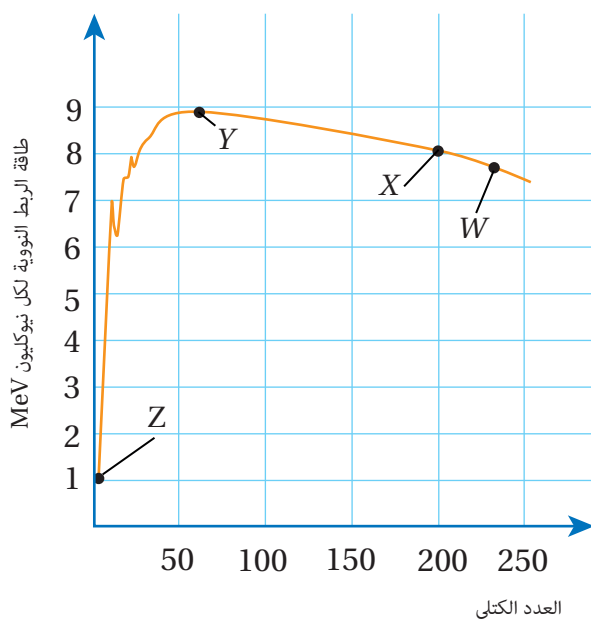
أ. أحسب نصف قطر النواة (X).

ب. أحسب طاقة الربط النووية للنواة (Y)، علماً أن كتلتها تساوي (70.0012 amu).

ج. أيّهما يملك طاقة ربط نووية لكل نيوكليون أعلى (أم (Y)، أو (X))، ولماذا؟

د. كيف أفسّر أنّ عدد النيوترونات أكبر من عدد البروتونات للنواة (X).

هـ. أسمّي من الشكل نوتين مستقرتين ونوتين غير مستقرتين.



14. **أحلل:** يمثل المنحنى المجاور العلاقة بين طاقة الربط النووية لكل نيوكليون والعدد الكتلي لنوى العناصر (Z, Y, X, W).

اعتماداً على المنحنى، أجب عن الأسئلة الآتية:

أ. أيّ هذه العناصر أكثر استقراراً؟ ولماذا؟

ب. أيّ هذه العناصر أكثر قابلية للانشطار، وأيها أكثر قابلية للاندماج عند إحداث تفاعل نووي؟

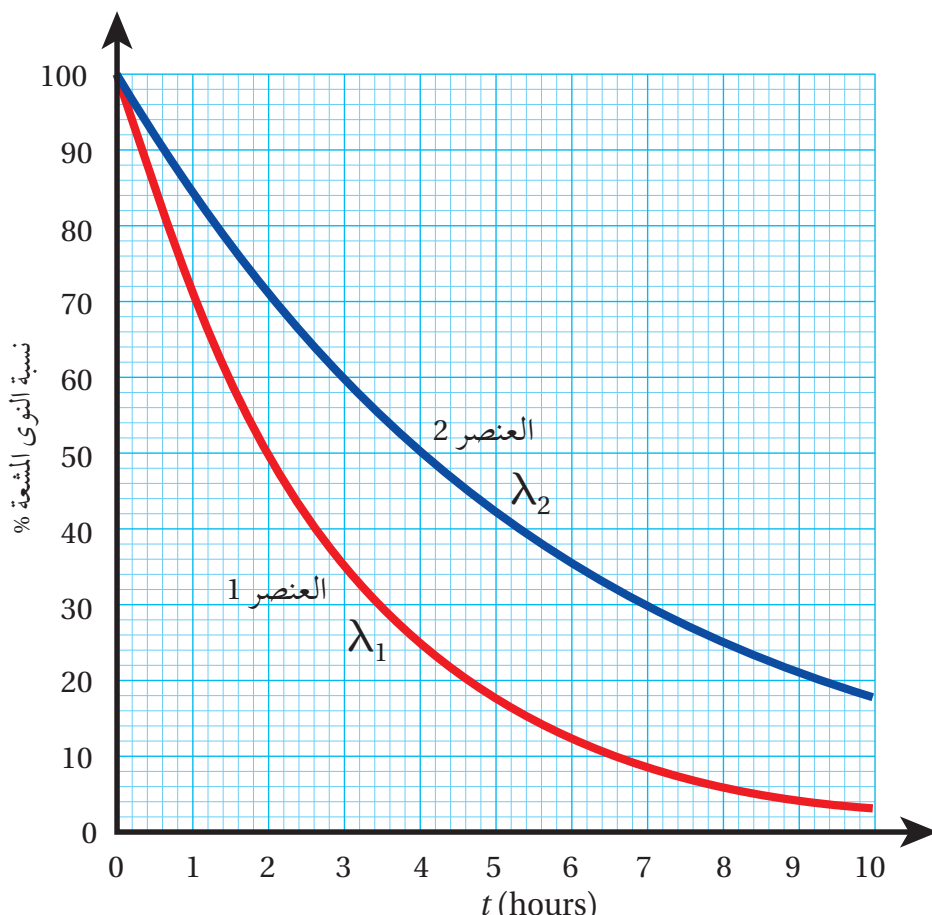
جـ. أحسب طاقة الربط النووية لنواة العنصر (X).

15. **أحلّ رسمًا بيانًا:** يمثل الشكل رسماً بياناً يوضح العلاقة بين النسبة  $100 \times \frac{N}{N_0}$  مع الزمن لنظيري عنصرين مشعّين، ثابت الأضمحلال لكُلّ منهما  $(\lambda_1, \lambda_2)$ .

أ . ما عمر النصف لكُلّ منهما؟

ب . ما نسبة عدد النوى المشعّة المتبقية بعد مرور 10 ساعات لكُلّ من النظيرين؟

ج. أيّهما أكبر  $(\lambda_1)$  أم  $(\lambda_2)$ ؟



## مسرد المصطلحات

- الإشابة **Doping**: زيادة الموصلية الكهربائية لأشباه الموصلات، بإضافة بعض المواد إليها تُسمى **شوائب impurities**.
- اقتران الشغل للفلز **Work Function**: أقل طاقة للأشعة الكهرومغناطيسية تكفي لتحرير الإلكترونات من سطح الفلز دون إكسابها طاقة حرارية.
- الأضمحلال الإشعاعي **Radioactive Decay**: التحول التلقائي لنوى غير مستقرة إلى نوى أكثر استقراراً عن طريق انبعاث جسيمات مثل جسيم ألفا أو جسيم بيتا، غالباً ما يصاحب ذلك انبعاث أشعة غاما.
- الإلكترونات التكافؤ **Valence Electrons**: الإلكترونات الموجودة في آخر مستوى طاقة للذرّة، وهي المسؤولة عن تحديد كثيّرٍ من خصائص المادة مثل، التوصيل الكهربائي والتوصيل الحراري.
- الإلكترونات الضوئية **Photoelectrons**: الإلكترونات المنبعثة من سطح فلز عند سقوط إشعاع كهرومغناطيسي بتردد مناسب عليه.
- الاندماج النووي **Nuclear Fusion**: التفاعل الذي تندمج فيه نوافير خفيفاتان لتكوين نواة كتلتها أقل من مجموع كتلتيهما.
- الانشطار النووي **Nuclear Fission**: التفاعل الذي تنقسم فيه نواة ثقيلة لنوافير أو أكثر، أصغر منها في الكتلة.
- التخصيب **Enrichment**: عملية رفع نسبة نظير اليورانيوم ( $^{235}_{92}\text{U}$ ) مقارنة مع نسب نظائر اليورانيوم الأخرى.
- التدفق المغناطيسي **Magnetic Flux**: يُعبّر عنه رياضياً بأنه ناتج الضرب القياسي لمتجه المجال المغناطيسي (B) ومتجه المساحة (A)، رمزه ( $\Phi_B$ ).
- تردد الرنين **Resonance Frequency**: تردد مصدر فرق الجهد في دارة (RLC)، الذي يحدث عنده الرنين، وتكون قيمة التيار الفعال أكبر مما يمكن.
- تردد العتبة **Threshold Frequency**: أقل تردد للأشعة الساقطة يتطلبه تحرير الإلكترونات ضوئية من سطح فلز دون إكسابها طاقة حرارية.

- **التفاعل المتسلسل**:Chain Reaction: تبعثر نيوترونات نتيجة انشطار النواة في تفاعل الانشطار النووي، وهذه النيوترونات تمتصها نوى أخرى التي بدورها تنسطر، وتنتج نيوترونات جديدة تؤدي إلى انشطار مزيد من النوى ما يؤدي إلى استمرار التفاعل.
- **التفاعل النووي**:Nuclear Reaction: اصطدام نواتي ذرتين، أو اصطدام جسيم نووي مثل، البروتون أو النيوترون بنواة ذرة أخرى، وقد ينتج من ذلك نواة جديدة أو أكثر.
- **التيار المتردد**:Alternating Current: تيار يسري في دارة كهربائية مغلقة يتغير مقداره واتجاهه بالنسبة إلى الزمن وفقاً لعلاقة جيبية.
- **الجسم الأسود**:Black Body: جسم مثالي يمتص الأطوال الموجية للأشعة الكهرومغناطيسية جميعها ويشعها، ويعتمد انبعاث الأشعة منه على درجة حرارته فقط.
- **جهد الإيقاف**:Stopping Potential: فرق الجهد الذي تكون عنده قراءة التيار الكهربائي صفرًا.
- **الحث الذاتي**:Self Induction: يُعرف بأنه تولد قوة دافعة كهربائية حثية ذاتية في دارة مغلقة نتيجة تغيير التدفق المغناطيسي، بسبب تغير مقدار تيار الدارة نفسها.
- **سلسلة الأضمحلال الإشعاعي الطبيعي**:Natural Radioactive Decay Series: مجموعة الأضمحلالات التلقائية التي تبدأ بعنصر مشع ثقيل، وتنتهي بعنصر مستقرّ باضمحلال ألفا أو بيتا.
- **طاقة التأين**:Ionization Energy: أقل طاقة يتطلّبها تحرير إلكترون من الذرة دون إكسابه طاقة حرارية.
- **طاقة الرابط النوويّة**:Nuclear Binding Energy: الطاقة التي يجب تزويدها للنواة لفصل مكوناتها (النيوكليلونات) بعضها عن بعض نهائياً.
- **طيف الامتصاص الخطي**:Absorption Line Spectrum: ظهور خطوط معتمة منفصلة على خلفية مضيئة بعد إمرار ضوء الشمس خلال غاز عنصر معين.
- **طيف الانبعاث الخطي**:Emission Line Spectrum: ظهور خطوط مضيئة على خلفية معتمة بعد تحليل الضوء المنبعث من ذرات العناصر المثاررة.
- **الظاهرة الكهربائية**:Photoelectric Effect: ظاهرة انبعاث إلكترونات من سطح فلز عند سقوط إشعاع كهرومغناطيسي بتردد مناسب عليه.

- **العدد الذري** **Atomic Number**: عدد البروتونات في النواة ويساوي عدد الإلكترونات في الذرة المتعادلة.
- **العدد الكتلي** **Mass Number**: عدد البروتونات والنيوترونات في النواة.
- **عمر النصف** ( $t_{1/2}$ ): الزمن اللازم لضمحل نصف عدد النوى المشعة.
- **فرق الجهد المتردد** **Alternating Potential Difference**: فرق جهد يتغير في المقدار والاتجاه بالنسبة إلى الزمن وفقاً لعلاقة جيبية.
- **قانون فارادي في الحث** **Faraday's Law of Induction**: ينص على أن: "مقدار القوة الدافعة الكهربائية الحثية المتولدة في دارة كهربائية يتناسب طردياً مع المعدل الزمني لتغيير التدفق المغناطيسي الذي يخترقها".
- **قانون لنز** **Lenz's Law**: ينص على أن: «يكون اتجاه التيار الحثي المتولد في دارة مغلقة بحيث يولد مجالاً مغناطيسياً يقاوم التغيير في التدفق المغناطيسي المسبب له».
- **القوة الدافعة الكهربائية الحثية** **Induced Electromotive Force**: فرق الجهد الكهربائي المتولد بين طرف في سلك يقطع خطوط مجال مغناطيسي أو في ملف عند تغيير التدفق المغناطيسي الذي يخترقه.
- **القوة النووية القوية** **Strong Nuclear Force**: هي قوة التجاذب بين النيوكليونات في النواة.
- **القيمة الفعالة لفرق الجهد المتردد** **Effective Potential Value**: ناتج قسمة القيمة العظمى لفرق الجهد على  $(\sqrt{2})$ .
- **القيمة الفعالة للتيار المتردد** **Effective Current Value**: ناتج قسمة القيمة العظمى للتيار المتردد على  $(\sqrt{2})$ .
- **الكتلة الحرجة** **Critical Mass**: أقل كتلة من الوقود النووي تضمن استمرار حدوث التفاعل المتسلسل، وتضمن عدم تسرب النيوترونات خارجه.
- **معامل الحث الذاتي** **Coefficient of Self Induction**: (محاثة Inductance المحت): نسبة القوة الدافعة الكهربائية الحثية الذاتية المتولدة بين طرفي محث إلى المعدل الزمني للتغيير في مقدار التيار الكهربائي المار فيه، وهو مقياس لممانعة المحث لتغيير مقدار التيار الكهربائي المار فيه، ووحدة قياسه هي  $(V.s/A)$ ، وتسمى هنري  $H$  بحسب النظام الدولي للوحدات.
- **المعاوقة المحثية** **Inductive Reactance**: الممانعة التي يبيدها المحث لمرور التيار المتردد في الدارة، وتساوي حاصل ضرب محاثة المحث في التردد الزاوي لفرق الجهد.

- **المعاوقة المواتعية Capacitive Reactance:** الممانعة التي يبديها المواسع لمرور التيار المتردد في الدارة، وتساوي مقلوب حاصل ضرب المواسعة في التردد الزاوي لفرق الجهد.
- **المواد العازلة Insulators:** مواد لا توصيل التيار الكهربائي، حيث ترتبط إلكترونات التكافؤ لها بالذرات بقوة كبيرة، لذلك لديها عدد قليل من الإلكترونات الحرّة؛ ما يجعلها مادة عازلة للكهرباء.
- **المواد الموصلة Conductors:** مواد توصيل التيار الكهربائي، ولا ترتبط إلكترونات التكافؤ بذراتها بقوة كبيرة؛ وبذلك تحوي المواد الموصلة كثيراً من الإلكترونات الحرّة؛ ما يجعلها موصلات جيدة للتيار الكهربائي.
- **المواد شبه الموصلة Semiconductors:** مواد تقع بين المواد الموصلة للكهرباء والمواد العازلة من حيث قدرتها على توصيل الكهرباء.
- **النشاطية الاشعاعية Activity:** عدد الأضمحلالات في الثانية الواحدة لعينة مشعة.
- **نطاق الاستقرار Stability Valley:** النطاق الذي تقع ضمنه النوى المستقرة في منحنى ( $N-Z$ ).
- **النظائر Isotopes:** نوى تتساوى في عددها الذري، وتختلف في عددها الكتلي بسبب اختلاف عدد النيوترونات، وهي ذرات للعنصر نفسه تختلف أنوبيتها في عددها الكتلي.
- **النواة المركبة Compound Nucleus:** النواة التي تتشكل من امتصاص النواة الهدف لقذيفة في التفاعلات النووية، التي وما تلبث أن تضمحل لتعطي نواة أو أكثر.
- **نيوكليون Nucleon:** تسمية تطلق على كلٍ من البروتون أو النيوترون.
- **وحدة الكتلة الذرية Atomic Mass Unit:** تساوي  $\frac{1}{12}$  من كتلة نظير الكربون - 12 ( $^{12}_6 C$ ).

## قائمة المراجع (References)

1. Smyth, M., Pharaoh, L., Grimmer, R., Bishop, C., Davenport, C. (2020). **Cambridge International AS & A Level Physics**. London: Harper Collins Publishers Limited.
2. Lahiri A. (2018). **Basic Physics: Principles and Concepts**. Kolkata: Avijit Lahiri.
3. Halliday, D., Resnick, R., Walker, J. (2018). **Fundamentals of Physics** (11<sup>th</sup> ed). New York: Jon Wiley & Sons.
4. Giancoli, D. (2014). **Physics: Principles with Applications** (7<sup>th</sup> ed). London: Person Education.
5. Chadha ,G. (2015). **A Level Physics a for OCR**, <https://www.ocr.org.uk/Images/171726-specification-accredited-a-level-gce-physics-a-h556.pdf>.
6. Young, H., Freedman, R. (2015). **University Physics with Modern Physics** (14<sup>th</sup> ed), London: Pearson Education.
7. Paul, A., Tipler P., Mosca G. (2007). **Physics for Scientists and Engineers** (6<sup>th</sup> ed). New York: Freeman, W. H. & Company.
8. Hewitt, P. (2015). **Conceptual Physics** (14<sup>th</sup> Ed). London: Pearson Education.
9. Raymond, A. Serway, John W. Jewett, Jr. (2013). **Physics for Scientists and Engineers with Modern Physics** (9<sup>th</sup> Ed). Boston: Physical Sciences: Mary Finch.
10. Serway, R., Faughn, J. (2006). **Holt Physics**. USA. Holt, Rinehart and Winston.
11. Serway, R., Vuille, C. (2017). **College Physics** (11<sup>th</sup> ed). Boston: Cengage Learning.
12. Muncaster, R. (2014). **A Level Physics** (4<sup>th</sup> ed). New York: Oxford University Press.
13. Adams, S. (2013). **Advanced Physics** (2<sup>nd</sup> ed). New York: Oxford University Press, USA.
14. Duncan, T. (2000). **Advanced Physics** (5<sup>th</sup> ed). London: Hodder Education.
15. Andrews, T., Kent, M. (2018). **Cambridge International AS & A Level Mathematics, Mechanics**. London: Harper Collins Publishers Limited.
16. Wilbraham, A. (2006). **Prentice Hall Chemistry**. London: Pearson Education.
17. Serway, R., Moses, C., Moyer, C. (2005). **Modern Physics** (3<sup>rd</sup> ed). Toronto: Thomson Learning, Inc.

18. Beiser, A. (2003). **Concepts of Modern Physics** (6<sup>th</sup> ed). New York: McGraw-Hill.
19. Krane, K. (1998). **Introductory Nuclear Physics** (3<sup>rd</sup> ed). New York: Jon Wiley & Sons.
20. Floyd, F. (2012). **Electronic Devices (Conventional Current Version)** (9<sup>th</sup> ed). London: Pearson Education.
21. Boylestad, R., Nashelsky, L. (2013). **Electronic Devices and Circuit Theory** (11<sup>th</sup> ed). London: Pearson Education.

بِسْمِ اللَّهِ الرَّحْمَنِ الرَّحِيمِ  
جَمِيعُ الْمُلْكَاتِ  
تَعَالَى

